

Technische Universität Wien

D I P L O M A R B E I T

Berechnung elektronischer Transportkoeffizienten mittels  
des Variationsverfahrens für die linearisierte Boltzmann-  
gleichung - Rechenprogramme mit Anwendung auf inter-  
metallische Seltene Erd Verbindungen

ausgeführt am Institut für  
Theoretische Physik  
der Technischen Universität Wien

von

Oliver Eibl

Gustav Tschermak-Gasse 2, 1180 - Wien

Wien, im Februar 1984



## Kurzfassung

Ausgehend von der linearisierten Boltzmann-Gleichung werden mittels des Variationsverfahrens die Transportkoeffizienten elektrischer Widerstand, Wärmewiderstand und Seebeckkoeffizient berechnet. Dabei werden für die Leitungselektronen Wechselwirkungen mit Gitterleerstellen und Fremdatomen (Potential-Streuung), mit magnetischen Ionen (Magnetische-Streuung) und mit Phononen (Phononen-Streuung) berücksichtigt.

Mittels der Modell-Hamiltonoperatoren, die zur Beschreibung der Wechselwirkungen der Leitungselektronen verwendet werden, um die in der linearisierten Boltzmann-Gleichung vorkommenden Übergangswahrscheinlichkeiten quantenmechanisch zu berechnen, sowie mittels der Funktionen, die durch die elektronischen Eigenschaften des Festkörpers bestimmt sind, sind die Transportkoeffizienten zu bestimmen. Durch die Einführung von Spektralfunktionen ist man in der Lage, das Gesamtproblem, nämlich die Berechnung der Transportkoeffizienten mit Hilfe der Modell-Hamiltonoperatoren, zu verallgemeinern und in zwei Teilprobleme zu separieren.

Um diese Aufgaben durchführen zu können, werden Rechenprogramme erstellt, die einerseits für die Potential-, die Magnetische- und die Phononen-Streuung die Spektralfunktionen berechnen, und andererseits aus den Spektralfunktionen die Transportkoeffizienten bestimmen.

Es werden Gleichungen für die Transportkoeffizienten in niedrigster Ordnung des Variationsverfahrens angegeben. Außerdem werden Rechnungen für die intermetallische Seltene Erd Verbindung  $GdAl_2$  im Temperaturbereich 0 - 300 K durchgeführt. Dabei werden die Beiträge der einzelnen Streumechanismen zu den Transportkoeffizienten berechnet, und die Konvergenz der Werte der Transportkoeffizienten - erhalten in den einzelnen Unterräumen im Rahmen des Variationsverfahrens - untersucht.

Bei der Überlagerung der Streumechanismen findet man für den elektrischen Widerstand und den Wärmewiderstand gute Übereinstimmung mit der Matthiessen Regel für den gesamten Temperaturbereich - hingegen für den Seebeckkoeffizienten Abweichungen von der Kohler und der Nordheim-Gorter Regel bei tiefen Temperaturen. Aus den Ergebnissen der Rechnung ist deutlich die Abhängigkeit

des elektrischen Widerstandes und des Wärmewiderstandes vom Streumechanismus und des Seebeckkoeffizienten von den elektronischen Eigenschaften des Festkörpers festzustellen.

## INHALTSVERZEICHNIS

1. Einleitung	1
2. Die Transportkoeffizienten	7
3. Die Berechnung der Transportkoeffizienten	15
3.1 Die von der Bandstruktur abhängigen Größen $\tilde{z}_\alpha$ und $\hat{z}_\alpha$	15
3.2 Das Matrixelement des Stoßoperators	17
3.3 Rechenablauf und Programmaufbau zur Be- rechnung der Transportkoeffizienten	23
4. Die Modellspektralfunktionen	39
4.1 Die Berechnung der Modellspektralfunktionen aus den Modell-Hamiltonoperatoren	39
4.2 Die Modellspektralfunktionen als Ausgangs- punkt zur Berechnung der Transportkoeffizien- ten	66
5. Die Transportkoeffizienten in niedrigster Ordnung	79
5.1 Die Transportkoeffizienten für die Potential- Streuung	81
5.2 Die Transportkoeffizienten für die Magnet- ische-Streuung	81
5.3 Die Transportkoeffizienten für die Phononen-Streuung	85
6. Durchführung der Rechnung und Ergebnisse für GdAl <sub>2</sub>	87
6.1 Durchführung der Rechnung	87
6.2 Ergebnisse der Transportkoeffizienten für die intermetallische Verbindung GdAl <sub>2</sub>	90

7.	Zusammenfassung der Ergebnisse für GdAl <sub>2</sub>	116
7.1	Das Konvergenzverhalten im Rahmen des Variationsverfahrens	116
7.2	Die Leitungsbandaufspaltung	119
7.3	Das Wiedemann-Franz Gesetz	120
7.4	Das Erfüllen der Matthiessen, der Kohler und der Nordheim-Gorter Regel	122
7.5	Schlußbetrachtungen	124
 <u>Literaturverzeichnis</u>		126
 <u>Anhang</u>		
A.1	Mathematischer Anhang	128
A.1.1	Integrale und Reihen	128
A.1.2	Die Funktionen J <sub>n</sub> (x)	129
A.2	Rechenprogramme	140
A.2.1	Programme zur Berechnung der Transportkoeffizienten	140
A.2.2	Programme zur Berechnung der Spektralfunktionen	229
A.3	Tabellen der Ergebnisse für GdAl <sub>2</sub>	247
A.4	Dokumentation eines Programmlaufes	256

## 1. Einleitung

Ausgangspunkt dieser Arbeit bei der Berechnung der Transportkoeffizienten ist die lineare Ankopplung der Flüsse (Teilchenstromdichte, Energiestromdichte) an die äußeren Kräfte (Gradienten des elektrostatischen Potentials und der Temperatur). Die Kopplungskonstanten sind hierbei die Onsager Tensoren /4/. Man erhält ein Gleichungssystem, das die Flüsse und äußeren Kräfte sowie die hier zu behandelnden Transportkoeffizienten, nämlich elektrischen Widerstand, Seebeckkoeffizienten und Wärmeleitfähigkeit (als drei voneinander unabhängige Größen), enthält.

$$\begin{aligned}\vec{E}' &= \underline{\underline{\rho}} \vec{j} + \underline{\underline{s}} \vec{\nabla} T \\ \vec{q} &= \underline{\underline{\pi}} \vec{j} - \underline{\underline{\kappa}} \vec{\nabla} T\end{aligned}\quad (1.1)$$

$$\vec{E}' = -\text{grad}(e\varphi - \mu) \frac{1}{\epsilon} \quad [\varphi \dots \text{elektrostat. Potential}, \mu \dots \text{chem. Potential}]$$

$\vec{\nabla} T \dots \text{Temperaturgradient}$

$\vec{j} \dots \text{elektrische Stromdichte}$   
 $\vec{q} \dots \text{Wärmestromdichte}$

$\rho \dots \text{elektrischer Widerstand}$   
 $s \dots \text{Seebeckkoeffizient}$   
 $\pi \dots \text{Peltierkoeffizient}$   
 $\kappa \dots \text{Wärmeleitfähigkeit}$

Zwischen dem Peltierkoeffizienten und dem Seebeckkoeffizienten besteht die Onsager Beziehung /4/ :  $\pi_{ij} = s_{ji} \cdot T$   
Die Gleichungen (1.1) legen eindeutige Meßvorschriften fest, um die darin vorkommenden Transportkoeffizienten experimentell zu ermitteln.

Um nun den elektronischen Anteil der Transportkoeffizienten zu berechnen, führt man eine Verteilungsfunktion für die Elektronen ein, womit man die Koeffizienten als Funktionale eben dieser Funktion erhält. Für den Fall des thermodynamischen Gleichgewichts geht die Verteilungsfunktion in die Fermi-

funktion über /4,6/. Zur Berechnung zieht man die Boltzmann-Gleichung heran, die eine Integro-Differentialgleichung für die Verteilungsfunktion darstellt.

Wegen der Schwierigkeiten die Boltzmanngleichung exakt zu lösen ist man gezwungen, gewisse Näherungsannahmen zu treffen. Man betrachtet die äußenen Felder sowie die Auslenkung der Verteilungsfunktion aus dem thermodynamischen Gleichgewicht (ATG) als Störungen und schreibt die Boltzmanngleichung in den verschiedenen Ordnungen der Störungen an. Für die erste Ordnung erhält man die linearisierte Boltzmanngleichung – eine Integralgleichung für die ATG-Funktion.

Die Transportkoeffizienten hängen damit als Funktionale nicht mehr von der gesamten Verteilungsfunktion ab, sondern nur noch von der Funktion, die die Auslenkung aus dem thermodynamischen Gleichgewicht angibt /6/.

Im weiteren führt man ein geeignetes Funktionensystem ein /4,6,10/ und entwickelt formal die ATG-Funktion nach den Basisfunktionen des Systems. Man nutzt die Semidefininitheit des Stoßoperators in der Boltzmanngleichung aus /4,6/ sowie die Gestalt der Gleichungen für die Transportkoeffizienten und erhält dadurch Maximalbedingungen für die elektrische Leitfähigkeit und die Wärmeleitfähigkeit sowie Gleichungen für alle Transportkoeffizienten, die vom gewählten Funktionensystem abhängen. In der Literatur ist dieses Verfahren als Variationsverfahren der Transporttheorie bekannt /4,6/.

Im Rahmen dieser Arbeit werden Transportphänomene bei intermetallischen Seltenen Erd Verbindungen behandelt. Diese

Verbindungen sind geeignet an ihnen den Einfluß von Streuprozessen der Leitungselektronen an magnetischen Verunreinigungen (magnetische Seltene Erd Ionen) auf die Transportkoeffizienten zu studieren. Die Seltenen Erden (Lanthaniden) füllen mit steigender Elementzahl im Periodensystem die 4f-Schale an. Dabei liegen die 4f-Elektronen stärker lokalisiert um den Rumpf als die Elektronen der abgeschlossenen 5s, 5p und 6s Schale /7/. Es ergeben sich durch die Elektronen der nicht abgeschlossenen 4f-Schale lokalisierte magnetische Momente für die Seltenen Erden. Im Festkörper wechselwirken diese Momente indirekt miteinander - hervorgerufen durch eine Wechselwirkung der magnetischen Momente der Leitungselektronen mit denen der Seltenen Erd Ionen /5/. Dabei ist die Leitungselektronen - Seltenen Erd Ion Wechselwirkung (sf-Wechselwirkung) wesentlich stärker (= 1000 K bei  $GdAl_3$ ) als die der Seltenen Erd Ionen (ff-Wechselwirkung) untereinander (= 100 K bei  $GdAl_3$ ) /8/. Die Wechselwirkung der Leitungselektronen mit den Seltenen Erd Ionen gibt einen spezifischen Beitrag zu den Transportkoeffizienten. Ersetzt man die magnetischen Seltenen Erd Ionen durch unmagnetische (bei gleicher Struktur), so läßt sich der magnetische Anteil der Streuprozesse an den Transportkoeffizienten experimentell bestimmen /12/.

Neben diesem für intermetallische magnetische Seltenen Erd Verbindungen charakteristischen Streuprozeß (Magnetische-Streuung) treten u.a. noch die Streuungen der Leitungselektronen an kollektiven Gitterschwingungen (Phononen-Streuung) sowie an Fremdatomen und Leerstellen (Potential-Streuung) hinzu / 8/.

Um nun Transportkoeffizienten tatsächlich berechnen zu können, werden für die verschiedenen Wechselwirkungen der Leitungselektronen im Festkörper Modell-Hamiltonoperatoren verwendet /8/. Im weiteren soll ausgehend von diesen Operatoren die Berechnung der Transportkoeffizienten durchgeführt werden. Durch die Einführung von Spektralfunktionen /10/ lässt sich der Weg von den Modell-Hamiltonoperatoren zu den Transportkoeffizienten entscheidend verallgemeinern.

Aufgabe ist es nun Rechenprogramme zu erstellen, die einerseits mit den Spektralfunktionen als Eingabe die Transportkoeffizienten, und andererseits ausgehend von den Modell-Hamiltonoperatoren die Spektralfunktionen für jede gewünschte Temperatur berechnen. Hier wird die Aufteilung des Gesamtproblems, nämlich die Berechnung der Transportkoeffizienten aus den Modell-Hamiltonoperatoren, auf zwei zusammenhängende Aufgaben, nämlich die Berechnung der Transportkoeffizienten aus den Spektralfunktionen und die Berechnung der Spektralfunktionen mit Hilfe der Modell-Hamiltonoperatoren, deutlich. Die dazu notwendigen Rechnungen wurden von mir am Rechenzentrum der TU - Wien, Gusshaus-Straße 27-29, 1040 Wien, auf der CDC Anlage Ceyber 720 in der Programmiersprache Fortran 77 (Compiler FTN5) durchgeführt.

Bei den Ergebnissen der Rechnungen für  $GdAl_2$ , die im Kapitel 6 zusammengestellt sind und in den Kapiteln 6 und 7 diskutiert werden, ist der Temperaturverlauf der Transportkoeffizienten beim Vorhandensein einzelner Streumechanismen (wie Potential-Streuung, Magnetische-Streuung und Phononen-Streuung) von großem Interesse. Dabei ist die Trennung der Streumechanis-

men rechnerisch - im Gegensatz zum Experiment - einfach durchzuführen. Man erhält so die für einen Streumechanismus charakteristische Struktur des Temperaturverlaufes der Transportkoeffizienten.

Weiters ist das Verhalten der Werte der Transportkoeffizienten beim Übergang zu immer höherdimensionalen Basissystemen im Rahmen des Variationsverfahrens interessant. Man bekommt Aufschluß über die Güte der niedrigdimensionalen Approximationen in Abhängigkeit von der Temperatur und der Art des Streumechanismus und erwartet ein Konvergieren der elektrischen Leitfähigkeit und der Wärmeleitfähigkeit von kleineren Werten zu den Werten, die man erhielte, könnte man die ATG-Funktion exakt (als Lösung der linearisierten Boltzmanngleichung).

Bei der Überlagerung von Streumechanismen sind drei Regeln bekannt /5/, die für den elektrischen Widerstand und den Wärmewiderstand ein additives Verhalten (Matthiessen Regel) und für den Seebeckkoeffizienten eine gewichtete Addition der einzelnen Beiträge (Kohler Regel, Nordheim-Gorter Regel) festsetzen. Die Übereinstimmung der berechneten Transportkoeffizienten mit den Regeln soll in Kapitel 6 dargestellt und in Kapitel 7 diskutiert werden.

In Kapitel 2 werden die Definitionen der Transportkoeffizienten sowie ihre formalen Ergebnisse in Gleichungsform angegeben.

Kapitel 3 befaßt sich mit der Berechnung der Transportkoeffizienten und erläutert im Abschnitt 3.3 den Aufbau und Ablauf der dazu notwendigen Rechenprogramme.

Die Modellspektralfunktionen werden in Kapitel 4 behandelt.

Ausgehend von den Modell-Hamiltonoperatoren werden die Gleichungen für die Spektralfunktionen angegeben und ihre Erzeugung im Rahmen der Rechnung wird erläutert.

Im weiteren befaßt sich Kapitel 5 mit der Berechnung der Transportkoeffizienten, wie man sie in niedrigster Ordnung im Rahmen des Variationsverfahrens erhält.

Kapitel 6 gibt einen Überblick über die Durchführung der Rechnung für Transportkoeffizienten an einer Rechenanlage und enthält eine Zusammenstellung der Ergebnisse, die für die intermetallische Verbindung  $GdAl_3$  erhalten wurden.

## 2. Die Transportkoeffizienten

Äußere Kräfte sind stets dafür verantwortlich, daß im Festkörper physikalische Größen von einem Ort zum anderen transportiert werden. Um nun einen Zusammenhang zwischen äußeren Kräften und Flüssen zu erhalten, hat man immer die Eigenschaften des zu betrachtenden physikalischen Systems im Auge zu behalten. Für sehr viele findet man ein lineares Ankoppeln der Flüsse, wie z.B. Ladungsströme oder Energieströme, an die äußeren Felder z.B. Elektrisches Feld oder Feld des Temperaturgradienten /4/. Dies kommt durch die Gleichungen (2.1) zum Ausdruck. Sie enthalten als Kopplungskonstanten zwischen den Feldern und Flüssen die Onsager Tensoren (Tensoren 2 Stufe)  $\sigma$ , L, M und N, die nicht von den äußeren Feldern abhängen.

Die Gleichungen (2.1) (für den Fall  $\vec{B} = \vec{0}$ )

$$\begin{aligned}\vec{j} &= \underline{\underline{\sigma}} \vec{E}' + \underline{\underline{L}} \vec{\nabla} T \\ \vec{q} &= \underline{\underline{M}} \vec{E}' + \underline{\underline{N}} \vec{\nabla} T\end{aligned}\tag{2.1}$$

geben wieder, daß die linksstehenden Ströme als Summe von Produkten eines Tensors (Transportkoeffizient) mit einem Vektor (äußere Kraft) geschrieben werden können. Dabei besteht zwischen den Tensoren der Gleichungen (2.1) und (1.1) der Zusammenhang:

$$\begin{aligned}\underline{\underline{\rho}} &= \underline{\underline{\sigma}}^{-1} && \text{spezifischer elektrischer Widerstand} \\ \underline{\underline{S}} &= -\underline{\underline{\sigma}}^{-1} \underline{\underline{L}} && \text{Seebeckkoeffizient} \\ \underline{\underline{\Pi}} &= \underline{\underline{M}} \underline{\underline{\sigma}}^{-1} && \text{Peltierkoeffizient} \\ \underline{\underline{\kappa}} &= \underline{\underline{\underline{\underline{M}}}} \underline{\underline{\sigma}}^{-1} \underline{\underline{L}} - \underline{\underline{N}} && \text{Wärmeleitfähigkeit}\end{aligned}\tag{2.2}$$

Um nun zur Berechnung der Transportkoeffizienten der Gleichungen (1.1) zu gelangen, führt man eine Verteilungsfunktion für die Elektronen ein, mit der Eigenschaft, daß

$$\frac{1}{(2\pi)^3} f_\gamma(\vec{r}, t) \Delta^3 r \Delta^3 k \quad (2.3)$$

gleich der Anzahl der Teilchen im Raumelement  $\Delta^3 r$  um  $\vec{r}$  sowie  $\Delta^3 k$  um  $\vec{k}$  mit den Zuständen  $\gamma = (n, \vec{k}, \sigma)$  zum Zeitpunkt  $t$  ist. Durch das Anlegen äußerer Felder befindet sich das System nicht mehr im thermodynamischen Gleichgewicht - dies äußert sich in einer von der Fermiverteilung verschiedenen Verteilung der Elektronen. Die totale Änderung der Teilchenzahl im Raumelement  $\Delta^3 r \Delta^3 k$  um  $(\vec{r}, \vec{k})$  mit den Zuständen  $\gamma$  im Zeitintervall  $\Delta t$  erhalten wir, indem wir eine Stoßbilanz der Teilchen für ebendieses Zeitintervall aufstellen. Quantenmechanisch lassen sich Übergangswahrscheinlichkeiten für die Stoßprozesse angeben. Für die Übergangswahrscheinlichkeit pro Zeiteinheit von einem Systemzustand  $|\Gamma\rangle$  in einen  $|\Gamma'\rangle$  erhält man unter Beachtung von Fermis Goldener Regel /1/

$$w_{\Gamma \rightarrow \Gamma'} = 2\pi/\hbar \delta(E_\Gamma - E_{\Gamma'}) |\langle \Gamma | H_w | \Gamma' \rangle|^2 \quad (2.4)$$

Dabei ist  $H_w$  der Hamiltonoperator, der die Wechselwirkung, die zum Übergang geführt hat, beschreibt.  $|\Gamma\rangle$  sind die zu  $H_w$  gehörenden Eigenzustände des Gesamtsystems.

Betrachtet man nun speziell Leitungselektronen im Festkörper mit den Zuständen  $|\gamma\rangle = |n, \vec{k}, \sigma\rangle$  so gilt für  $|\Gamma\rangle = |\gamma\rangle |M\rangle$ , wo bei der Zustand  $|M\rangle$  physikalische Systeme beschreibt, mit denen die Leitungselektronen im Festkörper wechselwirken.

Um nun die Übergangswahrscheinlichkeit pro Zeiteinheit vom Zustand  $|\gamma\rangle$  in einen Zustand  $|\gamma'\rangle$  zu erhalten, gewichtet man

$w_{rr'}$  in der Form

$$w_{rr'} = \sum_{\mathbf{m}} \frac{e^{-\beta E_m}}{z} \sum_{\mathbf{m}'} w_{r \rightarrow m'} \quad (2.5).$$

Nun ist man in der Lage tatsächlich eine Bilanzgleichung aufzustellen, indem man fordert, daß die Änderung der Zahl der Teilchen in  $\Delta^3 r \Delta^3 k$  um  $(\vec{r}, \vec{k})$  im Zeitintervall  $\Delta t$  bedingt durch die Stöße gleich der Zahl während  $\Delta t$  nach  $\Delta^3 r \Delta^3 k$  um  $(\vec{r}, \vec{k})$  gelangten - minus der Zahl während  $\Delta t$  aus  $\Delta^3 r \Delta^3 k$  um  $(\vec{r}, \vec{k})$  gestreuten Teilchen zum Zeitpunkt  $t$  mit den Zuständen  $\gamma = (\vec{k}, \sigma)$  gegeben ist. Es gilt also für die Zahl der nach  $\Delta^3 r \Delta^3 k$  um  $(\vec{r}, \vec{k})$  gestreuten Teilchen zum Zeitpunkt  $t$ , mit den Zuständen  $\gamma = (\vec{k}, \sigma)$  für das Zeitintervall  $\Delta t$

$$\Delta N = \frac{1}{(2\pi)^3} \left( \frac{\partial f_r(\vec{r}, t)}{\partial t} \right)_c \Delta^3 r \Delta^3 k \Delta t = \sum_{\mathbf{r}'} w_{rr'} \Delta t \frac{1}{(2\pi)^3} f_{r'}(\vec{r}, t) \Delta^3 k' \Delta^3 r \cdot \frac{1}{(2\pi)^3} [1 - f_{r'}(\vec{r}, t)] \Delta^3 k \Delta^3 r - \sum_{\mathbf{r}'} w_{rr'} \Delta t \frac{1}{(2\pi)^3} f_r(\vec{r}, t) \Delta^3 k \Delta^3 r \cdot \frac{1}{(2\pi)^3} [1 - f_{r'}(\vec{r}, t)] \Delta^3 k' \Delta^3 r \quad (2.6),$$

und daraus folgt die Größe  $\left( \frac{\partial f_r(\vec{r}, t)}{\partial t} \right)_c$ , die wir als Stoßterm der Boltzmann-Gleichung bezeichnen als

$$\left( \frac{\partial f_r(\vec{r}, t)}{\partial t} \right)_c = \frac{1}{(2\pi)^3} \Delta^3 r \sum_{\mathbf{r}'} \Delta^3 k' \{ w_{rr'} f_{r'}(\vec{r}, t) [1 - f_r(\vec{r}, t)] - w_{rr'} f_r(\vec{r}, t) [1 - f_{r'}(\vec{r}, t)] \} \quad (2.7).$$

Mit Hilfe der Definition

$$P_{rr'} = \frac{1}{(2\pi)^3} \Delta^3 r \quad w_{rr'} \quad (2.8)$$

lässt sich der Stoßterm als

$$\left( \frac{\partial f_r(\vec{r}, t)}{\partial t} \right)_c = \sum_{\mathbf{r}'} \Delta^3 k' \{ P_{rr'} f_{r'}(\vec{r}, t) [1 - f_r(\vec{r}, t)] - P_{rr'} f_r(\vec{r}, t) [1 - f_{r'}(\vec{r}, t)] \} \quad (2.9)$$

schreiben.

Die totale Änderung der Teilchenzahl im Raumelement  $\Delta^3 r \Delta^3 k$  um  $(\vec{r}, \vec{k})$  im Zeitintervall  $\Delta t$  zum Zeitpunkt  $t$  ist durch

$$\frac{1}{(2\pi)^3} \frac{df_r(\vec{r}, t)}{dt} \Delta^3 r \Delta^3 k \Delta t \quad \text{gegeben.}$$

Durch Gleichsetzen der totalen Änderung mit jener Änderung der Teilchenzahl, die durch die Stöße verursacht wird, gelangt man zur Boltzmanngleichung

$$\frac{1}{(2\pi)^3} \Delta^3 r \Delta^3 k \Delta t \frac{df_T(\vec{r}, t)}{dt} = \frac{1}{(2\pi)^3} \Delta^3 r \Delta^3 k \Delta t \left( \frac{\partial f_T(\vec{r}, t)}{\partial t} \right)_c \quad (2.10).$$

Wegen der in der Boltzmanngleichung auftretenden Verteilungsfunktion und der im Stoßterm (rechte Seite von (2.10)) vorkommenden quantenmechanisch berechneten Übergangswahrscheinlichkeiten, bezeichnet man diese Vorgangsweise als semi-klassisch [9]. Für die linke Seite von (2.10), den Strömungsterm, erhält man unter der Annahme, daß die  $\vec{k}$ -Vektoren dicht im  $k$ -Raum liegen:

$$\frac{d f_T(\vec{r}, t)}{dt} = \frac{\partial f_T(\vec{r}, t)}{\partial t} + \frac{1}{k} \vec{V}_k f_T(\vec{r}, t) + \frac{1}{r} \vec{V}_r f_T(\vec{r}, t) \quad (2.11)$$

Mit den Gleichungen (Halbklassischen Bewegungsgleichungen)

$$\dot{\vec{k}} = \frac{1}{\hbar} \vec{F} = - \frac{ie}{\hbar} [\vec{E} + \frac{1}{c} \vec{v}(r) \times \vec{B}] \quad , \quad \dot{\vec{r}} = \vec{v}(r) = \frac{1}{\hbar} \vec{V}_k E_T \quad (2.12)$$

lässt sich die Boltzmanngleichung als

$$\frac{\partial f_T(\vec{r}, t)}{\partial t} + \vec{v}(r) \cdot \vec{V}_r f_T(\vec{r}, t) - \frac{ie}{\hbar} [\vec{E} + \frac{1}{c} \vec{v}(r) \times \vec{B}] \cdot \vec{V}_k f_T(\vec{r}, t) = \sum_{T'} \Delta^3 k' \{ P_{TT'} \{ f_{T'}(\vec{r}, t) [1 - f_T(\vec{r}, t)] \} - P_{T'T} \{ f_T(\vec{r}, t) [1 - f_{T'}(\vec{r}, t)] \} \} \quad (2.13)$$

schreiben. Man führt nun für die Verteilungsfunktion eine Entwicklung durch

$$f_T(\vec{r}) = f^0(E_T, \vec{r}) + f'_T(\vec{r}) \quad (2.14),$$

wobei für

$$f^0(E_T, \vec{r}) = (\exp((E_T - \mu)/k_B T) + 1)^{-1} \quad (2.15)$$

gilt. Dabei wurde angenommen, daß  $f_T(\vec{r})$  nicht explizit zeitabhängig ist.

Schreibt man weiters für  $f'_T(\vec{r})$ :

$$\int'_T(\vec{r}) = - \frac{\partial f^0(E_T, \vec{r})}{\partial E} \phi_T(\vec{r}) = \hbar \{ f^0(E_T, \vec{r}) [1 - f^0(E_T, \vec{r})] \} \phi_T(\vec{r}) \quad (2.16)$$

mit  $B = 1 / k_B T$  (2.17),

so führt dies mit Hilfe der Boltzmanngleichung (2.13) zu einer Bestimmungsgleichung für die Funktion  $\phi_T(\vec{r})$ . Diese Gleichung ist jedoch noch immer zu schwierig, um exakt gelöst zu werden. Aus diesem Grund macht man eine weitere Annahme, die in vielen Anwendungen realistisch ist. Man betrachtet die äußeren Felder als kleine Störung und erwartet daher für die Verteilungsfunktion nur eine schwache Auslenkung aus dem thermodynamischen Gleichgewicht. Für die Rechnung bedeutet das, daß die äußeren Felder sowie die Funktion  $f_T^*(\vec{r})$  als Störungen (erster Ordnung) angesehen werden und man die Boltzmanngleichung in den Näherungen der verschiedenen Ordnungen anschreibt. Als Ergebnis nullter Ordnung erhält man

$$P_{T' T} f^*(E_{T'}, \vec{r}) [1 - f^*(E_{T'}, \vec{r})] = P_{T T'} f^*(E_T, \vec{r}) [1 - f^*(E_T, \vec{r})] \quad (2.18)$$

Als nächstes betrachtet man auch noch Glieder der ersten Ordnung und erhält so die linearisierte Boltzmanngleichung als Bestimmungsgleichung für die Funktion  $\phi_T(\vec{r})$

$$\left( \frac{\partial f_T(\vec{r})}{\partial t} \right)_c = \lambda \sum_{T'} \Delta^3 k' \left\{ P_{T' T} f^*(E_{T'}, \vec{r}) [1 - f^*(E_{T'}, \vec{r})] [\phi_{T'}(\vec{r}) - \phi_T(\vec{r})] \right\} = \\ = -e \frac{\partial f^*(E_T, \vec{r})}{\partial E} (\vec{v}(T) \cdot \vec{E}) - \frac{\partial f^*(E_T, \vec{r})}{\partial E} \frac{E_T - \mu}{T} (\vec{v}(T) \cdot \vec{p}_T) \quad (2.19)$$

Gleichung (2.19) legt die Definition eines Stoßoperators

$$C \phi_T = \lambda \sum_{T'} \Delta^3 k' P_{T' T} f^*(E_T) (1 - f^*(E_T)) [\phi_{T'} - \phi_T] \quad (2.20) \text{ nahe.}$$

Damit läßt sich die linearisierte Boltzmanngleichung (ohne Magnetfeld:  $\vec{B} = \vec{0}$ ) als  $C \phi = I_Z$  schreiben, wobei für  $I_Z$

$$I_Z = -e \left[ \frac{\partial f^*(E_T)}{\partial E} (\vec{v}(T) \cdot \vec{E}) \right] - \left[ \frac{\partial f^*(E_T)}{\partial E} \frac{E_T - \mu}{T} (\vec{v}(T) \cdot \vec{p}_T) \right] \quad (2.22)$$

zu setzen ist. Weil der Stoßoperator  $C$  ein linearer Operator ist (2.20), lässt sich (2.21) als zwei voneinander unabhängige Gleichungen

$$C|\tilde{\phi}\rangle = |\tilde{z}\rangle \quad \text{und} \quad C|\hat{\phi}\rangle = |\hat{z}\rangle \quad (2.23)$$

schreiben, mit

$$|\tilde{z}\rangle = -e \left| \frac{\partial f^0}{\partial E} (\vec{v} \cdot \vec{E}) \right\rangle \quad \text{und} \quad |\hat{z}\rangle = - \left| \frac{\partial f^0}{\partial E} \frac{E_T \mu}{T} (\vec{v} \cdot \vec{v}_T) \right\rangle \quad (2.24)$$

$$\text{und } |\phi\rangle = |\tilde{\phi}\rangle + |\hat{\phi}\rangle \quad (2.25).$$

Mit der Einführung eines inneren Produktes im  $k$ -Raum

$$\langle g | f \rangle = \frac{1}{(2\pi)^3} \sum_{\vec{k}} \Delta^3 k \ g(\vec{r}) f(\vec{r}) \quad (2.26)$$

folgt für das Matrixelement des Stoßoperators

$$\langle \psi | C | \psi \rangle \leq 0 \quad (2.27) \quad \text{und}$$

$$\langle \psi | C | \phi \rangle = \langle \phi | C | \psi \rangle \quad (2.28) \quad \text{für beliebige } \psi \text{ und } \phi.$$

Schreibt man für den zunächst noch unbekannten Teil der Verteilungsfunktion

$$|\tilde{\phi}\rangle = C^{-1} \left| -e \frac{\partial f^0}{\partial E} v_j |E\rangle \right\rangle \quad (2.29) \quad \text{und} \quad |\hat{\phi}\rangle = C^{-1} \left| \frac{\partial f^0}{\partial E} \frac{E_T \mu}{T} v_j |E\rangle \right\rangle \quad (2.30),$$

so erhält man als Gleichungen für die Transportkoeffizienten (2.1):

$$\sigma_{ij} = - \frac{e^2}{(2\pi)^3} \sum_{\vec{r}} \Delta^3 k \frac{\partial f^0(E_r)}{\partial E} v_i(r) C^{-1} \left[ v_j(r) \frac{\partial f^0(E_r)}{\partial E} \right]$$

$$\text{oder } \sigma = - \frac{1}{|E|^2} \langle \tilde{z} | C^{-1} | \tilde{z} \rangle = - \frac{1}{|E|^2} \langle \tilde{\phi} | C | \tilde{\phi} \rangle \quad (2.31)$$

$$L_{ij} = - \frac{e^2}{T} \frac{1}{(2\pi)^3} \sum_{\vec{r}} \Delta^3 k \frac{\partial f^0(E_r)}{\partial E} v_i(r) C^{-1} \left[ v_j(r) (E_{T\mu}) \frac{\partial f^0(E_r)}{\partial E} \right]$$

$$\text{oder } L = - \frac{1}{|E|^2 T} \langle \tilde{z} | C^{-1} | \tilde{z} \rangle \quad (2.32)$$

$$M_{ij} = \frac{e^2}{(2\pi)^3} \sum_{\vec{r}} \Delta^3 k \frac{\partial f^0(E_r)}{\partial E} v_i(r) C^{-1} \left[ v_j(r) \frac{\partial f^0(E_r)}{\partial E} \right] (E_{T\mu})$$

$$\text{oder } M = \frac{1}{|E|^2 T} \langle \hat{z} | C^{-1} | \hat{z} \rangle \quad (2.33)$$

$$N_{ij} = \frac{1}{(2\pi)^3 T} \sum_{\vec{r}} \Delta^3 k \frac{\partial f^0(E_r)}{\partial E} (E_{T\mu}) v_i(r) C^{-1} \left[ v_j(r) (E_{T\mu}) \frac{\partial f^0(E_r)}{\partial E} \right]$$

$$\text{oder } N = \frac{1}{|E|^2 T} \langle \hat{z} | C^{-1} | \hat{z} \rangle = \frac{1}{|E|^2 T} \langle \hat{\phi} | C | \hat{\phi} \rangle \quad (2.34).$$

Man nutzt nun die Eigenschaften des Stoßoperators aus (2.27) und (2.28) und gelangt so zu der Maximalbedingung für die elektrische Leitfähigkeit und Minimalbedingung für den Ten-

sor N

$$\sigma_{ii}[\tilde{\Psi}] \leq \sigma_{ii}[\tilde{\Phi}] \quad (2.35)$$

$$N_{ii}[\tilde{\Psi}] > N_{ii}[\tilde{\Phi}]$$

$$(2.36),$$

bei Verwendung der Funktionen  $\tilde{\Phi}, \tilde{\Psi}$  als exakte Lösungen der linearisierten Boltzmann-Gleichung (2.23) und  $\tilde{\Psi}, \tilde{\Phi}$  beliebige Funktionen darstellen. Die Gleichungen (2.35) und (2.36) stellen den Ausgangspunkt zur Berechnung der ATG-Funktion im Rahmen des Variationsverfahrens dar [6].  $\sigma_{ii}$  und  $N_{ii}$  stellen Funktionale abhängig von den Funktionen  $\tilde{\Psi}$  und  $\tilde{\Phi}$  dar. Ihre Werte werden stets kleiner oder gleich bzw. größer oder gleich sein als die, die man erhielt, könnte man die Lösung der linearisierten Boltzmann-Gleichung exakt. Für die Größen  $L_{ii}$  und  $M_{ii}$  existieren keine Extremalbedingungen und damit keine oberen und unteren Schranken im Sinne von (2.35), (2.36). Ihre Werte werden erhalten, indem man die Funktionen  $\tilde{\Psi}, \tilde{\Phi}$  aus den Gleichungen (2.35), (2.36) für ihre Berechnung verwendet.

Für die tatsächliche Berechnung führt man eine Basis von Versuchsfunktionen  $\{\Psi_1, \dots, \Psi_n\}$  ein. Man entwickelt nun formal die  $\tilde{\Psi}, \tilde{\Phi}$  nach diesem Basissystem in der Form

$$|\tilde{\Psi}\rangle = \sum_i \tilde{\alpha}_i |\Psi_i\rangle \quad (2.37)$$

$$|\tilde{\Phi}\rangle = \sum_i \tilde{\beta}_i |\Psi_i\rangle \quad (2.38)$$

Die Funktionen  $\Psi_i$  sind hier zunächst noch beliebig. Für  $\sigma$  aus (2.31) erhält man damit

$$\sigma = -\frac{1}{E^2} \langle \tilde{\Phi} | C | \tilde{\Psi} \rangle = -\frac{1}{E^2} \sum_{i,j} \tilde{\beta}_i [C']_{ij} \tilde{\alpha}_j \quad (2.39)$$

mit  $\tilde{\Sigma}_i = \langle \tilde{\Xi} | \Psi_i \rangle$  (2.40) und  $C_{ij} = \langle \Psi_i | C | \Psi_j \rangle$  (2.41) [C']... inverse Matrix des Stoßoperators. Entsprechend ergibt sich für den Tensor N aus (2.34)

$$N = \frac{1}{|V||V|} \langle \tilde{\Phi} | C | \tilde{\Phi} \rangle = \frac{1}{|V||V|} \sum_{i,j} \tilde{\beta}_i [C']_{ij} \tilde{\beta}_j \quad (2.42)$$

mit  $\tilde{\Sigma}_i = \langle \tilde{\Xi} | \Psi_i \rangle$  (2.43).

Für die Entwicklungskoeffizienten  $\tilde{a}_n$ ,  $\hat{a}_n$  gilt:

$$\tilde{a}_n = \sum_{\alpha} [c']_{\alpha} \tilde{Z}_{\alpha} \quad (2.44) \text{ und } \hat{a}_n = \sum_{\alpha} [c']_{\alpha} \hat{Z}_{\alpha}. \quad (2.45)$$

Verwendet man die Gleichungen (2.37), (2.38) sowie (2.44) und (2.45) so erhält man für L und M aus (2.32) und (2.33) :

$$L = \frac{1}{|E|^2 |T|} \sum_{\alpha} \tilde{Z}_{\alpha} [c']_{\alpha} \tilde{Z}_{\alpha} \quad (2.46)$$

$$M = \frac{1}{|E|^2 |T|} \sum_{\alpha} \hat{Z}_{\alpha} [c']_{\alpha} \tilde{Z}_{\alpha}. \quad (2.47).$$

In den folgenden Gleichungen sind die Ergebnisse aus dem Variationsverfahren für die elektrische Leitfähigkeit, den Seebeckkoeffizienten und die Wärmeleitfähigkeit angegeben.

$$\sigma = - \frac{1}{|E|^2} \sum_{\alpha} \tilde{Z}_{\alpha} [c']_{\alpha} \tilde{Z}_{\alpha} \quad (2.48)$$

$$\sigma_s = \frac{|E|}{|T|} \frac{\sum \tilde{Z}_{\alpha} [c']_{\alpha} \hat{Z}_{\alpha}}{\sum \tilde{Z}_{\alpha} [c']_{\alpha} \tilde{Z}_{\alpha}}, \quad (2.49)$$

$$\kappa = \frac{\tau}{|T|^2} \frac{(\sum \hat{Z}_{\alpha} [c']_{\alpha} \tilde{Z}_{\alpha})(\sum \tilde{Z}_{\alpha} [c']_{\alpha} \hat{Z}_{\alpha})}{\sum \tilde{Z}_{\alpha} [c']_{\alpha} \tilde{Z}_{\alpha}} - \frac{\tau}{|T|^2} \sum_{\alpha} \hat{Z}_{\alpha} [c']_{\alpha} \hat{Z}_{\alpha}. \quad (2.50)$$

### 3. Die Berechnung der Transportkoeffizienten

Die Gleichungen des letzten Abschnittes (2.48-50) machen deutlich, daß zur Berechnung der in ihnen enthaltenen Transportkoeffizienten die Größen  $\tilde{Z}_\alpha$ ,  $\hat{Z}_\alpha$  sowie das Matrixelement des Stoßoperators  $C_{\alpha\beta}$  auszuwerten sind. Um dies zu tun, muß man ein geeignetes Basissystem einführen, in dem man die Funktionen  $\tilde{\Psi}$  und  $\hat{\Psi}$ , die als unbekannte Funktionen in der linearisierten Boltzmann-Gleichung der Form (2.23) enthalten sind, entwickelt. Dabei ist es wichtig, daß eine möglichst rasche Konvergenz der Transportkoeffizienten zu den Werten, die man erhielte, wenn man die linearisierte Boltzmann-Gleichung exakt lösen könnte, erreicht wird.

Wir wählen hier für die Funktionen  $\psi_\alpha(\gamma)/10/$

$$\psi_\alpha(\gamma) = v_i(\gamma) \cdot (\delta(E_\gamma - \mu))^\alpha \quad (3.1)$$

Dabei berücksichtigt  $v_i(\gamma)$  den winkelabhängigen Anteil von  $\Psi(\gamma)$ , hingegen der Faktor  $(\delta(E_\gamma - \mu))^\alpha$  die Abhängigkeit  $\Psi(\gamma)$  vom Betrag von  $\vec{k}$ . Mit Hilfe von (3.1) wird nun die Auswertung der  $\tilde{Z}_\alpha$ ,  $\hat{Z}_\alpha$  sowie der Matrix des Stoßoperators  $C_{\alpha\beta}$ , deren Inverse in den Gleichungen (2.48-50) auftritt, möglich und soll im weiteren erläutert werden.

#### 3.1 Die von der Bandstruktur abhängigen Größen $\tilde{Z}_\alpha$ und $\hat{Z}_\alpha$

Auszuwerten sind die Größen

$$\tilde{Z}_\alpha = \langle \tilde{Z} | \psi_\alpha \rangle \quad (3.1.1) \quad \text{sowie} \quad \hat{Z}_\alpha = \langle \hat{Z} | \psi_\alpha \rangle \quad (3.1.2),$$

wobei

$$|\tilde{Z}\rangle = -e |\vec{E}| |v_i \frac{\partial \Gamma}{\partial \vec{E}}\rangle \quad (3.1.3)$$

$$\hat{Z} = - \frac{1}{T} \left| v_i \frac{\partial f^0}{\partial E} \cdot \epsilon \right\rangle \quad (3.1.4)$$

$$\Psi_a = v_i(\gamma) \quad (\text{BE}) \quad (3.1.5)$$

mit  $E = E_F - \mu$ ,  $v_i = \vec{v} \cdot \vec{E} / |\vec{E}|$  gilt. (3.1.6)

Damit erhält man für (3.1.1)

$$\tilde{Z}_a = - \frac{e |\vec{E}|}{(2\pi)^3} \sum_{\gamma} \int d^3k (\Delta E)^a v_i(\gamma) \frac{\partial f^0(E)}{\partial E} = - \frac{e |\vec{E}|}{\Delta^3 r} \sum_{\gamma} (\Delta E)^a v_i(\gamma) \frac{\partial f^0(E)}{\partial E} \quad (3.1.7)$$

Führt man nun die dimensionslose Größe  $\bar{v}(E)$  sowie  $\tilde{g}_a$  ein, so ergibt

$$\tilde{Z}_a = e |\vec{E}| \frac{n}{m} \cdot \tilde{g}_a \quad (3.1.8)$$

und  $\tilde{g}_a = - \int dE (\Delta E)^a \frac{\partial f^0}{\partial E} \bar{v}(E) \quad (3.1.9)$

mit der Definition  $\bar{v}(E) = \frac{m}{3n\Delta r} \sum_{\gamma} v_i^2(\gamma) \delta(E - E_{\gamma} + \mu) \quad (3.1.10)$ .

Dabei wurde für die räumliche Verteilung von  $v^2$

$$3 \frac{1}{\Delta^3 r} \sum_{\gamma} v_i^2(\gamma) \delta(E - E_{\gamma} + \mu) = \frac{1}{\Delta^3 r} \sum_{\gamma} v^2(\gamma) \delta(E - E_{\gamma} + \mu) \quad (3.1.11) \text{ angenommen.}$$

Für die Größe  $\hat{Z}_a$  aus (3.1.2) lässt sich nun

$$\hat{Z}_a = \frac{1}{\Delta^3 r} \frac{1}{T} \frac{n}{m} \cdot \hat{g}_a \quad (3.1.12)$$

mit  $\hat{g}_a = - \int dE (\Delta E)^a \frac{\partial f^0}{\partial E} \bar{v}(E) \quad (3.1.13) \text{ schreiben.}$

Man sieht sofort, daß zwischen  $\tilde{g}_a$  und  $\hat{g}_a$

$$\hat{g}_a = \tilde{g}_a \quad (3.1.14) \text{ gilt.}$$

Damit kann man sich auf die Auswertung von  $\tilde{g}_a$  beschränken.

Die in (3.1.10) definierte Funktion  $\bar{v}(E)$  variiert auf einer Energieskala der Einheit  $E_F$  ( $\approx 10000$  K) und die ebenfalls im Integral (3.1.9) vorkommende Funktion  $\frac{\partial f^0}{\partial E}$  auf der Skala 100 K und wird außerhalb des Intervall  $(-\frac{T}{2} + \mu, \mu + \frac{T}{2})$  sehr klein. Es ist daher angebracht  $\bar{v}(E)$  für genügend kleine Temperaturen um das chem. Potential  $\mu$  zu entwickeln und nach dem zweiten Glied abzubrechen. So erhält man

$$\tilde{g}_a = - \left[ \bar{v}(0) \int dE \frac{\partial f^0}{\partial E} (\Delta E)^a + \frac{1}{\Delta^3 r} \bar{v}'(0) \int dE \frac{\partial f^0}{\partial E} (\Delta E)^{a+4} \right] \quad (3.1.15)$$

Die in (3.1.15) auftretenden Integrale, die wir durch  $I_n$  kennzeichnen, sind im Anhang (A.1.1) angegeben.

Tabelle (3.1.1) enthält die Größen  $\tilde{g}_n$  bis zu  $n = 7$

$$\tilde{g}_0 = \bar{v}(0)$$

$$\tilde{g}_1 = \bar{v}'(0) \frac{1}{\hbar} I_2$$

$$\tilde{g}_2 = \bar{v}(0) I_2$$

$$\tilde{g}_3 = \bar{v}'(0) \frac{1}{\hbar} I_4$$

$$\tilde{g}_4 = \bar{v}(0) I_4$$

$$\tilde{g}_5 = \bar{v}'(0) \frac{1}{\hbar} I_6$$

$$\tilde{g}_6 = \bar{v}(0) I_6$$

$$\tilde{g}_7 = \bar{v}'(0) \frac{1}{\hbar} I_8$$

Tabelle 3.1.1

Die Größen  $\tilde{g}_n$  definiert in (3.1.9)

### 3.2 Das Matrixelement des Stoßoperators $C_{\alpha\alpha'}$

#### 3.2.1 Analytische Auswertung von $C_{\alpha\alpha'}$

Wegen der Definition des Stoßoperators (2.20) lässt sich für das Matrixelement des Stoßoperators  $C_{\alpha\alpha'}$

$$C_{\alpha\alpha'} = \langle \psi_\alpha | C | \psi_{\alpha'} \rangle = \frac{\lambda}{(2\pi)^3} \sum_{\alpha\alpha'} \iint d^3k d^3k' f^\circ(E_\gamma) [1 - f^\circ(E_{\gamma'})] P_{\gamma\gamma'} [\psi_\alpha(\gamma) \psi_{\alpha'}(\gamma') - \psi_\alpha(\gamma') \psi_{\alpha'}(\gamma)] \quad (3.2.1.1)$$

schreiben., wobei für

$$P_{\gamma\gamma'} = \frac{2\pi}{\hbar} \sum_M \sum_{M'} \frac{e^{iE_\gamma}}{(2\pi)^3} \sum_{H'} | \langle \gamma H | H_{\alpha\alpha'} | \gamma' H' \rangle |^2 \delta(E_\gamma + E_H - E_{\gamma'} - E_{H'}) \quad (3.2.1.2)$$

gilt, und die  $\psi_\alpha(\gamma)$  aus Gleichung (3.1) bekannt sind.

Wegen der Symmetriebeziehung

$$f^\circ(E_\gamma) [1 - f^\circ(E_{\gamma'})] P_{\gamma\gamma'} = f^\circ(E_{\gamma'}) [1 - f^\circ(E_\gamma)] P_{\gamma'\gamma} \quad (3.2.1.3)$$

erhält man für  $C_{\alpha\alpha'}$  aus (3.2.1.1)

$$C_{\alpha\alpha'} = \frac{\lambda}{(2\pi)^3} \frac{1}{2} \sum_{\alpha\alpha'} \iint d^3k d^3k' f^\circ(E_\gamma) [1 - f^\circ(E_{\gamma'})] P_{\gamma\gamma'} [\psi_\alpha(\gamma) - \psi_{\alpha'}(\gamma)][\psi_\alpha(\gamma') - \psi_{\alpha'}(\gamma')] \quad (3.2.1.4)$$

Verwendet man nun Gleichung (3.1) so gelangt man zu

$$C_{\text{eff}} = - \frac{1}{(2\pi)^3 \cdot 8} \sum_{\sigma\sigma'} \left\langle \left| d^3 k d^3 k' f^*(E_\gamma) [1 - f^*(E_{\gamma'})] P_{\gamma\gamma'} \sum_{ss' \neq \pm 1} [v_i(\gamma) - s v_i(\gamma')] [v_i(\gamma') - s' v_i(\gamma')] \right|^2 \right\rangle \\ \times \left[ (\delta(E_{\gamma}-\mu))^{\alpha} + s (\delta(E_{\gamma'}-\mu))^{\alpha} \right] \left[ (\delta(E_{\gamma}-\mu))^{\alpha'} + s' (\delta(E_{\gamma'}-\mu))^{\alpha'} \right] \quad (3.2.1.5).$$

Man definiert nun die Funktion  $P_{\gamma\gamma'}(\Omega)$  durch

$$P_{\gamma\gamma'} = \frac{2\pi}{\hbar} \sum_{MM'} g_M \frac{\Delta^3 r}{(2\pi)^3} | \langle \gamma M | H_{\text{int}} | \gamma' M' \rangle |^2 \delta(E - E' + E_M - E_{M'}) = \\ = \frac{2\pi}{\hbar} \int d\Omega \frac{\omega}{1-e^{-\omega}} P_{\gamma\gamma'}(\Omega) \delta(E - E - \Omega) \quad (\omega = \beta\Omega) \quad (3.2.1.6),$$

beziehungsweise

$$P_{\gamma\gamma'}(\Omega) = \frac{1 - e^{-\omega}}{\omega} \sum_{MM'} g_M \frac{\Delta^3 r}{(2\pi)^3} | \langle \gamma M | H_{\text{int}} | \gamma' M' \rangle |^2 \delta(\Omega + E_M - E_{M'}) \quad (3.2.1.7).$$

Hier bedeutet  $\Delta^3 r$  das Volumenelement, auf das die Zustände  $|\gamma\rangle$  normiert sind.  $|M\rangle$  sind die Systemzustände,  $g_M$  die thermodynamischen Gewichte für die Zustände  $|M\rangle$ . Somit lässt sich  $C_{\text{eff}}$  aus Gleichung (3.2.1.5) als

$$C_{\text{eff}} = - \frac{1}{2(2\pi)^4} \cdot \frac{1}{\hbar} \sum_{\sigma\sigma'} \left\langle \left| \int dE dE' d\Omega f^*(E) [1 - f^*(E')] [(\delta E)^{\alpha} + s (\delta E')^{\alpha}] [(\delta E)^{\alpha'} + s' (\delta E')^{\alpha'}] \right|^2 \right\rangle \\ \times \frac{\omega}{1 - e^{-\omega}} \delta(E - E - \Omega) \sum_{\sigma\sigma'} \left\langle \left| d^3 k d^3 k' P_{\gamma\gamma'}(\Omega) [v_i(\gamma) - s v_i(\gamma')] [v_i(\gamma') - s' v_i(\gamma')] \right|^2 \right\rangle \delta(E - E_{\gamma} - \mu) \quad (3.2.1.10)$$

schreiben.

Die bisherige Vorgangsweise hat es mit sich gebracht, daß der Integrand unter den Integralen  $E, E'$  und  $\Omega$  in Gleichung (3.2.1.10) faktorisiert in einen ersten Teil, der nur wohlbekannte, materialunabhängige Funktionen enthält, sowie in einen zweiten, der die von der Bandstruktur abhängigen Größen  $v_i(\gamma)$ ,  $E_\gamma$  und  $P_{\gamma\gamma'}(\Omega)$ , die Funktion also, die von den physikalischen Eigenschaften der Streuprozesse der Leitungselektronen abhängt, enthält. Diese Aufspaltung in zwei Faktoren ermöglicht eine wesentlich allgemeinere Vorgangsweise bei der Berechnung vom Matrixelement  $C_{\text{eff}}$ .

Auf die Symmetrie von  $P_{\gamma\gamma'}(\Omega)$  in der Form

$$P_{\gamma'\gamma}(-\Omega) = P_{\gamma\gamma'}(\Omega) \quad (3.2.1.11)$$

sei wegen der späteren Verwendung noch hingewiesen.

Entsprechend der obigen Überlegungen liegt es nahe die Spektralfunktionen /10/  $G_{ss'}(E, E', \Omega)$

$$\begin{aligned} G_{ss'}(E, E', \Omega) &= \frac{m}{n} \sum_{\alpha\alpha'} \int d^3k d^3k' P_{\gamma\gamma'}(\Omega) [v_i(\gamma) - s v_i(\gamma')] [v_i(\gamma) - s' v_i(\gamma')] = \\ &= \delta(E - E_{\gamma+\mu}) \delta(E' - E_{\gamma'+\mu}) \end{aligned} \quad (3.2.1.12)$$

einzuführen. Ausschließlich sie enthalten die Eigenschaften des gerade betrachteten Festkörpers, die in das Matrixelement  $C_{\alpha\alpha'}$  eingehen. So ergibt sich beispielsweise für die Potential-Streuung (= Streuung an Fremdatomen und Leerstellen) die Spektralfunktion

$$\begin{aligned} G_{ss'}(E, E', \Omega) &= k_B \alpha_v \frac{\bar{v}(E) N(E') + ss' \bar{v}(E') N(E)}{\bar{v}(0) N(0)} \delta(\Omega) \\ N(E) &= \frac{1}{\Delta^3} \sum_{\gamma} \delta(E - E_{\gamma+\mu}) \end{aligned} \quad (3.2.1.13)$$

(siehe dazu auch Kapitel 4.1.1), und für die Phononen-Streuung die Spektralfunktion  $G_{--}(E, E', \Omega)$  als

$$G_{--}(E, E', \Omega) = \frac{1}{\hbar} \alpha \left\{ \left[ \alpha \frac{4\Omega}{\Omega_p^2} - \alpha^2 \frac{4\Omega^2}{\Omega_p^4} \right] \theta(\Omega_p - \Omega) + [1 - 2\alpha + \alpha^2] \delta(\Omega - \Omega_p) \right\} \quad (3.2.1.14)$$

(siehe dazu auch Kapitel 4.1.3).

Man findet rasch, daß

$$G_{ss'}(E', E, -\Omega) = ss' G_{ss'}(E, E', \Omega) \quad (3.2.1.15)$$

$$G_{+-}(E, E', \Omega) = G_{-+}(E, E', \Omega) \quad (3.2.1.16)$$

gilt. Aus der Gleichung (3.2.1.15) folgen die Symmetriebeschreibungen

$$G_{ss'}(0, 0, -\Omega) = ss' G_{ss'}(0, 0, \Omega) \quad (3.2.1.17)$$

$$\text{und } \frac{\partial G_{ss'}(E_1, E_2, -\Omega)}{\partial E_1} \Big|_{E_1=E_2>0} = ss' \frac{\partial G_{ss'}(E_1, E_2, \Omega)}{\partial E_2} \Big|_{E_1=E_2>0} \quad (3.2.1.18)$$

Gleichung (3.2.1.10) läßt sich also als

$$C_{ee} = - \frac{n}{\beta m \hbar^4 (2\pi)^2} \left\{ \frac{\beta^2}{2} \sum_{ss' \neq 1} \iiint dE dE' d\omega f(E) [1-f(E')] [(AE)^s + s'(AE')^{s'}] \right. \\ \left. \cdot [ (AE)^{s'} + s'(AE')^s] \frac{\omega}{1-e^{-\omega}} G_{ss'}(E, E', \Omega) \delta(E-E'-\omega) \right\}$$

(3.2.1.19)

schreiben und wegen (3.2.1.15) gilt

$$C_{ee} = - \frac{n}{\beta m \hbar^4 (2\pi)^2} \left\{ \beta^2 \sum_{ss' \neq 1} \iiint_0^\infty dE dE' d\omega f(E) [1-f(E')] [(AE)^s + s'(AE')^{s'}] \right. \\ \left. \cdot [ (AE)^{s'} + s'(AE')^s] \frac{\omega}{1-e^{-\omega}} G_{ss'}(E, E', \Omega) \delta(E-E'-\omega) \right\} \quad (3.2.1.20)$$

- d.h., wir benötigen die Funktionen  $G_{ss'}(E, E', \Omega)$  nur in einem Halbraum.

Wie in /10/ bemerkt ist, sind die Funktionen  $G_{ss'}(E, E', \Omega)$  im allgemeinen nur schwach von den Variablen  $E, E'$  abhängig verglichen mit den sonstigen Faktoren des Integranden, die auf der Energieskala 100 K variieren und sehr schnell sehr klein werden. Daher werden wir die Funktionen  $G_{ss'}$  um  $E, E' = 0$  entwickeln, und für nicht zu hohe Temperaturen nach dem zweiten Term der Entwicklung abbrechen. Damit erhält man für das Matrixelement  $C_{ee}$  unter Beachtung von  $f(x) = 1/(e^x + 1)$

und (3.2.1.18)

$$C_{ee} = - \frac{n}{\beta m \hbar^4 (2\pi)^2} \sum_{ss' \neq 1} \left\{ \iiint_0^\infty dE dE' d\omega f(E) [1-f(E')] [E^s + sE'^s] [E'^{s'} + s'E'^{s'}] \right. \\ \left. \cdot \frac{\omega}{1-e^{-\omega}} G_{ss'}^0(\Omega) \delta(E-E'-\omega) + \frac{1}{\beta} \iiint_0^\infty dE dE' d\omega f(E) [1-f(E')] [E^s + sE'^s] [E'^{s'} + s'E'^{s'}] \right. \\ \left. \cdot \frac{\omega}{1-e^{-\omega}} G_{ss'}'(\Omega) \cdot E \delta(E-E'-\omega) \right\} \quad (3.2.1.22)$$

Wir definieren die Funktionen  $G_{ss'}^0(\Omega)$  und  $G_{ss'}'(\Omega)$  als

$$G_{ss'}^0(\Omega) = G_{ss'}(0, 0, \Omega) \quad (3.2.1.23)$$

$$G_{ss'}'(\Omega) = \left. \frac{\partial G_{ss'}(E_1, E_2, \Omega)}{\partial E_1} \right|_{E_1=E_2=0} \quad (3.2.1.24)$$

Die Hinzunahme der Ableitungen von  $G_{ss'}$  ist dabei von großer Bedeutung. Ohne sie kann kein vernünftiger Wert für den Seebeckkoeffizienten erhalten werden, wie später noch zu sehen sein wird.

Für die weitere Auswertung betrachten wir zunächst den Beitrag von  $G_{ss'}$  zum Matrixelement  $C_{\alpha\alpha'}$

$$\int \int \int dE dE' d\omega f(E) [1-f(E)] [E^{\alpha} + s'E'^{\alpha'}] [E^{\alpha'} + s'E'^{\alpha}] \frac{\omega}{1-e^{-\omega}} G_{ss'}^0(\Omega) \delta(E-E'-\omega) \quad (3.2.1.25)$$

Nach mühevoller aber elementarer Rechnung erhält man für  
(3.2.1.25)

$$(-1)^{\alpha+\alpha'} s.s' \sum_{\ell=0}^{\min(\alpha, \alpha')} s' K_{2\ell}^{\alpha\alpha'} \int_0^\infty d\omega \frac{\omega^{\ell}}{(e^{\omega-\Omega})(1-e^{-\omega})} G_{ss'}^0(\Omega) \omega^{\alpha+\alpha'-2\ell} \quad (3.2.1.26)$$

mit dem Symbol  $[x] = n \dots$  größte ganze Zahl  $\leq x$ , und mit den Koeffizienten

$$s' K_{2\ell}^{\alpha\alpha'} = \sum_{i=0}^{\alpha+\alpha'-2\ell} \left( \sum_{k=\max(0, i-\alpha')}^{\min(\alpha, i)} {}^s C_k^{\alpha} {}^s' C_{i-k}^{\alpha'} \right) \frac{(\alpha+\alpha'-i)!}{(\alpha+\alpha'+1-i-2\ell)!} 2\eta(2\ell) \quad \ell > 1$$

$$(3.2.1.27)$$

sowie

$$s' K_0^{\alpha\alpha'} = \sum_{i=0}^{\alpha+\alpha'} \left( \sum_{k=\max(0, i-\alpha')}^{\min(\alpha, i)} {}^s C_k^{\alpha} {}^s' C_{i-k}^{\alpha'} \right) \frac{1}{\alpha+\alpha'+1-i} \quad \ell=0$$

$$(3.2.1.28)$$

Die Größen  ${}^s C_k^{\alpha}$  sind dabei als

$${}^s C_k^{\alpha} = (-1)^k \cdot s \cdot \frac{\alpha!}{k!(\alpha-k)!} \quad 1 \leq k \leq \alpha \quad (3.2.1.29)$$

$$\text{und } {}^s C_0^{\alpha} = s+1 \quad \text{für } k=0 \quad (3.2.1.30)$$

sonst  ${}^s C_k^{\alpha} = 0$  eingeführt. Hierbei ist  $\eta(l)$  die in Anhang (A.1.1) angegebene Eta-Funktion.

In ähnlicher Weise erhält man den Beitrag von  $G_{ss'}$  zum Matrixelement  $C_{\alpha\alpha'}$  als

$$\frac{1}{\lambda} \int \int \int dE dE' d\omega f(E) [1-f(E)] [E^{\alpha} + s'E'^{\alpha'}] [E^{\alpha'} + s'E'^{\alpha}] \frac{\omega}{1-e^{-\omega}} G_{ss'}^1(\Omega) \cdot E \delta(E-E'-\omega) \quad (3.2.1.32)$$

in der Form

$$\frac{1}{\lambda} \sum_{\ell=0}^{\min(\alpha, \alpha')} s' K_{2\ell}^{\alpha\alpha'} \int_0^\infty d\omega \frac{\omega^{\ell}}{(e^{\omega-\Omega})(1-e^{-\omega})} G_{ss'}^1(\Omega) \omega^{\alpha+\alpha'-2\ell} \quad (3.2.1.33)$$

mit den Koeffizienten

$${}_{ss'}^1 K_{2\ell}^{aa'} = \sum_{i=0}^{\min(a,i)} \left( \sum_{k=\max(0,i-a')}^{\min(i,a)} {}_s^s C_k^a {}_s^s C_{i-k}^{a'} \right) \frac{(a+a'+1-i)!}{(a+a'+2-i-2\ell)!} 2n(2\ell) \quad \ell > 1 \quad (3.2.1.34)$$

$${}_{ss'}^1 K_0^{aa'} = \sum_{i=0}^{a+a'} \left( \sum_{k=\max(0,i-a')}^{\min(i,a)} {}_s^s C_k^a {}_s^s C_{i-k}^{a'} \right) \frac{1}{a+a'+2-i} \quad \ell = 0 \quad (3.2.1.35)$$

Zur Berechnung der Gleichungen (3.2.1.26) und (3.2.1.33) wurde die in Anhang (A.1.6) angegebene Gleichung verwendet.

Zusammenfassend läßt sich also für das Matrixelement  $C_{aa'}$  des Stoßoperators schreiben :

$$C_{aa'} = - \frac{n}{\lambda m \pi 4(2\pi)^2} \sum_{ss' \neq 1} \left\{ (-1)^{aa'} s.s' \sum_{\ell=0}^{\lfloor \frac{a+a'}{2} \rfloor} {}_s^s K_{2\ell}^{aa'} \int_0^\infty d\omega \frac{\omega^2}{(\epsilon-1)(1-e^{-\omega})} G_{ss'}^0(\Omega) \omega^{a+a'-2\ell} + \sum_{\ell=0}^{\lfloor \frac{a+a'+1}{2} \rfloor} {}_s^s K_{2\ell}^{aa'} \int_{-\infty}^\infty d\omega \frac{\omega^2}{(\epsilon e^{\omega/2})(1-e^{-\omega})} G_{ss'}^1(\Omega) \omega^{a+a'+1-2\ell} \right\} \quad (3.2.1.36)$$

### 3.2.2 Die Spektralfunktionen $G_{ss'}^0$ und $G_{ss'}^1$

Um das Matrixelement  $C_{aa'}$  auszuwerten, muß man die im Integranden von Gleichung (3.2.1.36) stehenden Funktionen  $G_{ss'}^0(\Omega)$  und  $G_{ss'}^1(\Omega)$  kennen. Die Gestalt der Spektralfunktionen  $G_{ss'}$  für die Poltentiel- und die Phononen-Streuung (3.2.1.13), (3.2.1.14) legen nahe  $G_{ss'}^0(\Omega)$  und  $G_{ss'}^1(\Omega)$  als Polynome und Summen von Deltafunktionen für die nachfolgend Rechnung anzugeben. Dies bedeutet also

$$G_{ss'}^0(\Omega) = \theta(\bar{\omega}-\omega) \sum_{m=0}^{k_{ss'}} {}^s a_m \omega^m + \sum_{\ell=1}^{k_{ss'}} {}^s b_\ell \delta(\omega - \omega_\ell) \quad (3.2.2.1)$$

$$\text{und } G_{ss'}^1(\Omega) = \theta(\bar{\omega}-\omega) \sum_{m=0}^{k_{ss'}} {}^s \bar{a}_m \omega^m + \sum_{\ell=1}^{k_{ss'}} {}^s \bar{b}_\ell \delta(\omega - \omega_\ell) \quad (3.2.2.2)$$

Man überzeugt sich leicht, daß die Koeffizienten  ${}^s a$ ,  ${}^s b$  dimensionslose Größen, die Koeffizienten  ${}^s \bar{a}$ ,  ${}^s \bar{b}$  Größen der Dimension [1/K] darstellen.

Für das Matrixelement  $C_{ss'}$  erhält man mit Hilfe von (3.2.2.1)

und (3.2.2.2)

$$C_{ss'} = -\frac{n}{h m \pi^4 (2\pi)^2} \sum_{ss's'i=1} \left[ (-1)^{s+i} s s' \left\{ \sum_{i=-2[\frac{s+i}{2}]}^{j_{ss'}} \left( \sum_{l=\max(0, -\frac{i}{2})}^{\min([\frac{s+i}{2}], [\frac{1}{2}(j_{ss'}-i)])} {}^s K_{2l}^{ss's'i} \alpha_{i+2l} \right) \int_0^{\bar{\omega}} d\omega \frac{\omega^{s+i+2+l}}{(e^{\omega}-1)(1-e^{-\omega})} + \right. \right. \\ \left. \left. + \sum_{l=0}^{[\frac{s+i}{2}]} s' K_{2l}^{ss'd} \sum_{i=1}^{k_{ss'}} s'_i b_i \frac{\omega_i}{(e^{\omega}-1)(1-e^{-\omega})} \right\} + \right. \\ \left. + \frac{1}{\delta} \sum_{i=-2[\frac{s+i+1}{2}]}^{j_{ss'}} \left( \sum_{l=\max(0, -\frac{i}{2})}^{\min([\frac{s+i+1}{2}], [\frac{1}{2}(j_{ss'}-i)])} {}^s K_{2l}^{ss'd} \frac{\omega_i}{\alpha_{i+2l}} (1+(-1)^{s+i+1+l}) \right) \int_0^{\bar{\omega}} d\omega \frac{\omega^{s+i+3+l}}{(e^{\omega}-1)(1-e^{-\omega})} + \right. \\ \left. + \frac{1}{\delta} \sum_{l=0}^{[\frac{s+i+1}{2}]} s'_i K_{2l}^{ss'd} \sum_{i=1}^{k_{ss'}} s'_i b_i \frac{s'_i - \omega_i - 3-2l}{(e^{\omega}-1)(1-e^{-\omega})} \right] \quad (3.2.2.3).$$

Die Symbole  $[x]$ ,  $\langle x \rangle$  bedeuten dabei:

$$[x] = n \dots \text{größte ganze Zahl } \leq x$$

$$\langle x \rangle = m \dots \text{kleinste ganze Zahl } \geq x$$

Gleichung (3.2.2.3) stellt nun eine unmittelbar auswertbare

Form für  $C_{ss'}$  dar. Neben den durch die Spektralfunktionen zu ermittelnden Koeffizienten  ${}^s a$ ,  ${}^s b$ ,  ${}^s \bar{a}$  und  ${}^s \bar{b}$  sowie der Integrationsgrenze  $\bar{\omega}$ , stehen in (3.2.2.3) Integrale  $J_n(x)$

$$J_n(x) = \int_0^x \frac{\omega^n}{(e^{\omega}-1)(1-e^{-\omega})} \quad (3.2.2.4),$$

die im Anhang (A.1.1), (A.1.2) behandelt sind.

### 3.3 Rechenablauf und Programmaufbau zur Berechnung der Transportkoeffizienten

Um den Temperaturverlauf der Transportkoeffizienten rechnerisch zu erfassen, werden Rechenprogramme erstellt, deren Aufbau und Funktion im folgenden erläutert werden soll.

Die Gleichungen (2.48)-(2.50) sowie die Definition

$$C_{ss'} = \sum_{ss's'i} \left\{ \iiint d\epsilon d\epsilon' d\omega f(\epsilon) [1-f(\epsilon')] [E''+s'E'^*] [E'^*+s'E''] \frac{\omega}{1-e^{-\omega}} G_{ss'}^i(\omega) \delta(\epsilon-E\epsilon') + \right. \\ \left. + \frac{1}{\delta} \iiint d\epsilon d\epsilon' d\omega f(\epsilon) [1-f(\epsilon')] [E''+s'E'^*] [E'^*+s'E''] \frac{\omega}{1-e^{-\omega}} G_{ss'}^i(\omega) E \delta(\epsilon-E\epsilon'-\omega) \right\} \quad (3.3.1)$$

ergeben für die Transportkoeffizienten  $\rho$ ,  $S$ , und  $\kappa$

$$\rho = \frac{m}{n} \frac{k_b}{e^2 \pi 4 (2\pi)^3} T \frac{1}{\sum_{\alpha, \alpha'} \tilde{\beta}_{\alpha} C_{\alpha \alpha'}^{-1} \tilde{\beta}_{\alpha'}} \quad (3.3.2)$$

$$S = - \frac{k_b}{e} \frac{\sum_{\alpha, \alpha'} \tilde{\beta}_{\alpha} C_{\alpha \alpha'}^{-1} \tilde{\beta}_{\alpha'}}{\sum_{\alpha, \alpha'} \tilde{\beta}_{\alpha} C_{\alpha \alpha'}^{-1} \tilde{\beta}_{\alpha'}} \quad (3.3.3)$$

$$\kappa = \frac{n}{m} k_b \hbar 4 (2\pi)^2 \left\{ \sum_{\alpha, \alpha'} \tilde{\beta}_{\alpha} C_{\alpha \alpha'}^{-1} \tilde{\beta}_{\alpha'} - \frac{\left( \sum_{\alpha, \alpha'} \tilde{\beta}_{\alpha} C_{\alpha \alpha'}^{-1} \tilde{\beta}_{\alpha'} \right)^2}{\sum_{\alpha, \alpha'} \tilde{\beta}_{\alpha} C_{\alpha \alpha'}^{-1} \tilde{\beta}_{\alpha'}} \right\} \quad (3.3.4)$$

Dabei wurde die Symmetrie von  $C_{\alpha \alpha'}$  bei der Vertauschung der Indizes  $\alpha$  und  $\alpha'$  ausgenutzt. Wie aus (3.3.2)–(3.3.4) ersichtlich ist, ist es notwendig für jede beliebige Temperatur die Größen  $\tilde{\beta}_{\alpha}$ ,  $\hat{\beta}_{\alpha}$  und  $C_{\alpha \alpha'}$  (über die Matrix des Stoßoperators) berechnen zu können.

### 3.3.1 Die Größen $\tilde{\beta}_{\alpha}$ und $\hat{\beta}_{\alpha}$

Wie aus Gleichung (3.1.14) hervorgeht, sind die Größen  $\tilde{\beta}_{\alpha}$  und  $\hat{\beta}_{\alpha}$  miteinander in der Form

$$\hat{\beta}_{\alpha} = \tilde{\beta}_{\alpha \alpha} \quad (3.3.1.1)$$

verknüpft. Für die  $\tilde{\beta}_{\alpha}$  gelten die Relationen, wie sie in Tabelle 3.1.1 angegeben sind. Dabei stellen die  $\bar{v}(0)$  und  $\bar{v}'(0)$  strukturabhängige und temperatur abhängige Größen dar, die in der Eingabe zur Verfügung gestellt werden müssen. Die Integrale  $I_n$  sind als programminterne Daten bereitzustellen.

### 3.3.2 Das Matrixelement des Stoßoperators

Wir gehen zunächst von der Gleichung (3.3.1) aus, wobei wir für die im Integranden vorkommenden Spektralfunktionen  $G_{ss}^0$ , und  $G_{ss}^1$  annehmen, daß diese in Form einer Tabelle und Summen von Deltafunktionen für jede gewünschte Temperatur angegeben werden können. Dies legen die Spektralfunktionen für die Potential- und die Phononen-Streuung (3.2.1.13), (3.2.1.14) nahe.

Wir haben die  $G_{ss}^0$  und  $G_{ss}^1$  als

$$G(\Omega) = \begin{array}{|c|c|} \hline \Omega & G(\Omega) \\ \hline \vdots & \vdots \\ \vdots & \vdots \\ \vdots & \vdots \\ \hline \end{array} + \sum_j b_j \delta(\Omega - \Omega_j) \quad (3.3.2.1)$$

vorliegen. In diesem Zusammenhang sei auf Kapitel 4 verwiesen, in dem die Berechnung der Spektralfunktionen für die Potential-, die Magnetische- und die Phononen-Streuung detailliert angegeben ist.

Ausgehend von den Spektralfunktionen in der Form (3.3.2.1) stellen wir uns nun die Aufgabe, das Matrixelement  $C_{ss}$  für beliebige, sinnvoll gewählte Temperaturen berechnen zu können.

Dazu betrachten wir  $C_{ss}$ , das Matrixelement des Stoßoperators,

$$C_{ss} = \sum_{\alpha, \alpha'} \left\{ (-1)^{\alpha \alpha'} \sum_{\epsilon=0}^{\left[\frac{\alpha+\alpha'}{2}\right]} K_{\alpha \epsilon}^{\alpha \alpha'} \int_0^\infty dw \frac{\omega^2}{(e^w-1)(1-e^{-w})} G_{ss}^0(\Omega) w^{\alpha+\alpha'-2\epsilon} + \right. \\ \left. + \frac{1}{\beta} \sum_{\epsilon=0}^{\left[\frac{\alpha+\alpha'-1}{2}\right]} K_{\alpha \epsilon}^{\alpha \alpha'} \int_{-\infty}^\infty dw \frac{\omega^2}{(e^w-1)(1-e^{-w})} G_{ss}^1(\Omega) w^{\alpha+\alpha'-1-2\epsilon} \right\} \quad (3.3.2.2).$$

Bei der numerischen Auswertung der Integrale (3.3.2.2) wollen wir mit äquidistantem Stützstellenabstand integrieren. Da für kleinere Temperaturen der dimensionslose Stützstellenabstand  $\Delta\omega = \Delta\Omega/T$  immer größer wird, werden wir  $G_{ss}^0$  und  $G_{ss}^1$  in der Gestalt

$$G_{ss'}^0(\Omega) = \theta(\bar{\omega}-\omega) \sum_{m=0}^{J_{ss'}} s_s' a_m \omega^m + \sum_{l=1}^{n_{ss'}} b_l \delta(\omega - \omega_l) + \sum_{l=n_{ss'}+1}^{k_{ss'}} \bar{b}_l \delta(\omega - \omega_l) \quad (3.3.2.3)$$

mit  $s_s' b_l = \int_{(\omega_{l-1} + \omega_l)/2}^{\bar{\omega}} d\omega G_{ss'}^0(\Omega)$  für  $1 \leq n_{ss'}$ .

$$G_{ss'}^1(\Omega) = \theta(\bar{\omega}-\omega) \sum_{m=0}^{J_{ss'}} s_s' \bar{a}_m \omega^m + \sum_{l=1}^{\bar{n}_{ss'}} \bar{b}_l \delta(\omega - \omega_l) + \sum_{l=\bar{n}_{ss'}+1}^{k_{ss'}} \bar{b}_l \delta(\omega - \omega_l) \quad (3.3.2.4)$$

mit  $\bar{s}_s' \bar{b}_l = \int_{(\omega_{l-1} + \omega_l)/2}^{\bar{\omega}} d\omega G_{ss'}^1(\Omega)$  für  $1 \leq \bar{n}_{ss'}$ .

fordern, um bei tiefen Temperaturen für kleine  $\omega$  ( $< \bar{\omega}$ ) analytisch integrieren zu können. Die erste Summe über Deltafunktionen in Gleichung (3.3.2.3) und (3.3.2.4) stammt dabei von der numerischen Integration von  $G_{ss'}^0$ , bzw.  $G_{ss'}^1$  her, die zweite Summe von der Eingabe (3.3.2.1).

Wir benutzen Gleichung (3.2.2.3):

$$\begin{aligned} C_{dd'} &= \sum_{s_s' s_d'} \left\{ (-1)^{s_s' s_d'} \left\{ \sum_{i=2}^{J_{ss'}} \left[ \frac{s_s' \omega}{2} \right] \left( \sum_{e=\max(0, i-\frac{1}{2})}^{\min(\left[ \frac{s_s' \omega}{2} \right], \left[ \frac{1}{2}(J_{ss'}-i) \right])} s_s' K_{se}^{s_s' s_d'} \alpha_{i+e} \right) \int_0^{\bar{\omega}} du \frac{\omega^{s_s' e+2+i}}{(e-1)(1-e^\omega)} \right. \right. \\ &\quad \left. \left. + \sum_{e=0}^{\left[ \frac{s_s' \omega}{2} \right]} s_s' K_{se}^{s_s' s_d'} \sum_{i=1}^{k_{ss'}} s_s' b_i \frac{s_s' \omega_i^{s_s' e+2-2e}}{(e-1)(1-e^{-s_s' \omega_i})} \right\} + \right. \\ &\quad \left. + \frac{1}{2} \sum_{i=2}^{J_{ss'}} \left[ \frac{s_s' \omega_i}{2} \right] \left( \sum_{e=\max(0, i-\frac{1}{2})}^{\min(\left[ \frac{s_s' \omega_i}{2} \right], \left[ \frac{1}{2}(J_{ss'}-i) \right])} s_s' K_{se}^{s_s' s_d'} \bar{s}_s' \bar{\alpha}_{i+e} (1+(-1)^{s_s' e+1+i}) \right) \int_0^{\bar{\omega}} du \frac{\omega^{s_s' e+3+i}}{(e-1)(1-e^\omega)} \right. \\ &\quad \left. + \frac{1}{2} \sum_{e=0}^{\left[ \frac{s_s' \omega_i}{2} \right]} s_s' K_{se}^{s_s' s_d'} \sum_{i=1}^{k_{ss'}} s_s' \bar{b}_i \frac{s_s' \omega_i^{s_s' e+3-2e}}{(e-1)(1-e^{-s_s' \omega_i})} \right\} \right\} \end{aligned} \quad (3.3.2.5)$$

Damit muß man, um das Matrixelement zu berechnen, zunächst aus der Tabelle von (3.3.2.1) die Koeffizienten  $s_a$ ,  $\bar{s}_a$  sowie die noch zum Teil unbekannten Größen  $s_b$ ,  $\bar{s}_b$ ,  $s_w$  und  $\bar{s}_w$ , die aus der numerischen Integration von  $G_{ss'}^0$  und  $G_{ss'}^1$ , zu bestimmen sind, berechnen. Die obere Integrationsgrenze  $\bar{\omega}$  gibt dabei das Ende der Polynomentwicklung für  $G_{ss'}^0$  und  $G_{ss'}^1$  an. Im nächsten Schritt kann man dann  $C_{dd'}$  mit Hilfe von (3.3.2.5) auswerten.

### 3.3.3 Die Berechnung der Transportkoeffizienten mit Hilfe der Programmpakete AS und TC

#### 3.3.3.1 Das Programmpaket AS

Das Programmpaket AS dient dazu, die in Gleichung (3.3.2.5) stehenden Koeffizienten  $a'$ ,  $\bar{a}'$ ,  $b'$ ,  $\bar{b}'$ ,  $w'$  und  $\bar{w}'$  aus den Spektralfunktionen  $G_{ss}'$  und  $G_{ss}''$ , zur Verfügung gestellt in der Form

$$G'(\Omega) = \begin{array}{|c|c|} \hline n & a(\Omega) \\ \hline \end{array} + \sum_j b_j \delta(\Omega - \Omega_j) \quad (3.3.3.1.1),$$

zu berechnen. Es werden die  $a'$ ,  $\bar{a}'$  als Koeffizienten des bestpassendsten Polynoms zur Tabelle aus (3.3.3.1.1) bestimmt. Im Programmpaket AS besteht die Möglichkeit, die Koeffizienten  $a'$ ,  $\bar{a}'$  indirekt durch die Anpassung an das bestpassendste Legendre oder Tschebyscheff Polynom - oder aber direkt durch Anpassen an das bestpassendste Polynom, also Summen von Potenzen  $\Omega^n$ , zu erhalten.

Da im allgemeinen aber eine Entwicklung in Polynome nur in einem Teil des Intervall, in dem die  $G_{ss}'(\Omega)$  definiert und  $\neq 0$  sind, erfolgen kann, berechnet man die Integrale für das komplementäre Teilintervall aus (3.3.2.2) numerisch, und im Fall vom Programmpaket AS mit Hilfe der Trapezformel. So erhält man mit der Tabelle aus (3.3.3.1.1) die Größen  $b'$ ,  $\bar{b}'$ ,  $w'$  und  $\bar{w}'$ , die nicht schon aus der Eingabe (3.3.3.1.1) vorgelegen haben.

Zur Illustration, wie eine Eingabe für das Programmpaket AS auszusehen hat, um sinnvollverarbeitet zu werden, sind in Tabelle

(3.3.3.1.1) die Daten der Spektralfunktionen ( $1=G_{--}^o, \dots, 6=G_{++}^4$ ) bei der angegebenen Temperatur angegeben. Jede Spektralfunktion setzt sich dabei, wie in (3.3.3.1.1) gefordert, als Tabelle und Summen von Deltafunktionen zusammen.

Um den Ablauf und die Funktion der einzelnen Unterprogramme des Programmpaketes AS darzulegen, ist in Abbildung 3.3.3.1.1 ein Flußdiagramm dargestellt, das den logischen Ablauf erklären soll. In Abbildung 3.3.3.1.2 sind die Unterprogramme und ihre Funktion im Programmpaket AS angegeben.

Somit erhält man als Ergebnis des Programmpaketes AS die Spektralfunktionen  $G_{ss'}^o$  und  $G_{ss'}^4$ , in der Form

$$G_{ss'}^o(\omega) = \theta(\bar{\omega} - \omega) \sum_{m=0}^{j_{ss'}} s'_m a_m \omega^m + \sum_{\ell=1}^{k_{ss'}} s'_m b_\ell \delta(\omega - \bar{\omega}_\ell) \quad (3.3.3.1.2)$$

$$G_{ss'}^4(\omega) = \theta(\bar{\omega} - \omega) \sum_{m=0}^{\bar{j}_{ss'}} s'_m \bar{a}_m \omega^m + \sum_{\ell=1}^{\bar{k}_{ss'}} s'_m \bar{b}_\ell \delta(\omega - \bar{\omega}_\ell) \quad (3.3.3.1.3)$$

Zur genaueren Beschreibung von AS befinden sich die Flußdiagramme und Programmisten aller Unterprogramme im Anhang (A.2.1.2).

A S - I N P U T

TEMP = .200E+02

1-TE SPEKTRALFUNKTION - TABELLE X1 Y1 , X2 Y2 . . .

0.	0.	,	.312500E+02	.271668E+02
.625000E+02	.517500E+02	,	.937500E+02	.711563E+02
.125000E+03	.828000E+02	,	.156250E+03	.840937E+02
.187500E+03	.724500E+02	,	.218750E+03	.452613E+02
.250000E+03	0.	,	-I	-I

DELTAFUNKTIONEN X-KORDINATE1 AMPLITU1 , X-KORDINATE2 AMPLITU2... .

0.	0.	,	.998043E+02	0.
.250000E+03	0.	,		

2-TE SPEKTRALFUNKTION - TABELLE X1 Y1 , X2 Y2 . . .

0.	0.	,	.312500E+02	0.
.625000E+02	0.	,	.937500E+02	0.
.125000E+03	0.	,	.156250E+03	0.
.187500E+03	0.	,	.218750E+03	0.
.250000E+03	0.	,	-I	-I

DELTAFUNKTIONEN X-KORDINATE1 AMPLITU1 , X-KORDINATE2 AMPLITU2... .

0.	0.	,	.998043E+02	0.
----	----	---	-------------	----

3-TE SPEKTRALFUNKTION - TABELLE X1 Y1 , X2 Y2 . . .

0.	0.	,	.312500E+02	.431250E+00
.625000E+02	.345000E+01	,	.937500E+02	.116438E+02
.125000E+03	.276000E+02	,	.156250E+03	.539063E+02
.187500E+03	.931500E+02	,	.218750E+03	.147919E+03
.250000E+03	.220800E+03	,	-I	-I

DELTAFUNKTIONEN X-KORDINATE1 AMPLITU1 , X-KORDINATE2 AMPLITU2... .

0.	0.	,	.998043E+02	0.
.250000E+03	0.	,		

4-TE SPEKTRALFUNKTION - TABELLE X1 Y1 , X2 Y2 . . .

-.250000E+03	0.	,	-.218750E+03	0.
-.167500E+03	0.	,	-.156250E+03	0.
-.125000E+03	0.	,	-.937500E+02	0.
-.625000E+02	0.	,	-.312500E+02	0.
0.	0.	,	.312500E+02	0.

.625000E+02	0.	,	.937500E+02	0.
.125000E+03	0.	,	.156250E+03	0.
.187500E+03	0.	,	.218750E+03	0.
.250000E+03	0.	,	-I	-I

DELTAFUNKTIONEN X-KORDINATE1 AMPLITU1 , X-KORDINATE2 AMPLITU2... .

0.	0.	,	.998043E+02	0.
-.998043E+02	0.	,		

5-TE SPEKTRALFUNKTION - TABELLE X1 Y1 , X2 Y2 . . .

-.250000E+03	.474805E-03	,	-.218750E+03	.415454E-03
-.187500E+03	.356104E-03	,	-.156250E+03	.296753E-03
-.125000E+03	.237403E-03	,	-.937500E+02	.178052E-03
-.625000E+02	.118701E-03	,	-.312500E+02	.593506E-04
0.	0.	,	.312500E+02	.593506E-04
.625000E+02	.118701E-03	,	.937500E+02	.178052E-03
.125000E+03	.237403E-03	,	.156250E+03	.296753E-03
.187500E+03	.356104E-03	,	.218750E+03	.415454E-03
.250000E+03	.474805E-03	,	-I	-I
DELTAFUNKTIONEN	X-KORDINATE1	AMPLITU1	X-KORDINATE2	AMPLITU2...

0. 0. , .998043E+02 0.

-.998043E+02 0. , .250000E+03 0.  
-.250000E+03 0. ,

6-TE SPEKTRALFUNKTION - TABELLE X1 Y1 , X2 Y2 . . .

-.250000E+03	0.	,	-.218750E+03	0.
-.187500E+03	0.	,	-.156250E+03	0.
-.125000E+03	0.	,	-.937500E+02	0.
-.625000E+02	0.	,	-.312500E+02	0.
0.	0.	,	.312500E+02	0.
.625000E+02	0.	,	.937500E+02	0.
.125000E+03	0.	,	.156250E+03	0.
.187500E+03	0.	,	.218750E+03	0.
.250000E+03	0.	,	-I	-I
DELTAFUNKTIONEN	X-KORDINATE1	AMPLITU1	X-KORDINATE2	AMPLITU2...
0.	0.	,	.998043E+02	0.
-.998043E+02	0.	,	.250000E+03	.118701E+00
-.250000E+03	.118701E+00	,		

Tabelle 3.3.3.1.1: Die Spektralfunktionen ( $1=G_1^0, \dots, 6=G_1^1$ ) der Phononen-Streuung als Input für das Programm Paket AS bei  $T = 20 \text{ K}$

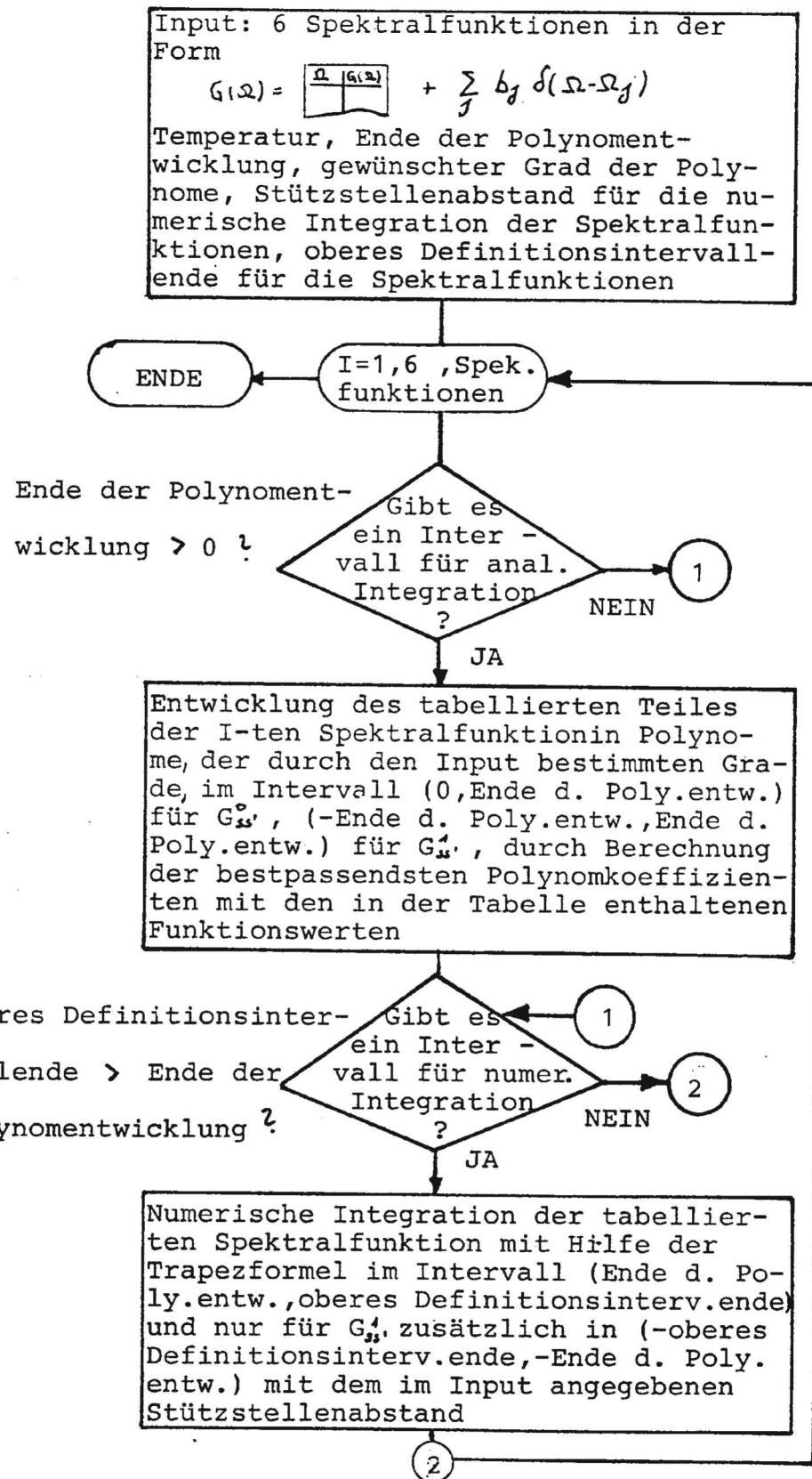
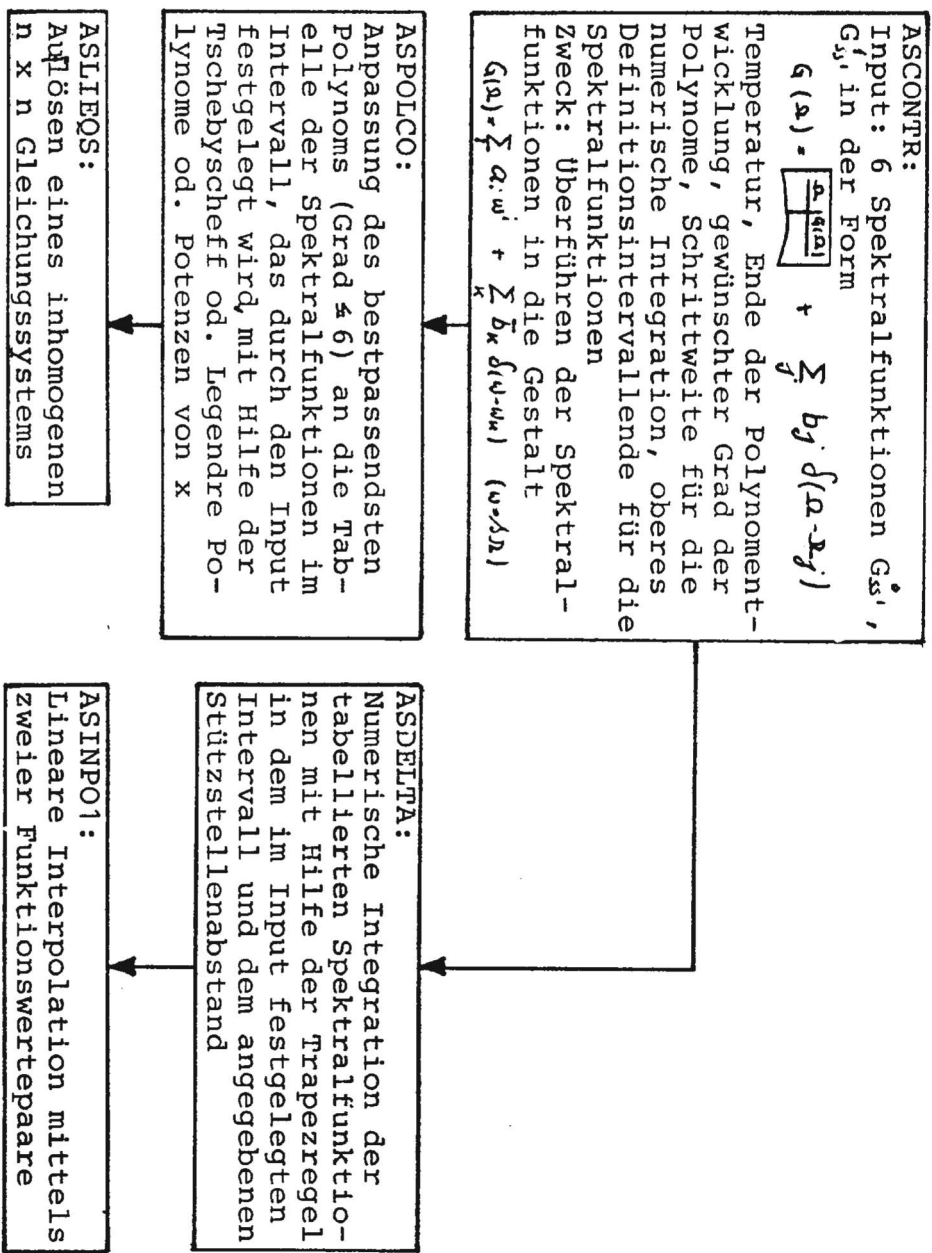
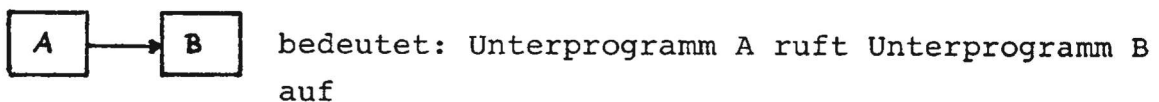


Abbildung 3.3.3.1.2 : Struktur, Aufbau und Funktion der Unterprogramme des Programm paketes AS.



### 3.3.3.2 Das Programmpaket TC

Nachdem man aus der Eingabe der Form (3.3.3.1.1) die Spektralfunktionen in die Form (3.3.3.1.2), (3.3.3.1.3) übergeführt hat, ist man in der Lage, mit Hilfe des Programmpakets TC die Transportkoeffizienten elektrischen Widerstand, Seebeckkoeffizienten und die Wärmeleitfähigkeit zu berechnen (Die Größen  $\tilde{v}(0)$ ,  $\tilde{v}'(0)$  müssen dabei ebenfalls verfügbar sein).

In Tabelle 3.3.3.2.1 ist für die bereits im letzten Kapitel behandelten Spektralfunktionen der Phononen-Streuung dargelegt, wie die Spektralfunktionen vorhanden sein müssen, um vom Programmpaket TC verarbeitet werden zu können. Man beachte dabei für jede Spektralfunktion ( $1=G_{--}^0, \dots, 6=G_{++}^4$ ) die Aufteilung der Eingabe in Polynomkoeffizienten (erster Summand in (3.3.3.1.2) und (3.3.3.1.3)) und Deltafunktionen (zweiter Summand in (3.3.3.1.2) und (3.3.3.1.3)).

Wir wenden uns noch einmal der Berechnung des Matrixelementes  $C_{dd}$  des Stoßoperators zu. Die in (3.3.2.5) auftretenden Koeffizienten " $K_{dd}^{''}$ ", " $K_{dd}^{'''}$ " sind temperaturunabhängig und werden daher für jeden Rechenlauf am Anfang (und nur einmal) bestimmt. Demgegenüber hängen die Größen " $a$ ", " $\tilde{a}$ ", " $b$ ", " $\tilde{b}$ ", " $w$ " und " $\tilde{w}$ " sowie die obere Integrationsgrenze  $\tilde{w}$  sehr wohl von der Temperatur ab.

Will man nun für einen gewissen Temperaturbereich die Transportkoeffizienten erhalten, so müssen alle in (3.3.2.5) auftretenden Summen und Integrale für jede Temperatur berechnet werden.

Das Flußdiagramm in Abbildung 3.3.3.2.1 stellt den Arbeitsablauf für das Programmpaket TC dar.

Den Aufbau und die Funktion der einzelnen Unterprogramme des Programmpaketes TC zeigt das Diagramm der Abbildung 3.3.3.2.2. Für die detaillierte Darstellung befinden sich die Flußdiagramme und Programmisten aller im Programmpaket TC verwendeten Unterprogramme im Anhang (A.2.1.3).

T C - I N P U T

TMP = .200E+02

### 1-TE SPEKTRALFUNKTION

POLYNOM-KOEFFIZIENTEN (0-6)

.970E-12 .177E+02 -.233E-11 -.113E+00 -.126E-12

.909E-14 -.247E-15

DELTAFUNKTIONEN X-KORDINATE1 AMPLITU1 , X-KORDINATE2 AMPLITU2...

0. 0.  
.125000E+02 0.

, , .499021E+01 -1 .-I

### 2-TE SPEKTRALFUNKTION

POLYNOM-KOEFFIZIENTEN (0-6)

0. 0. 0. 0. 0.

0. 0.

DELTAFUNKTIONEN X-KORDINATE1 AMPLITU1 , X-KORDINATE2 AMPLITU2...

0. 0. , .499021E+01 0.

### 3-TE SPEKTRALFUNKTION

POLYNOM-KOEFFIZIENTEN (0-6)

-.467E-12 -.504E-12 .835E-12 .113E+00 .610E-13

-.516E-14 .160E-15

DELTAFUNKTIONEN X-KORDINATE1 AMPLITU1 , X-KORDINATE2 AMPLITU2...

0. 0.  
.125000E+02 0.

, , .499021E+01 -1 .-I

### 4-TE SPEKTRALFUNKTION

POLYNOM-KOEFFIZIENTEN (0-6)

0. 0. 0. 0. 0.

0. 0.

DELTAFUNKTIONEN X-KORDINATE1 AMPLITU1 , X-KORDINATE2 AMPLITU2...

0. 0. , .499021E+01 0. -1 .-I

### 5-TE SPEKTRALFUNKTION

#### POLYNOM-KOEFFIZIENTEN (0-6)

.367E-04	-.629E-19	.696E-05	.469E-21	-.524E-07
----------	-----------	----------	----------	-----------

-.207E-23	.165E-09
-----------	----------

DELTAFUNKTIONEN X-KORDINATE1 AMPLITU1 , X-KORDINATE2 AMPLITU2...

0.	0.
----	----

,	.499021E+01
---	-------------

0.
----

-.499021E+01	0.
--------------	----

,	.125000E+02
---	-------------

0.
----

-.125000E+02	0.
--------------	----

,	-I
---	----

-1

### 6-TE SPEKTRALFUNKTION

#### POLYNOM-KOEFFIZIENTEN (0-6)

0.	0.	0.
----	----	----

0.	0.
----	----

0.	0.
----	----

DELTAFUNKTIONEN X-KORDINATE1 AMPLITU1 , X-KORDINATE2 AMPLITU2...

0.	0.
----	----

,	.499021E+01
---	-------------

0.
----

-.499021E+01	0.
--------------	----

,	.125000E+02
---	-------------

.593506E-02
-------------

-.125000E+02	.593506E-02
--------------	-------------

,	-I
---	----

-1

Tabelle 3.3.3.2.1: Die Spektralfunktionen ( $1=G_{--}^0, \dots, 6=G_{++}^1$ ) der Phononen-Streuung als Input für das Programmpaket TC bei  $T = 20$  K

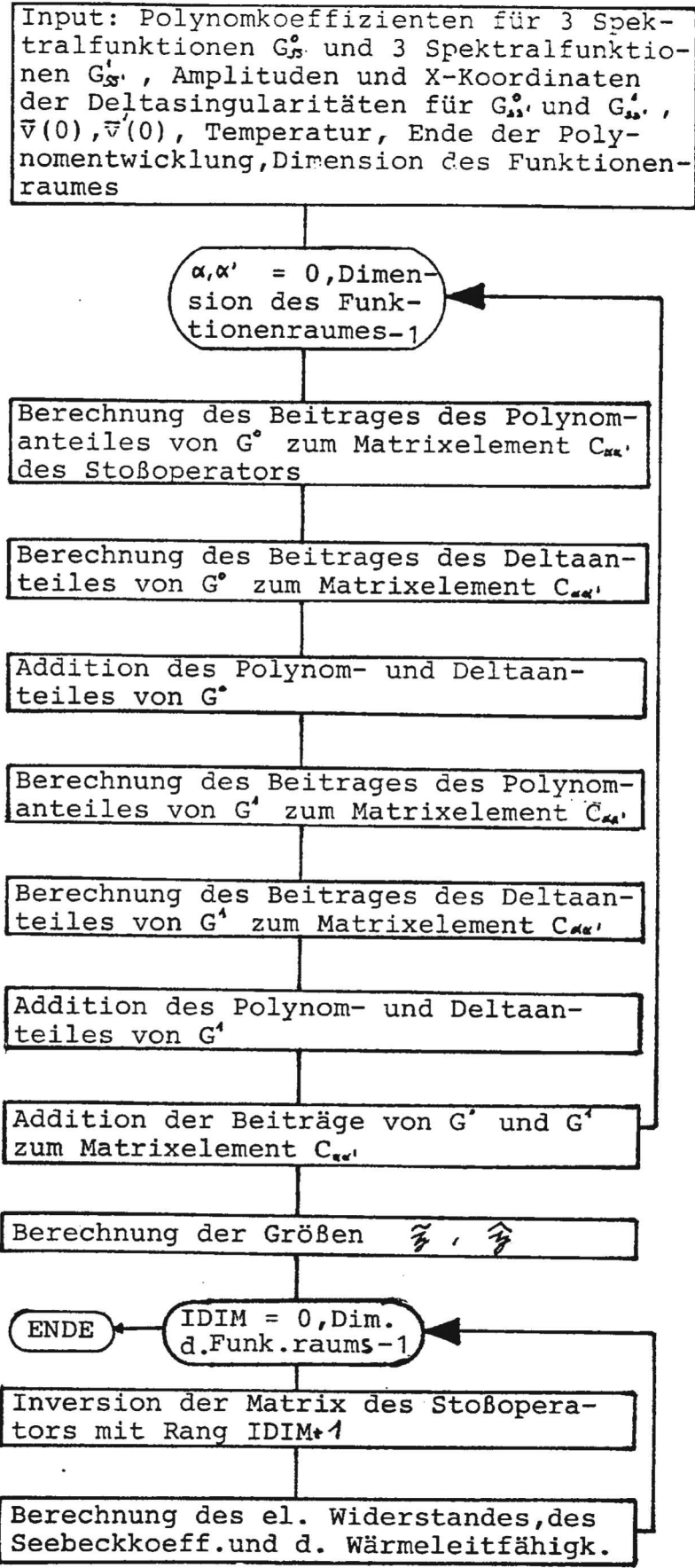


Abbildung 3.3.3.2.1: Flußdiagramm für das Programm Paket TC

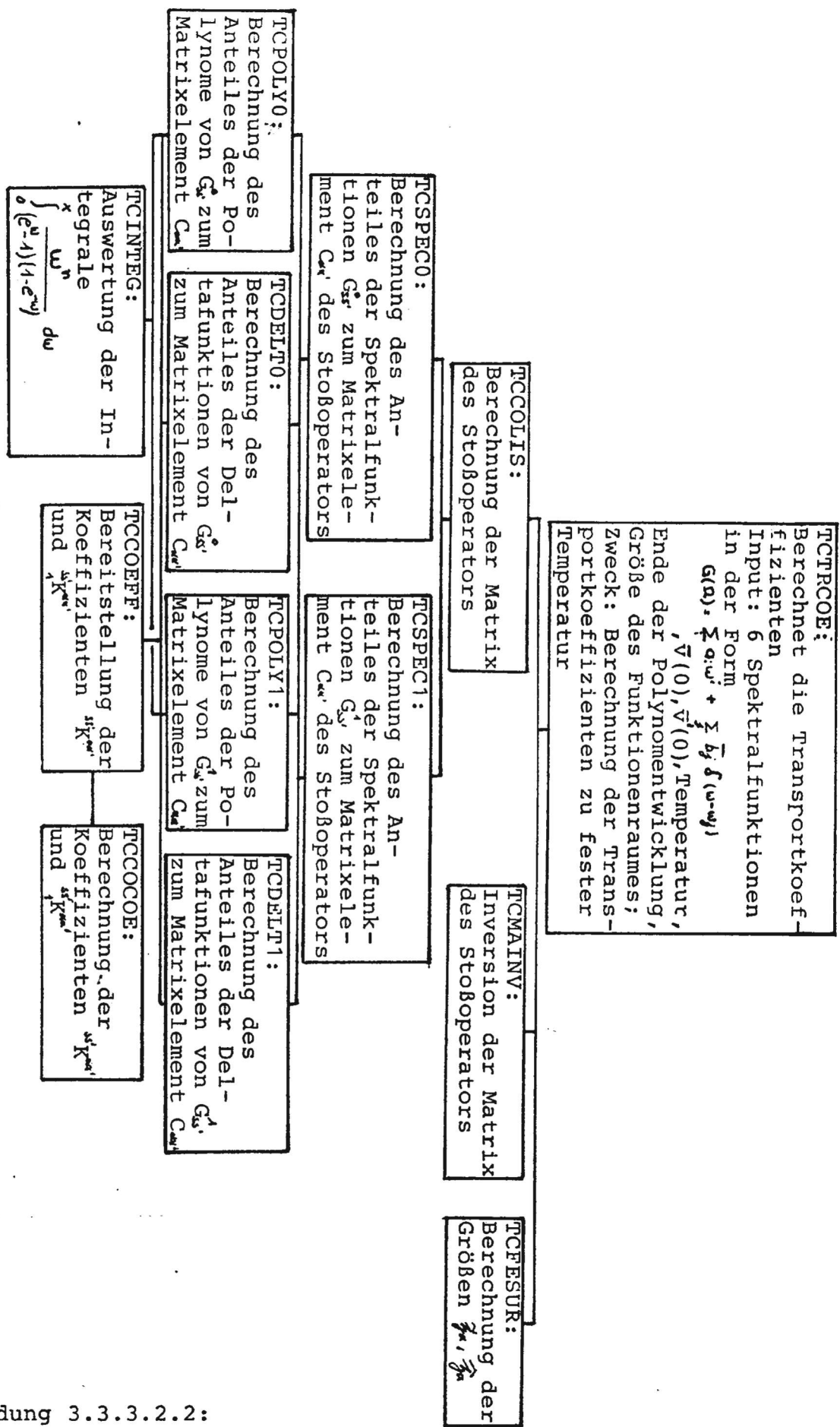


Abbildung 3.3.3.2.2:

Struktur, Aufbau und Funktion der Unterprogramme für das Programm Paket TC

#### 4. Die Modellspektralfunktionen

##### 4.1 Die Berechnung der Modellspektralfunktionen aus den Modell-Hamiltonoperatoren

Die Einführung der Spektralfunktionen in Gleichung (3.2.1.12) hat es mit sich gebracht, daß man für eine ganze Klasse von Wechselwirkungen die Transportkoeffizienten berechnen kann, und dabei die den Stoßprozeß beschreibenden Spektralfunktionen zu verwenden hat. Dies führt zu einer wesentlichen Verallgemeinerung der Berechnung der Transportkoeffizienten.

Die in Gleichung (3.2.1.12) gegebene Definition der Spektralfunktionen  $G_{SS'}(E, E', \Omega)$  sei hier noch einmal wiederholt

$$G_{SS'}(E, E', \Omega) = \frac{m}{n} \sum_{\sigma\sigma'} \int d^3k d^3k' P_{\gamma\gamma'}(\Omega) [v_i(\gamma) - s v_i(\gamma')] [v_i(\gamma') - s' v_i(\gamma')] \cdot \delta(E - E_\gamma + \mu) \delta(E' - E_{\gamma'} + \mu) \quad (4.1.1).$$

Der Integrand (4.1.1) enthält die von der Bandstruktur abhängigen Größen  $v_i(\gamma)$ ,  $E_\gamma$  und die Funktion  $P_{\gamma\gamma'}(\Omega)$ , für deren Gestalt die Art der Streuprozesse, die die Leitungselektronen erfahren, bestimmt ist.  $P_{\gamma\gamma'}(\Omega)$  wurde in (3.2.1.7) eingeführt und enthält die Matrixelemente des Operators, der die Wechselwirkungen der Leitungselektronen im Festkörper modellmäßig beschreibt. Über seine Gestalt gibt es in der Literatur /8/ Angaben, um die Streuprozesse, wie sie bei den hier behandelten Seltenen Erden Verbindungen auftreten, realistisch zu beschreiben. Für die weitere Rechnung beschränken wir uns auf Modell-Hamiltonoperatoren, die (i) die elastische Streuung der Leitungselektronen, (ii) die Streuung der Leitungselektronen an den

magnetischen Momenten der Seltenen Erd Ionen, deren Elektronenzustände durch die Seltene Erd Ion - Seltene Erd Ion Wechselwirkung ( $H_{ff}$ -Wechselwirkung) bezüglich der Quantenzahl  $M_j$  aufspalten und dadurch auch inelastische Streuprozesse mit spezifischer Temperaturabhängigkeit hervorrufen sowie (iii) die Streuung der Leitungselektronen an Phononen, beschreiben.

Für jeden dieser Streumechanismen gilt es nun, ausgehend von den aus der Literatur bekannten Modell-Hamiltonoperatoren /8/ die Funktionen  $P_{\gamma\gamma}(\Omega)$  zu ermitteln. Weiters sind, um die Integrale in (4.1.1) auszuwerten, die Funktionen  $v_i(\gamma)$  und  $E_\gamma$  erforderlich.

Für die Wechselwirkungen der Leitungselektronen mit den sie umgebenden Atomen, Ionen und Leerstellen setzen wir /8/

$$v_{\text{Potential}}(\vec{r}) = \sum_{\tau} \sum_{n\nu} C_{n\nu}^{\tau} v^{\tau} (\vec{r} - \vec{R}_{n\nu}), \quad \vec{R}_{n\nu} = \vec{R}_n + \vec{R}_{\nu}$$

$\nu$ ... Basisnummer,  $\tau$ ... Atomart,  $\vec{R}_n$ ... Gittervektor<sup>(4.1.2)</sup>, wobei für die  $C_{n\nu}^{\tau}$  gilt,  $C_{n\nu}^{\tau} = 1$ , wenn sich die Atomart  $\tau$  auf der Stelle  $\vec{R}_{n\nu}$  befindet und,  $C_{n\nu}^{\tau} = 0$ , wenn dies nicht der Fall ist. Als Streupotential haben wir aber nur die Abweichung von  $v_{\text{Potential}}$  vom gitterperiodischen Potential  $v_o^p$

$$v_o^p(\vec{r}) = \sum_{\tau, n, \nu} C_{\nu}^{\tau} v^{\tau} (\vec{r} - \vec{R}_{n\nu}) \quad (4.1.3)$$

zu verwenden, da wir den gitterperiodischen Anteil der Potentiale in den Zuständen und Energien der Leitungselektronen berücksichtigen.

Für die Konzentrationen  $C_{\nu}^{\tau}$  gilt dabei :

$$C_{\nu}^{\tau} = \frac{1}{N} \sum_n C_{n\nu}^{\tau} = N_{\nu}^{\tau} / N \quad (4.1.4).$$

Für das Streupotential  $v_s^p = v_{\text{Potential}} - v_o^p$  erhalten wir

$$V_s^P(\vec{r}) = \sum_{n\nu} \left\{ \sum_{\tau} c_{n\nu}^{\tau} V^{\tau}(\vec{r} - \vec{R}_{n\nu}) - \bar{V}_v^P(\vec{r} - \vec{R}_{n\nu}) \right\} \quad (4.1.5)$$

$$\text{mit } \bar{V}_v^P(\vec{r}) = \sum_{\tau} c_v^{\tau} V^{\tau}(\vec{r}) \quad (4.1.6).$$

Die Berücksichtigung von  $V_o^P$  in den Zuständen  $| \gamma \rangle$  der freien Leitungselektronen bringt in Störungstheorie erster Ordnung lediglich eine Verschiebung des Energie-Nullpunktes mit sich, und ist daher für die weitere Rechnung ohne Bedeutung.

Als nächstes betrachten wir die Wechselwirkung der Leitungselektronen mit den magnetischen Seltenen Erd Ionen. Die Seltenen Erd Ionen wechselwirken untereinander durch eine Kopplung ihres Gesamtdrehimpulses. Wegen den um den Kern lokalisierten  $4f$  - Elektronen (geringer Überlapp von Elektronen benachbarter Seltenen Erd Ionen) ist der Beitrag der direkten Kopplung klein. Durch die Leitungselektronen, die ebenfalls mit den Spins der Seltenen Erd Ionen wechselwirken ( $H_{sf}$ -Wechselwirkung), wird nun eine indirekte ( $f-f$ ) - Kopplung vermittelt /5,7,8/.

Als Wechselwirkungsoperator der  $H_{ff}$ -Wechselwirkung schreiben wir den Heisenberg-Hamiltonoperator /5,8/

$$H_{ff} = -\frac{1}{2} \sum_{n\nu} \sum_{n\nu'} c_{n\nu}^{\tau} c_{n\nu'}^{\tau'} \alpha_{n\nu, n\nu'}^{\tau\tau'} \vec{J}_{n\nu}^{\tau} \cdot \vec{J}_{n\nu'}^{\tau'} \quad (4.1.7) \text{ an.}$$

Die  $\alpha_{n\nu, n\nu'}^{\tau\tau'}$  stellen in (4.1.7) die Kopplungskonstanten der verschiedenen Spins an einander dar. Für GdAl<sub>3</sub> liegt die

Stärke dieser  $H_{ff}$ -Wechselwirkung bei  $\approx 150$  K. Dies ist wesentlich schwächer als die Stärke, mit der die Spins der Leitungselektronen an die der Seltenen Erd Ionen koppeln,  $\approx 1000$  K.

Für den Hamiltonoperator, der die Wechselwirkung zwischen Leitungselektronen und Seltenen Erd Ionen modellmäßig beschreibt,

setzen wir /8/

$$H_{sf} = - \sum_{nv} \sum_{\tau} c_{nv}^{\tau} G^{\tau} (\vec{r} - \vec{R}_{nv}) \cdot \vec{J}_{nv}^{\tau} \cdot \vec{s}_{el}$$

(4.1.10).

Das zu (4.1.10) gehörende gitterperiodische Potential lautet

$$H_{sf}^{per} = - \sum_{nv} \sum_{\tau} c_v^{\tau} G^{\tau} (\vec{r} - \vec{R}_{nv}) \langle \vec{J}_v^{\tau} \rangle \cdot \vec{s}_{el}$$

⟨ ⟩ ... thermodynamischer Mittelwert      (4.1.11).

Aus (4.1.10) und (4.1.11) erhält man das magnetische Streupotential  $H_{sf} - H_{sf}^{per}$

$$H_{magnetisch} = H_{sf} - H_{sf}^{per} = - \sum_{nv} \sum_{\tau} G^{\tau} (\vec{r} - \vec{R}_{nv}) (c_{nv}^{\tau} \vec{J}_{nv}^{\tau} - c_v^{\tau} \langle \vec{J}_v^{\tau} \rangle) \cdot \vec{s}_{el}$$

(4.1.12).

Für die Leitungselektronen ergibt sich, und das ist für die weitere Rechnung von großer Bedeutung, eine Aufspaltung des Energiebandes für Spin  $\uparrow$  und Spin  $\downarrow$ . In erster Ordnung Störungstheorie gelten die Gleichungen

$$E_{k\uparrow} = E_k^0 + \Delta b \quad (4.1.13)$$

$$E_{k\downarrow} = E_k^0 - \Delta b \quad (4.1.14).$$

Für die Größe  $\Delta b$  (das ist die halbe Bandaufspaltung) erhält man (für nur eine Atomart)

$$\Delta b = - \frac{1}{2} \langle J_z \rangle \frac{N_{RE}}{Vol_{EZ}} |G_0| \operatorname{sign}(G_0) \quad (4.1.15)$$

$$\text{und für } G_0 \quad G_0 = \int d\vec{r} G(\vec{r}) \quad (4.1.16)$$

$N_{RE}$  ist die Zahl der Seltenen Erd Ionen in der Einheitszelle und  $Vol_{EZ}$  das Volumen der Einheitszelle.

Die Aufspaltung  $\Delta b$  liegt bei ungefähr 1000 K (für  $GdAl_3$ ) und ist temperaturabhängig. Im Vergleich mit der Fermienergie = 10000 - 100000 K sieht man, daß  $\Delta b$  tatsächlich klein ist.

Neben den Streumechanismen Potential-Sreuung und Magnetische-Streuung berücksichtigen wir die Wechselwirkung der Leitungselektronen mit den Gitterschwingungen. Diese wird durch den Hamiltonoperator

$$V(\vec{r}) = \sum_{n\nu} V^\nu (\vec{r} - \vec{R}_{n\nu} - \vec{s}_{n\nu}) \quad (4.1.17)$$

beschrieben. Dabei sind die  $\vec{s}_{n\nu}$  die Auslenkungen der Ionen am Ort  $\vec{R}_{n\nu}$ . Wir subtrahieren nun wieder den gitterperiodischen Anteil von  $V(\vec{r})$  und erhalten für das Streupotential  $V_s(\vec{r})$

$$V_s(\vec{r}) = V(\vec{r}) - V_o(\vec{r}) \quad (4.1.18)$$

$$\text{mit } V_o(\vec{r}) = \sum_{n\nu} V^\nu (\vec{r} - \vec{R}_{n\nu}) \quad (4.1.19).$$

Führt man nun für  $V_s(\vec{r})$  eine Reihenentwicklung in den  $\vec{s}_{n\nu}$  durch, und bricht man die Reihe nach dem zweiten Glied ab, so erhält man /6/

$$H_{\text{el-ph}} = - \sum_{n\nu i} \frac{\partial V^\nu}{\partial r_i} (\vec{r} - \vec{R}_{n\nu}) s_{n\nu i} \quad (4.1.20)$$

als effektiven Wechselwirkungsoperator für die Phononen-Streuung (Ein-Phonon Näherung).

Als nächstes sollen ausgehend von den oben angegebenen Modell-Hamiltonoperatoren die zugehörigen Modellspektralfunktionen berechnet werden. Dabei sollte man beachten, daß die Bandaufspaltung des Leitfähigkeitsbandes, wie man sie durch die Anwesenheit der wechselwirkenden magnetischen Seltenen Erd Ionen erhält, klein gegenüber der Fermienergie ist. Deshalb werden wir uns bei der Berechnung der Transportkoeffizienten und auch der Spektralfunktionen auf Terme die höchstens linear in  $\Delta b$  sind beschränken, und Terme höherer Ordnung ver-

nachlässigen.

#### 4.1.1 Die Modellspektralfunktionen für die Potential-Streuung

Bei der Potential-Streuung werden die Wechselwirkungen der Leitungselektronen mit Fehlstellen und Fremdatomen berücksichtigt. Ausgehend vom Streupotential  $V_s$  (4.1.5)

$$V_s^P(\vec{r}) = \sum_{n\nu} \left( \sum_{\tau} C_{n\nu}^{\tau} V^{\tau}(\vec{r} - \vec{R}_{n\nu}) - \bar{V}_v^P(\vec{r} - \vec{R}_{n\nu}) \right) \quad (4.1.1.1)$$

$$\text{mit } \bar{V}_v^P(\vec{r}) = \sum_{\tau} C_v^{\tau} V^{\tau}(\vec{r}) \quad (4.1.1.2)$$

geht man nun heran die Funktion  $P_{\gamma\gamma'}(\Omega)$ , definiert in Gleichung (3.2.1.7) als

$$P_{\gamma\gamma'}(\Omega) = \frac{1 - e^{-\omega}}{\omega} \sum_{MM'} g_M \frac{\Delta^3 r}{(2\pi)^3} |\langle \gamma M | H_{WW} | \gamma' M' \rangle|^2 \delta(\Omega + E_M - E_{M'}) \quad (4.1.1.3)$$

zu berechnen. Wegen der Gestalt von  $V_s$  werden die Systemzustände  $|M\rangle$  und Energien  $E_M$  in (4.1.1.3) nicht verändert. Für das Matrixelement in Gleichung (4.1.1.3) schreibt man:

$$\begin{aligned} \langle \gamma | H_{WW} | \gamma' \rangle &= \sum_{n\nu} \langle \gamma | H_{n\nu}(\vec{r} - \vec{R}_{n\nu}) | \gamma' \rangle = \sum_{n\nu} e^{i(\vec{k}' - \vec{k}) \cdot \vec{R}_n}, \\ &\cdot \langle \gamma | H_{n\nu}(\vec{r} - \vec{R}_v) | \gamma' \rangle \end{aligned} \quad (4.1.1.4)$$

$$\text{mit } H_{n\nu}(\vec{r}) = \sum_{\tau} (C_{n\nu}^{\tau} - C_v^{\tau}) V^{\tau}(\vec{r}) \quad (4.1.1.5).$$

Dabei sind die Zustände  $|\gamma\rangle$  Blochzustände  $|n, k, \sigma\rangle$ , mit der Eigenschaft

$$\Psi_{\gamma}(\vec{r} + \vec{R}_n) = e^{i\vec{k} \cdot \vec{R}_n} \Psi_{\gamma}(\vec{r}) \quad (4.1.1.6).$$

Man überzeugt sich schnell, daß für  $\vec{k} = \vec{k}'$

$$\langle \gamma | H_{WW} | \gamma' \rangle = \langle \gamma | \sum_{n\nu} H_{n\nu}(\vec{r} - \vec{R}_v) | \gamma' \rangle = 0 \quad (4.1.1.7)$$

gilt. Man erhält weiter

$$|\langle \gamma | H_{WW} | \gamma' \rangle|^2 = \sum_{\tau\tau'} \sum_{\nu\nu'} \sum_n (C_{n\nu}^{\tau} - C_{\nu}^{\tau}) (C_{n\nu'}^{\tau'} - C_{\nu'}^{\tau'}) \langle \gamma | V^{\tau}(\vec{r} - \vec{R}_{\nu}) | \gamma' \rangle \langle \gamma' | V^{\tau'}(\vec{r} - \vec{R}_{\nu'}) | \gamma \rangle \\ + \sum_{\tau\tau'} \sum_{\nu\nu'} (\langle \gamma | V^{\tau}(\vec{r} - \vec{R}_{\nu}) | \gamma' \rangle \langle \gamma' | V^{\tau'}(\vec{r} - \vec{R}_{\nu'}) | \gamma \rangle) \sum_{\vec{k} \neq 0} e^{i(\vec{k}' - \vec{k}) \cdot \vec{R}_n} \sum_u (C_{n+n', \nu}^{\tau} - C_{\nu}^{\tau}) (C_{n'\nu'}^{\tau'} - C_{\nu'}^{\tau'}) \quad (4.1.1.8)$$

Führt man nun das Matrixelement  $|V_{\gamma\gamma'}|^2$  ein

$$|V_{\gamma\gamma'}|^2 = (\Delta^3 r)^2 \sum_{\tau, \nu, \nu', \tau'} C_{\nu\nu'}^{\tau\tau'} \langle \gamma | V^{\tau}(\vec{r} - \vec{R}_{\nu}) | \gamma' \rangle \langle \gamma' | V^{\tau'}(\vec{r} - \vec{R}_{\nu'}) | \gamma \rangle \quad (4.1.1.9)$$

$$\text{mit } N C_{\nu\nu'}^{\tau\tau'} = \sum_u (C_{n\nu}^{\tau} - C_{\nu}^{\tau}) (C_{n\nu'}^{\tau'} - C_{\nu'}^{\tau'}) \quad (4.1.1.10)$$

$$\text{und setzt } n_{\text{git}} = \frac{N}{\Delta^3 r} = \frac{1}{\text{Vol}_{EZ}} \quad (4.1.1.11),$$

so erhält man für  $P_{\gamma\gamma'}(\Omega)$  der Potential-Streuung wegen der statistischen Unabhängigkeit der Verteilung der Fremdatome und Leerstellen auf die Einheitszellen

$$P_{\gamma\gamma'}(\Omega) = \frac{1}{(2\pi)^3} \delta(\Omega) n_{\text{git}} |V_{\gamma\gamma'}|^2 \quad (4.1.1.12).$$

Zur Berechnung der Spektralfunktionen verwendet man ihre Definition (Gleichung (4.1.1)) in der Form

$$G_{ss'}(E, E', \Omega) = \frac{m}{3n} \frac{(2\pi)^6}{(\Delta^3 r)^2} \sum_{\tau\tau'} P_{\gamma\gamma'}(\Omega) [v(\gamma) - sv(\gamma')] [v(\gamma) - s'v(\gamma')] \cdot \\ \cdot \delta(E - E_{\gamma} + \mu) \delta(E' - E_{\gamma'} + \mu) \quad (4.1.1.13).$$

$$\text{Es wurde angenommen, daß } \frac{1}{\Delta^3 r} \sum_{\tau} v^2(\gamma) \delta(E - E_{\gamma} + \mu) = \frac{3}{\Delta^3 r} \sum_i v_i^2(\gamma) \delta(E - E_{\gamma} + \mu) \quad (4.1.1.14)$$

gilt. Vernachlässigt man die Abhängigkeit von  $|V_{\gamma\gamma'}|^2$  von  $\gamma$  und  $\gamma'$ , also  $|V_{\gamma\gamma'}|^2 = |v|^2$ , und nimmt man weiters an, daß

$$\vec{v}(\gamma) = \vec{v}(k) \quad (4.1.1.15)$$

$$\vec{v}(-k) = -\vec{v}(k) \quad (4.1.1.16)$$

$$E_{\gamma} = E_k \quad (4.1.1.17)$$

$$E_{-k} = E_k \quad (4.1.1.18)$$

gilt, so erhält man für die Spektralfunktionen  $G_{ss'}$ ,

$$G_{\pm \pm} (E, E', \Omega) = k_s a_v \frac{\bar{v}(E)N(E') + \bar{v}(E')N(E)}{v(0)N(0)} \delta(\Omega) \quad (4.1.1.19)$$

und

$$G_{\pm \mp} (E, E', \Omega) = k_s a_v \frac{\bar{v}(E)N(E') - \bar{v}(E')N(E)}{v(0)N(0)} \delta(\Omega) \quad (4.1.1.20),$$

mit den Größen

$$\bar{v}(E) = \frac{m}{3n} \frac{1}{\Delta r} \sum_r v^2(\gamma) \delta(E - E_\gamma + \mu) \quad (4.1.1.21)$$

$$N(E) = \frac{1}{\Delta r} \sum_r \delta(E - E_\gamma + \mu) \quad (4.1.1.22)$$

$$k_s a_v = (2\pi)^3 n_{\text{git}} |v|^2 \frac{m}{3n\Delta r} \sum_r v^2(\gamma) \delta(E_\gamma - \mu) \frac{1}{\Delta r} \sum_{r'} \delta(E_{\gamma'} - \mu) \quad (4.1.1.23)$$

Die Spektralfunktionen der Potential-Streuung hängen somit über das chemische Potential  $\mu$  von der Temperatur ab.

Wegen der elastischen Streuung,  $\delta(\Omega)$  in den Gleichungen 4.1.1.19, 4.1.1.20, erhält man bei einer Aufspaltung des Leitfähigkeitsbandes, wie sie durch die Anwesenheit magnetisch mit den Leitungselektronen wechselwirkender Seltener Erd Ionen auftritt, keine Terme der Ordnung 4b in den Spektralfunktionen für die Potential-Streuung.

#### 4.1.2 Die Modellspektralfunktionen für die Magnetische-Streuung

Wie schon am Anfang von Kapitel 4 erwähnt, treten bei intermetallischen Seltenen Erd Verbindungen Streuprozesse der Leitungselektronen an den magnetischen Seltenen Erden auf.

Wegen der durch die Leitungselektronen induzierten magnetischen Seltenen Erd Ion - Seltenen Erd Ion Wechselwirkung  $H_{ff}$  (4.1.7)

$$H_{ff} = -\frac{1}{2} \sum_{n\nu} \sum_{rr'} C_{n\nu}^r C_{n\nu'}^{r'} \alpha_{n\nu, n\nu'}^{rr'} \vec{J}_{n\nu}^r \vec{J}_{n\nu'}^{r'} \quad (4.1.2.1)$$

spalten die Zustände der Elektronen der Seltenen Erd Ionen bezüglich der Quantenzahl  $M_j$  auf. Dies hat unter anderem auch inelastische Streuprozesse der Leitungselektronen an den Seltenen Erd Ionen zur Folge.

Im Rahmen dieser Arbeit wird die Spinsystembeschreibung (=Elektronenzustände der Seltenen Erd Ionen) in der Molekularfeld-näherung durchgeführt werden. Dazu setzen wir

$$\vec{J}_{n\nu}^r = \langle \vec{J}_v^r \rangle + [\vec{J}_{n\nu}^r - \langle \vec{J}_v^r \rangle] \quad (4.1.2.3)$$

$\langle \cdot \rangle$  ... thermodynamischer Mittelwert  
in Gleichung (4.1.2.1) ein, und erhalten bei Vernachlässigung

$$\text{von Termen der Art } [\vec{J}_{n\nu}^r - \langle \vec{J}_v^r \rangle] [\vec{J}_{n\nu'}^{r'} - \langle \vec{J}_v^{r'} \rangle] \quad (4.1.2.4)$$

für  $H_{ff}$ ,  $H_{MF}$  als

$$H_{MF} = -\frac{1}{2} \sum_{n\nu} \sum_{rr'} C_{n\nu}^r C_{n\nu'}^{r'} (\alpha_{n\nu, n\nu'}^{rr'} + \alpha_{n\nu', n\nu}^{rr'}) [\vec{J}_{n\nu}^r \langle \vec{J}_v^{r'} \rangle - \frac{1}{2} \langle \vec{J}_v^r \rangle \langle \vec{J}_v^{r'} \rangle] \quad (4.1.2.5).$$

Mit (4.1.2.5) und der Definition

$$\bar{\alpha}_{n\nu, v'}^{rr'} = \frac{1}{2} \sum_{n'} (\alpha_{n\nu, n\nu'}^{rr'} + \alpha_{n\nu', n\nu}^{rr'}) C_{n\nu'}^{r'}, \quad (4.1.2.6)$$

erhält man  $H_{MF}$  als

$$H_{MF} = - \sum_n \sum_{\nu\nu'} \sum_{\tau\tau'} C_{n\nu}^{\tau} \bar{a}_{n\nu,\nu'}^{\tau\tau'} [J_{n\nu}^{\tau} \langle J_{\nu'}^{\tau'} \rangle - \frac{1}{2} \langle J_{\nu}^{\tau} \rangle \langle J_{\nu'}^{\tau'} \rangle] \quad (4.1.2.7).$$

Mit  $\langle J_{\nu}^{\tau} \rangle = \langle J_{\nu z}^{\tau} \rangle \hat{e}_z$  in  $H_{MF}$  für alle  $\nu, \tau'$  gilt

$$H_{MF} | \{ \dots M_{n\nu}^{\tau} \dots \} \rangle = E_{\{ \dots M_{n\nu}^{\tau} \dots \}} | \{ \dots M_{n\nu}^{\tau} \dots \} \rangle \quad (4.1.2.8)$$

mit den Spinsystemzuständen

$$| \{ \dots M_{n\nu}^{\tau} \dots \} \rangle = \prod_{n\nu\tau} \{ \dots | J^{\tau} M_{n\nu}^{\tau} \rangle \dots \} \quad (4.1.2.9)$$

und

$$E_{\{ \dots M_{n\nu}^{\tau} \dots \}} = - \sum_{\nu\nu'} \sum_{n\nu\tau\tau'} C_{n\nu}^{\tau} \bar{a}_{n\nu,\nu'}^{\tau\tau'} (M_{n\nu}^{\tau} - \frac{1}{2} \langle J_{\nu z}^{\tau} \rangle) \langle J_{\nu' z}^{\tau'} \rangle \quad (4.1.2.10).$$

Für das Streupotential der Leitungselektronen an den Seltenen Erd Ionen  $H_{magn.}$  (4.1.12) gilt

$$H_{magn.} = - \sum_{n\nu} \sum_{\tau} G^{\tau} (\vec{r} - \vec{R}_{n\nu}) [C_{n\nu}^{\tau} J_{n\nu}^{\tau} - C_{\nu}^{\tau} \langle J_{\nu}^{\tau} \rangle] \hat{s}_{el} \quad (4.1.2.12).$$

Wir wollen nun  $P_{\gamma\gamma}(\Omega)$

$$P_{\gamma\gamma}(\Omega) = \frac{1-e^{-\omega}}{\omega} \frac{4^3 r}{(2\pi)^3} \sum_{M,M'} g_M \langle \gamma M | H_{WW} | \gamma' M' \rangle \delta(\Omega + E_M - E_{M'}) \quad (4.1.2.13)$$

berechnen. Wegen (4.1.2.12) lässt sich  $H_{magn.}$  bzw.  $H_{WW}$  in (4.1.2.13) als

$$H_{WW} = \sum_{n\nu\tau} H_{n\nu}^{\tau} \quad (4.1.2.14)$$

schreiben. Als Systemzustände  $| M \rangle$  haben wir

$$| M \rangle = \prod_{n\nu\tau} \{ \dots | J^{\tau} M_{n\nu}^{\tau} \rangle \dots \} \quad (4.1.2.15)$$

zu verwenden. Damit erhalten wir

$$\sum_{nM} g_M \delta(\Omega + E_M - E_M) \sum_{n\nu\tau} \langle \gamma M | H_{n\nu}^{\tau} | \gamma' M' \rangle \langle \gamma' M' | H_{n'\nu'}^{\tau'} | \gamma M \rangle =$$

$$= \sum_{M+M'} g_M \delta(\Omega + E_M - E_{M'}) \sum_{n\tau} \sum_{n'\tau'} \langle YM | H_{n\tau}^{\tau} | YM' \rangle \langle YM' | H_{n'\tau'}^{\tau'} | YM \rangle + \\ + \delta(\Omega) \sum_{n\tau} \sum_{n'\tau'} \sum_M g_M \langle YM | H_{n\tau}^{\tau} | YM \rangle \langle YM | H_{n'\tau'}^{\tau'} | YM \rangle \quad (4.1.2.16).$$

Für  $M \neq M'$  und wegen der Gestalt von  $H_{n\tau}^{\tau}$  und der Orthogonalität der Systemzustände  $|M\rangle$ ,  $\langle M|M\rangle = \delta_{MM} = \sum_{n\tau} \langle M_n^{\tau} | M_{n\tau}^{\tau} \rangle = \sum_{n\tau} \delta_{n\tau, n\tau}$ , gilt:

$$\langle YM | H_{n\tau}^{\tau} | YM' \rangle \langle YM' | H_{n'\tau'}^{\tau'} | YM \rangle = \langle YM | H_{n\tau}^{\tau} | YM \rangle \langle YM | H_{n'\tau'}^{\tau'} | YM \rangle \delta_{n\tau, n'\tau'} \quad (4.1.2.17)$$

Für Gleichung (4.1.2.16) erhält man weiter

$$\sum_M g_M \delta(\Omega + E_M - E_M) \sum_{n\tau} \sum_{n'\tau'} \langle YM | H_{n\tau}^{\tau} | YM' \rangle \langle YM' | H_{n'\tau'}^{\tau'} | YM \rangle = \\ \sum_{n\tau} \sum_{n'\tau'} g_M \delta(\Omega + E_M - E_M) \langle YM | H_{n\tau}^{\tau} | YM \rangle \langle YM' | H_{n'\tau'}^{\tau'} | YM \rangle - \\ - \delta(\Omega) \sum_{n\tau} \langle Y | \langle H_{n\tau}^{\tau} \rangle | Y \rangle \langle Y | \langle H_{n\tau}^{\tau} \rangle | Y \rangle + \\ + \delta(\Omega) \sum_{n\tau} \sum_{n'\tau'} \langle Y | \langle H_{n\tau}^{\tau} \rangle | Y \rangle \langle Y | \langle H_{n'\tau'}^{\tau'} \rangle | Y \rangle \quad (4.1.2.18)$$

Für den Fall  $n\tau \neq n'\tau'$  haben wir hier

$$\sum_M g_M \langle YM | H_{n\tau}^{\tau} | YM \rangle \langle YM' | H_{n'\tau'}^{\tau'} | YM \rangle = \langle Y | \langle H_{n\tau}^{\tau} \rangle | Y \rangle \langle Y' | \langle H_{n'\tau'}^{\tau'} \rangle | Y \rangle \quad (4.1.2.19)$$

verwendet. Wir schreiben weiter

$$\langle Y | \langle H_{n\tau}^{\tau} \rangle | Y \rangle = \langle Y | -G^{\tau} (\vec{r} - \vec{R}_{n\tau}) \vec{s}_{el} | Y \rangle [c_{n\tau}^{\tau} \langle \vec{J}_{n\tau}^{\tau} \rangle - c_v^{\tau} \langle \vec{J}_v^{\tau} \rangle] \quad (4.1.2.20)$$

und setzen für

$$\langle Y | -G^{\tau} (\vec{r} - \vec{R}_{n\tau}) s_z | Y \rangle = G_{YY}^{\tau}, e^{-i(\vec{k}-\vec{k}') \vec{R}_{n\tau}} \quad (4.1.2.21)$$

und

$$[c_{n\tau}^{\tau} \langle \vec{J}_{n\tau}^{\tau} \rangle - c_v^{\tau} \langle \vec{J}_v^{\tau} \rangle] = \langle \Delta_{n\tau}^{\tau} \rangle \quad (4.1.2.22),$$

wobei die Summe  $\sum_u \langle \Delta_{nu}^{\tau} \rangle = 0$  (4.1.2.23) ist.

Damit kann für den letzten Term aus (4.1.2.18)

$$\sum_{n\tau} \sum_{n'\tau'} \langle Y | \langle H_{n\tau}^{\tau} \rangle | Y \rangle \langle Y' | \langle H_{n'\tau'}^{\tau'} \rangle | Y \rangle = \sum_{\nu\tau} G_{YY}^{\tau\nu} G_{YY}^{\tau'\nu'} \sum_{n\tau} e^{i(\vec{k}-\vec{k}') (\vec{R}_{n\tau} - \vec{R}_{n'\tau'})} \langle \Delta_{n\tau}^{\tau} \rangle \langle \Delta_{n'\tau'}^{\tau'} \rangle \quad (4.1.2.24)$$

geschrieben werden. Mit

$$\sum_{n,n'} e^{i(\vec{k}'-\vec{k})(\vec{R}_n-\vec{R}_{n'})} \langle \Delta_{nn'}^T \rangle \langle \Delta_{n'n'}^{T'} \rangle = \sum_n \langle \Delta_{nn}^T \rangle \langle \Delta_{nn}^{T'} \rangle + \sum_{n' \neq 0} e^{i(\vec{k}'-\vec{k})\vec{R}_{n'}} \sum_n \langle \Delta_{n+n'n'}^T \rangle \langle \Delta_{n'n'}^{T'} \rangle = \\ = N \langle \langle \Delta_{nn'}^{T T'} \rangle \rangle (1 - \delta_{\vec{k}, \vec{k}'}) \quad (4.1.2.25)$$

und

$$\langle \langle \Delta_{nn'}^{T T'} \rangle \rangle = \frac{1}{N} \sum_n \langle \Delta_{nn}^T \rangle \langle \Delta_{nn}^{T'} \rangle \quad (4.1.2.26)$$

erhält man :

$$\sum_{n\tau n'\tau'} \langle \gamma | \langle H_{n\tau}^T \rangle | \gamma' \rangle \langle \gamma' | \langle H_{n'\tau'}^{T'} \rangle | \gamma \rangle = \sum_n \sum_{\tau \tau'} G_{YY}^{\tau \tau'} G_{YY}^{\tau' \tau'} \langle \langle \Delta_{nn'}^{T T'} \rangle \rangle (1 - \delta_{\vec{k}, \vec{k}'}) \quad (4.1.2.27).$$

Wir ersetzen nun näherungsweise

$$1 - \delta_{\vec{k}, \vec{k}'} = 1 \quad (4.1.2.28), \text{ und erhalten mit (4.1.2.17)}$$

$$\begin{aligned} \sum_{M,M'} g_M \delta(\Omega + E_M - E_{M'}) |\langle \gamma M | H_{WW}^T | \gamma M' \rangle|^2 &= \\ = \sum_{n\tau n'\tau'} \sum_{M,M'} g_M \delta(\Omega + E_M - E_{M'}) |\langle \gamma M | H_{n\tau}^T | \gamma M' \rangle|^2 &+ \\ + \sum_{n\tau n'\tau'} (1 - \delta_{\nu\tau, \nu'\tau'}) G_{YY}^{\tau \tau'} G_{YY}^{\tau' \tau'} \langle \langle \Delta_{nn'}^{T T'} \rangle \rangle \delta(\Omega) & \end{aligned} \quad (4.1.2.30).$$

Der erste Term in (4.1.2.30) stellt dabei eine Summe von Einzelstreuoprozessen dar, der zweite Term inkohärente elastische Streuungen.

Wir beschränken uns auf Einzelstreuungen. Dabei setzen wir

$$\langle \vec{J}_v^r \rangle = \langle J_{vz}^r \rangle \vec{e}_z \quad (4.1.2.31) \text{ voraus, und verwenden die}$$

Beziehungen

$$\vec{J} \cdot \vec{S} = J_z S_z + \frac{1}{2} (J_+ S_- + J_- S_+) \quad (4.1.2.32)$$

$$\text{mit } J_{\pm} = J_x \pm i J_y \quad (4.1.2.33)$$

$$\text{und } J_z |j, m\rangle = m |j, m\rangle \quad (4.1.2.34)$$

$$J_{\pm} |j, m\rangle = (j(j+1) - m(m \pm 1))^{\frac{1}{2}} |j, m \pm 1\rangle \quad (4.1.2.35).$$

Es gilt :

$$\sum_{M,M'} g_M \delta(\Omega + E_M - E_{M'}) |\langle \gamma M | H_{n\tau}^T | \gamma M' \rangle|^2 =$$

$$\begin{aligned}
 &= |\langle \gamma | -G^T (\vec{r} - \vec{R}_{nv}) S_z | \gamma' \rangle|^2 \delta(\Omega) \sum_M g_M \langle M | [C_{nv}^T J_{nvz}^T - C_v^T \langle J_v^T \rangle] | M \rangle + \\
 &+ \frac{1}{4} |\langle \gamma | -G^T (\vec{r} - \vec{R}_{nv}) S_- | \gamma' \rangle|^2 \sum_M g_M \delta(\Omega + E_M - E_{M-1}) \langle M | C_{nv}^T J_+ C_{nv}^T J_- | M \rangle + \\
 &+ \frac{1}{4} |\langle \gamma | -G^T (\vec{r} - \vec{R}_{nv}) S_+ | \gamma' \rangle|^2 \sum_M g_M \delta(\Omega + E_M - E_{M+1}) \langle M | C_{nv}^T J_- C_{nv}^T J_+ | M \rangle \\
 &\quad (4.1.2.36).
 \end{aligned}$$

Wir mitteln  $C_{nv}^T$  über  $n$  gemäß  $\sum_n C_{nv}^{T^2} = \sum_n C_{nv}^T = N C_v^T = \sum_n C_v^T$ , und erhalten für (4.1.2.36) in der Molekularfeldnäherung mit

$$\Delta E = E_M - E_{M+1} = E_{M-1} - E_M$$

$$\begin{aligned}
 &|\langle nk | G^T (\vec{r} - \vec{R}_v) | nk' \rangle|^2 (|\langle \sigma | S_z | \sigma' \rangle|^2 \delta(\Omega) [\langle J_z^2 \rangle - \langle J_z \rangle^2 C_v^T] + \\
 &+ \frac{1}{4} |\langle \sigma | S_- | \sigma' \rangle|^2 \delta(\Omega - \Delta E) \langle J_+ J_- \rangle + \frac{1}{4} |\langle \sigma | S_+ | \sigma' \rangle|^2 \delta(\Omega - \Delta E) \langle J_- J_+ \rangle) C_v^T \\
 &\quad (4.1.2.37).
 \end{aligned}$$

Damit ergibt sich für die Funktion  $P_{\gamma\gamma'}(\Omega)$  unter der Verwendung von

$$|\langle \sigma | S_z | \sigma' \rangle|^2 = \frac{1}{4} \delta_{\sigma, \sigma'}, \quad (4.1.2.38)$$

$$|\langle \sigma | S_{\mp} | \sigma' \rangle|^2 = \delta_{\sigma, \sigma' \mp 1}, \quad (4.1.2.39)$$

$$\begin{aligned}
 P_{\gamma\gamma'}(\Omega) &= \frac{1 - e^{-\omega}}{\omega} N \sum_{\nu T} C_v^T \frac{\Delta^3 r}{(2\pi)^3} |\langle nk | -G^T (\vec{r} - \vec{R}_v) | nk' \rangle|^2 \\
 &\frac{1}{4} (\delta_{\sigma, \sigma'} \delta(\Omega) [\langle J_z^2 \rangle - \langle J_z \rangle^2 C_v^T] + \delta_{\sigma, \sigma'-1} \delta(\Omega - \Delta E) \langle J_+ J_- \rangle \\
 &+ \delta_{\sigma, \sigma'+1} \delta(\Omega + \Delta E) \langle J_- J_+ \rangle) \quad (4.1.2.40).
 \end{aligned}$$

Als das Matrixelement  $|G_{kk'}|^2$  definieren wir für nur eine Atomart

$$|G_{kk'}|^2 = (\Delta^3 r)^2 \sum_{\nu T} |\langle nk | -G^T (\vec{r} - \vec{R}_v) | nk' \rangle|^2 \quad (4.1.2.41)$$

$$\text{und setzen } n_{git} = \frac{N}{\Delta^3 r} = \frac{1}{V_0 l_{E2}} \quad (4.1.2.42).$$

Für nur eine Atomart setzen wir alle  $J^T = J$  und  $C_v^T = 1$ , und können dann für  $P_{\gamma\gamma'}(\Omega)$

$$\begin{aligned}
 P_{\gamma\gamma'}(\Omega) &= \frac{1}{(2\pi)^3} n_{git} |G_{kk'}|^2 \frac{1 - e^{-\omega}}{\omega} (\delta(\Omega) \delta_{\sigma, \sigma'} [\langle J_z^2 \rangle - \langle J_z \rangle^2] \\
 &+ \delta(\Omega - \Delta E) \delta_{\sigma, \sigma'-1} \langle J_+ J_- \rangle + \delta(\Omega + \Delta E) \delta_{\sigma, \sigma'+1} \langle J_- J_+ \rangle) \quad (4.1.2.43)
 \end{aligned}$$

schreiben.

Wir haben nun zwei Fälle zu unterscheiden: (i) die Temperatur ist kleiner als die kritische Temperatur für magnetische Ordnung ( $T_c$ ) oder (ii) die Temperatur ist gleich oder größer  $T_c$ . Für  $T < T_c$  erhält man

$$P_{YY'}(\Omega) = \frac{1}{(2\pi)^3} n_{git} |G_{kk'}|^2 \frac{1}{4} (\delta(\Omega) \delta_{\sigma,\sigma'} [\langle J_z^+ \rangle - \langle J_z^- \rangle] + \delta(\Omega - \Delta E) \delta_{\sigma,\sigma'-1} \frac{1}{n} \langle J_z \rangle + \delta(\Omega + \Delta E) \delta_{\sigma,\sigma'+1} \frac{1}{n} \langle J_z \rangle) \quad (4.1.2.44)$$

wenn man beachtet, daß

$$\langle J_+ J_- \rangle = (1 + ctgh(\eta)) \langle J_z \rangle \quad (4.1.2.45)$$

$$\langle J_- J_+ \rangle = (-1 + ctgh(\eta)) \langle J_z \rangle \quad (4.1.2.46)$$

$$\text{und } \eta = \frac{1}{2} \Delta E \beta \quad (4.1.2.47)$$

gelten.

Für  $T > T_c$  erhält man  $P_{YY'}(\Omega)$  in der Form

$$P_{YY'}(\Omega) = \frac{1}{(2\pi)^3} n_{git} |G_{kk'}|^2 \frac{1}{4} \delta(\Omega) (\delta_{\sigma,\sigma'} \langle J_z^+ \rangle + \delta_{\sigma,\sigma'-1} [J(J+1) - \langle J_z^+ \rangle] + \delta_{\sigma,\sigma'+1} [J(J+1) - \langle J_z^- \rangle]) \quad (4.1.2.48)$$

Dabei wurde

$$J_+ J_- = J(J+1) - J_z^2 + J_z \quad (4.1.2.49)$$

$$\text{und } J_- J_+ = J(J+1) - J_z^2 - J_z \quad (4.1.2.50)$$

verwendet, und berücksichtigt, daß für  $T > T_c$   $\Delta E = \langle J_z \rangle = 0$

gilt. Für  $T > T_c$  hängt  $P_{YY'}(\Omega)$  nicht von der Temperatur ab - für  $T < T_c$  jedoch schon, und zwar durch die Größen  $\langle J_z^+ \rangle$ ,  $\langle J_z^- \rangle$  und  $\Delta E$ .

#### 4.1.2.1 Die temperaturabhängigen Größen $\langle J_z \rangle$ , $\langle J_z^2 \rangle$ und $\eta$ in der Molekularfeldnäherung

Wir führen zunächst die Zustandssumme

$$Z = \sum_M e^{-\beta E_M} \quad (4.1.2.1.1)$$

ein, und haben dabei

$$E_M = -\Delta E_M \quad (4.1.2.1.2) \quad \text{und}$$

$$\eta = \frac{1}{2} \Delta E_B \quad (4.1.2.1.3) \quad \text{zu setzen. Damit ergibt sich}$$

für Z

$$Z(\eta) = \sum_M e^{2\eta M} = \frac{\sinh(\eta(2J+1))}{\sinh \eta} \quad (4.1.2.1.4).$$

Für  $\langle J_z \rangle$  erhält man

$$\langle J_z \rangle = \frac{1}{2z} \frac{dz}{d\eta} = -\frac{1}{2} \operatorname{ctgh} \eta + \frac{2J+1}{2} \operatorname{ctgh}((2J+1)\eta) \quad (4.1.2.1.5),$$

und für  $\langle J_z^2 \rangle$

$$\langle J_z^2 \rangle = \frac{1}{4z} \frac{d^2z}{d\eta^2} = J(J+1) - \frac{2J+1}{2} \operatorname{ctgh} \eta \operatorname{ctgh}((2J+1)\eta) + \frac{1}{2} \operatorname{ctgh}^2 \eta \quad (4.1.2.1.6).$$

Wir haben für die obigen Gleichungen

$$J(J+1) - \langle J_z^2 \rangle = \operatorname{ctgh} \eta \langle J_z \rangle \quad /4.1.2.1.7)$$

verwendet. Die Hyperbolischen Funktionen wurden entsprechend der Definition in /14/ verwendet.

Berücksichtigen wir in  $H_{ff}$  nur eine Atomart und indizieren wir die Spins mit i und j, so können wir für  $H_{ff}$  aus (4.1.7)

$$H_{ff} = -\frac{1}{2} \sum_{ij} \alpha_{ij} \vec{J}_i \vec{J}_j \quad (4.1.2.1.8) \quad \text{schreiben.}$$

Setzen wir nun für  $\alpha_{ij} = 4\alpha (g-1)^2$  ( $g$ ...Landee Faktor), so erhalten wir für

$$H_{ff} = -2\alpha (g-1)^2 \sum_{ij} \vec{J}_i \vec{J}_j = -2\alpha (g-1)^2 \sum_i J_i \sum_j J_j \quad (4.1.2.1.9).$$

Mit  $\sum_{j \neq i} \vec{J}_j = n \langle \vec{J} \rangle$  (4.1.2.1.10) bekommen wir für die Energiauf-

spaltung  $\Delta E$  verursacht durch das Molekularfeld

$$E_M - E_{MF} = \Delta E = g \mu_B |\vec{H}_{MF}| \quad \mu \dots \text{Bohr'sches Magneton} \quad (4.1.2.1.11)$$

mit

$$\frac{2\alpha(g-1)^2}{g\cdot\mu_B} \sum_j \vec{j}_j = \frac{2\alpha(g-1)^2 n}{g\cdot\mu_B} \langle \vec{j} \rangle = \vec{H}_{MF} \quad (\langle \vec{j} \rangle = \langle j_z \rangle \vec{e}_z)$$

in erster Ordnung Störungstheorie.

Damit gilt für  $n$ :

$$n = \frac{3}{2} \frac{T_c}{\tau} \frac{\langle j_z \rangle}{J(J+1)} \quad (4.1.2.1.12),$$

$$\text{wenn man } T_c \text{ als } T_c = \frac{Zn \alpha(g-1)^2 J(J+1)}{3 k_B} \quad (4.1.2.1.13)$$

einführt. Zu festem  $J$  erhält man mit (4.1.2.1.12) die Bestimmungs-  
gleichung für  $\langle j_z \rangle$  aus (4.1.2.1.5)

$$\langle j_z \rangle = \frac{1}{2} \left\{ (2J+1) \operatorname{ctgh} \left( (2J+1) \frac{\alpha(g-1)^2 n}{k_B T} \langle j_z \rangle \right) - \operatorname{ctgh} \left( \frac{\alpha(g-1)^2 n}{k_B T} \langle j_z \rangle \right) \right\} \quad (4.1.2.1.14).$$

$T_c$  ist dabei so eingeführt worden, daß  $\langle j_z \rangle$  für  $T=T_c$  verschwindet.

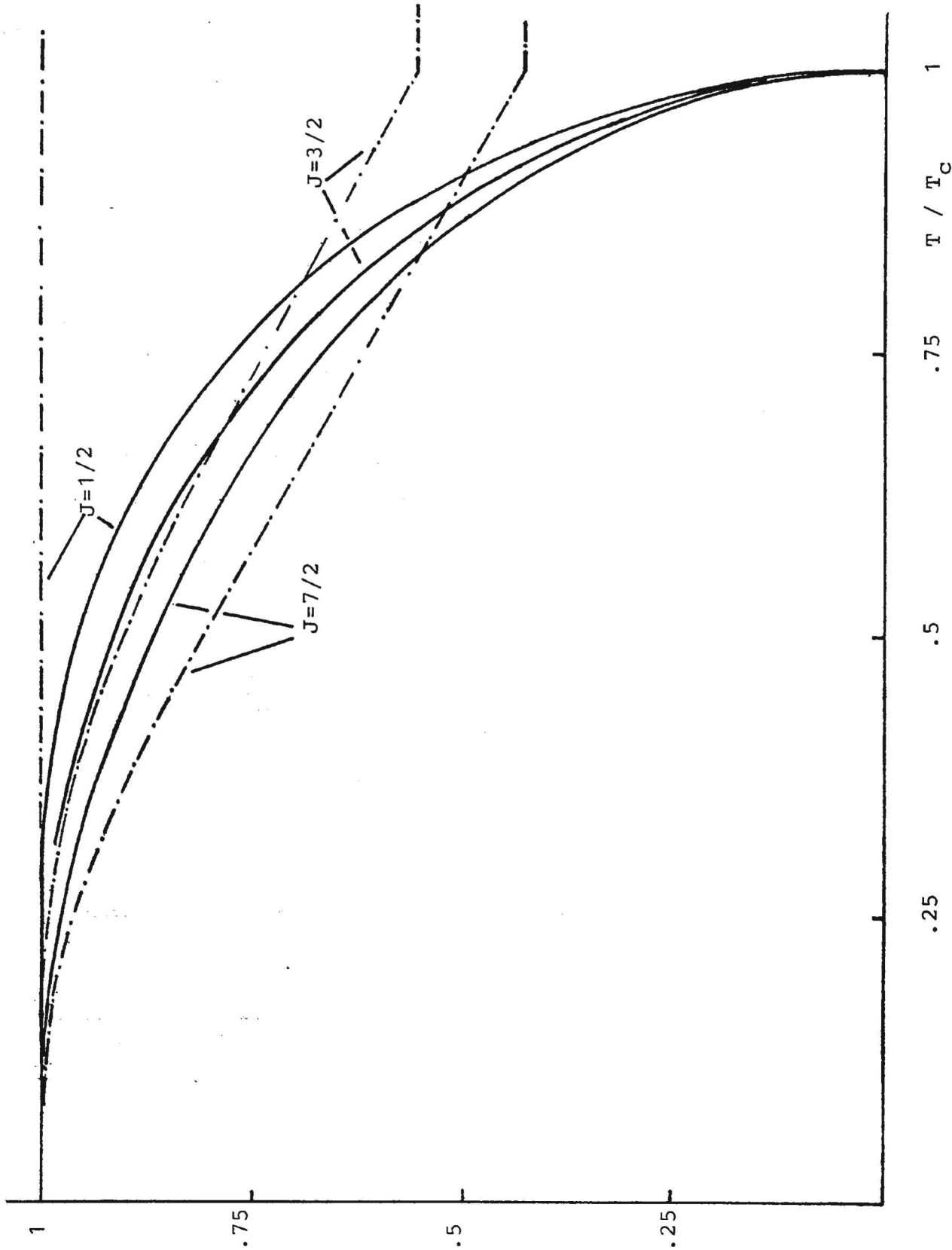
Bei  $T \gg T_c$  ergibt sich für  $\langle j_z^2 \rangle$

$$\langle j_z^2 \rangle = \frac{1}{2} \sum_{M=-J}^J M^2 = \frac{1}{2J+1} \sum_{M=-J}^J M^2 \quad (4.1.2.1.15).$$

In Abbildung 4.1.2.1.1 sind die Größen  $\langle j_z^2 \rangle$  und  $\langle j_z \rangle$  in Abhängigkeit der dimensionslosen Temperatur  $T/T_c$  für  $J=1/2, 3/2$  und  $7/2$  dargestellt.

Abbildung 4.1.2.1.1 : Die Größen  $\langle J_z \rangle / J$  und  $\langle J_z^2 \rangle / J^2$  in der Molekularfeldnäherung für  $J = 1/2, 3/2$  und  $7/2$

—  $\langle J_z \rangle / J$ , - · - · -  $\langle J_z^2 \rangle / J^2$



#### 4.1.2.2 Die Berechnung der Modellspektralfunktionen für die Magnetische-Streuung

In diesem Kapitel wollen wir die Modellspektralfunktionen für die Magnetische-Streuung für  $T > T_c$  und  $T < T_c$  im Rahmen der Molekularfeldnäherung berechnen. Wir behandeln zunächst den Fall  $T < T_c$ . Dabei gilt für die Funktion  $P_{\gamma\gamma}(\Omega)$  der Gleichung (4.1.2.44)

$$P_{\gamma\gamma}(\Omega) = \frac{1}{(2\pi)^3} n_{git} |G_{kk}|^2 \frac{1}{4} (\delta(\Omega) \delta_{\sigma,\sigma'} [\langle J_z^2 \rangle - \langle J_z \rangle^2] + \delta(\Omega - \Delta E) \delta_{\sigma,\sigma'-1} \frac{1}{n} \langle J_z \rangle + \delta(\Omega + \Delta E) \delta_{\sigma,\sigma'+1} \frac{1}{n} \langle J_z \rangle) \quad (4.1.2.2.1).$$

Für die Spektralfunktionen  $G_{ss'}(E, E', \Omega)$  verwenden wir ihre Definition aus Gleichung (3.2.1.12)

$$G_{ss'}(E, E', \Omega) = \frac{m}{3n} \frac{(2\pi)^6}{(4\pi r)^2} \sum_{rr'} P_{\gamma\gamma}(\Omega) [v(\gamma) - sv(\gamma')] [v(\gamma) - sv(\gamma')] \delta(E - E_\gamma + \mu) \delta(E' - E_{\gamma'} + \mu) \quad (4.1.2.2.2).$$

Wir wollen nun zwei Fälle behandeln, nämlich (i) die Aufspaltung des Leitfähigkeitsbandes in ein ↑-Band und ein ↓-Band mit einem Energieunterschied

$$\Delta b = -\frac{1}{2} \langle J_z \rangle \frac{N_{eff}}{V \epsilon_F} |G_0| \text{ sign}(G_0) \quad (4.1.2.2.3)$$

mit  $G_0$  aus (4.1.16), die durch die Wechselwirkung der Leitungselektronen mit den magnetischen Seltenen Erd Ionen verursacht wird, und (ii) die Nichtberücksichtigung dieser Aufspaltung.

Im ersten Fall ergeben sich die Energien  $E_\gamma$  zu:

$$E_\gamma = E_K^0 + E_\sigma \quad (4.1.2.2.4)$$

$$E_{K\uparrow} = E_K^0 + \Delta b \quad (4.1.2.2.5)$$

$$E_{K\downarrow} = E_K^0 - \Delta b \quad (4.1.2.2.6),$$

(in Störungstheorie erster Ordnung).

Für die Geschwindigkeiten setzen wir näherungsweise

$$\vec{v}(\gamma) = \vec{v}(\vec{k}) \quad (4.1.2.2.7)$$

$$\vec{v}(-\vec{k}) = -\vec{v}(\vec{k}) \quad (4.1.2.2.8).$$

Nähern wir noch  $|G_{kk}|^2$  durch

$$|G_{kk}|^2 = |G|^2 \quad (4.1.2.2.9)$$

an, so erhält man für die Spektralfunktionen  $G_{ss}$ , mit Berücksichtigung der Bandaufspaltung

$$\begin{aligned} G_{ss}(E, E', \Omega) &= \delta(\Omega) [\langle J_z^2 \rangle - \langle J_z \rangle^2] [a_{ss}(E-\Delta b, E'-\Delta b) + \\ &a_{ss}(E+\Delta b, E'+\Delta b)] + \delta(\Omega - \Delta E) \frac{1}{n} \langle J_z \rangle a_{ss}(E+\Delta b, E'-\Delta b) + \\ &+ \delta(\Omega + \Delta E) \frac{1}{n} \langle J_z \rangle a_{ss}(E-\Delta b, E'+\Delta b) \quad (4.1.2.2.10) \end{aligned}$$

mit

$$a_{++}(E, E') = a_{--}(E, E') = k_s a_m \frac{1}{\bar{v}(E)N(E')} [\bar{v}(E)N(E') + \bar{v}(E')N(E)] \quad (4.1.2.2.11)$$

und

$$a_{+-}(E, E') = a_{-+}(E, E') = k_s a_m \frac{1}{\bar{v}(E)N(E)} [\bar{v}(E)N(E') - \bar{v}(E')N(E)] \quad (4.1.2.2.12)$$

Für  $k_s a_m$ , die absolute Stärke der Magnetischen Streuung, gilt dabei

$$k_s a_m = \frac{(2\pi)^3}{16} n_{git} |G|^2 \frac{m}{3\pi\Delta r} \sum_{\gamma} v^2(\gamma) \delta(E_{\gamma} - \mu) \frac{1}{\Delta r} \sum_{\gamma'} \delta(E_{\gamma'} - \mu) \quad (4.1.2.2.13)$$

Betrachten wir nun den zweiten Fall, nämlich

$$E_{\vec{k}\sigma} = E_{\vec{k}} \quad (4.1.2.2.14),$$

der also die Aufspaltung des Leitfähigkeitsbandes nicht berücksichtigt (Bei der Rechnung werden wir dann (i) mit (ii) vergleichen). Man erhält dann für  $G_{ss}(E, E', \Omega)$

$$\begin{aligned} G_{ss}(E, E', \Omega) &= a_{ss}(E, E') (2 \delta(\Omega) [\langle J_z^2 \rangle - \langle J_z \rangle^2] + \\ &+ \langle J_z \rangle / n [\delta(\Omega - \Delta E) + \delta(\Omega + \Delta E)]) \quad (4.1.2.2.15). \end{aligned}$$

Die Temperaturabhängigkeit der Spektralfunktionen (4.1.2.2.10) und (4.1.2.2.15) ist dabei durch die Größen  $\langle J_z^2 \rangle$ ,  $\langle J_z \rangle$ ,  $\Delta b$

und  $E$ , sowie  $\bar{v}$  und  $N$ , gegeben

Für  $T \gg T_c$  hat man zur Berechnung der Spektralfunktionen  $P_{\gamma\gamma}(\omega)$  aus (4.1.2.48) zu verwenden

$$P_{\gamma\gamma}(\omega) = \frac{1}{(2\pi)^3} n_g \text{git } |G_{kk'}|^2 \frac{1}{4} \delta(\omega) (\delta_{\sigma,\sigma'} \langle J_z^2 \rangle + \delta_{\sigma,\sigma'+1} [J(J+1) - \langle J_z^2 \rangle]) + \\ + \delta_{\sigma,\sigma'+1} [J(J+1) - \langle J_z^2 \rangle] \quad (4.1.2.2.16).$$

Benutzen wir die gleichen Näherungen wie für den Fall  $T \ll T_c$  ohne Berücksichtigung der Bandaufspaltung, so erhalten wir für die Spektralfunktion der Magnetischen Streuung für  $T \gg T_c$

$$G_{ss'}(E, E', \omega) = a_{ss'}(E, E') 2 J(J+1) \delta(\omega) \quad (4.1.2.2.17)$$

Für  $T \gg T_c$  hängen die Spektralfunktionen somit über die Größen  $\bar{v}$  und  $N$  von der Temperatur ab.

#### 4.1.3 Die Modellspektralfunktionen der Phononen-Streuung

Der Modell-Hamiltonoperator für die Phononen-Streuung (4.1.20) lautet

$$H_{\text{el-ph}} = - \sum_{n\nu i} \frac{\partial v'}{\partial r_i} (\vec{r} - \vec{R}_{n\nu}) S_{n\nu i} \quad (4.1.3.1)$$

$v'$  ( $\vec{r}$ ) ist dabei das für das  $\nu$ -te Atom der Einheitszelle charakteristische Wechselwirkungspotential, das die Wechselwirkung mit den Leitungselektronen beschreibt.  $S_{n\nu i}$  ist die  $i$ -te Koordinate der Teilchenauslenkung am Ort  $\vec{R}_{n\nu}$ .

Wir wollen als nächstes die Funktion  $P_{\gamma\gamma}'(\Omega)$

$$P_{\gamma\gamma}'(\Omega) = \frac{1 - e^{-\Omega}}{\omega} \sum_{Mm'} g_M \frac{\Delta^3 r}{(2\pi)^3} |\langle \gamma M | H_{ww} | \gamma' M' \rangle|^2 \delta(\Omega + E_M - E_{M'}) \quad (4.1.3.2)$$

berechnen.

Dazu behandeln wir als erstes die Phononen-Systemzustände.

In zweiter Quantisierung lautet der Phononen-Hamiltonoperator

$$H_{\text{ph}}$$

$$H_{\text{ph}} = \sum_{\vec{q}\lambda} \hbar \omega_{\vec{q}\lambda} (b_{\vec{q}\lambda}^\dagger b_{\vec{q}\lambda} + \frac{1}{2}) \quad (4.1.3.3)$$

$| \dots n_{\vec{q}\lambda} \dots \rangle$  sind die Eigenzustände zu (4.1.3.3)

$$| \dots n_{\vec{q}\lambda} \dots \rangle = \frac{1}{\sqrt{n_{\vec{q}\lambda}}} (b_{\vec{q}\lambda}^\dagger)^{n_{\vec{q}\lambda}} | 0 \rangle \quad (4.1.3.4)$$

$| 0 \rangle$  ist der Vakuumzustand für das Phononen-System. Die Energien sind durch

$$E_{\vec{q}\lambda} = \sum_{\vec{q}\lambda} \hbar \omega_{\vec{q}\lambda} (n_{\vec{q}\lambda} + \frac{1}{2}) \quad (4.1.3.5)$$

festgelegt.

Die Phononen Erzeugungs- und Vernichtungsoperatoren erfüllen die Vertauschungsrelationen

$$[b_{\vec{q}\lambda}, b_{\vec{q}'\lambda'}^\dagger] = [b_{\vec{q}\lambda}^\dagger, b_{\vec{q}'\lambda'}^\dagger] = 0 \quad (4.1.3.6)$$

$$[b_{\vec{q}\lambda}, b_{\vec{q}'\lambda'}^\dagger] = \delta_{\vec{q},\vec{q}'} \delta_{\lambda,\lambda'} \quad (4.1.3.7)$$

und sind mit den Operatoren der Teilchenauslenkungen aus (4.1.3.1) durch

$$S_{nvi} = \frac{1}{N} \sum_{\vec{q}, \lambda} \left( \frac{\hbar}{2M_v w_{q\lambda}} \right)^{1/2} e^{i\vec{q}\vec{R}_n} C_{v_i}(\vec{q}, \lambda) [b_{\vec{q}, \lambda}^+ + b_{\vec{q}, \lambda}] \quad (4.1.3.8)$$

verknüpft.

Dabei erfüllen die  $\vec{C}_v$  als Eigenvektoren einer hermitischen Matrix (= Dynamische Matrix) die Orthogonalitätsbeziehungen

$$\sum_{v_i} C_{v_i}^*(\vec{q}, \lambda) C_{v_i}(\vec{q}, \lambda') = \delta_{\lambda, \lambda'} \quad (4.1.3.9)$$

und die Vollständigkeitsrelation

$$\sum_{\lambda} C_{v_i}^*(\vec{q}, \lambda) C_{v_i'}(\vec{q}, \lambda) = \delta_{v_i, v_i'} \quad (4.1.3.10).$$

Wir führen nun die Größe M als

$$M = \sum_v M_v \quad (4.1.3.11) \text{ ein, und setzen}$$

für die  $C_{v_i}$  näherungsweise

$$C_{v_i}(\vec{q}, \lambda_{ek}) = \frac{\sqrt{M_v}}{M} e_i(\lambda_{ek}) \text{ mit } \vec{e}(\lambda_{ek}) \perp \vec{e}(\lambda_{ek}), \text{ d.h.}$$

$$\sum_{\lambda_{ek}} C_{v_i}^*(\vec{q}, \lambda_{ek}) C_{v_i'}(\vec{q}, \lambda_{ek}) = \frac{\sqrt{M_v M_{v'}}}{M} \delta_{i, i'} \quad (4.1.3.12)$$

und wegen (4.1.3.10)

$$\sum_{\lambda_{op}} C_{v_i}^*(\vec{q}, \lambda_{op}) C_{v_i'}(\vec{q}, \lambda_{op}) = (\delta_{v, v'} - \frac{\sqrt{M_v M_{v'}}}{M}) \delta_{i, i'} \quad (4.1.3.13).$$

Wir wenden uns nun der Auswertung von  $P_{YY}(\Omega)$  zu. Für die Matrixelemente (4.1.3.2) erhält man mit (4.1.3.1)

$$\langle YM | H_{ww} | YM' \rangle = \sum_{v, v'} \langle Y | -\frac{\partial V}{\partial r_i}(\vec{r}, \vec{R}_w) | Y \rangle \langle M | S_{nvi}^+ | M' \rangle \quad (4.1.3.14)$$

$$\langle YM' | H_{ww} | YM \rangle = \sum_{v, v'} \langle Y | -\frac{\partial V}{\partial r_i}(\vec{r}, \vec{R}_w) | Y \rangle \langle M' | S_{nv'i}^- | M \rangle \quad (4.1.3.15).$$

Mit (4.1.3.8) gilt:

$$\begin{aligned} \langle M | S_{nvi}^+ | M' \rangle \langle M' | S_{nv'i}^- | M \rangle &= \frac{1}{N} \sum_{\vec{q}, \lambda} \left( \frac{\hbar}{2M_v w_{q\lambda}} \right)^{1/2} e^{i\vec{q}\vec{R}_n} C_{v_i}^*(\vec{q}, \lambda) \langle M | b_{-\vec{q}, \lambda}^+ + b_{\vec{q}, \lambda}^+ | M' \rangle \\ &\cdot \frac{1}{N} \sum_{\vec{q}, \lambda'} \left( \frac{\hbar}{2M_v w_{q\lambda'}} \right)^{1/2} e^{i\vec{q}\vec{R}_n} C_{v_i'}(\vec{q}, \lambda') \langle M' | b_{-\vec{q}', \lambda'}^+ + b_{\vec{q}', \lambda'}^+ | M \rangle \end{aligned} \quad (4.1.3.18).$$

Da es sich um Ein-Phonon Streuprozesse handelt, kann man zu festem  $|M\rangle$  Zustände  $|M'\rangle$  finden, für die

$$|M'\rangle = b_{\vec{q}, \lambda}^+ |M\rangle \quad (4.1.3.20)$$

und  $|M'\rangle = b_{-\vec{q}, \lambda}^+ |M\rangle \quad (4.1.3.21)$

gilt. Dabei erhält man für (4.1.3.20)  $E_M - E_{M'} = \hbar \omega_{\vec{q}, \lambda}$  und für (4.1.3.21)  $E_M - E_{M'} = -\hbar \omega_{\vec{q}, \lambda}$ . Somit kann man schreiben :

$$\sum_{MM'} g_M \delta(\Omega + E_M - E_{M'}) \langle M | S_{nvi}^+ | M' \rangle \langle M' | S_{n'vi}^- | M \rangle = \\ \frac{1}{N} \sum_{\vec{q}, \lambda} \frac{\hbar}{2\omega_{\vec{q}, \lambda}} \frac{1}{\sqrt{H_v H_{v'}}} e^{i\vec{q}(\vec{R}_n - \vec{R}_{n'})} C_{vi}^*(\vec{q}, \lambda) C_{v'i}(\vec{q}, \lambda) [\delta(\Omega + \hbar \omega_{\vec{q}, \lambda}) \\ g_M \langle M | b_{\vec{q}, \lambda}^+ b_{\vec{q}, \lambda}^- | M \rangle + \delta(\Omega - \hbar \omega_{\vec{q}, \lambda}) \sum_M g_M \langle M | b_{-\vec{q}, \lambda}^+ b_{-\vec{q}, \lambda}^- | M \rangle] \quad (4.1.3.22)$$

Wir haben die Orthogonalitätsrelation

$$\langle M | M' \rangle = \langle \{...n_{\vec{q}, \lambda}...\} | \{...n'_{\vec{q}, \lambda}...\} \rangle = \delta_{\vec{q}, \lambda} \delta_{n_{\vec{q}, \lambda}, n'_{\vec{q}, \lambda}} = \delta_{M, M'} \quad (4.1.3.23)$$

für die Systemzustände  $|M\rangle = |\{...n_{\vec{q}, \lambda}...\}\rangle$  (4.1.3.24) ausgenutzt. Beachtet man weiter, daß

$$\sum_M g_M \langle M | b_{\vec{q}, \lambda}^+ b_{\vec{q}, \lambda}^- | M \rangle = \frac{1}{e^{\hbar \omega_{\vec{q}, \lambda}} - 1} \quad (4.1.3.25)$$

$$\sum_M g_M \langle M | b_{-\vec{q}, \lambda}^+ b_{-\vec{q}, \lambda}^- | M \rangle = \frac{1}{1 - e^{-\hbar \omega_{\vec{q}, \lambda}}} \quad (4.1.3.26)$$

gilt, so erhält man:

$$\sum_{MM'} g_M \delta(\Omega + E_M - E_{M'}) \langle M | S_{nvi}^+ | M' \rangle \langle M' | S_{n'vi}^- | M \rangle = \\ = \frac{1}{N} \sum_{\vec{q}, \lambda} \frac{\hbar}{2\omega_{\vec{q}, \lambda}} \frac{1}{\sqrt{H_v H_{v'}}} e^{i\vec{q}(\vec{R}_n - \vec{R}_{n'})} C_{vi}^*(\vec{q}, \lambda) C_{v'i}(\vec{q}, \lambda) \frac{\Omega}{1 - e^{-\beta \Omega}} \\ \left( \frac{1}{e^{\hbar \omega_{\vec{q}, \lambda}}} [\delta(\Omega - \hbar \omega_{\vec{q}, \lambda}) + \delta(\Omega + \hbar \omega_{\vec{q}, \lambda})] \right) \quad (4.1.3.27).$$

Für  $P_{YY'}(\Omega)$  schreibt man weiter

$$P_{YY'}(\Omega) = \frac{1}{2\hbar} \frac{\hbar^2}{\Omega^2} \frac{\Delta r}{(2\pi)^3 N} \sum_{\vec{q}, \lambda} \sum_{vv'} e^{i(\vec{k}' - \vec{k})(\vec{R}_n - \vec{R}_{n'})} e^{-i\vec{q}(\vec{R}_n - \vec{R}_{n'})} (\delta(\Omega + \hbar \omega_{\vec{q}, \lambda}) + \delta(\Omega - \hbar \omega_{\vec{q}, \lambda})) \\ \sum_{r_i} \sum_{r'_i} \langle Y | \frac{\partial V'}{\partial r_i} (\vec{r} - \vec{R}_v) | Y' \rangle \langle Y' | \frac{\partial V'}{\partial r_i} (\vec{r} - \vec{R}_{v'}) | Y \rangle \frac{1}{\sqrt{H_v H_{v'}}} C_{vi}^*(\vec{q}, \lambda) C_{v'i}(\vec{q}, \lambda) \quad (4.1.3.28).$$

Dabei gilt

$$\frac{1}{N} \sum_{n,n'} e^{i(\vec{k}' - \vec{k} - \vec{q}) (\vec{R}_n - \vec{R}_{n'})} = N \delta_{\vec{q}, \vec{k}' - \vec{k} + \vec{K}_h} \quad (4.1.3.29)$$

Als nächstes definieren wir

$$V_{YY'}^{Vi} = \Delta r \left\langle Y \left| \frac{\partial V^v}{\partial r_i} (\vec{r} - \vec{R}_v) \right| Y' \right\rangle \quad (4.1.3.30)$$

$$n_{git} = \frac{N}{\Delta r} = \frac{1}{V_{0,EE}} \quad (4.1.3.31).$$

Mit den Näherungen aus (4.1.3.12) und (4.1.3.13) erhält man

$$P_{YY'}(\Omega) = \frac{1}{2h} \frac{k^2}{\Omega^2 (2\pi)^3} \frac{n_{git}}{M_{YY'}} \sum_{v,v'} V_{YY'}^{Vi} V_{YY'}^{V'i} [\delta(\Omega + \hbar \omega_{q_{av}}) + \delta(\Omega - \hbar \omega_{q_{av}})] + \\ + \frac{1}{2h} \frac{k^2}{\Omega^2 (2\pi)^3} n_{git} \left( \sum_{vi} \frac{1}{M_v} |V_{YY'}^{Vi}|^2 - \frac{1}{M_{YY'}} \sum_{v,v'} V_{YY'}^{Vi} V_{YY'}^{V'i} \right) [\delta(\Omega + \hbar \omega_{q_{av}}) + \delta(\Omega - \hbar \omega_{q_{av}})] \quad (4.1.3.34).$$

Wir nehmen nun für  $V_{YY'}^{Vi}$  an /6/

$$V_{YY'}^{Vi} = i q_i V_{YY'}^v, \quad (4.1.3.35)$$

$$\text{mit } \vec{q} = \vec{k}' - \vec{k} \quad (4.1.3.36).$$

Im weiteren definieren wir  $\bar{V}_{YY'}$ , und  $\bar{V}_{YY'}^2$ , in der Form

$$\bar{V}_{YY'} = \sum_v \frac{M_v}{M} V_{YY'}^v, \quad (4.1.3.37)$$

$$\bar{V}_{YY'}^2 = \sum_v \frac{M_v}{M} |V_{YY'}^v|^2 \quad (4.1.3.38).$$

Damit ergibt sich für  $P_{YY'}(\Omega)$

$$P_{YY'}(\Omega) = \frac{1}{2h} \frac{k^2 q^2}{\Omega^2 (2\pi)^3} \frac{n_{git}}{M} |\bar{V}_{YY'}|^2 [\delta(\Omega + \hbar \omega_{q_{av}}) + \delta(\Omega - \hbar \omega_{q_{av}})] + \\ + \frac{1}{2h} \frac{k^2 q^2}{\Omega^2 (2\pi)^3} \frac{n_{git}}{M} [|\bar{V}_{YY'}^2 - |\bar{V}_{YY'}|^2] [\delta(\Omega + \hbar \omega_{q_{av}}) + \delta(\Omega - \hbar \omega_{q_{av}})] \quad (4.1.3.39).$$

Setzen wir noch näherungsweise /6/

$$\frac{k^2 q^2}{\Omega^2} |\bar{V}_{YY'}|^2 \approx \frac{1}{v_s^2} |\bar{V}|^2 \quad (4.1.3.40)$$

$v_s$  ... Schallgeschwindigkeit,

so erhalten wir schließlich

$$P_{YY'}(\Omega) = \frac{1}{2h} \frac{n_{git}}{(2\pi)^3} \frac{|\bar{V}|^2}{M v_s^2} [\delta(\Omega + \hbar \omega_q) + \delta(\Omega - \hbar \omega_q)] \delta_{\sigma, \sigma'}, \quad (4.1.3.41)$$

Weil Phononen Quasiteilchen ohne Spin sind, ist bei Wechselwirkung mit ihnen eine Änderung der Spins der Leitungselektronen verboten. In Gleichung (4.1.3.41) steht noch die vom Festkörper abhängige Funktion  $\omega_{\vec{q}}$ , für die wir folgende Annahmen treffen, die bereits in Gleichung (4.1.3.40) eingegangen sind:

$$\omega_{\vec{q}} = v_s |\vec{q}| \quad \text{für } q < q_d \quad (4.1.3.42)$$

und  $\omega_{\vec{q}} = v_s |\vec{q}_D| \quad \text{für } q > q_d \quad (4.1.3.43).$

Die Gleichungen (4.1.3.42) und (4.1.3.43) legen Modellparameter für die Spektralfunktionen der Phononen-Streuung, nämlich die Größen  $v_s$  (Schallgeschwindigkeit) und  $q_d$ , fest. Für  $q_d$  gilt

$$\hbar v_s |\vec{q}_D| = k_B \theta_{Deb} = \Omega_D \quad (4.1.3.44).$$

Dabei ist  $\theta_{Deb}$  die Debey-Temperatur.

Wir wollen als nächstes ausgehend von  $P_{YY}(\Omega)$  die Spektralfunktionen für  $\Omega > 0$  ausrechnen. Für diesen Fall lautet

$$P_{YY}(\Omega) = \frac{1}{2\lambda} \frac{n_{git}}{(2\pi)^3} \frac{|\vec{V}|^2}{M v_s^2} \delta_{\sigma,\sigma'} \delta(\Omega - \hbar \omega_{\vec{q}}) \quad (4.1.3.45).$$

Wir verwenden die Definition der Spektralfunktionen (3.2.1.12) und erhalten für  $G_{++}$  und  $G_{--}$

$$G_{++}(E, E', \Omega) = \frac{(2\pi)^3}{2\lambda} n_{git} \frac{|\vec{V}|^2}{M v_s^2} \frac{1}{2} \frac{m}{3\hbar} \frac{1}{(2\pi)^3} \sum_{\gamma\gamma'} [v(\gamma) - v(\gamma')]^2 \delta(E - E_{\gamma} + \mu) \delta(E' - E_{\gamma'} + \mu) \times \frac{\sum_{\gamma\gamma'} [v(\gamma) - v(\gamma')]^2 \delta(E - E_{\gamma} + \mu) \delta(E' - E_{\gamma'} + \mu) \delta(\Omega - \hbar \omega_{\vec{q}})}{\sum_{\gamma\gamma'} [v(\gamma) + v(\gamma')]^2 \delta(E - E_{\gamma} + \mu) \delta(E' - E_{\gamma'} + \mu)} \quad (4.1.3.46)$$

$$G_{--}(E, E', \Omega) = \frac{(2\pi)^3}{2\lambda} n_{git} \frac{|\vec{V}|^2}{M v_s^2} \frac{1}{2} \frac{m}{3\hbar} \frac{1}{(2\pi)^3} \sum_{\gamma\gamma'} [v(\gamma) + v(\gamma')]^2 \delta(E - E_{\gamma} + \mu) \delta(E' - E_{\gamma'} + \mu) \times \frac{\sum_{\gamma\gamma'} [v(\gamma) + v(\gamma')]^2 \delta(E - E_{\gamma} + \mu) \delta(E' - E_{\gamma'} + \mu) \delta(\Omega - \hbar \omega_{\vec{q}})}{\sum_{\gamma\gamma'} [v(\gamma) + v(\gamma')]^2 \delta(E - E_{\gamma} + \mu) \delta(E' - E_{\gamma'} + \mu)} \quad (4.1.3.47)$$

Dabei gilt für den Quotienten von  $G_{++}$  in Gleichung (4.1.3.46) mit (4.1.3.42), (4.1.3.43) und  $\mu = E_f$  näherungsweise

$$\frac{\frac{4}{q_D} \int_{k_E+k_{E'}}^{k_E+k_{E'}} dq q q^2 \delta(\Omega - \hbar\omega_q)}{\frac{4}{q_D} \int_{k_E-k_{E'}}^{k_E+k_{E'}} dq q q^2} = \frac{\frac{4\Omega^3}{\Omega_D^4} + \left[ \left( \frac{k_E + k_{E'}}{q_D} \right)^4 - 1 \right] \delta(\Omega - \Omega_D)}{\left( \frac{k_E + k_{E'}}{q_D} \right)^4} \quad (4.1.3.48)$$

und für den von  $G_{--}$ , Gleichung (4.1.3.47) näherungsweise

$$\frac{\frac{4}{q_D} \int_0^{2k_F} dq q [4k_F^2 - q^2] \delta(\Omega - \hbar\omega_q)}{\frac{4}{q_D} \int_0^{2k_F} dq q [4k_F^2 - q^2]} = \frac{\left( \frac{2k_F}{q_D} \right)^2 \frac{4\Omega}{\Omega_D^2} - \frac{4\Omega^3}{\Omega_D^4} \cdot \left[ \left( \frac{2k_F}{q_D} \right)^4 - 2 \left( \frac{2k_F}{q_D} \right)^2 + 1 \right] \delta(\Omega - \Omega_D)}{\left( \frac{2k_F}{q_D} \right)^4} \quad (4.1.3.49)$$

Setzen wir noch für

$$\left( \frac{q_D}{2k_F} \right)^2 = \alpha \quad (4.1.3.50)$$

und daraus

$$\alpha^2 = \left( \frac{q_D}{k_E + k_{E'}} \right)^4 \quad \frac{\bar{v}(E)N(E') + \bar{v}(E')N(E)}{2\bar{v}(0)N(0)} = \left( \frac{q_D}{2k_F} \right)^4 \quad (4.1.3.51)$$

so lauten die Gleichungen für  $G_{++}$  und  $G_{--}$

$$G_{++}(E, E', \Omega) = \frac{1}{\lambda} a \left[ c^2 \frac{4\Omega^3}{\Omega_D^4} \alpha (\Omega_D - \Omega) + \left( \frac{\bar{v}(E)N(E') + \bar{v}(E')N(E)}{2\bar{v}(0)N(0)} - \alpha^2 \right) \delta(\Omega - \Omega_D) \right] \quad (4.1.3.52)$$

$$G_{--}(E, E', \Omega) = \frac{1}{\lambda} a \left[ \left( \alpha \frac{4\Omega}{\Omega_D^2} - \alpha^2 \frac{4\Omega^3}{\Omega_D^4} \right) \Theta(\Omega_D - \Omega) + (1 - 2\alpha + \alpha^2) \delta(\Omega - \Omega_D) \right] \quad (4.1.3.53)$$

$$\text{mit } a = \frac{(2\pi)^3 n_{gite} |\bar{v}|^2}{2Hv_s^2} \bar{v}(0) N(0) \quad (4.1.3.54)$$

Für  $G_{+-}$  erhält man

$$G_{+-}(E, E', \Omega) = \frac{1}{2\lambda} \frac{(2\pi)^3 n_{gite}}{Mv_s^2} |\bar{v}|^2 \frac{m}{3\pi^2 r} \sum_{\gamma} [v^2(\gamma) - v^2(\gamma')] \delta(E - E_\gamma + \mu) \delta(E' - E_{\gamma'} + \mu) \frac{\sum_{\gamma} [v^2(\gamma) - v^2(\gamma')] \delta(E - E_\gamma + \mu) \delta(E' - E_{\gamma'} + \mu) \delta(\Omega - \hbar\omega_q)}{\sum_{\gamma} [v^2(\gamma) - v^2(\gamma')] \delta(E - E_\gamma + \mu) \delta(E' - E_{\gamma'} + \mu)} \quad (4.1.3.55)$$

wobei für den Quotienten in (4.1.3.55) näherungsweise gilt:

$$\frac{(k_E^2 - k_{E'}^2) \frac{2}{q_D^2} \int_0^{2k_F} dq q \delta(\Omega - \hbar\omega_q)}{(k_E^2 - k_{E'}^2) \frac{2}{q_D^2} \int_0^{2k_F} dq q} = \frac{\frac{2\Omega}{\Omega_D^2} + \left[ \left( \frac{2k_F}{q_D} \right)^2 - 1 \right] \delta(\Omega - \Omega_D)}{\left( \frac{2k_F}{q_D} \right)^2} \quad (4.1.3.56)$$

Somit ergibt sich für  $G_{+-}$

$$G_{+-}(E, E', \Omega) = \frac{1}{\lambda} a \frac{\bar{v}(E)N(E') - \bar{v}(E')N(E)}{\bar{v}(0)N(0)} [\alpha \frac{2\Omega}{\Omega_0^2}(\Omega_0 - \Omega) + (1-\alpha)\delta(\Omega - \Omega_0)] \quad (4.1.3.57).$$

Die Gleichungen (4.1.3.52), (4.1.3.53) und (4.1.3.57) stellen die Modellspektralfunktionen der Phononen-Streuung für  $\Omega \gg 0$  dar. Ihre Temperaturabhängigkeit ist durch den Faktor  $1/\beta$ , und durch die Größen  $\bar{v}, N$  gegeben.

Außerdem findet man, daß die Spektralfunktionen wegen des Verbotes der Spinänderung in  $P_{YY}(\Omega)$  (4.1.3.41), keine Terme der Ordnung  $\Delta b$  (Energieaufspaltung des Leitfähigkeitsbandes) enthalten.

## 4.2 Die Modellspektralfunktionen als Ausgangspunkt zur Berechnung der Transportkoeffizienten

Um mit den im Abschnitt 3.3 behandelten Programmpaketen AS und TC tatsächlich Transportkoeffizienten berechnen zu können, benötigen wir die Modellspektralfunktionen  $G_{ss}^o$  und  $G_{ss}'$ , der einzelnen Wechselwirkungen in der Form

$$G(\Omega) = \begin{array}{|c|c|} \hline n & G(\omega) \\ \hline \vdots & \vdots \\ \vdots & \vdots \\ \hline \end{array} + \sum_j b_j \delta(\Omega - \omega_j) \quad (4.2.1).$$

Wir haben im ersten Teil von Kapitel 4 für die Potential-, die Magnetische- und die Phononen-Streuung ausgehend von den jeweiligen Modell-Hamiltonoperatoren die Spektralfunktionen  $G_{ss}^o$ , erhalten. Wir gehen nun von diesen Funktionen aus, um die  $G_{ss}'$  und die  $G_{ss}^o$  zu erhalten, die für die Berechnung des Matrixelementes des Stoßoperators erforderlich sind.

### 4.2.1 Die Modellspektralfunktionen $G_{ss}^o$ und $G_{ss}'$ für die einzelnen Streumechanismen

#### 4.2.1.1 Die Modellspektralfunktionen $G_{ss}^o$ und $G_{ss}'$ für die Potential-Streuung

Für die Potential-Streuung erhielten wir im Kapitel (4.1.1) folgende Spektralfunktionen  $G_{ss}^o(E, E', \Omega)$

$$G_{ss}^o(E, E', \Omega) = k_s a_v \frac{\bar{v}(E)N(E') + \bar{v}(E')N(E)}{\bar{v}(0)N(0)} \delta(\Omega) \quad (4.2.1.1)$$

$$G_{+-}(E, E', \Omega) = k_B a_V \frac{\bar{v}(E)N(E') - \bar{v}(E')N(E)}{\bar{v}(0)N(0)} \delta(\Omega)$$

(4.2.1.1.2)

mit der Stärke der Potential-Streuung

$$k_B a_V = (2\pi)^3 n_{git} |V|^2 \frac{m}{3\pi^2 \hbar^3} \sum_{\gamma} v^2(\gamma) \delta(E_\gamma - \mu) \delta(E'_{\gamma'} - \mu)$$

(4.2.1.1.3)

$$\text{und } \bar{v}(E) = \frac{m}{3\pi^2 \hbar^3} \sum_{\gamma} v^2(\gamma) \delta(E - E_\gamma + \mu)$$

(4.2.1.1.4)

$$N(E) = \frac{1}{\Delta \epsilon} \sum_{\gamma} \delta(E - E_\gamma + \mu)$$

(4.2.1.1.5).

Damit ergibt sich für  $G_{ss'}^0(\Omega)$

$$G_{++}^0(\Omega) = G_{--}^0(\Omega) = k_B a_V \delta(\Omega)$$

(4.2.1.1.6)

$$\text{und } G_{+-}^0(\Omega) = G_{-+}^0(\Omega) = 0$$

(4.2.1.1.7),

und für  $G_{ss'}^1(\Omega)$

$$G_{++}^1(\Omega) = G_{--}^1(\Omega) = \frac{\bar{v}'(0)N(0) + \bar{v}(0)N'(0)}{\bar{v}(0)N(0)} k_B a_V \delta(\Omega)$$

(4.2.1.1.8)

$$\text{und } G_{+-}^1(\Omega) = \frac{\bar{v}'(0)N(0) - \bar{v}(0)N'(0)}{\bar{v}(0)N(0)} k_B a_V \delta(\Omega)$$

(4.2.1.1.9)

Für das freie Elektronengas erhält man die Größen

$$\left. \frac{\bar{v}'(E)N(E') + \bar{v}(E')N'(E)}{\bar{v}(0)N(0)} \right|_{E=E_f=0} = \frac{2}{E_f}$$

(4.2.1.1.10)

$$\left. \frac{\bar{v}'(E)N(E') - \bar{v}(E')N'(E)}{\bar{v}(0)N(0)} \right|_{E=E_f=0} = \frac{1}{E_f}$$

(4.2.1.1.11),

wenn wir  $\mu = E_f$ , der Fermienergie, setzen.

Für  $G_{ss'}^1$  erhält man damit

$$G_{++}^1(\Omega) = G_{--}^1(\Omega) = \frac{2}{E_f} k_B a_V \delta(\Omega)$$

(4.2.1.1.12)

$$G_{+-}^1(\Omega) = \frac{1}{E_f} k_B a_V \delta(\Omega)$$

(4.2.1.1.13).

#### 4.2.1.2 Die Modellspektralfunktionen $G_{ss}^o$ und $G_{ss}^4$ für die Magnetische-Streuung

Als Ergebnis für die Spektralfunktionen der Magnetischen-Streuung erhielten wir in Kapitel (4.1.2.2) für  $T < T_c$  und unter der Berücksichtigung der Bandaufspaltung

$$G_{ss}^o(E, E', \Omega) = \delta(\Omega) [\langle J_z^2 \rangle - \langle J_z \rangle^2] [a_{ss}^o(E-\Delta b, E'-\Delta b) + a_{ss}^o(E+\Delta b, E'+\Delta b)] \\ + \delta(\Omega - \Delta E) \frac{1}{n} \langle J_z \rangle a_{ss}^o(E+\Delta b, E'-\Delta b) + \delta(\Omega + \Delta E) \frac{1}{n} \langle J_z \rangle a_{ss}^o(E-\Delta b, E'+\Delta b) \quad (4.2.1.2.1),$$

mit

$$a_{++}(E, E') = a_{--}(E, E') = k_b a_m \frac{[\bar{v}(E)N(E') + \bar{v}(E')N(E)]}{\bar{v}(0)N(0)} \quad (4.2.1.2.2)$$

$$a_{+-}(E, E') = k_b a_m \frac{[\bar{v}(E)N(E') - \bar{v}(E')N(E)]}{\bar{v}(0)N(0)} \quad (4.2.1.2.3).$$

$k_b a_m$  (Gleichung (4.1.2.2.13)) ist dabei die Stärke der Magnetischen-Streuung. Für die weitere Rechnung berücksichtigen wir nur Terme erster Ordnung in  $\frac{\Delta b}{\mu}$  ( $\Delta b$ .. halbe Aufspaltungsenergie des Leitfähigkeitsbandes in ein Band mit Spin  $\uparrow$ , und eines mit Spin  $\downarrow$ ;  $G_o$  siehe 4.1.16).

$$\Delta b = \frac{1}{2} \langle J_z \rangle \frac{N_{\text{eff}}}{V_{\text{eff}}} |G_o| \text{ sign}(G_o) \quad (4.2.1.2.4)$$

Für  $G_{ss}^o$  erhalten wir

$$G_{++}^o(\Omega) = G_{--}^o(\Omega) = k_b a_m (2\delta(\Omega) [\langle J_z^2 \rangle - \langle J_z \rangle^2] + 2 \frac{\langle J_z \rangle}{n} \delta(\Omega - \Delta E)) \quad (4.2.1.2.5)$$

$$G_{+-}^o(\Omega) = 2k_b a_m \Delta b (\bar{v}'(0)N(0) - \bar{v}(0)N'(0)) / \bar{v}(0)N(0) \frac{\langle J_z \rangle}{n} \delta(\Omega - \Delta E) \quad (4.2.1.2.6),$$

und für  $G_{ss}^4$ ,

$$G_{++}^4(\Omega) = G_{--}^4(\Omega) = k_b a_m \frac{\bar{v}'(0)N(0) + \bar{v}(0)N'(0)}{\bar{v}(0)N(0)} (2\delta(\Omega) [\langle J_z^2 \rangle - \langle J_z \rangle^2] \\ + \frac{\langle J_z \rangle}{n} \delta(\Omega - \Delta E) + \frac{\langle J_z \rangle}{n} \delta(\Omega + \Delta E)) \quad (4.2.1.2.7)$$

und

$$G_{+-}^1(\Omega) = k_B a_m \frac{\bar{v}(0)N(0) - \bar{v}'(0)N'(0)}{\bar{v}(0)N(0)} [2\delta(\Omega) [\langle J_z^+ \rangle - \langle J_z^- \rangle] + \frac{\langle J_z \rangle}{n} \delta(\Omega - \Delta E) + \frac{\langle J_z \rangle}{n} \delta(\Omega + \Delta E)] \quad (4.2.1.2.21)$$

Für das freie Elektronengas erhält man weiter

$$G_{+-}^0(\Omega) = 2k_B a_m \frac{\Delta b}{\mu} \frac{\langle J_z \rangle}{n} \delta(\Omega - \Delta E)$$

$$G_{++}^1(\Omega) = G_{--}^1(\Omega) = 2k_B a_m \frac{1}{\mu} ([2\delta(\Omega) [\langle J_z^+ \rangle - \langle J_z^- \rangle] + \frac{\langle J_z \rangle}{n} [\delta(\Omega - \Delta E) + \delta(\Omega + \Delta E)]) \quad (4.2.1.2.22)$$

$$G_{+-}^1(\Omega) = k_B a_m \frac{1}{\mu} (2\delta(\Omega) [\langle J_z^+ \rangle - \langle J_z^- \rangle] + \frac{\langle J_z \rangle}{n} \delta(\Omega - \Delta E) + \frac{\langle J_z \rangle}{n} \delta(\Omega + \Delta E)) \quad (4.2.1.2.23)$$

Als nächstes betrachten wir den Fall  $T < T_C$  aber ohne Berücksichtigung der Bandaufspaltung und erhalten für  $G_{ss}^0$ ,

$$G_{++}^0(\Omega) = G_{--}^0(\Omega) = 2k_B a_m (\delta(\Omega) [\langle J_z^+ \rangle - \langle J_z^- \rangle] + \frac{\langle J_z \rangle}{n} \delta(\Omega - \Delta E)) \quad (4.2.1.2.24)$$

$$G_{+-}^0(\Omega) = 0 \quad (4.2.1.2.25),$$

und für  $G_{ss}^1$ .

$$G_{++}^1(\Omega) = G_{--}^1(\Omega) = k_B a_m \frac{\bar{v}'(0)N(0) - \bar{v}(0)N'(0)}{\bar{v}(0)N(0)} (2\delta(\Omega) [\langle J_z^+ \rangle - \langle J_z^- \rangle] + \frac{\langle J_z \rangle}{n} [\delta(\Omega - \Delta E) + \delta(\Omega + \Delta E)]) \quad (4.2.1.2.26)$$

$$G_{+-}^1(\Omega) = k_B a_m \frac{\bar{v}'(0)N(0) - \bar{v}(0)N'(0)}{\bar{v}(0)N(0)} (2\delta(\Omega) [\langle J_z^+ \rangle - \langle J_z^- \rangle] + \frac{\langle J_z \rangle}{n} [\delta(\Omega - \Delta E) + \delta(\Omega + \Delta E)]) \quad (4.2.1.2.27)$$

Werten wir die Größen  $\bar{v}(E)$ ,  $N(E)$ ,  $\bar{v}'(E)$  und  $N'(E)$  für das freie Elektronengas aus, so erhalten wir für  $G_{ss}^1$ ,

$$G_{++}^1(\Omega) = G_{--}^1(\Omega) = k_B a_m \frac{2}{\mu} (2\delta(\Omega) [\langle J_z^+ \rangle - \langle J_z^- \rangle] + \frac{\langle J_z \rangle}{n} [\delta(\Omega - \Delta E) + \delta(\Omega + \Delta E)]) \quad (4.2.1.2.28)$$

$$G_{+-}^1(\Omega) = k_B a_m \frac{1}{\mu} (-2\delta(\Omega) [\langle J_z' \rangle - \langle J_z \rangle] + \frac{\langle J_z \rangle}{n} [\delta(\Omega - \Delta E) + \delta(\Omega + \Delta E)]) \quad (4.2.1.2.29)$$

Für  $T > T_c$  berechnen wir für  $G_{ss'}^0$

$$G_{++}^0(\Omega) = G_{--}^0(\Omega) = 2k_B a_m J(J+1) \delta(\Omega) \quad (4.2.1.2.30)$$

$$G_{+-}^0(\Omega) = 0 \quad (4.2.1.2.31)$$

und für  $G_{ss'}^1$ ,

$$G_{++}^1(\Omega) = G_{--}^1(\Omega) = 2k_B a_m \frac{\bar{v}'(0)N(0) + \bar{v}(0)N'(0)}{\bar{v}(0)N(0)} J(J+1) \delta(\Omega) \quad (4.2.1.2.32)$$

$$G_{+-}^1(\Omega) = 2k_B a_m \frac{\bar{v}'(0)N(0) - \bar{v}(0)N'(0)}{\bar{v}(0)N(0)} J(J+1) \delta(\Omega) \quad (4.2.1.2.33)$$

Für das freie Elektronengas erhält man

$$G_{++}^1(\Omega) = G_{--}^1(\Omega) = 4k_B a_m \frac{1}{\mu} J(J+1) \delta(\Omega) \quad (4.2.1.2.34)$$

$$G_{+-}^1(\Omega) = 2k_B a_m \frac{1}{\mu} J(J+1) \delta(\Omega) \quad (4.2.1.2.35).$$

#### 4.2.1.3 Die Modellspektralfunktionen $G_{ss'}^0$ und $G_{ss'}^1$ , für die Phononen-Streuung

Für die Streuung der Leitungselektronen an Phononen erhielten wir in Kapitel 4.1.3 für die Spektralfunktionen  $G_{ss'}(E, E', \Omega)$  ( $\Omega > 0$ ) die Gleichungen

$$G_{++}(E, E', \Omega) = \frac{1}{\beta} a \left( \alpha \frac{4\Omega^3}{\Omega^2 - \Omega_0^2} \theta(\Omega_0 - \Omega) + \left[ \frac{\bar{v}(E)N(E') + \bar{v}(E')N(E)}{2\bar{v}(0)N(0)} - \alpha \right] \delta(\Omega - \Omega_0) \right) \quad (4.2.1.3.1)$$

$$G_{--}(E, E', \Omega) = \frac{1}{\beta} a \left( \left[ \alpha \frac{4\Omega}{\Omega_0} - \alpha \frac{4\Omega^3}{\Omega_0^2} \right] \theta(\Omega_0 - \Omega) + [1 - 2\alpha + \alpha^2] \delta(\Omega - \Omega_0) \right) \quad (4.2.1.3.2)$$

$$G_{+-}(E, E', \Omega) = \frac{1}{\beta} a \frac{\bar{v}(E)N(E') - \bar{v}(E')N(E)}{2\bar{v}(0)N(0)} \left( \alpha \frac{2\Omega}{\Omega_0^2} \theta(\Omega_0 - \Omega) + [1 - \alpha] \delta(\Omega - \Omega_0) \right) \quad (4.2.1.3.3)$$

Daraus ergeben sich nun die Gleichungen für  $G_{ss}^0$ ,

$$G_{++}^0(\Omega) = \frac{1}{\beta} a \left( \alpha \frac{4\Omega^3}{\Omega_0^4} \theta(\Omega_0 - \Omega) + [1 - \alpha^2] \delta(\Omega - \Omega_0) \right) \quad (4.2.1.3.4)$$

$$G_{--}^0(\Omega) = \frac{1}{\beta} a \left( [\alpha \frac{4\Omega}{\Omega_0^2} - \alpha^2 \frac{4\Omega^3}{\Omega_0^4}] \theta(\Omega_0 - \Omega) + [1 - 2\alpha + \alpha^2] \delta(\Omega - \Omega_0) \right) \quad (4.2.1.3.5)$$

$$G_{+-}^0(\Omega) = 0 \quad (4.2.1.3.6)$$

und für  $G_{ss}^1$ ,

$$G_{++}^1(\Omega) = \frac{1}{\beta} a \frac{\bar{v}'(0)N(0) + \bar{v}(0)N'(0)}{2\bar{v}(0)N(0)} (\delta(\Omega - \Omega_0) + \delta(\Omega + \Omega_0)) \quad (4.2.1.3.7)$$

$$G_{--}^1(\Omega) = 0 \quad (4.2.1.3.8)$$

$$G_{+-}^1(\Omega) = \frac{1}{\beta} a \frac{\bar{v}'(0)N(0) - \bar{v}(0)N'(0)}{2\bar{v}(0)N(0)} \left( \alpha \frac{2\Omega}{\Omega_0^2} \theta(\Omega_0 - \Omega) + [1 - \alpha] \delta(\Omega - \Omega_0) \right) \quad (\Omega > 0) \quad (4.2.1.3.9)$$

$$G_{+-}^1(\Omega) = \frac{1}{\beta} a \frac{\bar{v}'(0)N(0) - \bar{v}(0)N'(0)}{2\bar{v}(0)N(0)} \left( -\alpha \frac{2\Omega}{\Omega_0^2} \theta(\Omega_0 + \Omega) + [1 - \alpha] \delta(\Omega + \Omega_0) \right) \quad (\Omega < 0) \quad (4.2.1.3.10).$$

Für das freie Elektronengas erhält man weiter

$$G_{++}^1(\Omega) = \frac{1}{\beta} a \frac{1}{\mu} (\delta(\Omega - \Omega_0) + \delta(\Omega + \Omega_0)) \quad (4.2.1.3.11)$$

$$G_{+-}^1(\Omega) = \frac{1}{\beta} a \frac{1}{2\mu} \left( \alpha \frac{2\Omega}{\Omega_0^2} \theta(\Omega_0 - \Omega) + [1 - \alpha] [\delta(\Omega - \Omega_0)] \right) \quad (\Omega > 0) \quad (4.2.1.3.12)$$

$$G_{+-}^1(\Omega) = \frac{1}{\beta} a \frac{1}{2\mu} \left( -\alpha \frac{2\Omega}{\Omega_0^2} \theta(\Omega_0 + \Omega) + [1 - \alpha] \delta(\Omega + \Omega_0) \right) \quad (\Omega < 0) \quad (4.2.1.3.13).$$

#### 4.2.2 Berechnen der Modellspektralfunktionen

Wir haben im vorangegangenen Kapitel die Modellspektralfunktionen  $G_{ss}^0(\Omega)$  und  $G_{ss}^1(\Omega)$  für die Potential-, die Magnetische- und die Phononen-Streuung erhalten, die wir zur Berechnung des Matrixelementes des Stoßoperators benötigen. Ausgehend von diesen Gleichungen ist es nun erforderlich,  $G_{ss}^0(\Omega)$  und  $G_{ss}^1(\Omega)$  in der Form

$$G(\Omega) = \begin{array}{|c|c|} \hline \Omega & G(\Omega) \\ \hline \vdots & \vdots \\ \vdots & \vdots \\ \vdots & \vdots \\ \hline \end{array} + \sum_j b_j \delta(\Omega - \Omega_j) \quad (4.2.2.1)$$

für jede Temperatur, für die man die Transportkoeffizienten berechnen will, verfügbar zu haben und die Daten an die Unterprogramme der Programmpakete AS und TC weiterzureichen.

Um die Modellspektralfunktionen zu erzeugen, benötigen wir das Programmpaket CMS, das die Funktionen  $G_{ss}^0$  und  $G_{ss}^1$  (6 Stück) in der gewünschten Form (4.2.2.1) für die Potential-, die Magnetische- und die Phononen-Streuung berechnet, und für die angeforderten Temperaturen sequentiell auf eine für jede Wechselwirkung bereitgestellte Datei schreibt.

In Abbildung 4.2.2.1 ist das Flußdiagramm zur Veranschaulichung des Arbeitsablaufes im Programmpaket CMS dargestellt. Außerdem enthält Abbildung 4.2.2.2 ein Diagramm, das den Aufbau, die Struktur und die Funktion der Haupt- und Unterprogramme des Programmpaketes CMS darlegen soll.

Im Anhang (A.3) befinden sich zur detaillierteren Beschreibung die Flußdiagramme und Programmlisten aller in CMS verwendeten Haupt- und Unterprogramme.

Wie die oben erwähnten Dateien, die für eine Wechselwirkung die Spektralfunktionen für die bei der Berechnung gewünschten Temperaturen enthalten, formatiert und aufgebaut sein müssen, damit sie vom Hauptprogramm COTRACO, das in Kapitel 6.1 behandelt wird, richtig verarbeitet werden, zeigt Abbildung 4.2.2.3. In Tabelle 4.2.2.1 ist zur Veranschaulichung die Datei, die die Spektralfunktionen der Phononen-Streuung bei 20 K enthält, dargestellt.

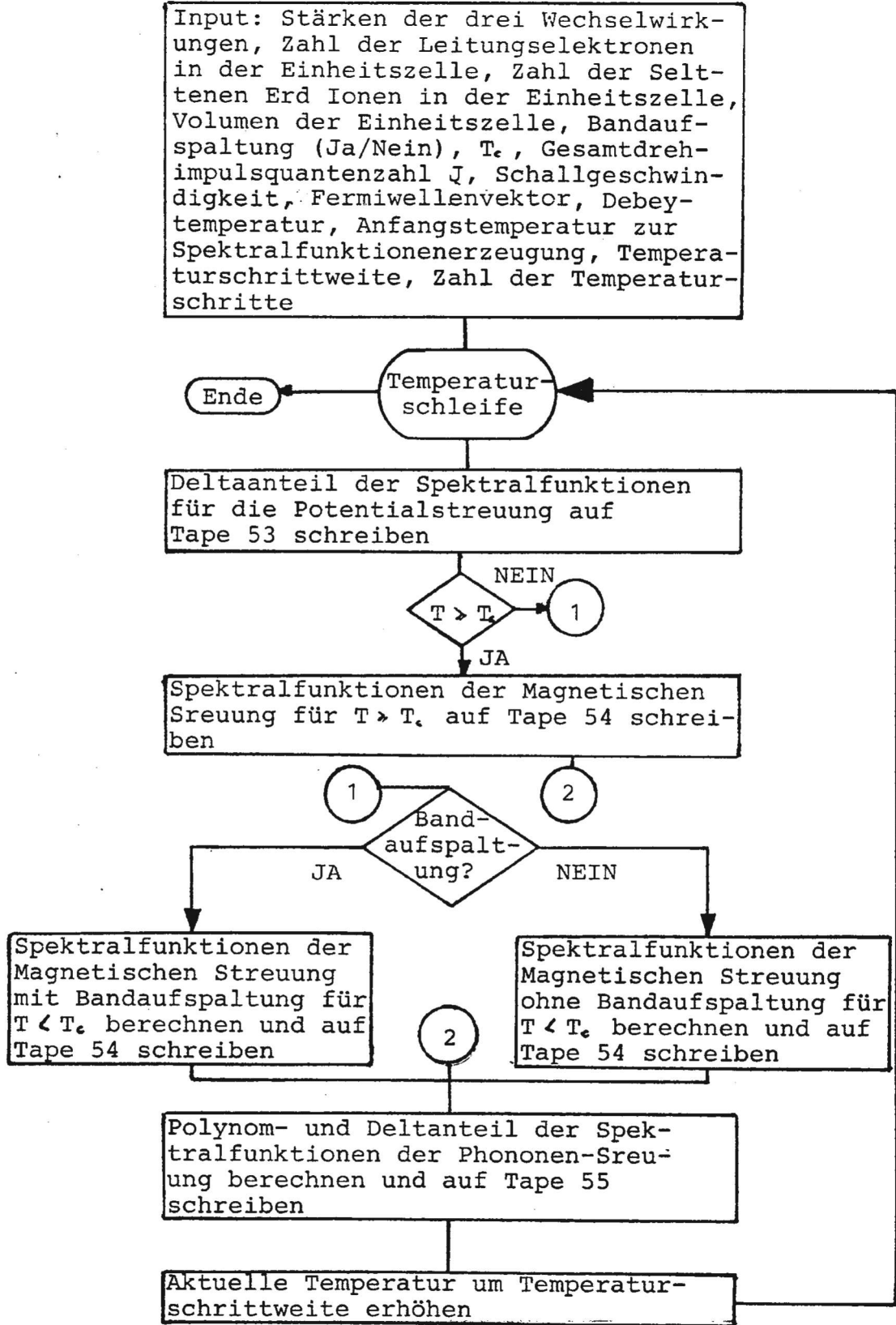


Abbildung 4.2.2.1:

Flußdiagramm für das Programm CMS

**CMSFILE:**  
Input: Absolute Stärke der Wechselwirkungen, Zahl der Leitungselektronen in der Einheitszelle, Zahl der Seltenen Erd Ionen in der Einheitszelle, Volumen der Einheitszelle, Bandaufspaltung (Ja/Nein),  $T_c$ , Gesamtdrehimpulsquantenzahl J, Schallgeschwindigkeit, Fermiwellenvektor, Debaytemperatur, Anfangstemperatur, Temperaturschrittweite, Zahl der Temperaturschritte zur Spektralfunktionenerzeugung  
Zweck: Berechnen der Modellspektralfunktionen und Ablegen der Daten auf die Tapes 53-55

**CMSEXPJ:**  
Berechnen der Thermodynamischen Erwartungswerte  $\langle J_z^2 \rangle$ ,  $\langle J_z \rangle$ , sowie der Energieaufspaltung  $\Delta E$  im Molekularfeld

**CMSREFA:**  
Nullstellensuche mit Hilfe der Regula Falsi

**CMSMAGN:**  
Berechnet die Funktion  
$$F(x, J, T, T_c) = x - \frac{1}{2} \left( 2^{3/4} c \lg k \left( \frac{2^{3/4} T_c}{2^J T^{3/4}} \right)^3 \right) - c \lg k \left( \frac{x}{2^J} \frac{T_c}{T^{3/4}} \right)$$

Abbildung 4.2.2.2 :

Struktur, Aufbau und Funktion der Unterprogramme für das Programm paket CMS



bedeutet: Programmeinheit A ruft Programmeinheit B auf

Art der Wechselwirkung (60C.)
Absolute Stärke der Wechselwirkung (60 Charakter)
Modellparameter für die Spektralfunktionen (60 Character)
Temperaturkontrollparameter: Anfangstemperatur, Temperaturschrittweite, Zahl der Temperaturschritte
Definitionsbereich der Spektralfunktionen

Für jede Temperatur:

Tabellen der Spektralfunktionen

[Zahl der Tabellenwertepaare der Spektralfunktion ] 6

[ $x_1^1, y_1^1$ ], [ $x_1^1, y_1^1$ ], ...

[ $x_1^6, y_1^6$ ], [ $x_1^6, y_1^6$ ], ...

Deltafunktionen der Spektralfunktionen

[Zahl der Deltafunktionen der Spektralfunktion ] 6

[ $v_1^1, w_1^1$ ], [ $v_1^1, w_1^1$ ], ...

[ $v_1^6, w_1^6$ ], [ $v_1^6, w_1^6$ ], ...

[ $x_i^j, y_i^j$ ] ... i-tes Wertepaar der j-ten Spektralfunktion

[ $v_i^j, w_i^j$ ] ... x-Koordinate, Amplitude der i-ten Deltafunktion der j-ten Spektralfunktion

Abbildung 4.2.2.3: Die Formatierung der Dateien, auf denen die Daten für die Spektralfunktionen einer Wechselwirkung für die angeforderten Temperaturen stehen

PHENOMEN STRELUNG

ABSOLUTE STAERKE: RHO(T=TDEBEY)=90. [MIKROOHM\*CM]

V SOUND=1., Q FERMI=125, W DEBEY=250, FERMIENERGIE=1.E5 [K]

.200E+02      .200E+02      1

.250E+03

16	16	16	31	31	31
----	----	----	----	----	----

0.	0.				
.333333E+02	.289166E+02				
.666667E+02	.546930E+02				
.100000E+03	.741886E+02				
.133333E+03	.842638E+02				
.166667E+03	.817778E+02				
.200000E+03	.635904E+02				
.233333E+03	.265614E+02				

0.	0.				
.333333E+02	0.				
.666667E+02	0.				
.100000E+03	0.				
.133333E+03	0.				
.166667E+03	0.				
.200000E+03	0.				
.233333E+03	0.				

0.	0.				
.333333E+02	.523376E+00				
.666667E+02	.418702E+01				
.100000E+03	.141312E+02				
.133333E+03	.334962E+02				
.166667E+03	.654222E+02				
.200000E+03	.113050E+03				
.233333E+03	.179519E+03				

-.250000E+03	0.				
-.216667E+03	0.				
-.183333E+03	0.				
-.150000E+03	0.				
-.116667E+03	0.				
-.833333E+02	0.				
-.500000E+02	0.				
-.166667E+02	0.				
.166667E+02	0.				
.500000E+02	0.				
.833333E+02	0.				
.116667E+03	0.				
.150000E+03	0.				
.183333E+03	0.				
.216667E+03	0.				
.250000E+03	0.				

-.250000E+03	.474805E-03	-.233333E+03	.443151E-03
-.216667E+03	.411498E-03	-.200000E+03	.379844E-03
-.183333E+03	.348190E-03	-.166667E+03	.316537E-03
-.150000E+03	.284883E-03	-.133333E+03	.253229E-03
-.116667E+03	.221576E-03	-.100000E+03	.189922E-03
-.833333E+02	.158268E-03	-.666667E+02	.126615E-03
-.500000E+02	.949610E-04	-.333333E+02	.633073E-04
-.166667E+02	.316537E-04	.193268E-11	.367058E-17
.166667E+02	.316537E-04	.333333E+02	.633073E-04
.500000E+02	.949610E-04	.666667E+02	.126615E-03
.833333E+02	.158268E-03	.100000E+03	.189922E-03
.116667E+03	.221576E-03	.133333E+03	.253229E-03
.150000E+03	.284883E-03	.166667E+03	.316537E-03
.183333E+03	.348190E-03	.200000E+03	.379844E-03
.216667E+03	.411498E-03	.233333E+03	.443151E-03
.250000E+03	.474805E-03		

-.250000E+03	0.	-.233333E+03	0.
-.216667E+03	0.	-.200000E+03	0.
-.183333E+03	0.	-.166667E+03	0.
-.150000E+03	0.	-.133333E+03	0.
-.116667E+03	0.	-.100000E+03	0.
-.833333E+02	0.	-.666667E+02	0.
-.500000E+02	0.	-.333333E+02	0.
-.166667E+02	0.	.193268E-11	0.
.166667E+02	0.	.333333E+02	0.
.500000E+02	0.	.666667E+02	0.
.833333E+02	0.	.100000E+03	0.
.116667E+03	0.	.133333E+03	0.
.150000E+03	0.	.166667E+03	0.
.183333E+03	0.	.200000E+03	0.
.216667E+03	0.	.233333E+03	0.
.250000E+03	0.		

1      0      1      0      2      2

.250000E+03	0.		
.250000E+03	0.		
.250000E+03	0.	-.250000E+03	0.
.250000E+03	.118701E+00	-.250000E+03	.118701E+00

## 5. Die Transportkoeffizienten in niedrigster Ordnung

Nachdem wir in den Kapiteln 3 und 4 die Berechnung der Transportkoeffizienten ausgehend von den Modell-Hamiltonoperatoren erläutert haben, werden wir nun für die niedrigste Ordnung im Variationsverfahren Gleichungen für den elektrischen Widerstand, den Wärmewiderstand und den Seebeckkoeffizienten bei Vorhandensein einzelner Streumechanismen erhalten.

Wir gehen dazu von den Gleichungen (3.3.2)-(3.3.4) aus und haben dabei die Summen

$$\sum_{\alpha} \tilde{\beta}_{\alpha} C_{\alpha\alpha}^{-1} \tilde{\beta}_{\alpha} \quad (5.1)$$

$$\sum_{\alpha} \hat{\beta}_{\alpha} C_{\alpha\alpha}^{-1} \tilde{\beta}_{\alpha} \quad (5.2)$$

und

$$\sum_{\alpha} \hat{\beta}_{\alpha} C_{\alpha\alpha}^{-1} \hat{\beta}_{\alpha} \quad (5.3)$$

auszuwerten. Dabei hat man zu beachten, daß die in (5.1)-(5.3) enthaltenen Größen von verschiedener Größenordnung sind. Bei den vorkommenden Summen sind  $\tilde{\beta}_0, \tilde{\beta}_1, \tilde{\beta}_2, C_{\alpha\alpha}$  und  $C_{\alpha\alpha}^{-1}$  Größen der Ordnung  $(k_b T / \mu)^0$ , hingegen  $\hat{\beta}_0, \hat{\beta}_1, C_{\alpha\alpha}^{-1}$  und  $C_{\alpha\alpha}$  von der Ordnung  $(k_b T / \mu)^1$ . Wegen

$$(k_b T / \mu) \ll 1 \quad (5.4)$$

für  $T$  ungefähr bei Raumtemperatur, werden wir bei den weiteren Rechnungen dieses Kapitels Terme der Ordnung  $(k_b T / \mu)^2$  vernachlässigen. So ergibt sich für den zweidimensionalen Unterraum die inverse Matrix des Stoßoperators als

$$C^{-1} = \frac{1}{C_{00}C_{11} - C_{01}C_{10}} \begin{pmatrix} C_{11} & -C_{01} \\ -C_{10} & C_{00} \end{pmatrix} \approx \frac{1}{C_{00}C_{11}} \begin{pmatrix} C_{11} & -C_{01} \\ -C_{10} & C_{00} \end{pmatrix} \quad (5.5)$$

Im weiteren erhalten wir für die in (5.1)-(5.3) angegebenen Summen:

$$\sum_{\alpha} \tilde{J}_{\alpha} C_{\alpha\alpha}^{-1} \tilde{J}_{\alpha} \approx \frac{1}{C_{00} C_{11}} \tilde{J}_0 C_{11} \tilde{J}_0 \quad (5.6)$$

$$\sum_{\alpha} \tilde{J}_{\alpha} C_{\alpha\alpha}^{-1} \tilde{J}_{\alpha} \approx \frac{1}{C_{00} C_{11}} \{ \tilde{J}_0 C_{11} \tilde{J}_1 - \tilde{J}_0 C_{01} \tilde{J}_2 + \tilde{J}_1 C_{00} \tilde{J}_2 \} \quad (5.7)$$

$$\sum_{\alpha} \tilde{J}_{\alpha} C_{\alpha\alpha}^{-1} \tilde{J}_{\alpha} \approx \frac{1}{C_{00} C_{11}} \tilde{J}_2 C_{00} \tilde{J}_2 \quad (5.8),$$

wobei die Summation über  $\alpha, \alpha' = 0, 1$  durchgeführt wurde.

Außerdem wurde

$$\tilde{J}_0 \cdot \tilde{J}_{\alpha\alpha} \quad (5.9)$$

verwendet. Mit (3.3.2.2) und unter Beachtung von  $T/\mu \ll 1$

$$\tilde{J}_0 = \bar{V}(0) = \bar{V}_0 \quad (5.10)$$

$$\tilde{J}_1 = \frac{1}{\beta} \bar{V}'(0) I_2 = \frac{1}{\beta} \bar{V}_0' I_2 \quad (5.11)$$

$$\tilde{J}_2 = \bar{V}(0) I_2 \quad (5.12)$$

und (5.6)-(5.8) erhält man für den elektrischen Widerstand

$$R = \frac{1}{4(2\pi)^2} \frac{m \cdot k_B}{e^2 \hbar n \cdot \bar{V}_0^2} T \cdot C_{00} \quad (5.13)$$

mit

$$C_{00} = 4 \int_0^\infty d\omega \frac{\omega^2}{(e^{(\omega-1)}(1-e^{-\omega}))} G_{++}^0(\Omega) \quad (5.14).$$

Der Wärmewiderstand ergibt sich zu

$$W = \frac{1}{4(2\pi)^2} \frac{m}{k_B \hbar n} \left( \frac{1}{4n(2)\bar{V}_0} \right)^2 \cdot C_{11} \quad (5.15)$$

mit

$$C_{11} = \int_0^\infty d\omega \frac{\omega^2}{(e^{(\omega-1)}(1-e^{-\omega}))} \left\{ 16n(2)G_{++}^0(\Omega) + \frac{G_u^0(\Omega) + 3G_{-+}^0(\Omega)}{3} \omega \right\} \quad (5.16).$$

Schließlich erhält man für den Seebeckkoeffizienten

$$S = - \frac{k_0}{e} \frac{4n(2)}{C_{11}} \left[ \frac{\bar{V}_0'}{\beta \bar{V}_0} [C_{11} + 4n(2)C_{00}] \cdot C_{10} \right] \quad (5.17)$$

mit

$$C_{10} = 2 \int_0^\infty d\omega \frac{\omega^3}{(e^{(\omega-1)}(1-e^{-\omega}))} G_{-+}^0(\Omega) + \int_\infty^\infty d\omega \frac{\omega^2}{(e^{(\omega-1)}(1-e^{-\omega}))} \left\{ \left[ 16n(2) + \frac{\omega^2}{3} \right] \frac{1}{\beta} G_{++}^0(\Omega) + \omega^2 \frac{1}{\beta} G_{-+}^0(\Omega) \right\} \quad (5.18)$$

Wir wollen nun (5.13)-(5.18) dazu verwenden, unmittelbar auswertbare Gleichungen für die Transportkoeffizienten bei Vorhandensein einzelner Streumechanismen zu erhalten.

### 5.1 Die Transportkoeffizienten für die Potential-Streuung

Verwenden wir nun die Gleichungen (5.13)-(5.18) und (4.2.1.1.6)-(4.2.1.1.9), so erhalten wir für die Transportkoeffizienten in niedrigster Ordnung

$$\rho = (1.1771 \text{ E-5}) \frac{1}{\bar{v}_o^2} \frac{a_v}{[K]} [\mu\Omega \cdot \text{cm}] \quad (5.1.1)$$

$$W = (4.8163 \text{ E-7}) \frac{1}{\bar{v}_o^2} \frac{a_v}{[K]} \frac{[K]}{T} \frac{[\text{cm} \cdot \text{K}]}{[\text{mW}]} \quad (5.1.2)$$

$$S = (-2.8355 \text{ E+2}) \left[ \frac{\bar{v}'_o}{\bar{v}_o} - \frac{N'_o}{N_o} \right] [K] \frac{T}{[K]} [\mu\text{V}/\text{K}] \quad (5.1.3)$$

mit  $\bar{v}_o = \bar{v}(0)$  (entsprechendes gilt auch für  $\bar{v}'_o$ ,  $N_o$  und  $N'_o$ ), und  $a_v$ , der Stärke der Potentialstreuung in [K].

Für die Potential-Streuung stellen die Gleichungen (5.1.1)-(5.1.3) bereits die Werte der Transportkoeffizienten dar, die man in jeder höheren Ordnung des Variationsverfahrens auch erhalten würde. Man sieht, daß der elektrische Widerstand konstant bezüglich der Temperatur ist, der Wärmewiderstand ein  $1/T$ - und der Seebeckkoeffizient ein lineares Verhalten in T zeigen.

Wie aus (5.1.1) und (5.1.2) ersichtlich, ist das Wiedemann-Franz-Gesetz in der Form

$$\frac{\rho}{W} = 4\eta (2) \left( \frac{k_e}{e} \right)^2 T \quad (5.1.4)$$

gültig.

### 5.2 Die Transportkoeffizienten für die Magnetische-Streuung

In ähnlicher Weise wie bei der Potential-Streuung werden wir nun (5.13)-(5.18) sowie die Spektralfunktionen aus (4.2.1.2) benutzen, um  $\rho$ ,  $W$  und  $S$  für die Magnetische Streuung in niedrigster Ordnung auszuwerten. Zuerst definieren wir aber

noch zwei Funktionen, die im weiteren wichtig sein werden:

$$R^O_J(T/T_C) = \frac{1}{J(J+1)} [\langle J_z^2 \rangle - \langle J_z \rangle^2 + \frac{n^2}{\sinh^2 n} \langle J_z \rangle] \quad (5.2.1)$$

und

$$R^2_J(T/T_C) = \frac{1}{J(J+1)} \frac{1}{3n^2} n^2 \langle J_z \rangle \frac{n^2}{\sinh^2 n} \quad (5.2.2).$$

Für die Transportkoeffizienten erhalten wir für  $T < T_C$ :

$$\rho = (2.3541 \text{ E-5}) \frac{a_m}{v_O^2 [K]} J(J+1) R^O_J(T/T_C) [\mu\Omega \cdot \text{cm}] \quad (5.2.3)$$

$$W = (9.6326 \text{ E-7}) \frac{1}{v_O^2} \frac{a_m}{[K]} \frac{[K]}{T} J(J+1) (R^O_J(T/T_C) + R^2_J(T/T_C)). \\ * [\text{cm.K/mW}] \quad (5.2.4)$$

$a_m$  ist die Stärke der Magnetischen Streuung in [K].

Berücksichtigt man, daß es durch die Wechselwirkung der Leitungselektronen mit den magnetischen Seltenen Erd Ionen zur Aufspaltung des Leitfähigkeitsbandes kommt, und daß diese Aufspaltung  $\Delta b$  im allgemeinen klein gegenüber der Fermienergie ist, so erhält man für  $\rho$  und  $W$  bei Berücksichtigung der Aufspaltung bis zu Termen ( $\Delta b / \mu$ ) das selbe Ergebnis wie ohne Aufspaltung (Das Leitfähigkeitsband spaltet in ein Band mit Spin  $\uparrow$  und in eines mit Spin  $\downarrow$  auf). Für den Seebeckkoeffizienten ist dies hingegen nicht der Fall. Es ergibt sich ohne Aufspaltung

$$S = (-2.8355 \text{ E-2}) \frac{T}{[K]} \left( \frac{\bar{v}_e'}{\bar{v}_e} \frac{R^O_J}{R_J^0 + R_J^2} - \frac{N_e'}{N_e} \frac{R_J^0 - \frac{1}{2} R_J^2}{R_J^0 + R_J^2} \right) [\mu\text{V/K}] \quad (5.2.5)$$

hingegen mit Berücksichtigung der Aufspaltung bis zu Termen ( $\Delta b / \mu$ )

$$S = (-2.8355 \text{ E-2}) \frac{T}{[K]} \left( \left[ \frac{\bar{v}_e'}{\bar{v}_e} - \frac{N_e'}{N_e} \right] \frac{R^O_J}{R_J^0 + R_J^2} + \left[ \frac{1}{2} \frac{N_e'}{N_e} - \frac{3}{4} \Delta b \frac{\bar{v}_e'}{\bar{v}_e} \left[ \frac{\bar{v}_e'}{\bar{v}_e} - \frac{N_e'}{N_e} \right] \right] \frac{R_J^2}{R_J^0 + R_J^2} \right) [\mu\text{V/K}] \quad (5.2.6).$$

Der vierte Term in (5.2.6) enthält dabei das Verhältnis der Stärken  $H_{sf}$  zu  $H_{ff}$  also der Elektron - Seltenen Erd Ion zur Seltenen Erd Ion - Seltenen Erd Ion Wechselwirkungsstärke, und bewirkt die Änderung des Temperaturverlaufes von S gegenüber (5.2.5).

Die Temperaturabhängigkeit von  $\rho$ , W und S ist dabei durch die Funktionen  $R_J^0$  und  $R_J^2$ , die nur von dem Verhältnis  $T/T_c$  abhängen, bestimmt. Sie sind in Abbildung 5.2.1 für die J Werte 1/2, 3/2, 7/2 dargestellt.

Für  $T \gg T_c$  sind wie auch schon bei der Potential-Streuung die Spektralfunktionen von der Temperatur unabhängig. Man erhält dabei

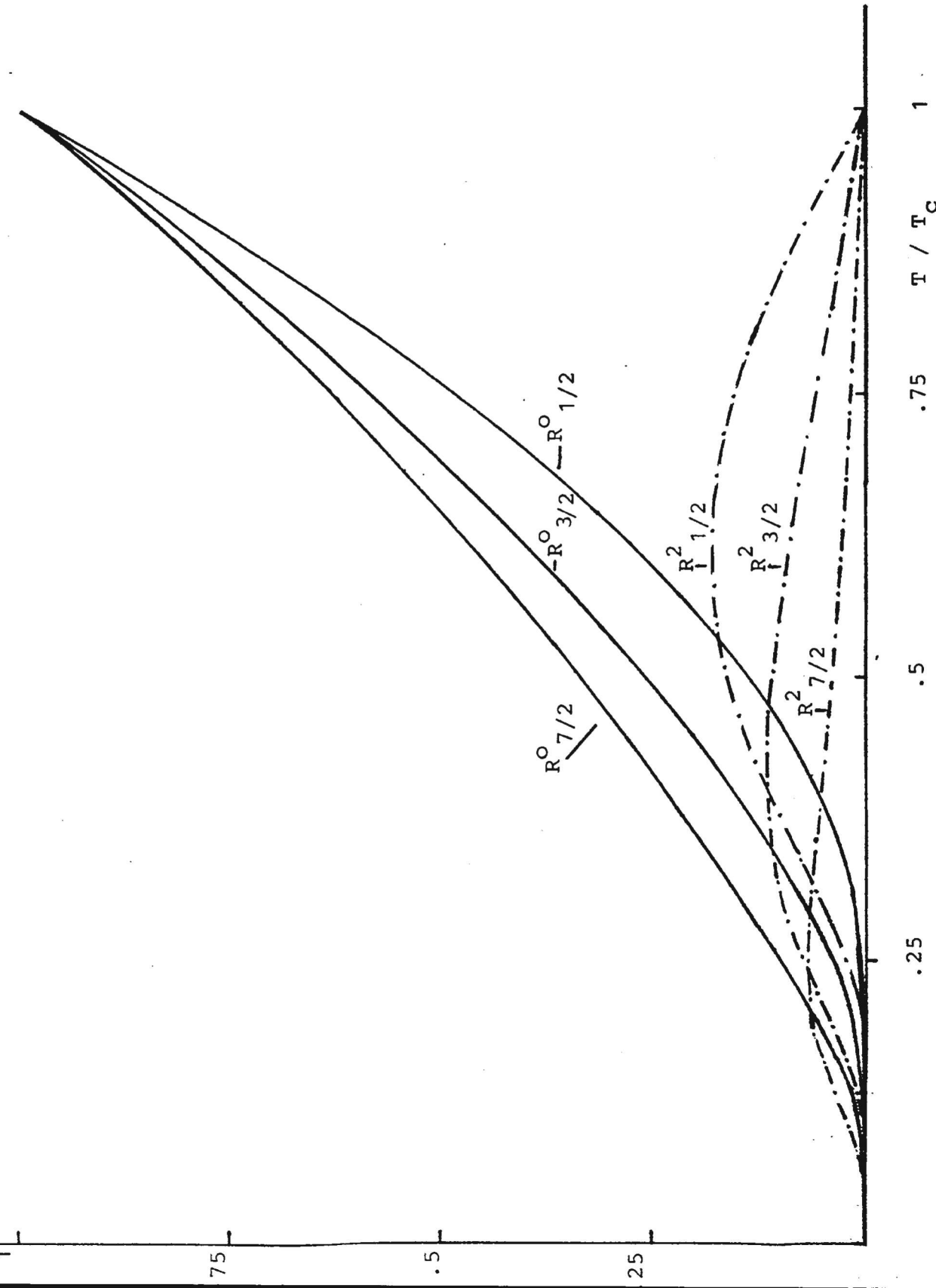
$$\rho = (2.3541 \text{ E-}5) \frac{1}{\bar{v}_o} \frac{a_m}{[K]} J(J+1) [\mu\Omega \cdot \text{cm}] \quad (5.2.7)$$

$$W = (9.6326 \text{ E-}7) \frac{1}{\bar{v}_o} \frac{a_m}{[K]} \frac{[K]}{T} J(J+1) \frac{[\text{cm} \cdot \text{K}]}{[\text{mW}]} \quad (5.2.8)$$

$$S = (-2.8355 \text{ E+}2) [K] \left[ \frac{\bar{v}'_o}{\bar{v}_o} - \frac{N'_o}{N_o} \right] \frac{T}{[K]} [\mu\text{V}/\text{K}] \quad (5.2.9)$$

Abbildung 5.2.1 : Die Funktionen  $R_J^0$  und  $R_J^2$  für  $J = 1/2, 3/2$  und  $7/2$

—  $R_J^0$ , - - -  $R_J^2$



### 5.3 Die Transportkoeffizienten für die Phononen-Streuung

Um Gleichungen für die Transportkoeffizienten bei der Phononen-Streuung zu erhalten, gehen wir von den Spektralfunktionen des Kapitels (4.2.1.3) aus und erhalten für  $\alpha = \frac{1}{4}(\omega_b/k_f)^2 = 1$

$$\rho = (4.7083 \text{ E-5}) \frac{1}{V_0^2} a \frac{T}{[K]} \frac{1}{\omega_b^3} J_5(\omega_b) \quad [\mu\Omega \cdot \text{cm}] \quad (5.3.1)$$

$$W = (4.8163 \text{ E-7}) \frac{1}{V_0^2} a \left( [1 + \frac{\omega_b^2}{16\pi^2}] - 4 \frac{1}{\omega_b^4} J_5(\omega_b) - \frac{1}{6\pi^2} \frac{1}{\omega_b^4} J_7(\omega_b) \right) \quad [\text{cm} \cdot \text{K}] \quad (5.3.2)$$

sowie für S

$$S = \frac{(-2.8355 \text{ E+2}) \frac{T}{[K]}}{\frac{V_0'}{V_0} \left[ \left( 2 + \frac{\omega_b^2}{16\pi^2} \right) \frac{4}{\omega_b^3} J_5(\omega_b) - \frac{8}{3.16\pi^2} \frac{1}{\omega_b^5} J_7(\omega_b) \right] - \left[ \frac{V_0'}{V_0} - \frac{N_b'}{N_b} \right] \left[ 1 + \frac{\omega_b^2}{3.16\pi^2} \right] \left[ \frac{\omega_b^{12}}{\sinh(\omega_b/2)} \right]^2 - \frac{1}{16\pi^2} \left[ \frac{V_0'}{V_0} - \frac{N_b'}{N_b} \right] \frac{2}{\omega_b^3} J_5(\omega_b)} \quad (5.3.3).$$

Dabei gilt für  $J_n(x)$

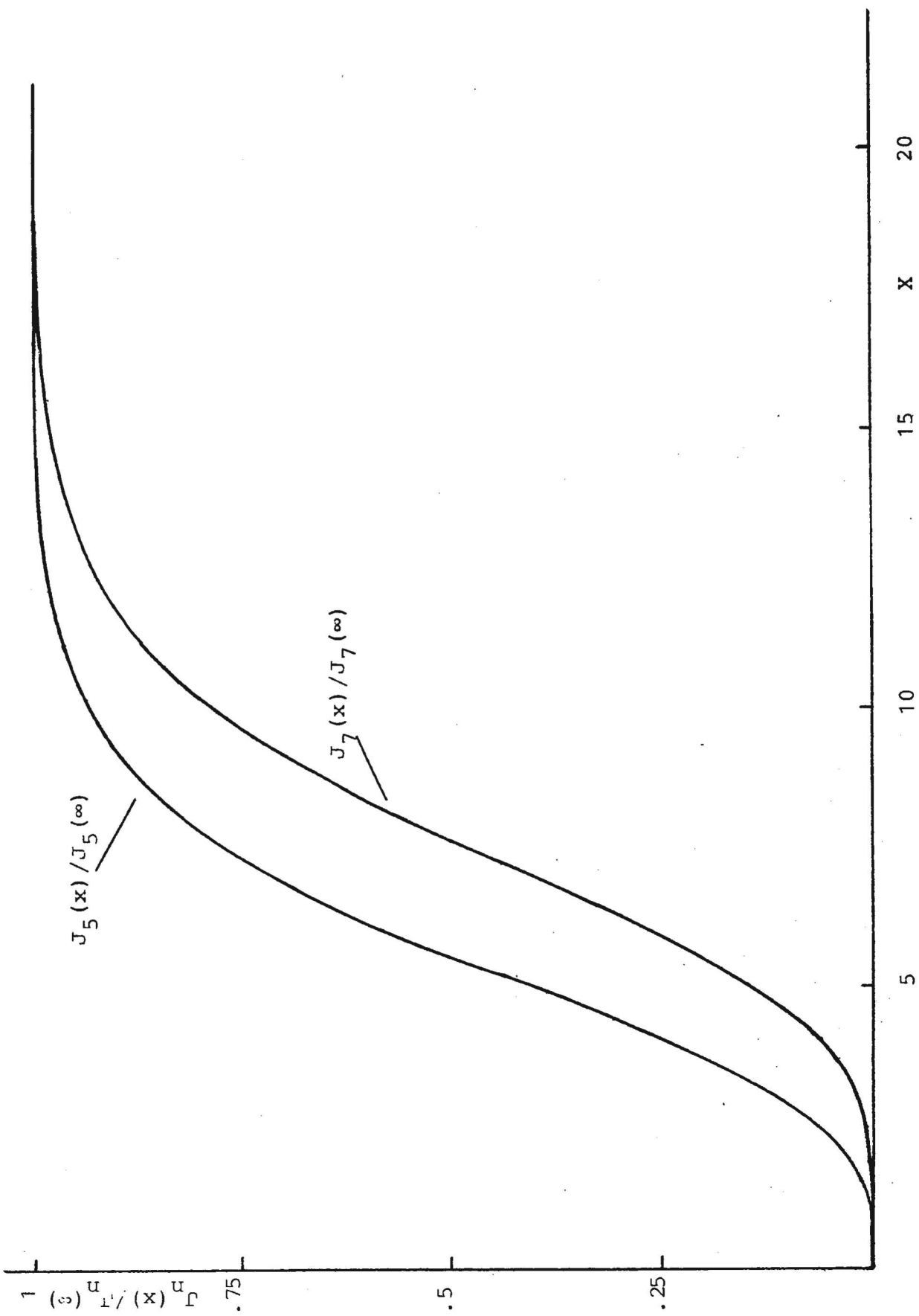
$$J_n(x) = \int_0^\infty dw \frac{\omega^n}{(e^{\omega/2} - 1)(1 - e^{-\omega})} \quad n \geq 2 \quad (5.3.4).$$

In allen drei Koeffizienten ist die Temperaturabhängigkeit in der Größe  $\omega_b$  enthalten. Für den elektrischen Widerstand erhält man bei tiefen Temperaturen ein  $T^5$ -Gesetz (für große Argumente ist die Funktion  $J_n(x)$  als konstant anzunehmen) - für hohe Temperaturen ein lineares Verhalten in T (für kleine Argumente geht  $J_n(x)$  wie  $\frac{x^{n-1}}{n-1}$  ).

Für den Wärmewiderstand erhält man für tiefe Temperaturen zunächst ein  $T^2$  - Verhalten - für hohe Temperaturen verhält sich W temperaturunabhängig.

In Abbildung (5.3.1) sind die Funktionen  $J_5(x)$  und  $J_7(x)$  dargestellt.

Abbildung 5.3.1 : Die Funktionen  $J_5(x)/J_5(\infty)$ ,  $J_7(x)/J_7(\infty)$



## 6. Durchführung der Rechnung und Ergebnisse für GdAl<sub>2</sub>

### 6.1 Durchführung der Rechnung

Bevor wir uns mit den Ergebnissen der mit den erstellten Programmen durchgeführten Rechnungen befassen, soll noch einmal auf die dazu notwendigen Programme und den Rechenablauf eingegangen werden. In diesem Zusammenhang sei auf Kapitel 3 verwiesen, das im Abschnitt 3.3 eine Übersicht über die Programm-pakete AS und TC gibt, die zur Berechnung der Transportkoeffizienten dienen. In Kapitel 4 Abschnitt 4.2 wurde das Programm-paket CMS, das die Berechnung der Spektralfunktionen ausgehend von den Modell-Hamiltonoperatoren ermöglicht, behandelt.

Hier wollen wir uns kurz mit dem strukturellen Aufbau der Software, die für die Rechnung notwendig ist, sowie mit den Datenträgern der Ein- und Ausgabe befassen.

Das Hauptprogramm COTRACO, dessen Flußdiagramm und Programm-liste sich im Anhang (A.2.1.1) befinden, bedient die Programm-pakete AS und TC und ermöglicht den Datentransfer von n Da-teien, die jeweils 6 Spektralfunktionen einer Wechselwirkung für die angeforderten Temperaturen enthalten, zu AS und TC. Wie nun die Erzeugung der Dateien, auf denen die Spektral-funktionen stehen, vor sich gegangen ist, ist belanglos, so-lange die Formatierung der Dateien mit den Angaben aus Kapitel 4 übereinstimmen.

In Abbildung 6.1.1 sind für den Fall von 3 Wechselwirkungen der gesamte Aufbau für die Berechnung der Transportkoeffizien-ten sowie alle bei der Berechnung verwendeten Datenträger dar-gestellt:

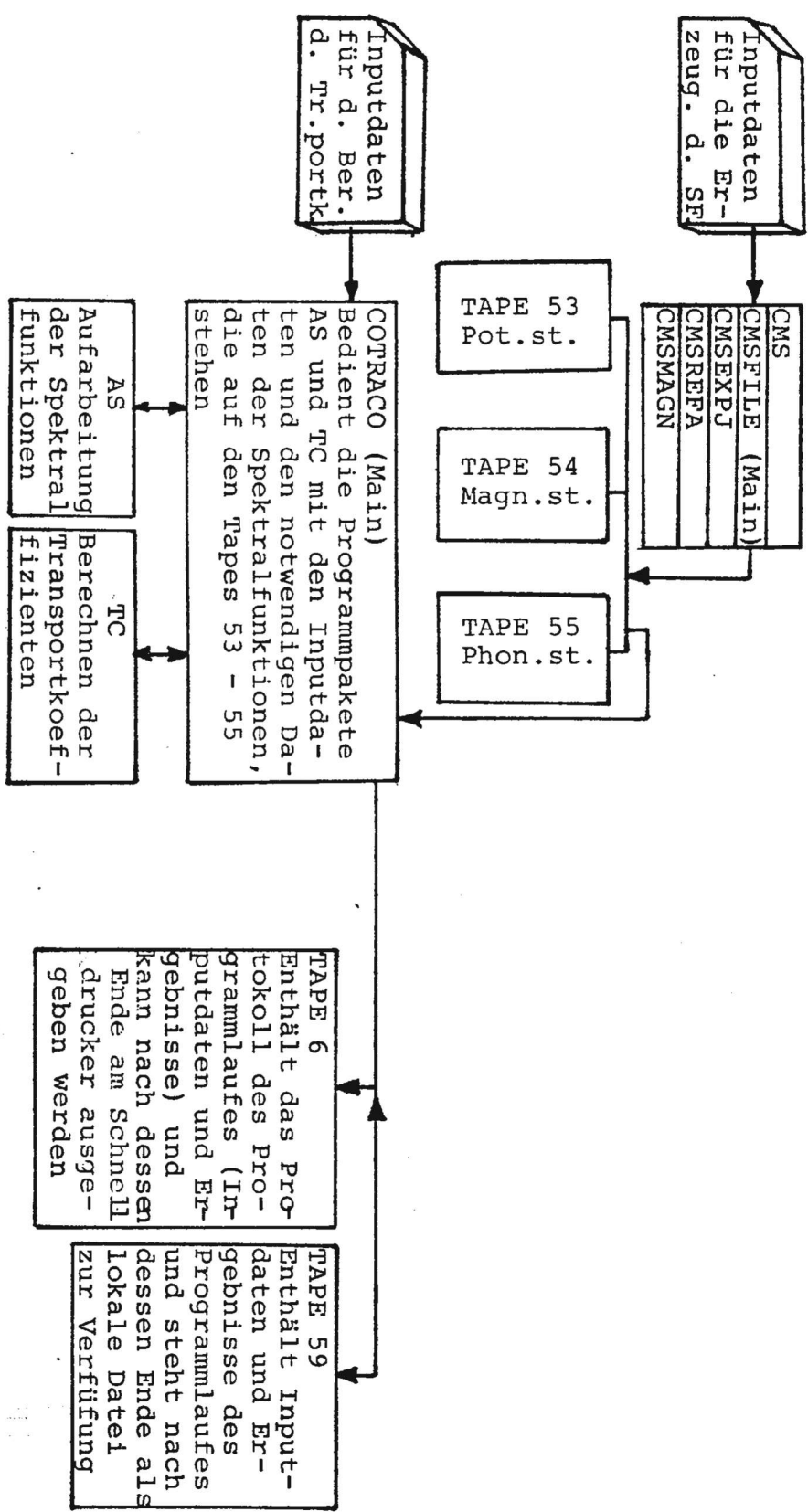


Abbildung 6.1.1 :

Aufbau, Datenträger und Datenfluß bei der Berechnung der Transportkoeffizienten  
 $\rho$ , W und S für 3 streumechanismen (Potential-, Magnetische und Phononen Streuung)

Auf den Dateien TAPE n stehen die benötigten Spektralfunktionen - in diesem Fall werden sie vom Programmpaket CMS erstellt. Das Hauptprogramm COTRACO holt die Daten von den Dateien (TAPE n) und stellt sie den Programmpaketen AS und TC zur Verfügung. Für jede Temperatur werden alle erhaltenen Transportkoeffizienten auf die Ergebnisdatei TAPE 59 und auf TAPE 6 , die Datei, die nach jedem Programmdurchlauf am Zentraldrucker ausgedruckt werden kann, geschrieben.

In Abbildung 6.1.2 ist die Formatierung der Ergebnisdatei (TAPE 59) angegeben.

Bei sämtlichen Dateien handelt es sich um sequentiell beschriebene Fortran Dateien.

**Abbildung 6.1.2 :**

**Die Formatierung der Ergebnisdatei TAPE 59**

Datum, Uhrzeit, Text (Bemerkung zum aktuellen Programmlauf)
Zahl der Wechselwirkungen, Stärken der Wechselwirkungen, $v(0)$ , $\bar{v}(0)$ , Grad der Polynome, Stützstellenabstand für die numerische Integration, Anfangstemperatur, Temperaturschrittweite, Zahl der Temperaturschritte, Dimension des Funktionenraumes

Für jede Wechselwirkung:

Art der Wechselwirkung (60 Character)
Absolute Stärke der Wechselwirkung (60 Character)
Modellparameter der Spektralfunktionen (60 Character)

Für jede Temperatur:

Elektrischer Widerstand IDIM, Seebeckkoeffizient IDIM, Wärmeleitfähigkeit IDIM
--

## 6.2 Ergebnisse der Transportkoeffizienten für die intermetallische Verbindung $\text{GdAl}_2$

$\text{GdAl}_2$  besitzt eine  $\text{MgCu}_2$  (C 15) - Struktur. Eine Einheitszelle ist dabei in Abbildung 6.2.1 dargestellt/11/.

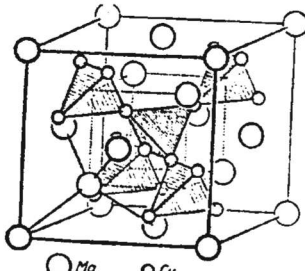


Abbildung 6.2.1: Der  $\text{MgCu}_2$  Typ (C 15-Struktur)

Die Gitterkonstante beträgt dabei  $7.9 \text{ \AA}$ . Es befinden sich 8 Gd-Atome sowie 16 Al-Atome in dieser Zelle. Sowohl das Gadolinium als auch das Aluminium geben 3 Elektronen an das Leitfähigkeitsband ab.

Das Seltene Erd Ion Gadolinium hat Gesamtdrehimpulsquantenzahl  $J = 7/2$ . Für die kritische Temperatur für magnetische Ordnung wurde  $T_c$  mit 150 K festgelegt, die Debeyetemperatur mit 250 K angenommen. Für den weiteren Modellparameter  $a = (q_s/2k_f)^2$  wurde 1 festgesetzt.

Die Stärken der einzelnen Wechselwirkungen wurden über die Werte des elektrischen Widerstandes bestimmt/13/, und sind in Tabelle 6.2 angegeben:

$$\begin{array}{lll} \text{Potential:} & a_v & = 2.72 \text{ E+4 [K]} \\ \text{Magnetisch:} & a_m & = 3.46 \text{ E+3 [K]} \\ \text{Phononen:} & a & = 690. \end{array}$$

Tabelle 6.2 : Stärken der Wechselwirkungen für  $\text{GdAl}_2$

Die von der Bandstruktur abhängigen Größen  $\bar{v}(E)$ ,  $N(E)$  und die Fermienergie  $E_f$  wurden über das freie Elektronengas bestimmt.

Dabei wurde die Temperaturabhängigkeit der Größen  $\bar{v}(0)$ ,  $N(0)$ ,  $\bar{v}'(0)$  und  $N'(0)$  nicht berücksichtigt, also  $\mu = E_f$  angenommen. Für  $\bar{v}(0)$  wurde dabei 1, für  $\bar{v}'(0)$  1.2909 E-5 verwendet. Zunächst gibt Kapitel 6.2.1 eine Zusammenstellung der Ergebnisse für die Transportkoeffizienten  $\sigma$ ,  $W$  und  $S$ , wie man sie für  $GdAl_2$  bei Vorhandensein einzelner Streumechanismen (Potential-, Magnetische- und Phononen-Streuung) erhält. In Kapitel 6.2.2 sind die Ergebnisse für die Überlagerung von Streumechanismen zusammengefaßt.

#### 6.2.1 Ergebnisse für die einzelnen Streumechanismen

Im folgenden werden die Ergebnisse für den Temperaturverlauf der Transportkoeffizienten beim Vorhandensein einzelner Streumechanismen angegeben. In den Abbildungen des Temperaturverlaufes für die Koeffizienten werden neben den Ergebnissen für den größten Unterraum, in dem das Variationsverfahren angewandt wurde (7-dimensional), auch die für die niedrigste Ordnung angegeben, um das Konvergenzverhalten der Transportkoeffizienten studieren zu können. Außerdem eröffnet die Rechnung die Möglichkeit, die Beiträge der einzelnen Streumechanismen zu den Transportkoeffizienten zu erhalten. Darüberhinaus kann man mit Hilfe der in Abschnitt 6.2.2.1 behandelten Matthiessen, Kohler und Nordheim-Gorter Regeln Transportkoeffizienten für die Überlagerung der Streumechanismen bestimmen.

#### 6.2.1.1 Ergebnisse für die Potential-Streuung

Für die Transportkoeffizienten erhalten wir bei reiner Potential-Streuung einen Temperaturverlauf, der in den Abbildungen 6.2.1.1.1 bis 6.2.1.3.1 dargestellt ist:

Der elektrische Widerstand hängt dabei nicht von der Temperatur ab, der Wärmewiderstand verläuft wie  $1/T$  und der Seebeckkoeffizient zeigt lineares Verhalten in T. Es stimmen die Ergebnisse, die man in niedrigster Ordnung erhält, mit denen höherer Ordnung überein. Die äußeren Felder bewirken für die Verteilungsfunktion eine Translation des k-Raumes, die bereits in der Relaxationszeitnäherung richtig berücksichtigt wird.

Abbildung 6.2.1.1.1 : Der elektrische Widerstand für die Potential-Streuung

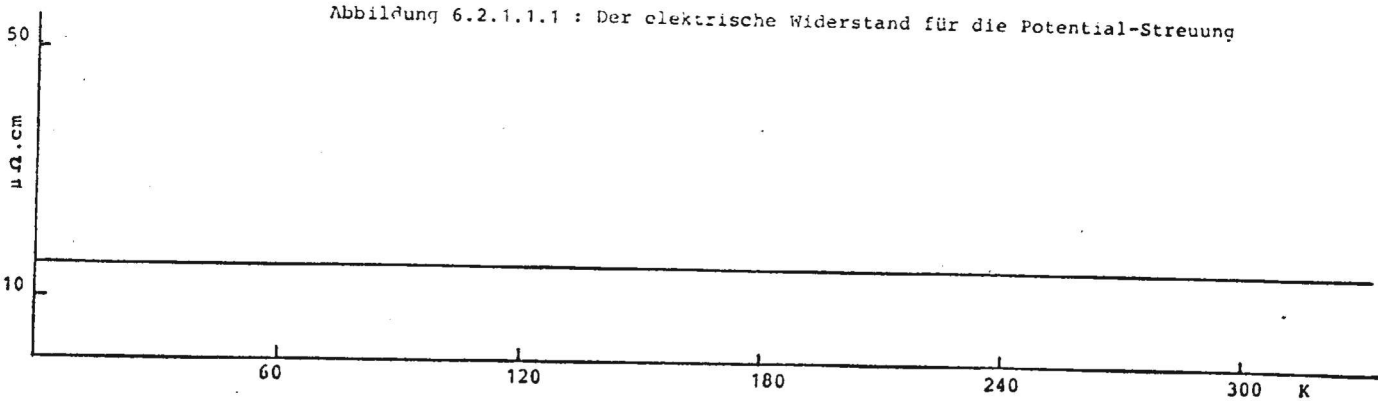


Abbildung 6.2.1.1.2: Der Wärmewiderstand für die Potential-Streuung

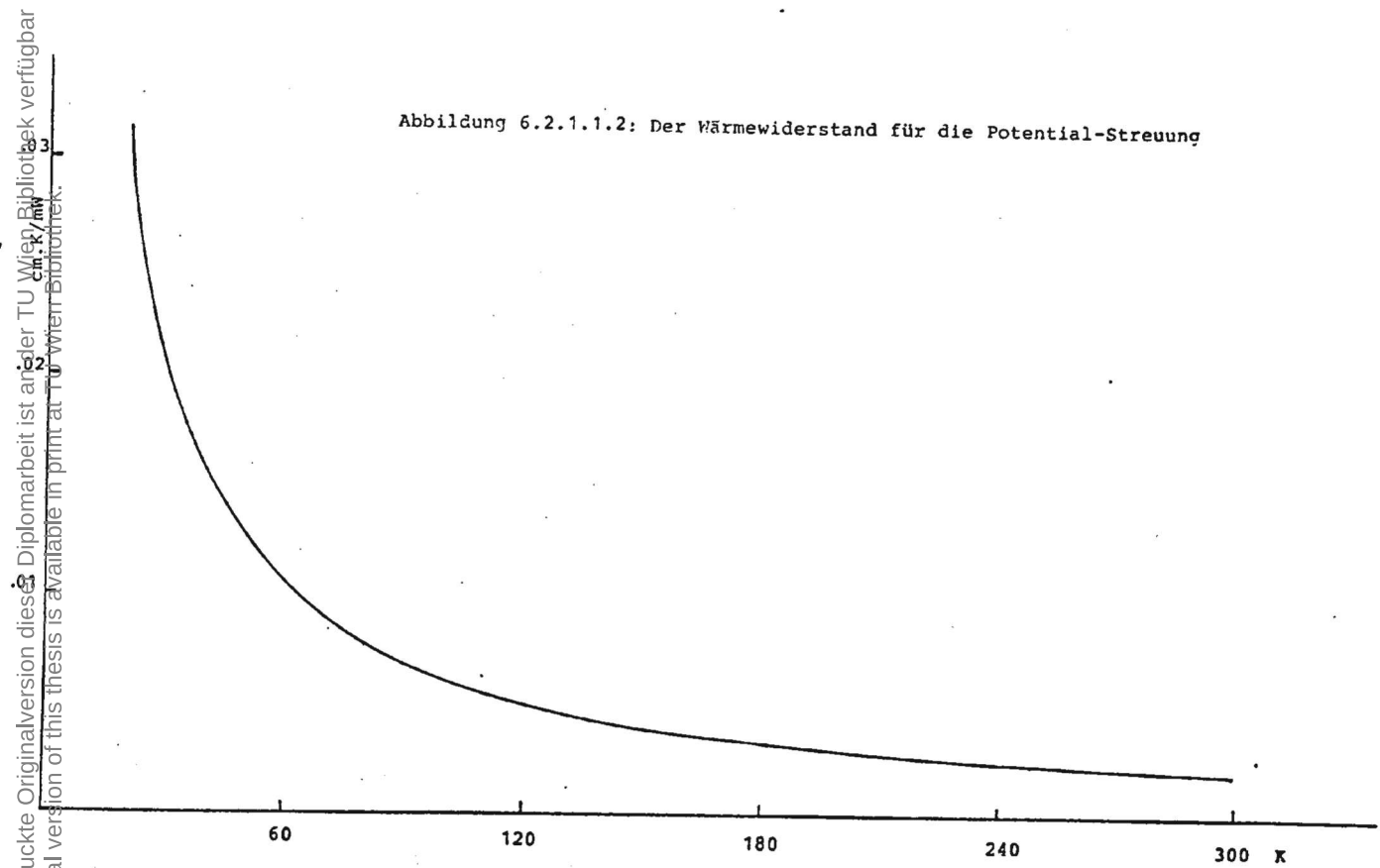
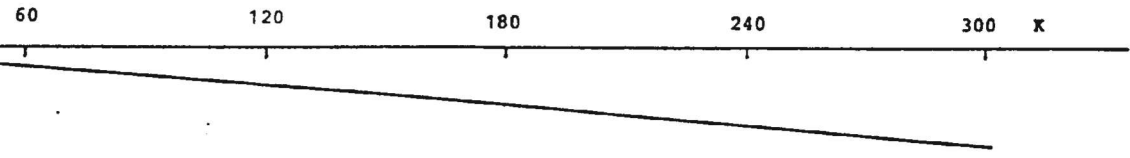


Abbildung 6.2.1.1.3: Der Seebeckkoeffizient für die Potential-Streuung



### 6.2.1.2 Ergebnisse für die Magnetische-Streuung

Bei  $\text{GdAl}_2$  gibt es wegen des magnetischen Gadolinium-Ions (Gesamtdrehimpulsquantenzahl  $J = 7/2$ ) Streuprozesse, die von der Wechselwirkung der Leitungselektronen mit den magnetischen Seltenen Erd Ionen herrühren, mit temperaturcharakteristischem Beitrag zu den Transportkoeffizienten.

Für  $T < T_c$  ist die Streuung der Leitungselektronen auch inelastisch, für  $T > T_c$  ist sie nur mehr elastisch.

Sowohl der elektrische Widerstand wie auch der Wärmewiderstand und der Seebeckkoeffizient zeigen ein stetiges Verhalten beim Übergang von  $T < T_c$  nach  $T > T_c$ . Die Ableitungen der Funktionen bei  $T = T_c$  sind jedoch für alle drei Koeffizienten unstetig.

In Abbildung 6.2.1.2.1 ist der Temperaturverlauf des elektrischen Widerstandes für die Magnetische-Streuung angegeben. Berücksichtigen wir in der Rechnung Terme der Ordnung ( $\Delta b/\mu$ ) ( $\Delta b$ ...Aufspaltung des Leitfähigkeitsbandes durch die magnetische Wechselwirkung,  $\mu$ ...chem. Potential), so erhalten wir für den elektrischen Widerstand mit und ohne Berücksichtigung der Bandaufspaltung das gleiche Ergebnis. Dabei bekommt man ein exponentielles Ansteigen von  $T = 0$  aus, und einen konstanten Verlauf für  $T \gg T_c$ . Der Wert des Widerstandes hängt dabei von der Gesamtdrehimpulsquantenzahl  $J$  und dem Landee-Faktor der magnetischen Ionen ab.

Im Unterschied zur Potential-Streuung ändern sich die Werte der Transportkoeffizienten beim Übergang zu immer höher dimensionalen Funktionenräumen. Dabei ist deutlich zu bemerken, daß die relativen Unterschiede zwischen den Ergebnissen der niedrigsten Ordnung und der höchsten (in unserem Fall 7-dimensional) umso höher sind, je tiefer die Temperaturen liegen.

Wegen der Maximalbedingungen, die das Variationsverfahren für die elektrische Leitfähigkeit und die Wärmeleitfähigkeit liefert, und der geeigneten Wahl der Versuchsfunktionen, liegen die Werte für den elektrischen Widerstand und den Wärmewiderstand in niedrigster Ordnung stets höher als die in höherer Ordnung. Für  $T = 5 \text{ K}$  erhält man einen um den Faktor 3 gegenüber der höchsten Ordnung größeren Wert in niedrigster Ordnung. Bei  $T = 40 \text{ K}$  ist dann bereits eine Übereinstimmung der Werte in niedrigster und höchster Ordnung von ungefähr 10% gegeben, die für höhere Temperaturen immer besser wird (bei  $T = 80 \text{ K}$  ist die relative Übereinstimmung .4%).

Für den Wärmewiderstand (Abbildung 6.2.1.2.2) erhält man einen sehr starken relativen Anstieg bei tiefen Temperaturen ( $10-40 \text{ K}$ ) und ein Verhalten wie  $1/T$  für  $T > T_c$ , wie auch schon bei der Potential-Streuung. Auch beim Wärmewiderstand stimmen die Werte mit und ohne Berücksichtigung der Bandaufspaltung überein, wenn man Terme ab der Ordnung  $(\Delta b/\mu)^2$  vernachlässigt. Bei tieferen Temperaturen ergeben sich stärkere relative Abweichungen der Werte, die man für die niedrigste Ordnung des Variationsverhaltens erhält, von denen der höchsten Ordnung als bei höheren Temperaturen. Bei  $5 \text{ K}$  beträgt der relative Unterschied den Faktor 11, für  $T = 40 \text{ K}$  wird eine Übereinstimmung von 10% erreicht. Für höhere Temperaturen wird der relative Unterschied zwischen niedrigster und höchster Ordnung zusehends geringer (ab  $60 \text{ K}$  kleiner als 1%).

Für den Seebeckkoeffizienten der Magnetischen Streuung ist in der Abbildung 6.2.1.2.3 der Temperaturverlauf mit Berücksichtigung der Bandaufspaltung bis zu Termen  $(\Delta b/\mu)$  und in

Abbildung 6.2.1.2.4 ohne Bandaufspaltung dargestellt.

Berücksichtigen wir die Bandaufspaltung, so durchläuft der Seebeckkoeffizient zunächst ein positives Maximum, dessen Wert linear vom Quotienten der Wechselwirkungsstärken  $H_{sf}$  (Leitungselektron-Seltenes Erd Ion) und  $H_{ff}$  (Seltenes Erd Ion- Seltenes Erd Ion) abhängt. Bei  $T = T_c$  hat der Koeffizient bereits sein Vorzeichen gewechselt, und zeigt für  $T > T_c$  lineares Verhalten in  $T$ .

Ohne Berücksichtigung der Bandaufspaltung erhält man für den Seebeckkoeffizienten ein auch für tiefe Temperaturen nahezu lineares Verhalten. Der Koeffizient ändert sein Vorzeichen auf dem gesamten Temperaturbereich nicht.

Man erhält, vergleicht man wieder Werte der niedrigsten Ordnung des Variationsverfahrens mit denen höherer Ordnung, umso stärkere relative Abweichungen je tiefer die Temperaturen liegen. Für den Seebeckkoeffizienten gibt es keine Minimal- oder Maximalbedingungen wie für den elektrischen Widerstand oder die Wärmeleitfähigkeit. Die Werte konvergieren deswegen nicht monoton von niedrigeren Ordnungen zu höheren.

Für den Seebeckkoeffizienten mit Berücksichtigung der Bandaufspaltung beträgt die relative Abweichung vom minimalen gegenüber dem maximalen Wert bei  $T = 5 \text{ K}$  den Faktor 9. Für  $T = 40 \text{ K}$  ist der Unterschied 50% und für  $T > 80 \text{ K}$  ist die Übereinstimmung besser als 10%.

Abbildung 6.2.1.2.1: Der elektrische Widerstand für die Magnetische-Streuung  
— 7-dimensionaler Unterraum; - - - 1-dimensionaler Unterraum

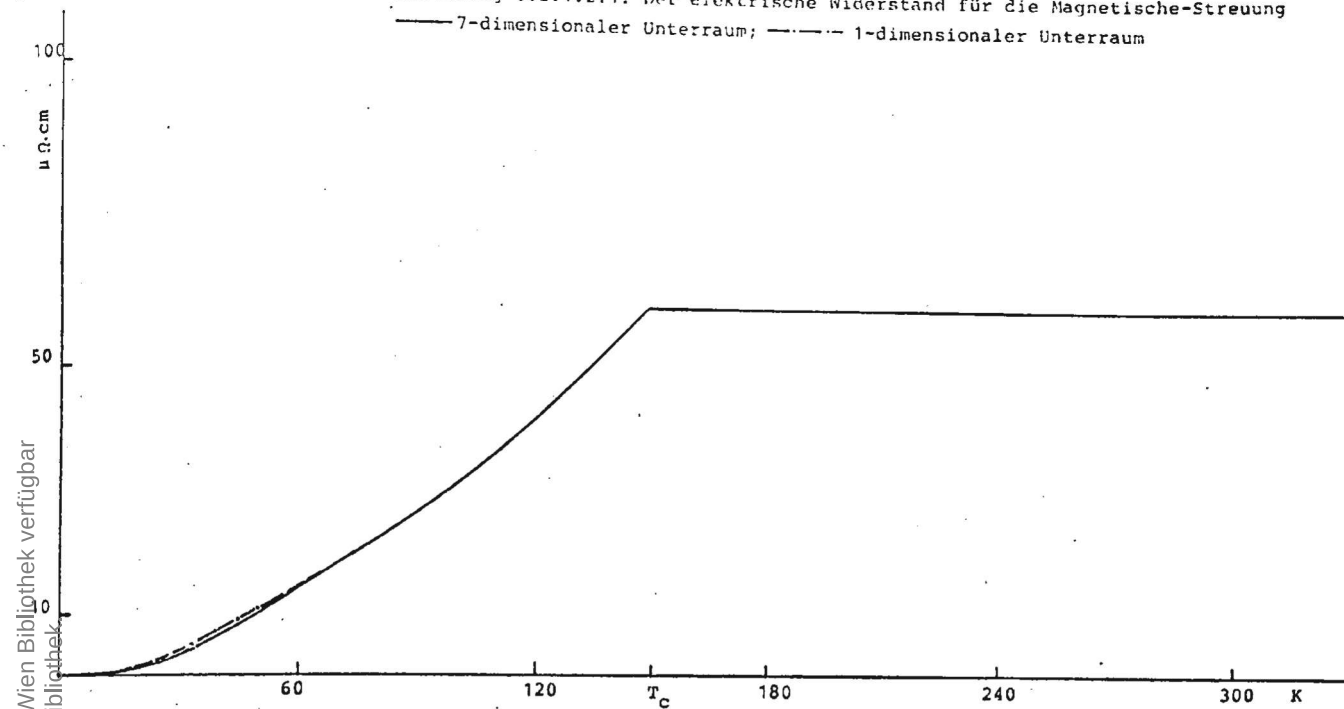


Abbildung 6.2.1.2.2: Der Wärmewiderstand für die Magnetische-Streuung  
— 7-dimensionaler Unterraum; - - - 2-dimensionaler Unterraum

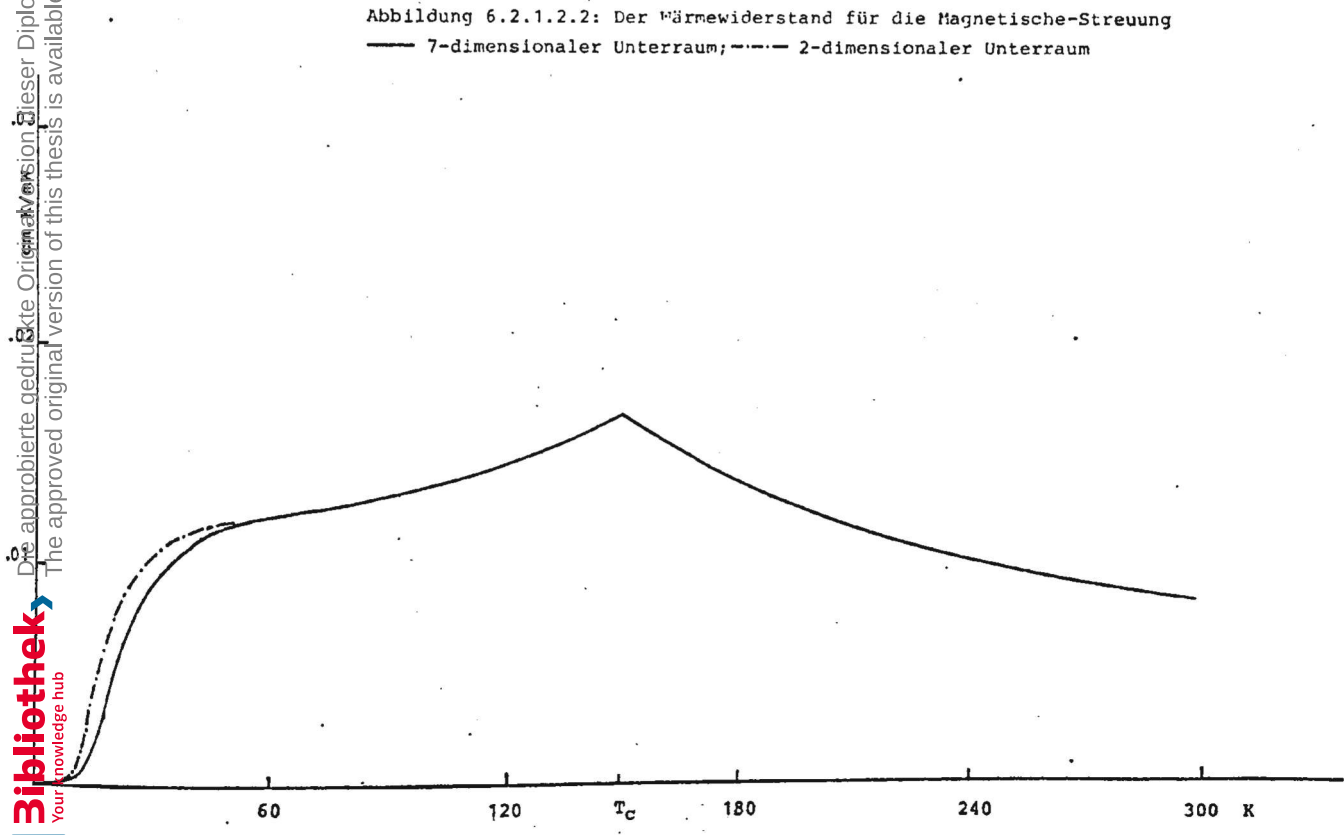


Abbildung 6.2.1.2.3: Der Seebeckkoeffizient für die Magnetische-Streuung mit Berücksichtigung der Bandaufspaltung.

— 7-dimensionaler Unterraum  
- - - 2-dimensionaler Unterraum

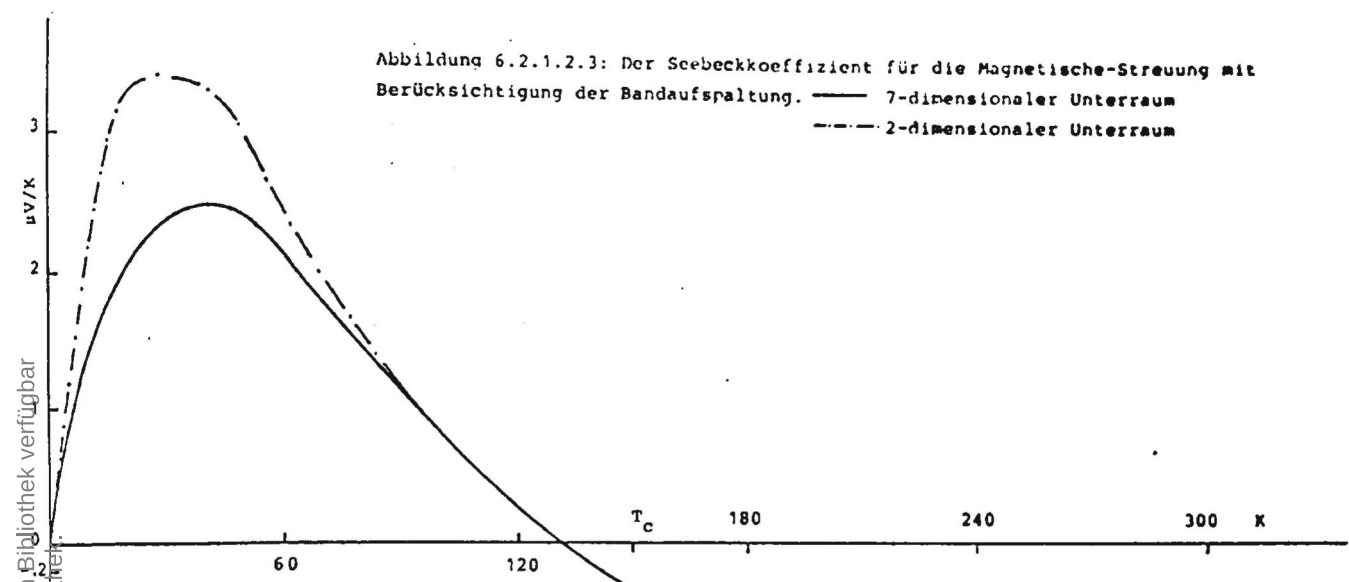
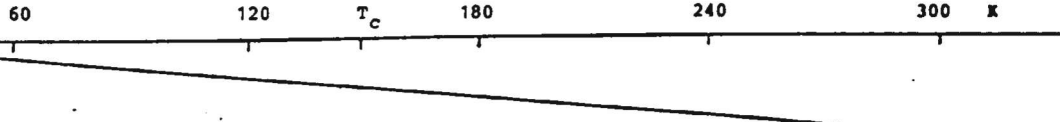


Abbildung 6.2.1.2.4: Der Seebeckkoeffizient für die Magnetische-Streuung ohne Berücksichtigung der Bandaufspaltung.

7-dimensionaler Unterraum

(In der Zeichnung fallen die Ergebnisse für den 2- und den 7-dimensionalen Unterraum zusammen)



### 6.2.1.3 Ergebnisse für die Phononen-Streuung

Für  $\text{GdAl}_2$  nehmen wir für die Debeytemperatur aus Kapitel 4.2.1.3 250 K an, und setzen  $\alpha = (\frac{q_p}{2k_f})^2 = 1$ . Damit erhalten wir die Transportkoeffizienten, die in den Abbildungen 6.2.1.3.1-6.2.1.3.3 dargestellt sind.

Für den elektrischen Widerstand ergibt sich dabei das Bloch-Grüneisen-Verhalten [6]. Für kleine Temperaturen erhält man ein  $T^5$  - für große T und asymptotisch ein lineares Verhalten des elektrischen Widerstandes bezüglich der Temperatur.

Für die Abweichung der Ergebnisse in niedrigster Ordnung des Variationsverfahrens von denen in höchster Ordnung (7-dimensional) ergibt sich für den elektrischen Widerstand bei kleinen Temperaturen bessere Übereinstimmung (bis 15 K besser als 10%). Das Maximum der relativen Differenz wird bei 40 K mit 40% erreicht. Für höhere Temperaturen wird die relative Übereinstimmung zusehends besser (bei 80 K besser 10%).

Für den Wärmewiderstand, Abbildung 6.2.1.3.2, erhält man für tiefe Temperaturen ein Verhalten wie  $T^2$  - bei großen T wird der Wärmewiderstand der Phononen-Streuung konstant.

Die relative Abweichung der Werte, die in niedrigster Ordnung erhalten werden, von denen in höchster Ordnung steigt im Intervall 5 - 30 K von 30% auf 40% an, und fällt für höhere Temperaturen ab - für T 80 K ist sie geringer als 10%.

Der Seebeckkoeffizient, Abbildung 6.2.1.3.3, zeigt über den gesamten Temperaturbereich lineares Verhalten.

Im Gegensatz zum Wärmewiderstand und elektrischen Widerstand existieren für den Seebeckkoeffizienten keine Extremabedingungen. Man beobachtet in den Ergebnissen maximale relative

Abweichungen zwischen den Werten der verschiedenen Unterräume, die für kleine Temperaturen geringer (kleiner 10% für  $T \leq 25$  K) sind, und bei  $T = 60$  K mit 18% ihr Maximum erreichen. Für  $T > 120$  K ist die Übereinstimmung wieder besser als 10%, der relative Unterschied verkleinert sich im weiteren zusehends.

Abbildung 6.2.1.3.1: Der elektrische Widerstand für die Phononen-Streuung  
— 7-dimensionaler Unterraum; - - - 1-dimensionaler Unterraum

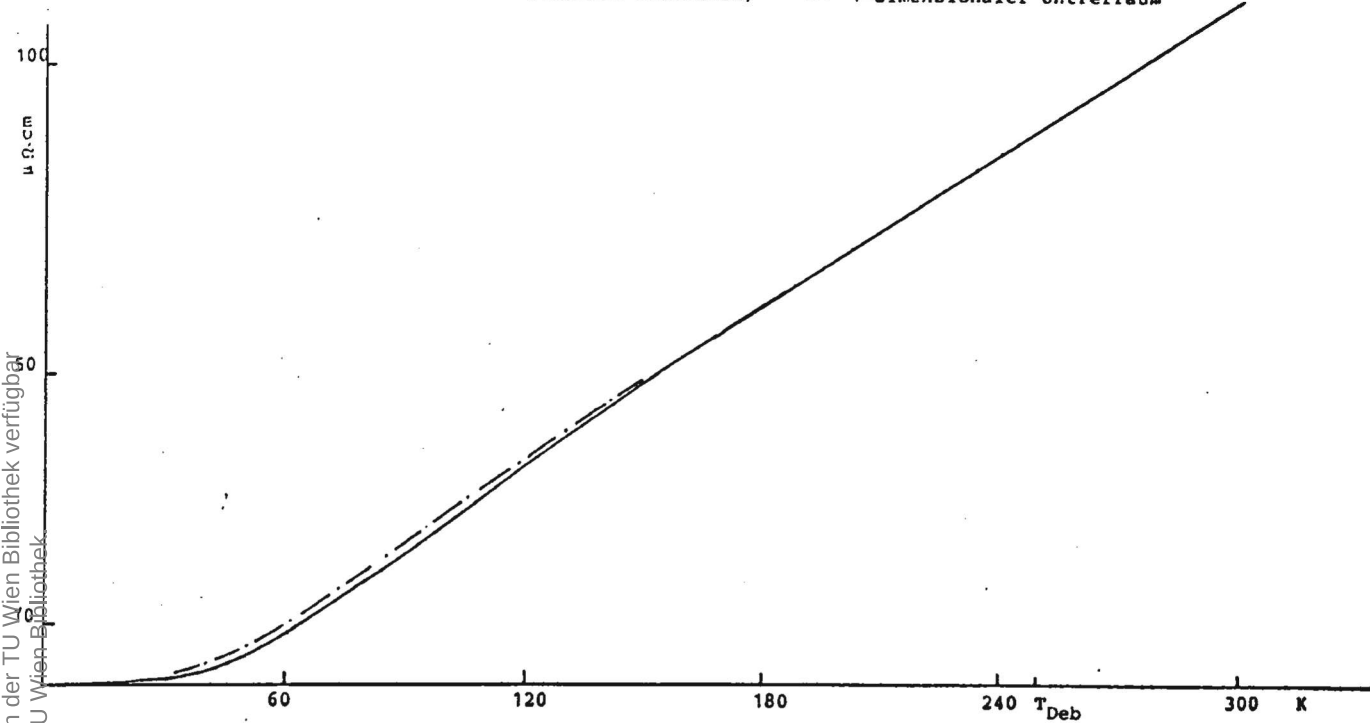


Abbildung 6.2.1.3.2: Der Wärmewiderstand für die Phononen-Streuung  
— 7-dimensionaler Unterraum; - - - 2-dimensionaler Unterraum

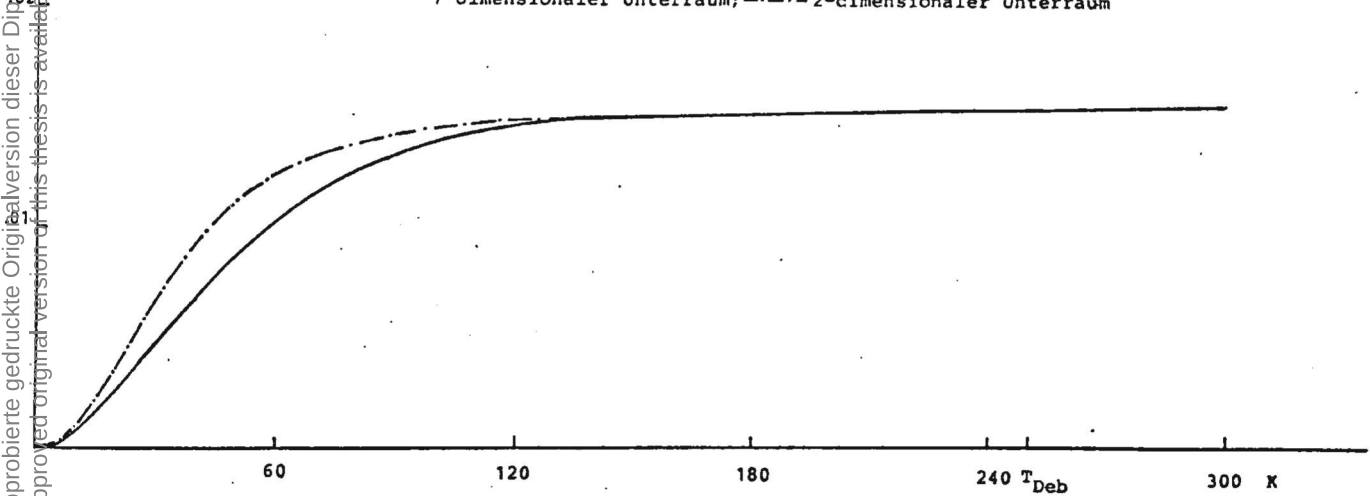
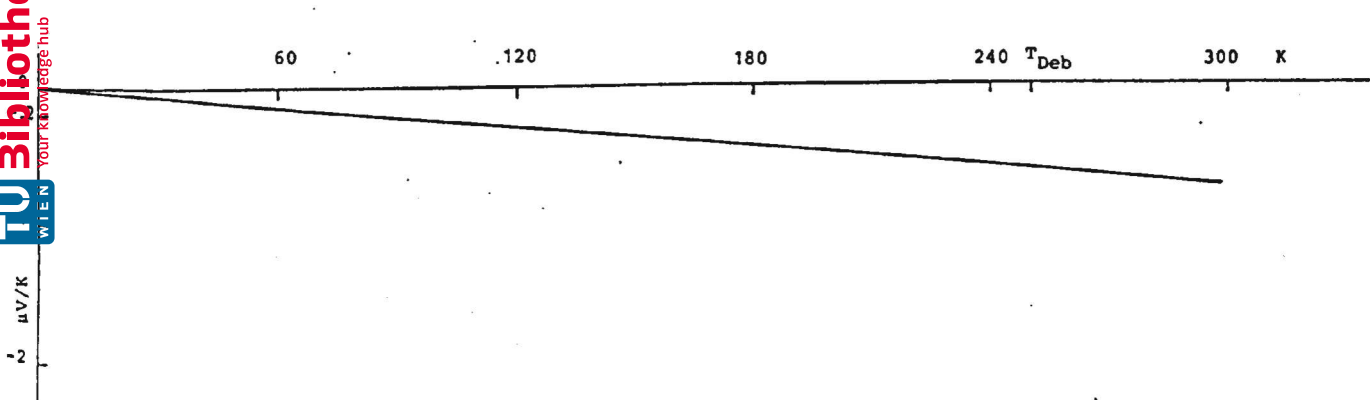


Abbildung 6.2.1.3.3: Der Seebeckkoeffizient für die Phononen-Streuung  
7-dimensionaler Unterraum (In der Zeichnung fallen die Ergebnisse für den  
2- und den 7-dimensionalen Unterraum zusammen)



### 6.2.2 Die Überlagerung von Streumechanismen

Wir haben im letzten Kapitel den Temperaturverlauf der Transportkoeffizienten beim Vorhandensein einzelner Streumechanismen (Potential-, Magnetische- und Phononen-Streuung) erhalten.

Tatsächlich hat man es aber stets mit der Überlagerung von einzelnen Streumechanismen zu tun, d.h. wir haben die Modell-Hamiltonoperatoren der einzelnen Wechselwirkungen zu addieren

$$H_{WW} = H_{WW}^a + H_{WW}^b + H_{WW}^c \dots \quad (6.2.2.1)$$

und erhalten damit einen neuen Operator  $H_{WW}$ .

Nimmt man nun an, daß die einzelnen Streumechanismen unabhängig voneinander wirken, daß also

$$|\langle H_{WW}^a + H_{WW}^b \rangle|^2 = |\langle H_{WW}^a \rangle|^2 + |\langle H_{WW}^b \rangle|^2 \quad (6.2.2.2)$$

gilt, so erhalten wir für die Funktion  $P_{\gamma\gamma'}^{a+b}(\Omega)$

$$\begin{aligned} P_{\gamma\gamma'}^{a+b}(\Omega) &= \frac{1 - e^{-\omega}}{\omega} \sum_M g_M \frac{\Delta^3 r}{(2\pi)^3} |\langle \gamma M | H_{WW}^a + H_{WW}^b | \gamma' M \rangle|^2 \delta(\Omega + E_M - E_{M'}) = \\ &= \frac{1 - e^{-\omega}}{\omega} \sum_M g_M \frac{\Delta^3 r}{(2\pi)^3} [|\langle \gamma M | H_{WW}^a | \gamma' M \rangle|^2 + |\langle \gamma M | H_{WW}^b | \gamma' M \rangle|^2] \delta(\Omega + E_M - E_{M'}) = \\ &= P_{\gamma\gamma'}^a(\Omega) + P_{\gamma\gamma'}^b(\Omega) \end{aligned} \quad (6.2.2.3),$$

und weiters für die Spektralfunktionen  $G_{ss'}(E, E', \Omega)$

$$\begin{aligned} G_{ss'}^{a+b}(E, E', \Omega) &= \frac{m}{3n} \frac{(2\pi)^6}{(\Delta^3 r)^2} \sum_{\gamma\gamma'} P_{\gamma\gamma'}^{a+b}(\Omega) [v(\gamma) + sv(\gamma')] [v(\gamma') + s'v(\gamma')] \cdot \\ &\quad \times \delta(E - E_{\gamma} + \mu) \delta(E' - E_{\gamma'} + \mu) = G_{ss'}^a(E, E', \Omega) + G_{ss'}^b(E, E', \Omega) \end{aligned} \quad (6.2.2.4)$$

Damit verhält sich das Matrixelement des Stoßoperators ebenfalls additiv, nämlich

$$C_{ij}^{a+b} = C_{ij}^a + C_{ij}^b \quad (6.2.2.5).$$

### 6.2.2.1 Die Matthiessen, die Kohler und die Nordheim-Gorter Regeln

Wir haben bei der Überlagerung von Streumechanismen a,b für das Matrixelement des Stoßoperators ein additives Verhalten in der Form

$$c_{ij}^{a+b} = c_{ij}^a + c_{ij}^b \quad (6.2.2.1.1)$$

erhalten. Wir benützen nun die Gleichungen, die wir in Kapitel 5 für die Transportkoeffizienten in niedrigster Ordnung erhalten haben

$$\rho = \frac{m k_B T}{e^2 n \hbar} \frac{1}{\bar{v}_o} \frac{\mathcal{C}_{\infty}}{4(2\pi)^2} \quad (6.2.2.1.2)$$

$$w = \frac{m}{n k_B \hbar} \left( \frac{1}{4\pi(2)\bar{v}_o} \right)^2 \frac{\mathcal{C}_M}{4(2\pi)^2} \quad (6.2.2.1.3)$$

$$s = -\frac{k_B}{e} \frac{4\pi(2)}{\mathcal{C}_{11}} \left[ \frac{1}{\beta} \frac{\bar{v}_o'}{\bar{v}_o} [\mathcal{C}_M + 4\pi(2)\mathcal{C}_{\infty}] - \mathcal{C}_{A0} \right] \quad (6.2.2.1.4).$$

Damit erhalten wir bei der Überlagerung von Streumechanismen in der niedrigsten Ordnung des Variationsverfahrens für den elektrischen Widerstand und den Wärmewiderstand :

$$\rho^{a+b} = \rho^a + \rho^b \quad (6.2.2.1.5)$$

$$w^{a+b} = w^a + w^b \quad (6.2.2.1.6)$$

(6.2.2.1.5) und (6.2.2.1.6) sind als Matthiessen Regel bekannt. Für den Seebeckkoeffizienten ergibt sich bei der Überlagerung von Streumechanismen

$$s^{a+b} = s^a \frac{w^a}{w^{a+b}} + s^b \frac{w^b}{w^{a+b}} \quad (6.2.2.1.7),$$

also eine mit dem Wärmewiderstand gewichtete Addition der einzelnen Beiträge. Dieses Verhalten wird als Kohler Regel bezeichnet. Verwenden wir das Wiedemann-Franz'sche Gesetz

$$\frac{\sigma}{\omega} = L T \quad (L \dots \text{Lorenzzahl} / 15) \quad (6.2.2.1.8),$$

so ergibt sich die Nordheim-Gorter Regel als

$$S^{a+b} = S^a \frac{\sigma^a}{\rho^{a+b}} + S^b \frac{\sigma^b}{\rho^{a+b}} \quad (6.2.2.1.9).$$

Hier werden also die Seebeckkoeffizienten der einzelnen Streumechanismen mit den elektrischen Widerständen gewichtet.

Wie gut die drei hier erwähnten Regeln für die intermetallische Seltene Erd Verbindung  $\text{GdAl}_2$  erfüllt sind, soll unter anderem im nächsten Abschnitt dargestellt werden.

### 6.2.2.2 Ergebnisse für die Überlagerung von Streumechanismen

Wir wenden uns nun der Berechnung der Transportkoeffizienten bei der Überlagerung von Streumechanismen zu. Diese Rechnungen führen wir für  $\text{GdAl}_2$  durch, wobei wir dieselben Modellparameter verwenden wie für die Berechnung bei den einzelnen Streumechanismen. Wir berücksichtigen dabei die Bandaufspaltung, wie sie durch die Anwesenheit der magnetisch wechselwirkenden Seltenen Erd Ionen für das Leitungsband auftritt, in erster Ordnung des Quotienten  $\Delta b/\mu$  ( $\Delta b \dots$  halbe Bandaufspaltung,  $\mu \dots$  chemisches Potential)

Für die Streumechanismen nehmen wir dabei an, daß sie unabhängig von einander seien, und damit für zwei beliebige Streumechanismen  $a, b$

$$|\langle |H_{ww}^{a+b}| \rangle|^2 = |\langle |H_{ww}^a + H_{ww}^b| \rangle|^2 = |\langle |H_{ww}^a| \rangle|^2 + |\langle |H_{ww}^b| \rangle|^2 \quad (6.2.2.2.1)$$

gilt, wobei  $H_{ww}$  die Wechselwirkungsooperatoren darstellen.

Damit muß man, um die Spektralfunktionen für die Überlagerung

der Wechselwirkungen zu erhalten, die Spektralfunktionen der einzelnen Streumechanismen addieren.

Bei den Ergebnissen werden wir uns in erster Linie für den Temperaturverlauf der Transportkoeffizienten sowie die Erfüllung der im letzten Kapitel behandelten Matthiessen, Kohler und Nordheim-Gorter Regel interessieren.

#### 6.2.2.2.1 Der elektrische Widerstand bei der Überlagerung von Streumechanismen

In den Abbildungen 6.2.2.2.1.1 - 6.2.2.2.1.3 ist der elektrische Widerstand bei der Überlagerung von jeweils zwei Streumechanismen dargestellt. Es zeigt sich, daß die Matthiessen Regel

$$\rho^{a+b} = \rho^a + \rho^b \quad (6.2.2.2.1.1)$$

sehr gut erfüllt ist. Damit erhalten wir für den elektrischen Widerstand die Summe der Werte, die man beim Vorhandensein einzelner Streumechanismen berechnet hat.

Die Erfüllung der Matthiessen Regel ist dabei so genau, daß im Temperaturintervall 5-300 K eine maximale relative Abweichung zwischen den Werten, die man aus der Matthiessen Regel erhält, und denen, die sich aus der Rechnung ergeben, von kleiner 7% erhalten wird. Dabei ist festzuhalten, daß die Übereinstimmung für tiefe Temperaturen zunächst besser ist, die relative

Differenz im Intervall 10-80 K maximal wird, und mit steigender Temperatur immer kleiner wird.

Bei der Überlagerung aller drei Streumechanismen, Abbildung 6.2.2.2.1.4, der Fall also, der real auftritt, sieht man, daß für ganz tiefe Temperaturen die Werte denen der Potential-

Streuung entsprechen. Bei  $T = T_c$  ergibt sich eine Unstetigkeit der Ableitung des elektrischen Widerstandes bezüglich der Temperatur und für große T verhält sich der Temperaturverlauf wie bei der Phononen-Streuung, nämlich linear in T.

Dabei betragen die Abweichungen von der Mathiessen Regel bei 5 K weniger als 1% und erreichen zwischen 40 und 60 K ihr Maximum von 2.5% - für höhere Temperaturen wird die Übereinstimmung zu- sehends besser (besser als 2% für  $T > 80$  K).

Abbildung 6.2.2.2.1.1: Der elektrische Widerstand bei der Überlagerung der  
Streumechanismen Potential- und Magnetische-Streuung  
Addition der Spektralfunktionen der einzelnen Streumechanismen  
(Abweichung vom Ergebnis der Mathiessen Regel zeichnerisch nicht darstellbar)

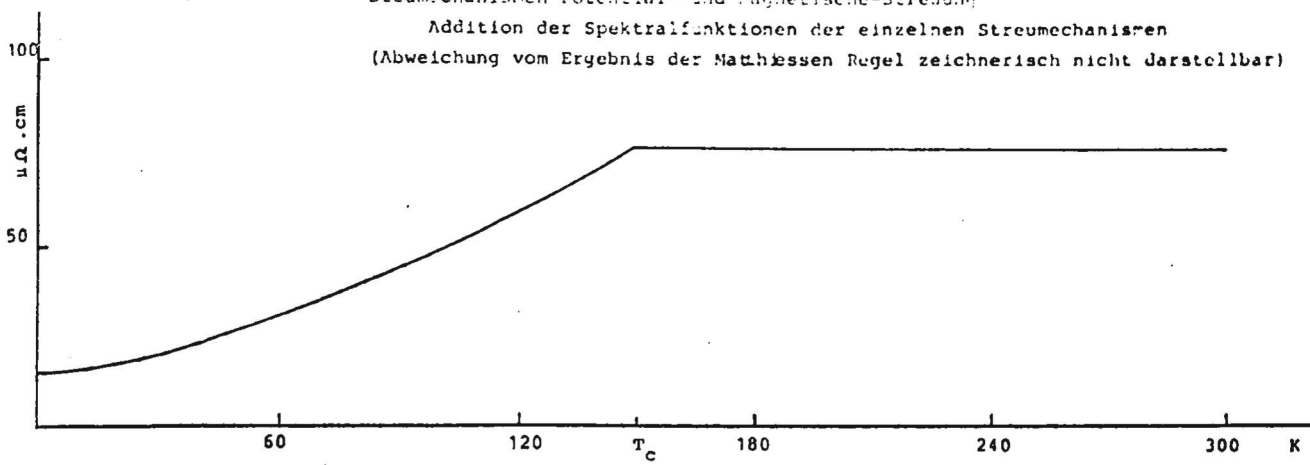


Abbildung 6.2.2.2.1.2: Der elektrische Widerstand bei der Überlagerung der  
Streumechanismen Potential- und Phononen-Streuung  
Addition der Spektralfunktionen der einzelnen Streumechanismen

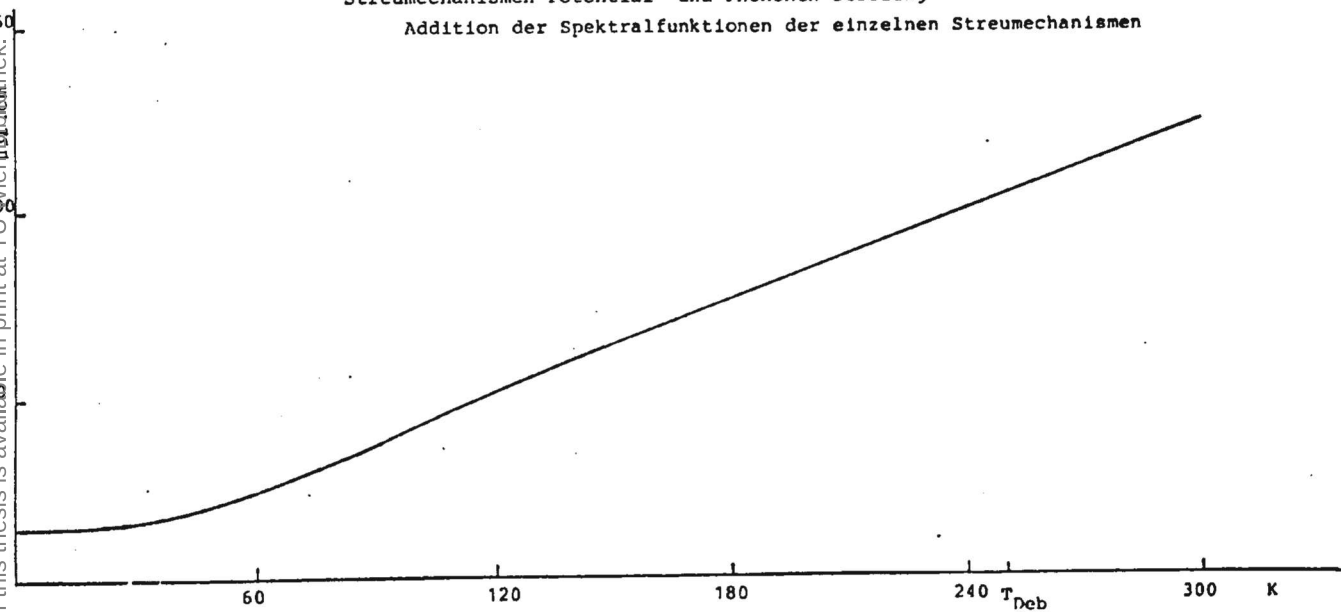


Abbildung 6.2.2.2.1.3: Der elektrische Widerstand bei der Überlagerung der  
Streumechanismen Magnetische- und Phononen-Streuung  
Addition der Spektralfunktionen der einzelnen Streumechanismen

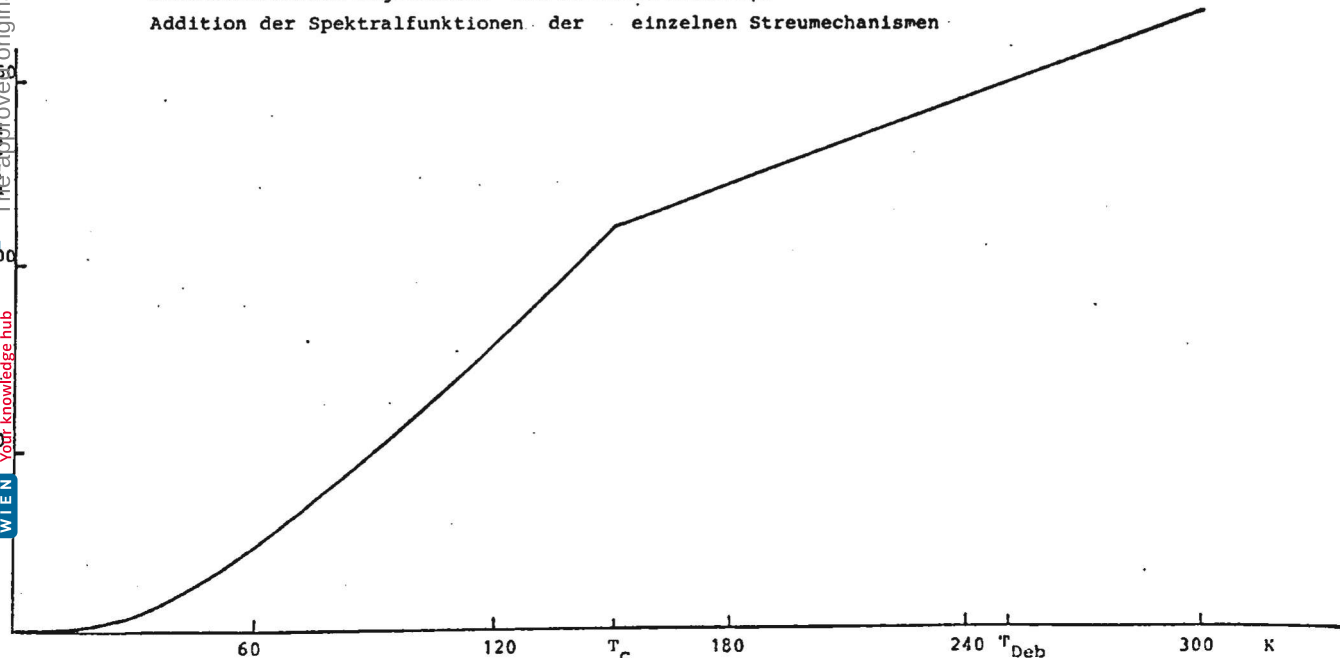
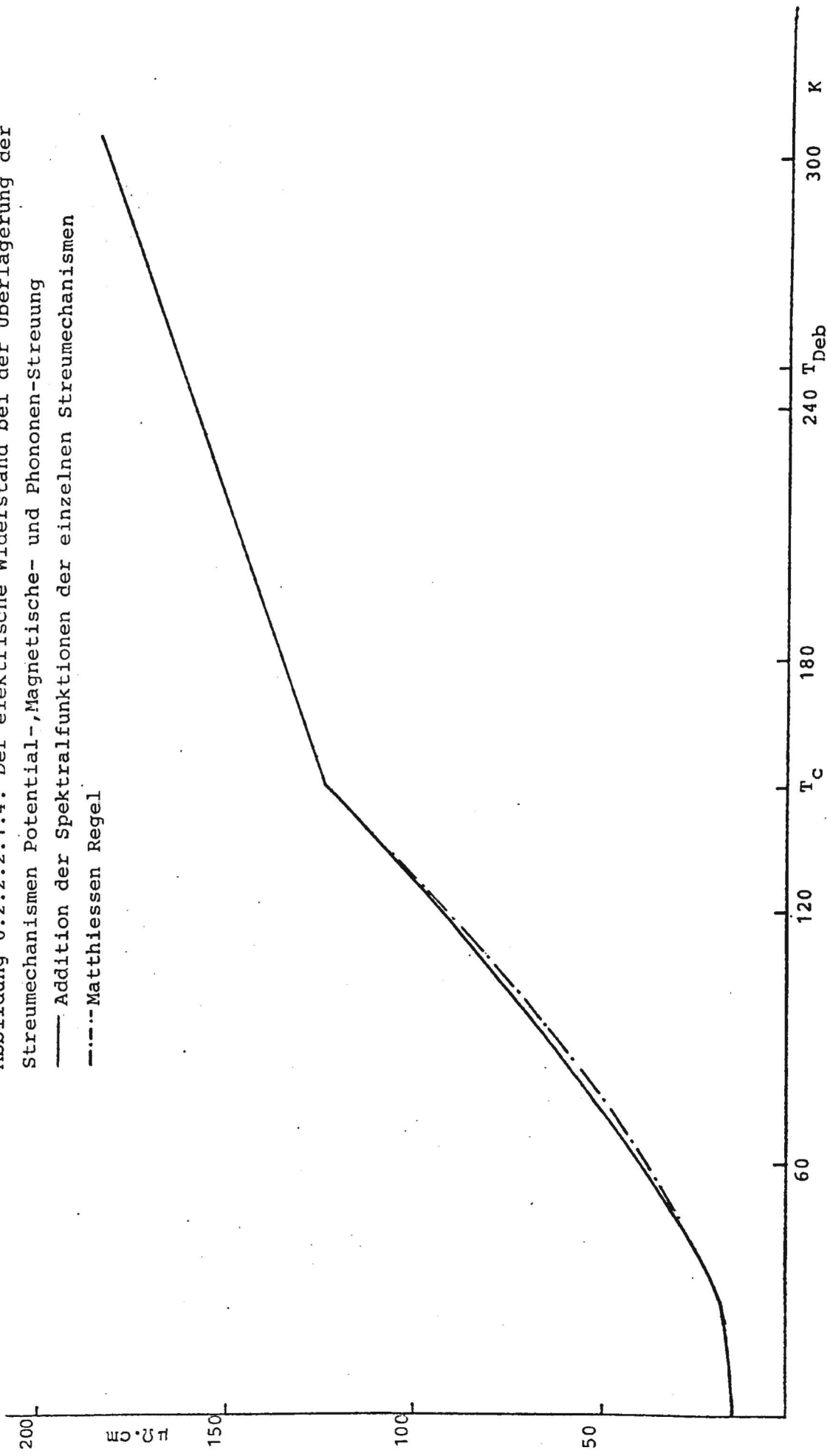


Abbildung 6.2.2.2.1.4: Der elektrische Widerstand bei der Überlagerung der Streumechanismen Potential-, Magnetische- und Phononen-Streuung  
— Addition der Spektralfunktionen der einzelnen Streumechanismen  
- - - Matthiessen Regel



### 6.2.2.2.2 Der Wärmewiderstand bei der Überlagerung von Streumechanismen

Wie beim elektrischen Widerstand, so ist auch für den Wärmewiderstand bei der Überlagerung der Streumechanismen die Matthiessen Regel

$$W^{a+b} = W^a + W^b \quad (6.2.2.2.2.1)$$

sehr gut erfüllt. Wir erhalten also bei der Überlagerung der Wechselwirkungen nahezu exakt die Summe der Wärmewiderstände, wie wir sie für die einzelnen Streumechanismen erhalten haben. In den Abbildungen 6.2.2.2.2.1 - 6.2.2.2.2.3 ist der Wärmewiderstand für die Überlagerung von jeweils zwei Streumechanismen dargestellt.

Die relative Abweichung von der Matthiessen Regel ist für kleine Temperaturen geringer, steigt dann im Bereich 10-80 K an, und fällt für höhere Temperaturen wieder schnell ab.

Abbildung 6.2.2.2.2.4 zeigt die Überlagerung aller drei Streumechanismen. Für kleine Temperaturen verhält sich der Wärmewiderstand wie bei der Potential-Streuung, weist bei  $T = T_c$  den für die Magnetische-Streuung charakteristischen Knick auf, und verläuft für  $T > T_c$  wie  $1/T$ , wo er asymptotisch den Wert des Wärmewiderstandes bei der Phononen-Streuung annimmt.

Die Matthiessen Regel ist für tiefe Temperaturen sehr genau erfüllt (bei 5 K Übereinstimmung). Für T zwischen 20 und 30 K steigt die relative Abweichung zwischen den Werten, die man aus der Rechnung erhält, und jenen mit Hilfe der Matthiessen Regel erhaltenen an (4% bei 30 K) und fällt für Temperaturen größer als 40 K ab - für  $T > 100$  K ist die relative Übereinstimmung besser als 1%.

Abbildung 6.2.2.2.2.1: Der Wärmewiderstand bei der Überlagerung der Streumechanismen Potential- und Magnetische-Streuung  
 — Addition der Spektralfunktionen der einzelnen Streumechanismen  
 - - - - Matthiessen Regel

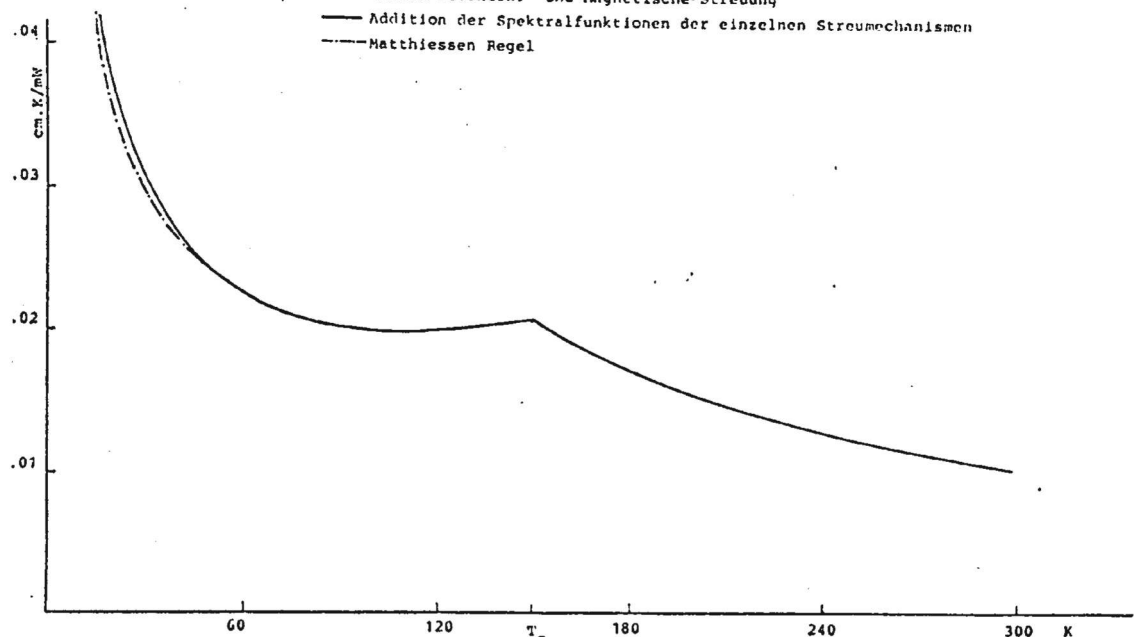


Abbildung 6.2.2.2.2.2: Der Wärmewiderstand bei der Überlagerung der Streumechanismen Potential- und Phononen-Streuung  
 — Addition der Spektralfunktionen der einzelnen Streumechanismen  
 - - - - Matthiessen Regel

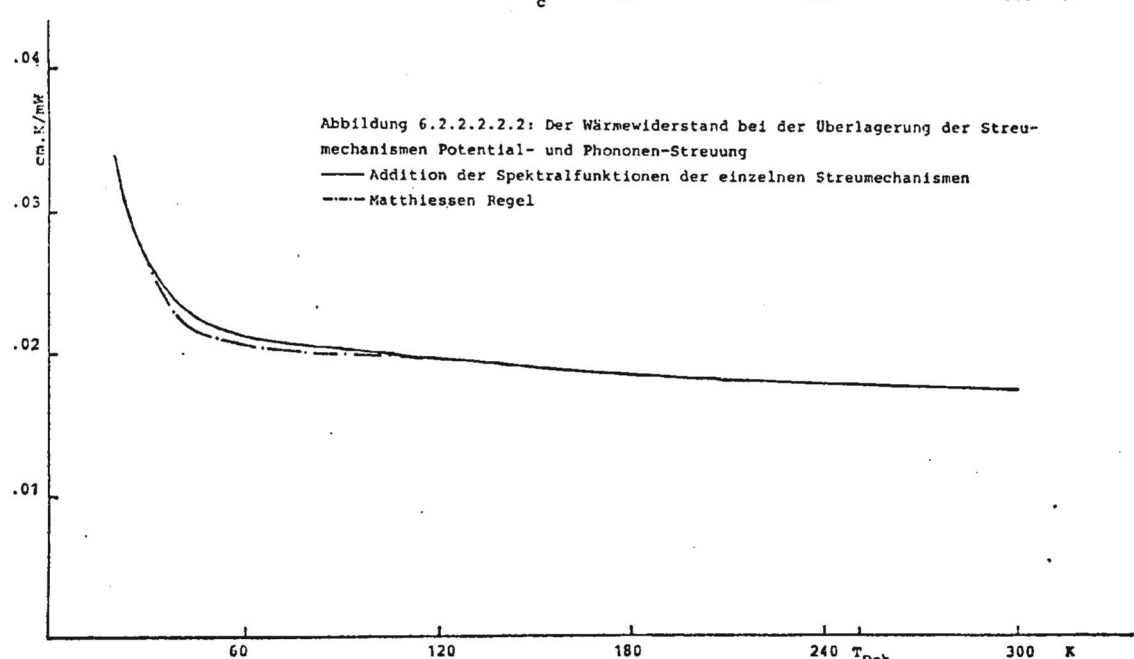
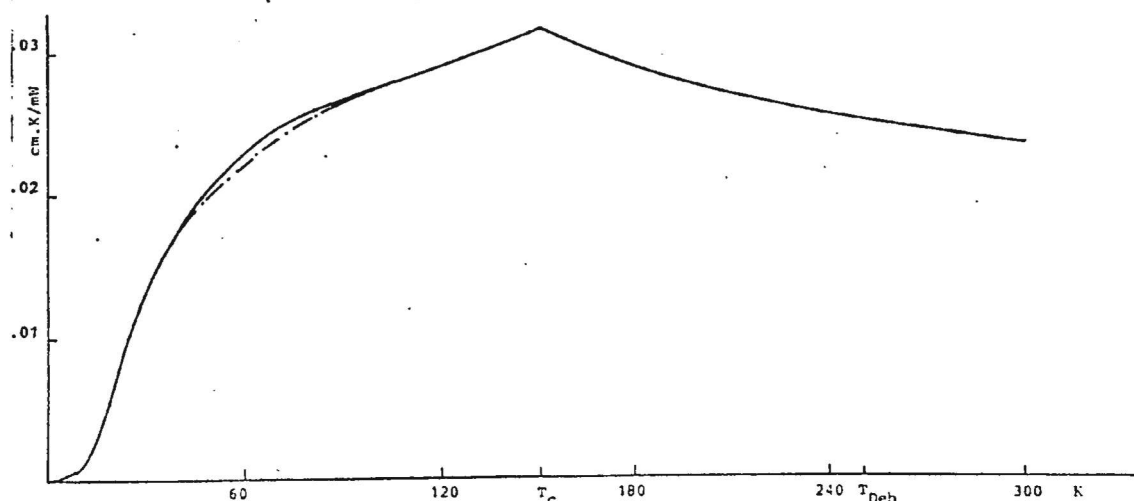
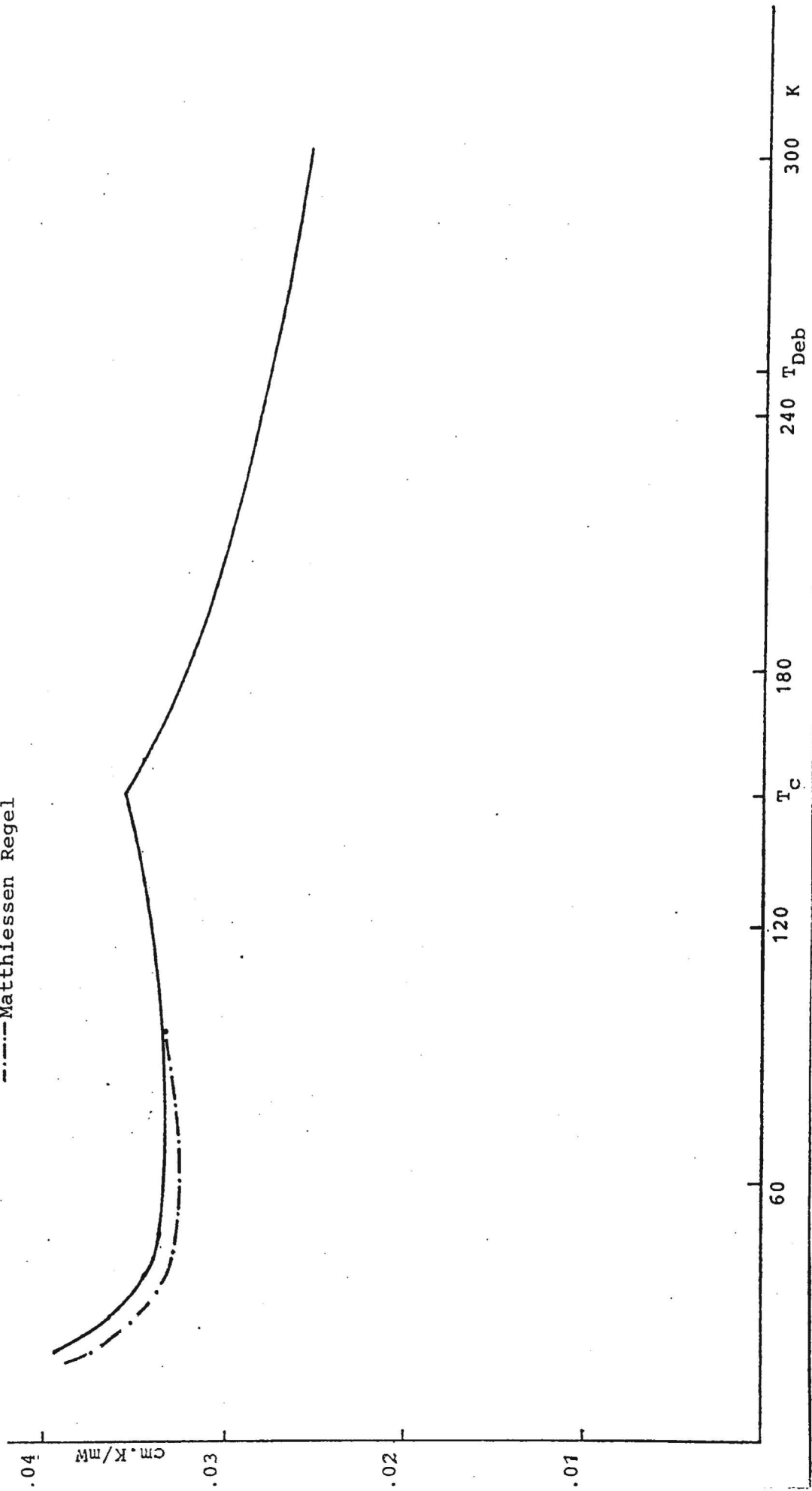


Abbildung 6.2.2.2.2.3: Der Wärmewiderstand bei der Überlagerung der Streumechanismen Magnetische- und Phononen-Streuung  
 — Addition der Spektralfunktionen der einzelnen Streumechanismen  
 - - - - Matthiessen Regel



**Abbildung 6.2.2.2.4:** Der Wärmewiderstand bei der Überlagerung der Streumechanismen Potential-, Magnetische- und Phononen-Streuung  
— Addition der Spektralfunktionen der einzelnen Streumechanismen  
- - - - Matthiessen Regel



### 6.2.2.2.3 Der Seebeckkoeffizient bei der Überlagerung von Streumechanismen

Für den Seebeckkoeffizient erhalten wir bei der Überlagerung der Streumechanismen in der niedrigsten Ordnung des Variationsverfahrens die Kohler Regel

$$S^{a+b} = S^a \frac{w^a}{w^{a+b}} + S^b \frac{w^b}{w^{a+b}} \quad (6.2.2.2.3.1)$$

bzw. bei der Benutzung des Wiedemann-Franz'schen Gesetzes die Nordheim-Gorter Regel

$$S^{a+b} = S^a \frac{\rho^a}{\rho^{a+b}} + S^b \frac{\rho^b}{\rho^{a+b}} \quad (6.2.2.2.3.2)$$

In Abbildung 6.2.2.2.3.1 - 6.2.2.2.3.3 sind die Kurven, die den Temperaturverlauf des Seebeckkoeffizienten bei der Überlagerung zweier Wechselwirkungen zeigen, dargestellt. Ausgenommen der Überlagerung der Potential und Phononen-Streuung sehen wir, daß die Kohler und Nordheim-Gorter Regel (abgesehen von ganz tiefen Temperaturen  $T \leq 5$  K) für niedrige Temperaturen nur schlecht erfüllt sind (Die relative Abweichung ist für die Überlagerung der Potential- und Magnetischen-Streuung am höchsten, bei 20 K: Faktor 2.5 für die Kohler-, Faktor 14 für die Nordheim-Gorter Regel). Für hohe Temperaturen erhält man gute Übereinstimmung, vergleicht man die Werte der Rechnung im 7-dimensionalen Unterraum mit denen, die man mittels Kohler und Nordheim-Gorter Regel erhält (die relative Übereinstimmung beträgt dabei 1% für  $T > 180$  K). Auch bei ganz tiefen Temperaturen ist die Abweichung geringer (bei der Überlagerung mit der Potential-Streuung kleiner .5% bei 5 K).

Bei der Überlagerung von Potential- und Phononen-Streuung, Abbildung 6.2.2.2.3.2, stimmen die Ergebnisse für Kohler und Nordheim-Gorter Regel mit denen der Rechnung für die Überlagerung der Streumechanismen für tiefe Temperaturen besser als .5% überein. Für höhere Temperaturen steigt dann die relative Abweichung auf maximal 8% an (für T zwischen 30 und 60 K) , um für hohe Temperaturen wieder kleiner zu werden (100 K:kleiner 5%). In Abbildung 6.2.2.2.3.4 ist der Seebeckkoeffizient für die Überlagerung aller Wechselwirkungen dargestellt. Es ergibt sich für kleine Temperaturen ein negativer Wert, der vom Beitrag der Potential-Streuung herrührt. Für größere T erfolgt ein Nulldurchgang und im weiteren ein Kurvenverlauf, der maßgeblich durch die Magnetische-Streuung bestimmt ist. Für  $T = T_c$  (Wert wieder negativ) erhält man eine Unstetigkeit in der Ableitung des Seebeckkoeffizienten bezüglich der Temperatur- für  $T > T_c$  ist das Verhalten linear bezüglich T.

Die Übereinstimmung mit den Ergebnissen der Kohler und Nordheim-Gorter Regel ist für tiefe Temperaturen sehr gut (5 K:Abweichung kleiner .5%). Für größere T steigt die Abweichung an ( $T = 20$  K: Faktor 2.43 für Kohler Regel, 1.29 für Nordheim-Gorter Regel), und wird für höhere Temperaturen zusehends kleiner ( $T = 140$  K : Übereinstimmung für Kohler Regel besser als 2%, für Nordheim-Gorter Regel besser als 4%).

Abbildung 6.2.2.2.3.1: Der Seebeckkoeffizient bei der Überlagerung der Streu-  
mechanismen Potential- und Magnetische-Streuung  
— Addition der Spektralfunktionen der einzelnen Streumechanismen  
---- Kohler Regel;----- Nordheim-Gorter Regel

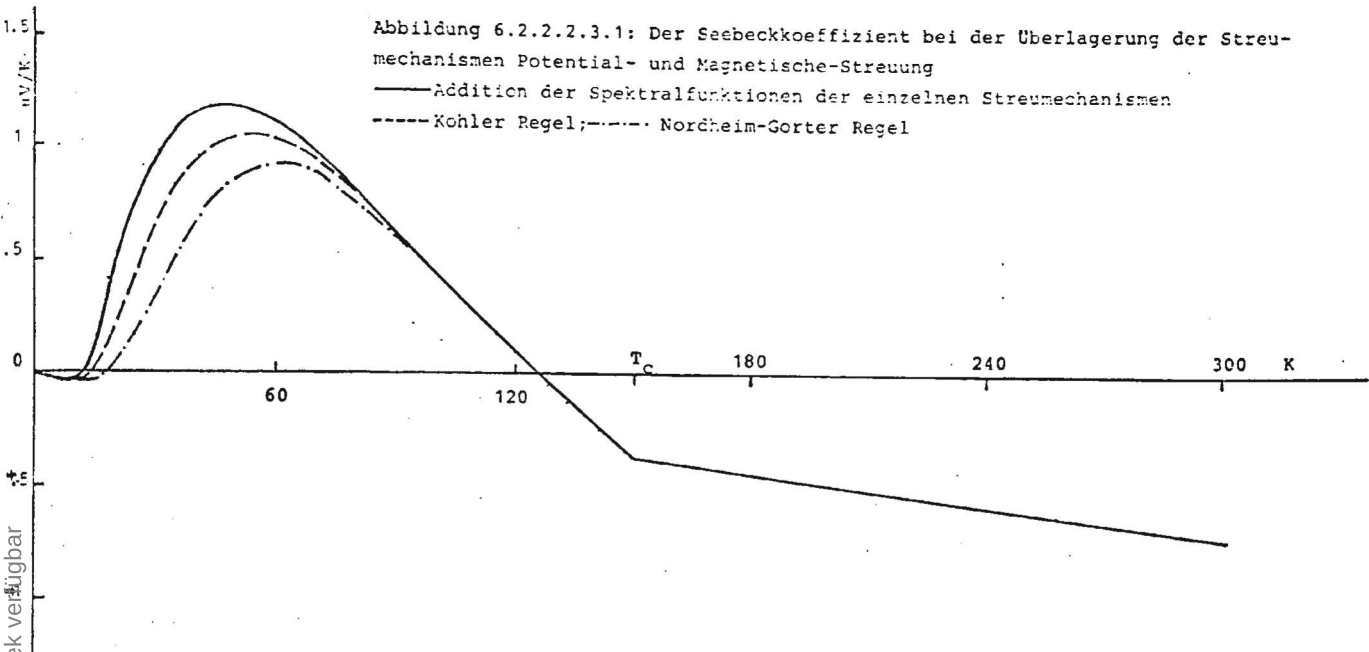


Abbildung 6.2.2.2.3.2: Der Seebeckkoeffizient bei der Überlagerung der Streu-  
mechanismen Potential- und Phononen-Streuung  
— Addition der Spektralfunktionen der einzelnen Streumechanismen  
---- Kohler Regel;—— Nordheim-Gorter Regel

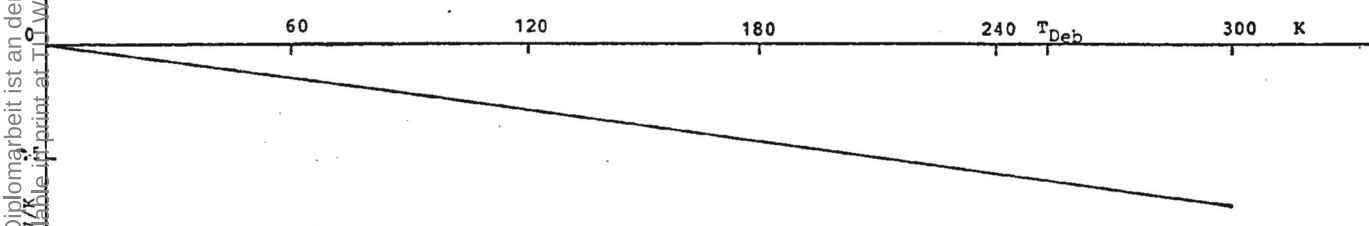


Abbildung 6.2.2.2.3.3: Der Seebeckkoeffizient bei der Überlagerung der Streu-  
mechanismen Magnetische- und Phononen-Streuung  
— Addition der Spektralfunktionen der einzelnen Streumechanismen  
---- Kohler Regel;----- Nordheim-Gorter Regel

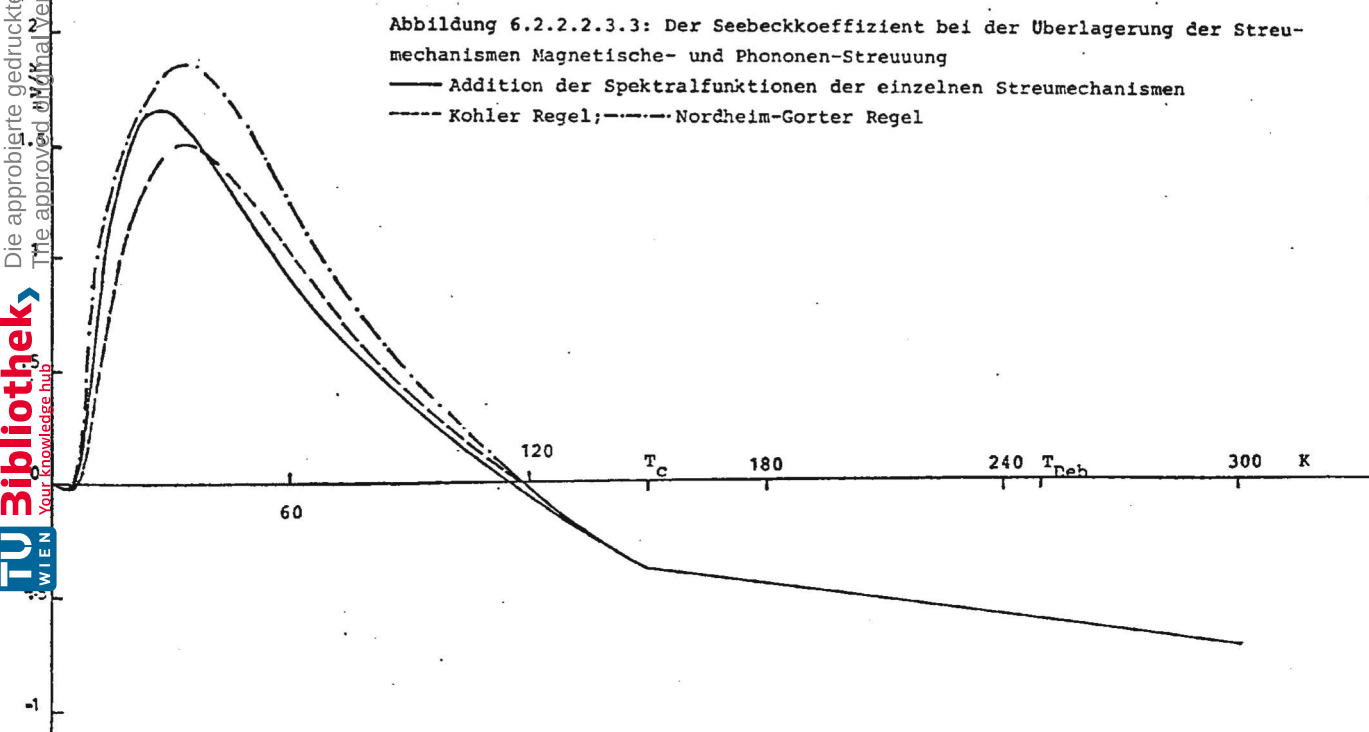
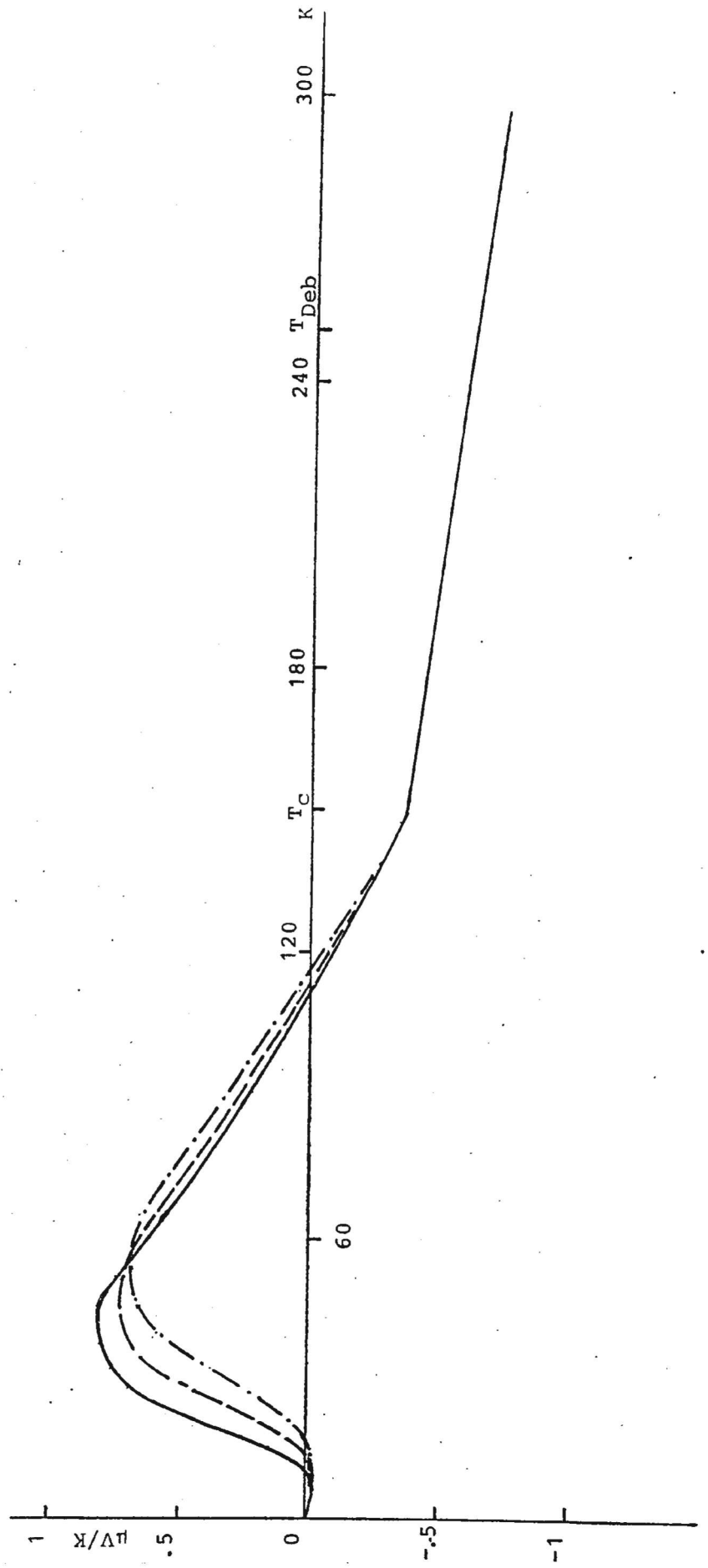


ABBILDUNG 6.2.2.2.3.4: Der **Seebeckkoeffizient** bei der Überlagerung der Streu-mechanismen Potential-, Magnetische- und Phononen-Streuung  
— Addition der Spektralfunktionen der einzelnen Streumechanismen  
- - - Kohler Regel; - - - Nordheim-Gorter Regel



## 7. Zusammenfassung der Ergebnisse für $\text{GdAl}_2$

### 7.1 Das Konvergenzverhalten im Rahmen des Variationsverfahrens

In den Abbildungen des Kapitels 6.2.1 befinden sich die Funktionen, die den Temperaturverlauf der Transportkoeffizienten beim Vorhandensein einzelner Streumechanismen für die intermetallische Verbindung  $\text{GdAl}_2$  zeigen.

Vergleicht man das Konvergenzverhalten im Rahmen des Variationsverfahrens, also den Verlauf der Werte von niedrigster zur höchsten Ordnung (in diesem Fall 7-dimensionaler Unterraum), so erhält man für die verschiedenen Streumechanismen unterschiedliche Ergebnisse: Liefert die Potential-Streuung bereits in niedrigster Ordnung die Werte für die Transportkoeffizienten, die man auch in jeder höheren Ordnung erhält, so sind bei der Magnetischen- und der Phononen-Streuung deutliche Abweichungen bei niedrigen Temperaturen festzustellen. Im Temperaturbereich zwischen 5 und 80 K, wo die relativen Unterschiede zwischen niedrigster und höchster Ordnung ihr Maximum erreichen, verhalten sich die Koeffizienten eines Streumechanismus ähnlich - hingegen treten beim Vergleich Magnetische-Streuung - Phononen-Streuung deutliche Unterschiede auf. So sind die relativen Abweichungen bei der Magnetischen-Streuung umso höher, je tiefer die Temperaturen liegen, und außerdem wesentlich größer (5 K: elektrischer Widerstand Faktor 3, Wärmewiderstand Faktor 11, Seebeckkoeffizient (Verhältnis  $S_{\max}/S_{\min}$ ) Faktor 9) als bei der Phononen-Streuung, wo die relativen Unterschiede zunächst klein sind (kleiner 5% für den elektrischen Widerstand und Seebeck-

koeffizienten (Verhältnis  $S_{\max}/S_{\min}$ ), 30% für den Wärmewiderstand), und dann ansteigen, um ihr Maximum zwischen 30 und 60 K zu erreichen (elektrischer Widerstand bei 40 K 40%, Wärmewiderstand bei 30 K 40%, Seebeckkoeffizient bei 60 K 18%).

Für hohe Temperaturen wird der Unterschied zwischen niedrigster und höchster Ordnung zusehends kleiner, wobei die Übereinstimmung der Werte bei der Magnetischen-Streuung schneller erreicht wird. Ab 120 K ist für alle Koeffizienten und Streumechanismen die Übereinstimmung zwischen niedrigster und höchster Ordnung besser als 10%.

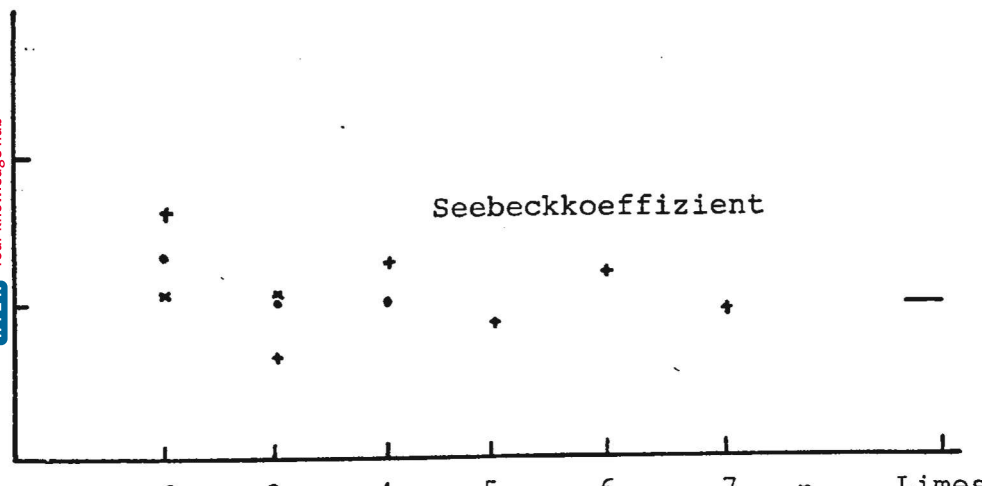
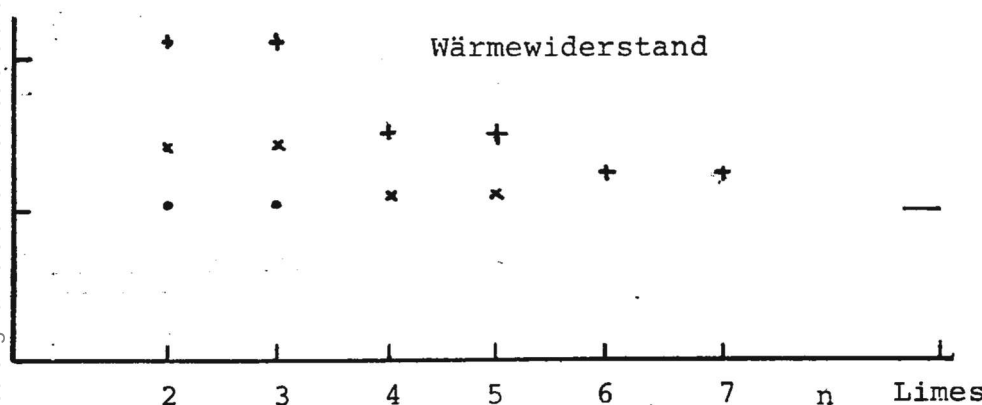
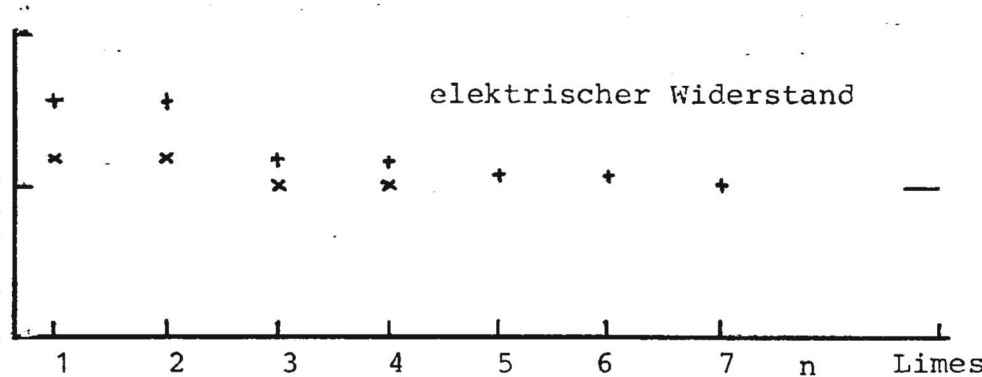
In Abbildung 7.1.1 ist das Konvergenzverhalten für  $\rho$ , W und S bei fester Temperatur (20 K) für die einzelnen Streumechanismen (Potential-, Magnetische- und Phononen-Streuung) dargestellt. Weil für die elektrische Leitfähigkeit und die Wärmeleitfähigkeit Maximalbedingungen im Rahmen des Variationsverfahrens bestehen, sieht man in Abbildung 7.1.1 deutlich, daß die relativen Unterschiede zwischen niedrigster und höchster Ordnung für den elektrischen Widerstand und den Wärmewiderstand stets größer 0 sind. Geht man von einem niedrigeren Unterraum zum nächst höheren, so findet man für den elektrischen Widerstand, daß die Werte vom Unterraum der Dimension n zu denen der Dimension n+1 sich nur wenig – hingegen vom n+1-ten zum n+2-ten deutlich mehr ändern, wenn n ungerade ist.

Beim Wärmewiderstand, wo im eindimensionalen Unterraum mit der konstanten Versuchsfunktion  $\psi_0$  (siehe Kapitel 3) kein sinnvoller Wert erhalten wird, gilt obige Aussage für gerade n.

Beim Seebeckkoeffizient, für den im Rahmen des Variationsverfahrens kein Extremalprinzip existiert, ist die Konvergenz nicht

gleichmäßig: Im Fall der Magnetischen-Streuung sind die Werte größer oder kleiner als der nach Wynn-Shanks berechnete Grenzwert.

Abbildung 7.1.1 : Konvergenzverhalten der Transportkoeffizienten im Rahmen des Variationsverfahrens. (Transportkoeffizient des n-ten Unterraumes)/(Grenzwert des Transportkoeffizienten bestimmt nach Wynn-Shank). +...Magnetische-Streuung, x...Phononen-Streuung, ...Alle Streumechanismen. Ist kein Wert eingetragen, ist er 1.



## 7.2 Die Leitungsbandaufspaltung

Bei der Magnetischen-Streuung ergibt die Berücksichtigung der Bandaufspaltung, die wegen den mit den Leitungselektronen wechselwirkenden Seltenen Erd Ionen für das Leitungsband auftritt, Terme der Ordnung  $\Delta b/\mu$  ( $\Delta b$ ...halbe Bandaufspaltung,  $\mu$ ...chem. Potential) für die Spektralfunktionen. Dies ist deswegen der Fall, weil bei der Streuung der Leitungselektronen an den Seltenen Erd Ionen inelastische Streuprozesse mit Spinänderung auftreten, die bei der Potential- und Phononen-Streuung verboten sind. (Die Potential-Streuung ermöglicht nur elastische Streuung, die Phononen-Streuung verbietet Spinänderungen, da Phononen spinlose Quasiteilchen sind, und der Spin Erhaltungsgröße ist).

In Kapitel 6.2.1.2 haben wir in den Abbildungen 6.2.1.2.3 und 6.2.1.2.4 den Temperaturverlauf des Seebeckkoeffizienten bei Berücksichtigung der Bandaufspaltung mit Termen  $\Delta b/\mu$  und ohne Bandaufspaltung dargestellt. Die starke Abweichung der beiden Funktionen von einander für  $T < T_c$  weist auf die Abhängigkeit des Seebeckkoeffizienten von den elektronischen Eigenschaften des Festkörpers hin. In beiden Fällen (mit und ohne Berücksichtigung der Bandaufspaltung) wurde die gleiche Funktion  $P_{\gamma\gamma}(\Omega)$  verwendet, die nur von den Eigenschaften des Streumechanismus bestimmt wird.

Berücksichtigt man beim elektrischen Widerstand und beim Wärmewiderstand die Bandaufspaltung mit Termen erster Ordnung in  $\Delta b/\mu$ , so erhält man keine Änderung des Temperaturverlaufes gegenüber dem Fall ohne Bandaufspaltung.

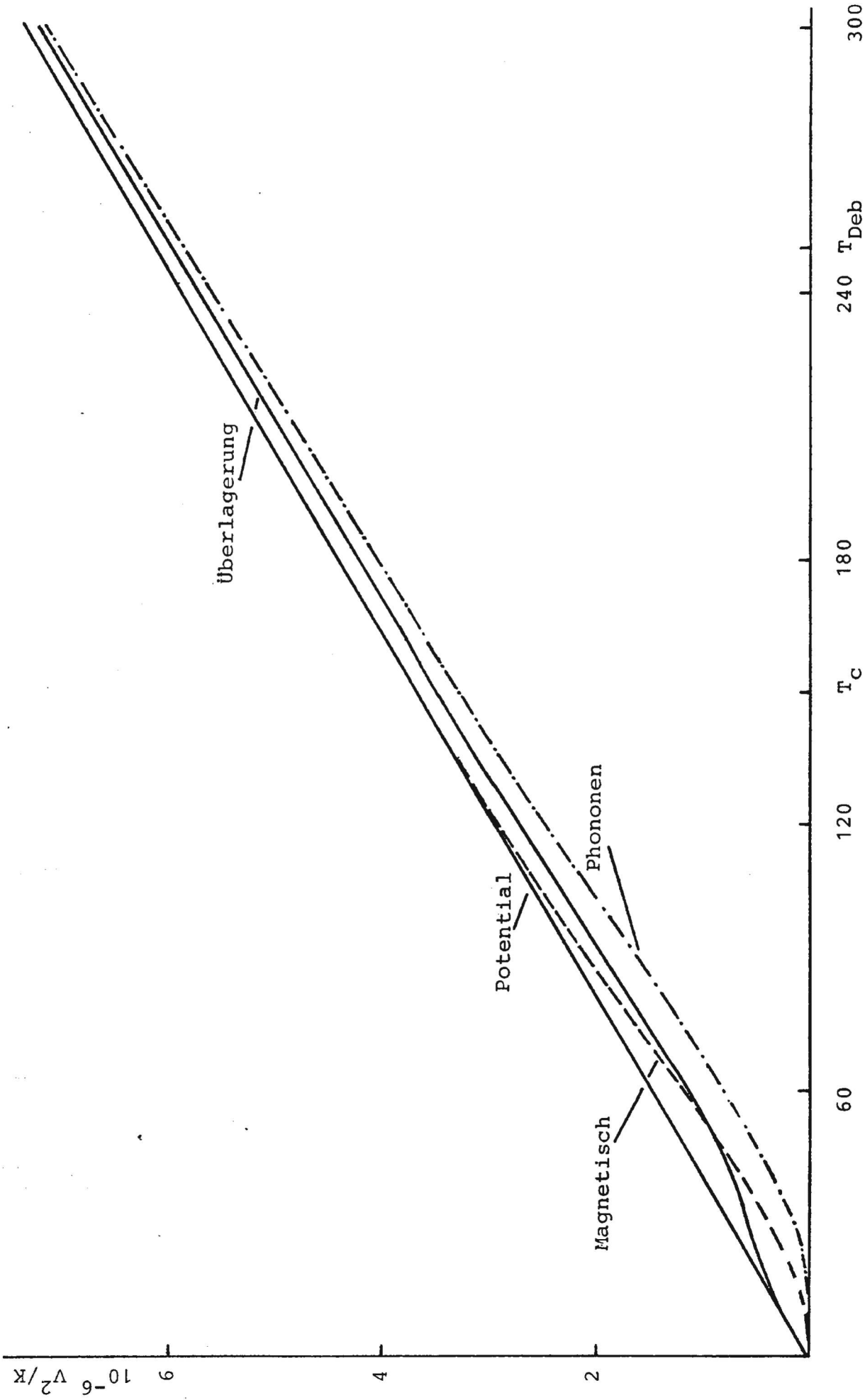
### 7.3 Das Wiedemann-Franz Gesetz

Für den Quotienten aus elektronischem Anteil der Wärmeleitfähigkeit zu elektrischer Leitfähigkeit erhält man im Modell von Drude einen linearen Verlauf bezüglich der Temperatur /15/. Dieses Verhalten ist als Wiedemann-Franz Gesetz bekannt.

In Abbildung 7.3.1 ist der Verlauf des oben erwähnten Quotienten für die Potential-, die Magnetische- und die Phononen-Streuung dargestellt. Nur die Potential-Streuung zeigt über den gesamten Temperaturbereich lineares Verhalten mit einer Steigung, die als Lorenzzahl bezeichnet wird, von  $2.444 \cdot 10^{-8} \text{ V}^2/\text{K}^2$ . Bei tiefen Temperaturen erhält man für die Magnetische- und die Phononen-Streuung ein deutliches Abweichen vom Wiedemann-Franz Gesetz - für hohe Temperaturen ( $T > 150 \text{ K}$ ) zeigt sich aber auch bei diesen Streumechanismen lineares Verhalten.

Bei der Überlagerung aller drei Streumechanismen, Abbildung 7.3.1, ergibt sich für tiefe Temperaturen ein Verhalten wie bei der Potential-Streuung, und für hohe ein lineares Verhalten entsprechend der Phononen-Streuung.

Abbildung 7.3.1 : Das Wiedeman-Franz Gesetz für die Potential-, die Magnetische- und die Phononen-Streuung, sowie für die Überlagerung aller drei Streumechanismen



#### 7.4 Erfüllen der Matthiessen, der Kohler und der Nordheim-Gorter Regel

Die für  $GdAl_2$  durchgeführten Rechnungen bei der Überlagerung der Streumechanismen, Kapitel 6.2.2.2, ergaben für den elektrischen Widerstand und den Wärmewiderstand eine sehr gute Übereinstimmung der Ergebnisse, die man bei Addition der Spektralfunktionen erhalten hat, mit denen, die mit Hilfe der Matthiessen Regel bestimmt wurden, und zwar nahezu gleich gut für alle Streumechanismen.

So sind die Abweichungen beim elektrischen Widerstand von der Matthiessen Regel für die Überlagerung der Magnetischen- mit der Phononen-Streuung am größten (bei 20 K 7%). Für den Wärmewiderstand ergibt sich eine Abweichung von der Matthiessen Regel von höchstens 5%, für alle möglichen Überlagerungen von Streumechanismen. Dabei ist festzustellen, daß die Übereinstimmung für tiefe Temperaturen (10 K) zunächst besser ist (ausgenommen der Überlagerung der Magnetischen- und der Phononen-Streuung!), und dann die Abweichungen ansteigen. Bei 60 K stimmen die Werte für den elektrischen Widerstand und den Wärmewiderstand bei der Überlagerung der Potential- und der Magnetischen-Streuung mit denen aus der Matthiessen Regel erhaltenen besser als 10% überein. Ab 100 K gilt das auch für die Überlagerung aller übrigen Streumechanismen.

Im Vergleich zur Matthiessen Regel weichen die Werte, die man für den Seebeckkoeffizienten bei der Addition der Spektralfunktionen erhält, von denen mit Hilfe der Kohler und Nordheim-Gorter Regel erhaltenen stärker ab.

Dort wo die Potential-Streuung anderen Streumechanismen überlagert wird, ist die Übereinstimmung bei 5 K noch sehr gut (besser als 1%). Für die Überlagerung der Magnetischen- mit der Phononen-Streuung ergeben sich schon hier bemerkenswerte Abweichungen. Im weiteren werden die Abweichungen von der Kohler und Nordheim-Gorter Regel größer, und erreichen bei der Überlagerung der Phononen-Streuung mit der Magnetischen-Streuung die maximalen Werte (bei 20 K den Faktor 2.47 für die Kohler, den Faktor 14 für die Nordheim-Gorter Regel). Für höhere Temperaturen wird die Übereinstimmung mit den beiden Regeln zusehends besser- ab 180 K stimmen die Werte besser als .5% überein. Am besten sind Kohler und Nordheim-Gorter Regel bei der Überlagerung der Potential- mit der Phononen-Streuung erfüllt, weil der Temperaturverlauf des Seebeckkoeffizienten für die einzelnen Streumechanismen gleichartig ist, und die Matthiessen Regel gut erfüllt ist.

## 7.5 Schlußbetrachtungen

Die Ergebnisse für die einzelnen Streumechanismen in Kapitel 6.2.1 haben für den elektrischen Widerstand und den Wärmewiderstand für die verschiedenen Wechselwirkungen stark unterschiedliche Temperaturverläufe ergeben. Andererseits haben Änderungen der elektronischen Eigenschaften wie die Aufspaltung des Leitfähigkeitsbandes wegen der magnetisch wechselwirkenden Seltenen Erd Ionen bei Berücksichtigung der Ordnung  $\Delta b/\mu$  ( $\Delta b \dots$  halbe Bandaufspaltung,  $\mu \dots$  chem. Potential) und Vernachlässigung aller höheren keine Auswirkungen auf die beiden Transportkoeffizienten gehabt.

Beim Seebeckkoeffizienten liegen die Dinge anders. Vergleicht man den Temperaturverlauf bei der Potential-Streuung, bei der Magnetischen-Streuung (ohne Bandaufspaltung) und bei der Phononen-Streuung , so stellt man in allen drei Fällen ganz ähnliches Verhalten fest. Für die Potential-Streuung erhält man exakt lineares Verhalten, und für die Magnetische- und die Phononen-Streuung ist der Temperaturverlauf nahezu linear (für tiefe Temperaturen ergeben sich geringfügige Abweichungen). Berücksichtigt man hingegen die Bandaufspaltung in erster Ordnung gegenüber der Fermienergie, so ergibt sich, wie in Kapitel 6.2.1 dargestellt, ein völlig anderer Temperaturverlauf des Seebeckkoeffizienten als ohne Bandaufspaltung. Die elektronischen Eigenschaften des Festkörpers haben großen Einfluß auf den Wert des Seebeckkoeffizienten.

Vergleicht man die bei der Überlagerung aller drei Streumechanismen rechnerisch erhaltenen Ergebnisse für die Transportkoeffizienten mit experimentellen Daten /12/, so ergibt sich für den

elektrischen Widerstand und den Wärmewiderstand gute Übereinstimmung.

Für den Seebeckkoeffizienten zeigt der Temperaturverlauf zwischen dem positiven Maximum und  $T_c$  ein zu frühes und zu wenig steiles Abfallen der errechneten Werte. Wegen der starken Abhängigkeit des Seebeckkoeffizienten von den Funktionen, die durch die elektronischen Eigenschaften bestimmt sind, wie z.B. der Zustandsdichte  $N(E)$ , könnte die Vernachlässigung der Temperaturabhängigkeit des chemischen Potentials in der Rechnung eine Ursache für die schlechte Übereinstimmung in dem oben erwähnten Temperaturbereich darstellen. Trotzdem die Abweichungen im allgemeinen sehr klein - verglichen mit der Fermienergie - sind, sind trotzdem Auswirkungen auf den Temperaturverlauf des Seebeckkoeffizienten zu erwarten.

Literaturliste

- /1/ Messiah, A.;  
Quantenmechanik Bd.2. Berlin, New York: De Gruyter Verlag,  
(1979)
- /2/ Hittmair, O.;  
Lehrbuch der Quantentheorie. München: Thiemig Verlag, (1972)
- /3/ Eder, G.;  
Quantenmechanik II. Mannheim: Bibliographisches Institut,  
(1978)
- /4/ Madelung, O.;  
Festkörpertheorie II (Wechselwirkungen). Berlin: Springer  
Verlag, (1972)
- /5/ Ashcroft, N.W., et al.;  
Solid State Physics. Philadelphia: Saunders College, (1976)
- /6/ Ziman, J.M.;  
Electrons and Phonons ( $4^{\text{th}}$  edition). Oxford: Carendon Press,  
(1960)
- /7/ Froese Fischer, Ch.;  
The Hartree Fock Method for Atoms. New York: John Wiley&Sons,  
(1976)
- /8/ Coqblin, B.;  
The Electronic Structure of Rare Earth Metals and Alloys:  
The Magnetic Heavy Rare Earth. London: Academic Press, (1977)
- /9/ Splittorff, O.;  
Transport Properties of Metallic Rare Earth Alloys.  
University of Copenhagen-Licentiate Thesis, (1976)

- /10/ Allen, P.B.;  
New Method for solving Boltzmann s equation for electrons  
in metals. Physical Review B, p. 3725, 17 Number 10,  
(May 1978)
- /11/ Schulze, G.E.R.;  
Metallphysik. Wien: Springer Verlag (1974)
- /12/ Gratz, E. and Zuckermann, M.J.;  
Transport Properties of Rare Earth Intermetallic Compounds.  
Journal of Magnetism and Magnetic Mat., p.181, 29, (1982)
- /13/ Riedelberger, J.S.;  
Anpassungen von Modellrechnungen an Messungen der Tempera-  
turabhängigkeit des elektrischen Widerstandes von Magnet-  
ischen Materialien. Vorbereitungspraktikum TU-Wien (unver-  
öffentlicht), (Oktober 1983)
- /14/ Abramowitz, M. and Stegun, I.A. (Editors);  
Handbook of Mathematical Functions. New York: Dover  
Publications, (1970)
- /15/ Adam, G. and Hittmair, O.;  
Wärmetheorie. Braunschweig: Vieweg Verlag, (1978)

## A.1 Mathematischer Anhang

### A.1.1 Bei der Rechnung auftretende Integrale und Reihen und ihre analytischen Lösungen

Wir geben in Anhang A.1.1 eine Zusammenstellung von Funktionen und Reihen, die bei der Berechnung der Transportkoeffizienten aufgetreten sind.

$$\int_0^\infty dx \frac{x^n}{e^x - 1} = n! \zeta(n+1) \quad n > 1 \quad (\text{A.1.1.1})$$

$\zeta$  ... Riemann'sche Zeta-Funktion in

der Definition von /14/

$$\zeta(n) = \sum_{k=1}^{\infty} k^{-n} \quad (\text{A.1.1.2})$$

$$\int_0^\infty dx \frac{x^n}{(e^x - 1)(1 - e^{-x})} = n \int_0^\infty dx \frac{x^{n-1}}{e^x - 1} - \frac{w^n}{e^w - 1} = J_n(w) \quad n > 2 \quad (\text{A.1.1.3})$$

$$\int_0^\infty dx \frac{x^m}{e^x - 1} = \sum_{n=0}^{\infty} \frac{B_n}{n!} \frac{w^{m+n}}{m+n} \quad 0 < w < 2\pi \quad (\text{A.1.1.4})$$

$B_n$  ... Bernoulli-Zahlen in der Definition von /14/.

$$\int_0^\infty dx \frac{x^m}{e^x - 1} = m! \zeta(m+1) - \sum_{n=1}^{\infty} \sum_{k=0}^m \left(\frac{1}{n}\right)^{m-k+1} \frac{m!}{k!} w^k e^{-wn} \quad (\text{A.1.1.5})$$

$$\frac{1-e^{-w}}{w} \int_0^\infty dx \frac{x^n}{(e^x - 1)(e^{-w} - 1)} = \frac{w^n}{n+1} + \sum_{l=1}^{\lfloor \frac{n}{2} \rfloor} \frac{n!}{(n+1-2l)!} \frac{w^{n-2l}}{2 \eta(2l)} = I_n(w) \quad (\text{A.1.1.6})$$

$\eta(1)$  ... Eta-Funktion in der Definition von /14/

$$\eta(1) = \sum_{k=1}^{\infty} (-1)^{k-1} k^{-1} \quad (\text{A.1.1.7})$$

Die Integrale  $I_n(0) = I_n$  :

$$n = 2l+1 \quad I_{2l+1} = 0 \quad (\text{A.1.1.8})$$

$$n = 2l \quad I_{2l} = 2.(2l)!.\eta(2l) \quad (\text{A.1.1.9})$$

### A.1.2 Die Funktionen $J_n(x)$

Die Funktionen

$$J_n(x) = \int_0^x dw \frac{w^n}{(e^w-1)(1-e^{-w})}$$

sind auf den nächsten Seiten für  $n \geq 2$  und  $n \leq 21$  in tabellierter Form angegeben, und wurden mittels des Unterprogrammes FUNCTION TCINTEG auf 8 Stellen genau berechnet.

X

J( 2,X)

J( 3,X)

.1000E+00	.99972231E-01	.49979174E-02
.2000E+00	.14977804E+00	.19906711E-01
.3000E+00	.29925202E+00	.44831755E-01
.4000E+00	.39823072E+00	.79469498E-01
.5000E+00	.49655364E+00	.12370869E+00
.6000E+00	.59406415E+00	.17733206E+00
.7000E+00	.69061036E+00	.24007844E+00
.8000E+00	.78604598E+00	.31164530E+00
.9000E+00	.88023102E+00	.39169161E+00
.1000E+01	.97303256E+00	.47984101E+00
.1100E+01	.10643253E+01	.57568532E+00
.1200E+01	.11539922E+01	.67878818E+00
.1300E+01	.12419246E+01	.78668890E+00
.1400E+01	.13280233E+01	.90490639E+00
.1500E+01	.14121979E+01	.10269432E+01
.1600E+01	.14943677E+01	.11542893E+01
.1700E+01	.15744615E+01	.12864266E+01
.1800E+01	.16524177E+01	.14228319E+01
.1900E+01	.17281843E+01	.15629817E+01
.2000E+01	.18017186E+01	.17063547E+01
.2100E+01	.18729870E+01	.18524360E+01
.2200E+01	.19419650E+01	.20007197E+01
.2300E+01	.20086368E+01	.21507118E+01
.2400E+01	.20729946E+01	.23019333E+01
.2500E+01	.21350385E+01	.24539217E+01
.2600E+01	.21947763E+01	.26062339E+01
.2700E+01	.22522224E+01	.27584470E+01
.2800E+01	.23073978E+01	.29101607E+01
.2900E+01	.23603296E+01	.30609976E+01
.3000E+01	.24110501E+01	.32106047E+01
.3100E+01	.24595966E+01	.33586537E+01
.3200E+01	.25060111E+01	.35048417E+01
.3300E+01	.25503391E+01	.36488908E+01
.3400E+01	.25926300E+01	.37905485E+01
.3500E+01	.26329359E+01	.39295872E+01
.3600E+01	.26713113E+01	.40658042E+01
.3700E+01	.27078131E+01	.41990203E+01
.3800E+01	.27424996E+01	.43290799E+01
.3900E+01	.27754305E+01	.44558495E+01
.4000E+01	.28066664E+01	.45792174E+01
.4100E+01	.28362684E+01	.46990922E+01
.4200E+01	.28642979E+01	.48154019E+01
.4300E+01	.28908163E+01	.49280926E+01
.4400E+01	.29158846E+01	.50371279E+01
.4500E+01	.29395634E+01	.51424870E+01
.4600E+01	.29619124E+01	.52441641E+01
.4700E+01	.29829904E+01	.53421669E+01
.4800E+01	.30028554E+01	.54365155E+01
.4900E+01	.30215637E+01	.55272415E+01
.5000E+01	.30391706E+01	.56143866E+01
.5100E+01	.30557297E+01	.56980017E+01
.5200E+01	.30712933E+01	.57781459E+01
.5300E+01	.30859118E+01	.58548854E+01
.5400E+01	.30996341E+01	.59282927E+01
.5500E+01	.31125075E+01	.59984456E+01
.5600E+01	.31245773E+01	.60654265E+01
.5700E+01	.31358873E+01	.61293216E+01
.5800E+01	.31464793E+01	.61902201E+01
.5900E+01	.31563937E+01	.62482135E+01
.6000E+01	.31656688E+01	.63033954E+01

X

J( 4, X)

J( 5, X)

.2500E+00	.51920936E-02	.97317959E-03
.5000E+00	.41150448E-01	.15410005E-01
.7500E+00	.136746C2E+00	.76680865E-01
.1000E+01	.31724405E+00	.23661588E+00
.1250E+01	.60286635E+00	.56032680E+00
.1500E+01	.10079443E+01	.11198757E+01
.1750E+01	.15402273E+01	.19875243E+01
.2000E+01	.22010881E+01	.32292902E+01
.2250E+01	.29858615E+01	.48994303E+01
.2500E+01	.38846509E+01	.70362973E+01
.2750E+01	.48833551E+01	.96598083E+01
.3000E+01	.59648224E+01	.12770558E+02
.3250E+01	.71100250E+01	.16350438E+02
.3500E+01	.82991672E+01	.20364502E+02
.3750E+01	.95126615E+01	.24763728E+02
.4000E+01	.10731932E+02	.29488339E+02
.4250E+01	.11940029E+02	.34471341E+02
.4500E+01	.13122047E+02	.39641985E+02
.4750E+01	.14265374E+02	.44928952E+02
.5000E+01	.15359784E+02	.50263092E+02
.5250E+01	.16397405E+02	.55579646E+02
.5500E+01	.17372588E+02	.60819909E+02
.5750E+01	.18281718E+02	.65932367E+02
.6000E+01	.19122976E+02	.70873334E+02
.6250E+01	.19896078E+02	.75607169E+02
.6500E+01	.20602016E+02	.80106144E+02
.6750E+01	.21242806E+02	.84350046E+02
.7000E+01	.21821249E+02	.88325576E+02
.7250E+01	.22340721E+02	.92025625E+02
.7500E+01	.22804987E+02	.95448480E+02
.7750E+01	.23218042E+02	.98597000E+02
.8000E+01	.23563979E+02	.10147781E+03
.8250E+01	.23906882E+02	.10410055E+03
.8500E+01	.24190745E+02	.10647712E+03
.8750E+01	.24439406E+02	.10862113E+03
.9000E+01	.24656504E+02	.11054725E+03
.9250E+01	.24845447E+02	.11227081E+03
.9500E+01	.25009396E+02	.11380734E+03
.9750E+01	.25151254E+02	.11517229E+03
.1000E+02	.25273668E+02	.11638075E+03
.1025E+02	.25379032E+02	.11744723E+03
.1050E+02	.25469501E+02	.11838555E+03
.1075E+02	.25547000E+02	.11920873E+03
.1100E+02	.25613242E+02	.11992890E+03
.1125E+02	.25669743E+02	.12055728E+03
.1150E+02	.25717838E+02	.12110419E+03
.1175E+02	.25758698E+02	.12157905E+03
.1200E+02	.25793347E+02	.12199040E+03
.1225E+02	.25822678E+02	.12234593E+03
.1250E+02	.25847465E+02	.12265258E+03
.1275E+02	.25868377E+02	.12291652E+03
.1300E+02	.25885993E+02	.12314326E+03
.1325E+02	.25900809E+02	.12333767E+03
.1350E+02	.25913253E+02	.12350407E+03
.1375E+02	.25923690E+02	.12364623E+03
.1400E+02	.25932432E+02	.12376748E+03
.1425E+02	.25939744E+02	.12387074E+03
.1450E+02	.25945853E+02	.12395853E+03
.1475E+02	.25950950E+02	.12403306E+03
.1500E+02	.25955198E+02	.12409624E+03

.2500E+00	.19458765E-03	.40531555E-04
.5000E+00	.61578910E-02	.25636801E-02
.7500E+00	.45905981E-01	.28643278E-01
.1000E+01	.18854360E+00	.15665325E+00
.1250E+01	.55666735E+00	.57738371E+00
.1500E+01	.13319251E+01	.16538225E+01
.1750E+01	.27489959E+01	.39726983E+01
.2000E+01	.50857202E+01	.83763086E+01
.2250E+01	.86441588E+01	.15966652E+02
.2500E+01	.13729222E+02	.28078571E+02
.2750E+01	.20626157E+02	.46223511E+02
.3000E+01	.29579593E+02	.72009677E+02
.3250E+01	.40776189E+02	.10704727E+03
.3500E+01	.54332237E+02	.15284880E+03
.3750E+01	.70286865E+02	.21073418E+03
.4000E+01	.88600836E+C2	.2817490tE+03
.4250E+01	.10916037E+03	.36660226E+03
.4500E+01	.13178510E+03	.46562623E+03
.4750E+01	.15623902E+03	.57876092E+03
.5000E+01	.18224324E+03	.70556068E+03
.5250E+01	.20948957E+03	.84522067E+03
.5500E+01	.23765383E+03	.99661928E+03
.5750E+01	.26640826E+03	.11583719E+04
.6000E+01	.29543247E+03	.13288914E+C4
.6250E+01	.32442257E+03	.15064521E+04
.6500E+01	.35309841E+03	.16892513E+04
.6750E+01	.38120878E+03	.18754683E+04
.7000E+01	.40853486E+03	.20633167E+04
.7250E+01	.43469193E+03	.22510890E+04
.7500E+01	.46012973E+03	.24371930E+04
.7750E+01	.48413153E+03	.26201801E+04
.8000E+01	.50681244E+03	.27987640E+04
.8250E+01	.52811669E+03	.29718336E+04
.8500E+01	.54801574E+03	.31384570E+04
.8750E+01	.56650310E+03	.32978811E+04
.9000E+01	.58359306E+03	.34495257E+04
.9250E+01	.59931645E+03	.35929736E+04
.9500E+01	.61371770E+03	.37279583E+04
.9750E+01	.62665194E+03	.38543496E+04
.1000E+02	.63878231E+03	.39721376E+04
.1025E+02	.64957762E+03	.40814172E+04
.1050E+02	.65931021E+03	.41823715E+04
.1075E+02	.66805421E+03	.42752567E+04
.1100E+02	.67588399E+03	.43603873E+04
.1125E+02	.68287294E+03	.44381226E+04
.1150E+02	.68909249E+03	.45088546E+04
.1175E+02	.69461132E+03	.45729971E+04
.1200E+02	.69949480E+03	.46309758E+04
.1225E+02	.70380459E+03	.46832208E+04
.1250E+02	.70759841E+03	.47301591E+04
.1275E+02	.71092985E+03	.47722095E+04
.1300E+02	.71384839E+03	.48097776E+04
.1325E+02	.71639943E+03	.48432527E+04
.1350E+02	.71862438E+03	.48730051E+04
.1375E+02	.72056087E+03	.48993841E+04
.1400E+02	.72224290E+03	.49227172E+04
.1425E+02	.72370105E+03	.49433092E+04
.1450E+02	.72496274E+03	.49614423E+04
.1475E+02	.72605248E+03	.49773763E+04
.1500E+02	.72699204E+03	.49913493E+04

X

J( 8, X)

J( 9, X)

.5000E+00	.10981704E-02	.48022729E-03
.1000E+01	.13396433E+00	.11700243E+00
.1500E+01	.21153368E+01	.27648974E+01
.2000E+01	.14227877E+02	.24716632E+02
.2500E+01	.59312062E+02	.12827120E+03
.3000E+01	.18139615E+03	.46842896E+03
.3500E+01	.44591673E+03	.13356417E+04
.4000E+01	.93148002E+03	.31673967E+04
.4500E+01	.17153187E+04	.65125757E+04
.5000E+01	.28572838E+04	.11952719E+05
.5500E+01	.43872972E+04	.20001613E+05
.6000E+01	.62993229E+04	.31011073E+05
.6500E+01	.85524449E+04	.45106040E+05
.7000E+01	.11077659E+05	.62160652E+05
.7500E+01	.13787984E+05	.81816482E+05
.8000E+01	.16589426E+05	.10352950E+06
.8500E+01	.19390819E+05	.12663921E+06
.9000E+01	.22111375E+05	.15043920E+06
.9500E+01	.24685466E+C5	.17424230E+06
.1000E+02	.27064781E+05	.19743173E+06
.1050E+02	.29218291E+05	.21949537E+06
.1100E+02	.31130668E+05	.24004324E+C6
.1150E+02	.32799758E+05	.25881047E+06
.1200E+02	.34233655E+05	.275t4924E+06
.1250E+02	.35447766E+05	.29051333E+06
.1300E+02	.36462154E+05	.30343891E+06
.1350E+02	.37299298E+05	.31452417E+06
.1400E+02	.37982332E+05	.32390994E+06
.1450E+02	.38533754E+05	.331762c8E+06
.1500E+02	.38974556E+05	.33826030E+06
.1550E+02	.39323700E+05	.34358129E+06
.1600E+02	.39597873E+05	.34789671E+06
.1650E+02	.39811443E+05	.35136496E+06
.1700E+02	.39976548E+05	.35412868E+06
.1750E+02	.40103278E+05	.35631337E+06
.1800E+02	.40199901E+05	.35802731E+06
.1850E+02	.40273101E+05	.35936237E+06
.1900E+02	.40328226E+05	.36039529E+06
.1950E+02	.40369501E+05	.36118934E+06
.2000E+02	.40400241E+05	.36179607E+06
.2050E+02	.40423016E+05	.36225699E+06
.2100E+02	.40439809E+05	.36260523E+06
.2150E+02	.40452134E+05	.36286696E+06
.2200E+02	.40461138E+05	.36306270E+06
.2250E+02	.40467690E+05	.36320838E+06
.2300E+02	.40472437E+05	.36331632E+06
.2350E+02	.40475864E+05	.36339594E+06
.2400E+02	.40478328E+05	.36345444E+06
.2450E+02	.40480094E+05	.36349724E+06
.2500E+02	.40481356E+05	.36352844E+06
.2550E+02	.40482253E+05	.36355109E+06
.2600E+02	.40482890E+05	.36356749E+06
.2650E+02	.40483341E+05	.36357931E+06
.2700E+02	.40483659E+05	.36358781E+06
.2750E+02	.40483883E+05	.36359391E+06
.2800E+02	.40484040E+C5	.36359826E+06
.2850E+02	.40484149E+05	.36360136E+06
.2900E+02	.40484226E+05	.36360356E+06
.2950E+02	.40484279E+05	.36360512E+06
.3000E+02	.40484317E+05	.36360622E+06

X	J(10,X)	J(11,X)
.5000E+00	.21335358E-03	.95978638E-04
.1000E+01	.10384517E+00	.93343153E-01
.1500E+01	.36740658E+01	.49460294E+01
.2000E+01	.43678137E+02	.78229925E+02
.2500E+01	.28240480E+03	.63051641E+03
.3000E+01	.12326011E+04	.32914401E+04
.3500E+01	.40810516E+04	.12664808E+05
.4000E+01	.11001152E+05	.38845051E+05
.4500E+01	.25293459E+05	.99977469E+05
.5000E+01	.51233040E+05	.22377397E+06
.5500E+01	.93607307E+05	.44702406E+06
.6000E+01	.15703956E+06	.81272411E+06
.6500E+01	.24526095E+06	.13652004E+07
.7000E+01	.36049842E+06	.21442014E+07
.7500E+01	.50309995E+C6	.31791837E+07
.8000E+01	.67144841E+06	.44848987E+07
.8500E+01	.86214705E+06	.60590028E+07
.9000E+01	.10704111E+07	.76819315E+07
.9500E+01	.12905764E+07	.99186318E+07
.1000E+02	.15166362E+07	.12123035E+08
.1050E+02	.17427324E+07	.14440408E+08
.1100E+02	.19635524E+07	.16813902E+08
.1150E+02	.21746057E+07	.19187764E+08
.1200E+02	.23723792E+07	.21510969E+08
.1250E+02	.25543822E+07	.23739831E+C6
.1300E+02	.27191043E+07	.25839297E+08
.1350E+02	.28659099E+07	.27783722E+08
.1400E+02	.29948968E+07	.29556560E+08
.1450E+02	.31067381E+07	.31149604E+08
.1500E+02	.32025254E+07	.32561825E+08
.1550E+02	.32836250E+07	.33798013E+C8
.1600E+02	.33515544E+07	.34867385E+08
.1650E+02	.34078813E+07	.35782246E+08
.1700E+02	.34541470E+07	.36556607E+08
.1750E+02	.34918111E+07	.37206184E+08
.1800E+02	.35222160E+07	.37745596E+08
.1850E+02	.35465668E+07	.38189768E+08
.1900E+02	.35659229E+07	.38552506E+08
.1950E+02	.35811996E+07	.38846431E+08
.2000E+02	.35931755E+07	.39082833E+08
.2050E+02	.36025039E+07	.39271634E+08
.2100E+02	.36097258E+07	.39421409E+08
.2150E+02	.36152844E+07	.39539469E+08
.2200E+02	.36195392E+07	.39631964E+08
.2250E+02	.36227789E+07	.39704009E+08
.2300E+02	.36252331E+07	.39759814E+08
.2350E+02	.36270834E+07	.39802811E+08
.2400E+02	.36284719E+07	.39835771E+08
.2450E+02	.36295092E+07	.39860915E+08
.2500E+02	.36302810E+07	.39880005E+08
.2550E+02	.36308527E+07	.39894435E+08
.2600E+02	.36312747E+07	.39905296E+08
.2650E+02	.36315849E+07	.39913436E+08
.2700E+02	.36318122E+07	.39919512E+08
.2750E+02	.36319781E+07	.39924031E+08
.2800E+02	.36320988E+07	.39927379E+08
.2850E+02	.36321864E+07	.39929850E+08
.2900E+02	.36322496E+07	.39931669E+08
.2950E+02	.36322952E+07	.39933002E+08
.3000E+02	.36323280E+07	.39933977E+08

X	J(12,X)	J(13,X)
.5000E+00	.43t15106E-04	.14985t88E-04
.1000E+01	.84767182E-01	.77t324t4E-01
.1500E+01	.67285412E+01	.92328995E+01
.2000E+01	.14163923E+03	.25873944E+03
.2500E+01	.14236788E+04	.32444734E+04
.3000E+01	.88934945E+04	.24263662E+05
.3500E+01	.39794466E+05	.12631587E+06
.4000E+01	.13897886E+06	.50259703E+06
.4500E+01	.40075037E+06	.16247435E+07
.5000E+01	.99209910E+06	.44520028E+07
.5500E+01	.21691704E+07	.10662602E+08
.6000E+01	.42788163E+07	.22840222E+08
.6500E+01	.77404619E+07	.44541223E+08
.7000E+01	.13008869E+08	.80187736E+08
.7500E+01	.20523589E+08	.13477149E+09
.8000E+01	.30654246E+08	.21339937E+09
.8500E+01	.43651508E+08	.32074951E+09
.9000E+01	.59611881E+08	.46052601E+09
.9500E+01	.78461226E+08	.63499902E+09
.1000E+02	.99958095E+08	.84469673E+09
.1050E+02	.12371469E+09	.10882863E+10
.1100E+02	.14923091E+09	.13626474E+10
.1150E+02	.17593576E+09	.16631141E+10
.1200E+02	.20323057E+09	.19838402E+10
.1250E+02	.23052915E+09	.23182363E+10
.1300E+02	.25729135E+09	.26594216E+10
.1350E+02	.28304811E+09	.30006481E+10
.1400E+02	.30741725E+09	.33356593E+10
.1450E+02	.33011057E+09	.36569645E+10
.1500E+02	.35093334E+09	.39660196E+10
.1550E+02	.36977805E+09	.42533177E+10
.1600E+02	.38661394E+09	.45183996E+10
.1650E+02	.40147428E+09	.47597992E+10
.1700E+02	.41444265E+09	.49769428E+10
.1750E+02	.42563950E+09	.51700175E+10
.1800E+02	.43520979E+09	.53398257E+10
.1850E+02	.44331226E+09	.54876380E+10
.1900E+02	.45011048E+09	.56150537E+10
.1950E+02	.45576590E+09	.57238762E+10
.2000E+02	.46043267E+09	.58160067E+10
.2050E+02	.46425409E+09	.58933581E+10
.2100E+02	.46736047E+09	.59577883E+10
.2150E+02	.46986806E+09	.60110518E+10
.2200E+02	.47187886E+09	.60547680E+10
.2250E+02	.47348110E+09	.60904025E+10
.2300E+02	.47475007E+09	.61192591E+10
.2350E+02	.47574928E+09	.61424807E+10
.2400E+02	.47653172E+09	.61610555E+10
.2450E+02	.47714116E+09	.61758260E+10
.2500E+02	.47761344E+09	.61875118E+10
.2550E+02	.47797763E+09	.61967037E+10
.2600E+02	.47825715E+09	.62038963E+10
.2650E+02	.47847073E+09	.62095022E+10
.2700E+02	.47863320E+09	.62138464E+10
.2750E+02	.47875628E+09	.62171989E+10
.2800E+02	.47884914E+09	.62197747E+10
.2850E+02	.47891893E+09	.62217455E+10
.2900E+02	.47897119E+09	.62232472E+10
.2950E+02	.47901017E+09	.62243870E+10
.3000E+02	.47903915E+09	.62252488E+10

X

J(14,X)

J(15,X)

136 -

.5000E+00	.92223354E-05	.42810564E-05
.1000E+01	.71604185E-01	.66443708E-01
.1500E+01	.12761470E+02	.17747502E+02
.2000E+01	.47618879E+03	.88195055E+03
.2500E+01	.74512961E+04	.17225162E+05
.3000E+01	.66732795E+05	.18479154E+06
.3500E+01	.40435383E+06	.13036508E+07
.4000E+01	.18338121E+07	.67412843E+07
.4500E+01	.66493772E+07	.27428844E+08
.5000E+01	.20178532E+08	.92225829E+08
.5500E+01	.52971561E+08	.26550417E+09
.6000E+01	.12330827E+09	.67200990E+09
.6500E+01	.25942269E+09	.15262000E+10
.7000E+01	.50071889E+09	.31603006E+10
.7500E+01	.89734766E+09	.60435001E+10
.8000E+01	.15078185E+10	.10784852E+11
.8500E+01	.23947404E+10	.18114784E+11
.9000E+01	.36191957E+10	.28844026E+11
.9500E+01	.52345417E+10	.43803217E+11
.1000E+02	.72805486E+10	.63770329E+11
.1050E+02	.97787019E+10	.89395415E+11
.1100E+02	.12729279E+11	.12113269E+12
.1150E+02	.16110502E+11	.15918865E+12
.1200E+02	.19879746E+11	.20349229E+12
.1250E+02	.23976524E+11	.25369001E+12
.1300E+02	.28326777E+11	.30916462E+12
.1350E+02	.32847895E+11	.36907477E+12
.1400E+02	.37453918E+11	.43240934E+12
.1450E+02	.42060427E+11	.49805041E+12
.1500E+02	.46588731E+11	.56483811E+12
.1550E+02	.50969146E+11	.63163197E+12
.1600E+02	.55143222E+11	.69736401E+12
.1650E+02	.59064961E+11	.76108097E+12
.1700E+02	.62701104E+11	.82197393E+12
.1750E+02	.66030652E+11	.87939557E+12
.1800E+02	.69043802E+11	.93286573E+12
.1850E+02	.71740491E+11	.98206724E+12
.1900E+02	.74128722E+11	.10268340E+13
.1950E+02	.76222819E+11	.10671335E+13
.2000E+02	.78041742E+11	.11030462E+13
.2050E+02	.79607531E+11	.11347433E+13
.2100E+02	.80943955E+11	.11624651E+13
.2150E+02	.82075374E+11	.11864997E+13
.2200E+02	.83025836E+11	.12071652E+13
.2250E+02	.83818395E+11	.12247935E+13
.2300E+02	.84474626E+11	.12397175E+13
.2350E+02	.85014315E+11	.12522608E+13
.2400E+02	.85455292E+11	.12627302E+13
.2450E+02	.85813383E+11	.12714108E+13
.2500E+02	.86102440E+11	.12785624E+13
.2550E+02	.86334442E+11	.12844183E+13
.2600E+02	.86519631E+11	.12891851E+13
.2650E+02	.86666673E+11	.12930435E+13
.2700E+02	.86782835E+11	.12961497E+13
.2750E+02	.86874154E+11	.12986372E+13
.2800E+02	.86945605E+11	.13006193E+13
.2850E+02	.87001257E+11	.13021908E+13
.2900E+02	.87044414E+11	.13034311E+13
.2950E+02	.87077739E+11	.13044055E+13
.3000E+02	.87103367E+11	.13051677E+13

X	J(16,X)	J(17,X)
.5000E+00	.19975208E-05	.93621059E-06
.1000E+01	.61976375E-01	.58071422E-01
.1500E+01	.24812736E+02	.34850794E+02
.2000E+01	.16423715E+04	.30729115E+04
.2500E+01	.40043779E+05	.93545548E+05
.3000E+01	.51470682E+06	.14408958E+07
.3500E+01	.42286981E+07	.13789387E+08
.4000E+01	.24940451E+08	.92780926E+08
.4500E+01	.11390742E+09	.47578083E+09
.5000E+01	.42451621E+09	.19659752E+10
.5500E+01	.13407766E+10	.68144196E+10
.6000E+01	.36915701E+10	.20417065E+11
.6500E+01	.90548399E+10	.54109161E+11
.7000E+01	.20126202E+11	.12915321E+12
.7500E+01	.41093098E+11	.28168552E+12
.8000E+01	.77930411E+11	.56798571E+12
.8500E+01	.13852669E+12	.10690841E+13
.9000E+01	.23256661E+12	.18935492E+13
.9500E+01	.37113228E+12	.31773805E+13
.1000E+02	.56603509E+12	.50802761E+13
.1050E+02	.82893915E+12	.77781100E+13
.1100E+02	.11703759E+13	.11452022E+14
.1150E+02	.15987694E+13	.16275212E+14
.1200E+02	.21195923E+13	.22398800E+14
.1250E+02	.27347490E+13	.29938390E+14
.1300E+02	.34422541E+13	.38962835E+14
.1350E+02	.42362283E+13	.49486424E+14
.1400E+02	.51071987E+13	.61465235E+14
.1450E+02	.60426559E+13	.74797693E+14
.1500E+02	.70277962E+13	.89330481E+14
.1550E+02	.80463817E+13	.10486492E+15
.1600E+02	.90815963E+13	.12116990E+15
.1650E+02	.10116895E+14	.13799317E+15
.1700E+02	.11136720E+14	.15507428E+15
.1750E+02	.12127087E+14	.17215663E+15
.1800E+02	.13076010E+14	.18899806E+15
.1850E+02	.13973755E+14	.20537960E+15
.1900E+02	.14812945E+14	.22111185E+15
.1950E+02	.15588525E+14	.23603903E+15
.2000E+02	.16297621E+14	.25004088E+15
.2050E+02	.16939317E+14	.26303243E+15
.2100E+02	.17514384E+14	.27496232E+15
.2150E+02	.18024972E+14	.28580969E+15
.2200E+02	.18474313E+14	.29558039E+15
.2250E+02	.18866424E+14	.30430256E+15
.2300E+02	.19205839E+14	.31202216E+15
.2350E+02	.19497378E+14	.31879854E+15
.2400E+02	.19745947E+14	.32470037E+15
.2450E+02	.19956381E+14	.32980191E+15
.2500E+02	.20133324E+14	.33417993E+15
.2550E+02	.20281136E+14	.33791106E+15
.2600E+02	.20403840E+14	.34106974E+15
.2650E+02	.20505090E+14	.34372672E+15
.2700E+02	.20588152E+14	.34594793E+15
.2750E+02	.20655913E+14	.34779385E+15
.2800E+02	.20710896E+14	.34931912E+15
.2850E+02	.20755278E+14	.35057251E+15
.2900E+02	.20790924E+14	.35159701E+15
.2950E+02	.20819415E+14	.35243011E+15
.3000E+02	.20842081E+14	.35310422E+15

X	J(18,X)	J(19,X)
.5000E+00	.44051611E-06	.20799673E-06
.1000E+01	.54629013E-01	.51571610E-01
.1500E+01	.49148027E+02	.69556799E+02
.2000E+01	.57733360E+04	.10886604E+05
.2500E+01	.21946420E+06	.51681969E+06
.3000E+01	.40515702E+07	.11436799E+08
.3500E+01	.45170263E+08	.14861520E+09
.4000E+01	.34681047E+09	.13018794E+10
.4500E+01	.19972945E+10	.84215367E+10
.5000E+01	.91527516E+10	.42808354E+11
.5500E+01	.34826632E+11	.17885340E+12
.6000E+01	.11358398E+12	.63511644E+12
.6500E+01	.32534604E+12	.19667609E+13
.7000E+01	.83423526E+12	.54191593E+13
.7500E+01	.19443223E+13	.13501158E+14
.8000E+01	.41702071E+13	.30812487E+14
.8500E+01	.83152653E+13	.65110454E+14
.9000E+01	.15545441E+14	.12853268E+15
.9500E+01	.27443169E+14	.23882007E+15
.1000E+02	.46025812E+14	.42032679E+15
.1050E+02	.73715493E+14	.70458061E+15
.1100E+02	.11325444E+15	.11301782E+16
.1150E+02	.16756659E+15	.17418670E+16
.1200E+02	.23957566E+15	.25887700E+16
.1250E+02	.33199645E+15	.37218270E+16
.1300E+02	.44712073E+15	.51906478E+16
.1350E+02	.58662029E+15	.70400577E+16
.1400E+02	.75138769E+15	.93066722E+16
.1450E+02	.94143165E+15	.12015840E+17
.1500E+02	.11558337E+16	.15179250E+17
.1550E+02	.13927711E+16	.18793435E+17
.1600E+02	.16496014E+16	.22839277E+17
.1650E+02	.19229957E+16	.27282548E+17
.1700E+02	.22091097E+16	.32075402E+17
.1750E+02	.25037750E+16	.37158645E+17
.1800E+02	.28026956E+16	.42464574E+17
.1850E+02	.31016354E+16	.47920141E+17
.1900E+02	.33965845E+16	.53450190E+17
.1950E+02	.36838965E+16	.58980558E+17
.2000E+02	.39603923E+16	.64440840E+17
.2050E+02	.42234279E+16	.69766702E+17
.2100E+02	.44709281E+16	.74901649E+17
.2150E+02	.47013897E+16	.79798224E+17
.2200E+02	.49138579E+16	.84418645E+17
.2250E+02	.51078833E+16	.88734938E+17
.2300E+02	.52634635E+16	.92728624E+17
.2350E+02	.54409765E+16	.96390061E+17
.2400E+02	.55811099E+16	.99717524E+17
.2450E+02	.57047907E+16	.10271612E+18
.2500E+02	.58131182E+16	.10539661E+18
.2550E+02	.59073037E+16	.10777423E+18
.2600E+02	.59886175E+16	.10986755E+18
.2650E+02	.60583437E+16	.11169741E+18
.2700E+02	.61177443E+16	.11328597E+18
.2750E+02	.61680310E+16	.11465593E+18
.2800E+02	.62103451E+16	.11582983E+18
.2850E+02	.62457429E+16	.11682955E+18
.2900E+02	.62751883E+16	.11767568E+18
.2950E+02	.62995494E+16	.11838825E+18
.3000E+02	.63195982E+16	.11898453E+18

X	J(20,X)	J(21,X)
.5000E+00	.98515960E-07	.40790669E-07
.1000E+01	.48838079E-01	.46379574E-01
.1500E+01	.96759981E+02	.14062078E+03
.2000E+01	.20595479E+05	.39076682E+05
.2500E+01	.12211461E+07	.28939849E+07
.3000E+01	.32395605E+08	.92046736E+08
.3500E+01	.49037969E+09	.16265412E+10
.4000E+01	.49050226E+10	.18542811E+11
.4500E+01	.35647097E+11	.1514135CE+12
.5000E+01	.20103403E+12	.94750023E+12
.5500E+01	.92242781E+12	.47753634E+13
.6000E+01	.35672313E+13	.20115273E+14
.6500E+01	.11945354E+14	.72853006E+14
.7000E+01	.35377274E+14	.23195763E+15
.7500E+01	.94240786E+14	.66083997E+15
.8000E+01	.22892111E+15	.17089892E+16
.8500E+01	.51280169E+15	.40593364E+16
.9000E+01	.10692821E+16	.89433132E+16
.9500E+01	.20918470E+16	.18426613E+17
.1000E+02	.38651062E+16	.35754489E+17
.1050E+02	.67837413E+16	.65728039E+17
.1100E+02	.11365695E+17	.11506582E+18
.1150E+02	.18255947E+17	.19269241E+18
.1200E+02	.28217916E+17	.30989061E+18
.1250E+02	.42110844E+17	.48026183E+18
.1300E+02	.60853283E+17	.71944948E+18
.1350E+02	.85374660E+17	.10446175E+19
.1400E+02	.11655862E+18	.14736918E+19
.1450E+02	.15518305E+18	.20244142E+19
.1500E+02	.20186233E+18	.27132794E+19
.1550E+02	.25699716E+18	.35544429E+19
.1600E+02	.32073654E+18	.45566962E+19
.1650E+02	.39295535E+18	.57325990E+19
.1700E+02	.47324907E+18	.70778432E+19
.1750E+02	.56094576E+18	.85909022E+19
.1800E+02	.65513379E+18	.10262988E+20
.1850E+02	.75470255E+18	.12080317E+20
.1900E+02	.85834251E+18	.14024646E+20
.1950E+02	.96485060E+18	.16074053E+20
.2000E+02	.10726869E+19	.18203847E+20
.2050E+02	.11805287E+19	.20387617E+20
.2100E+02	.12870699E+19	.22598266E+20
.2150E+02	.13911113E+19	.24809018E+20
.2200E+02	.14915933E+19	.26994333E+20
.2250E+02	.15876177E+19	.29130674E+20
.2300E+02	.16784603E+19	.31197116E+20
.2350E+02	.17635748E+19	.33175780E+20
.2400E+02	.18425882E+19	.35052068E+20
.2450E+02	.19152906E+19	.36814856E+20
.2500E+02	.19816197E+19	.38456237E+20
.2550E+02	.20416424E+19	.39971551E+20
.2600E+02	.20955340E+19	.41359008E+20
.2650E+02	.21435572E+19	.42619379E+20
.2700E+02	.21860416E+19	.43755614E+20
.2750E+02	.22233644E+19	.44772452E+20
.2800E+02	.22559325E+19	.45676029E+20
.2850E+02	.22841678E+19	.46473504E+20
.2900E+02	.23084938E+19	.47172722E+20
.2950E+02	.23293253E+19	.47781905E+20
.3000E+02	.23470603E+19	.48309402E+20

## A.2 Rechenprogramme

### A.2.1 Programme zur Berechnung der Transportkoeffizienten

Das Hauptprogramm PROGRAM COTRACO (A.2.1.1) dient zur Berechnung der Transportkoeffizienten elektrischer Widerstand, Seebeckkoeffizient und Wärmeleitfähigkeit bei zueinander äquidistant liegenden Temperaturen.

Für jede Temperatur werden die Daten der Spektralfunktionen von den Dateien TAPE 53 - 58 geholt, und zusammen mit den Inputdaten den Programmpaketen AS (A.2.1.2) und TC (A.2.1.3) zur Verfügung gestellt.

### Seitenverzeichnis für Anhang A.2

A.2.1 Programme zur Berechnung der Transportkoeffizienten	140
A.2.1.1 Das PROGRAM COTRACO	141
A.2.1.2 Das Programmpaket AS	157
A.2.1.3 Das Programmpaket TC	182
A.2.2 Programme zur Berechnung der Spektralfunktionen	229
A.2.2.1 Das Programmpaket CMS	229

#### A.2.1.1 Das PROGRAM COTRACO

Input :  $\bar{v}(0)$ ,  $\bar{v}'(0)$ , Zahl der Wechselwirkungen (INTACT), Grad der Polynomentwicklung (IDIMEN), Ende der Polynomentwicklung (WENDPOL), Stützstellenabstand für die numerische Integration (DELTA), Anfangstemperatur (TINIT), Temperaturschrittweite (TSTEP), Zahl der Temperaturschritte (NUMSTEP), Dimension des Funktionenraumes -1 (IDIMEN), Outputsteuerung (IPRINT), Tabellenkennzahl (KENNTAB) - für diesen Unter- raum wird am Ende des Programmlaufes eine Tabelle ausgegeben.

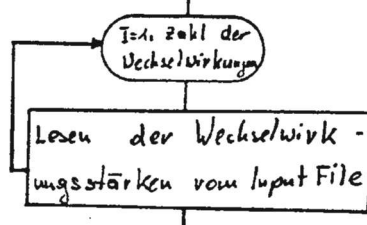
Zweck: Durchführen der Rechnung für die Transportkoeffizienten. Daten der Spektralfunktionen von den Tapes 53-58 lesen und samt Inputdaten den Programm paketen AS und TC zur Verfügung stellen. Ergebnisse der Transportkoeffizienten auf bereitgestellte Dateien (sequentiell) schreiben.

Lesen von Inputfile:

$\text{Mass} (\langle \text{var2} \rangle N) / \text{Dichte}$ ,  $\text{Mass} (\langle \text{var2} \rangle N)' / \text{Dichte}$ ,

Zahl der Wechselwirkungen, Grad der Polynomentwicklungen, Ende der Polynomentwicklung, Abstand der Stützstellen bei numerischer Integration,

Anfangstemperatur, Temperaturschrittweite, Zahl der Temperaturschritte, Dimension des Funktionenraumes, Outputsteuerung, Tabellenkennzahl, Textzeile



Ausgabe des Inputs (vom Input File):

(au/ TAPE 6)

Datum, Zeit, Text;

Stärken der Streupotentiale;

Konstanten der Bandstruktur;

Variablen zur Temperaturkontrolle;

Dimension des Funktionenraumes;

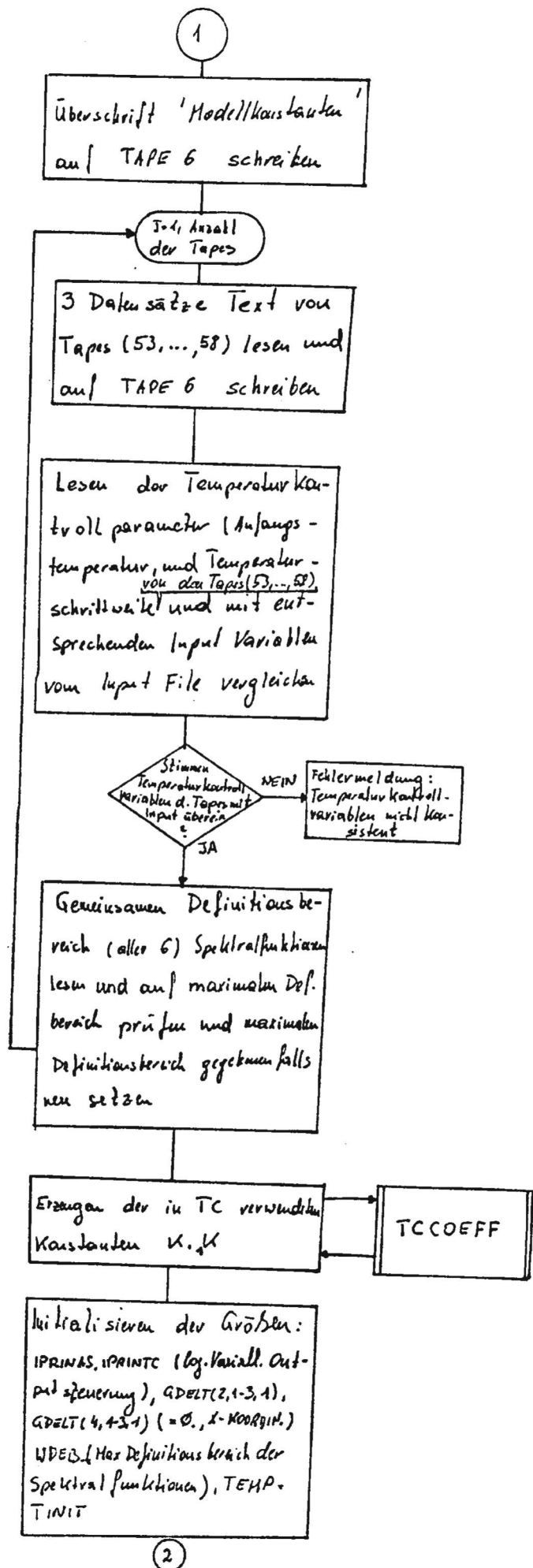
Tabellenkennzahl;

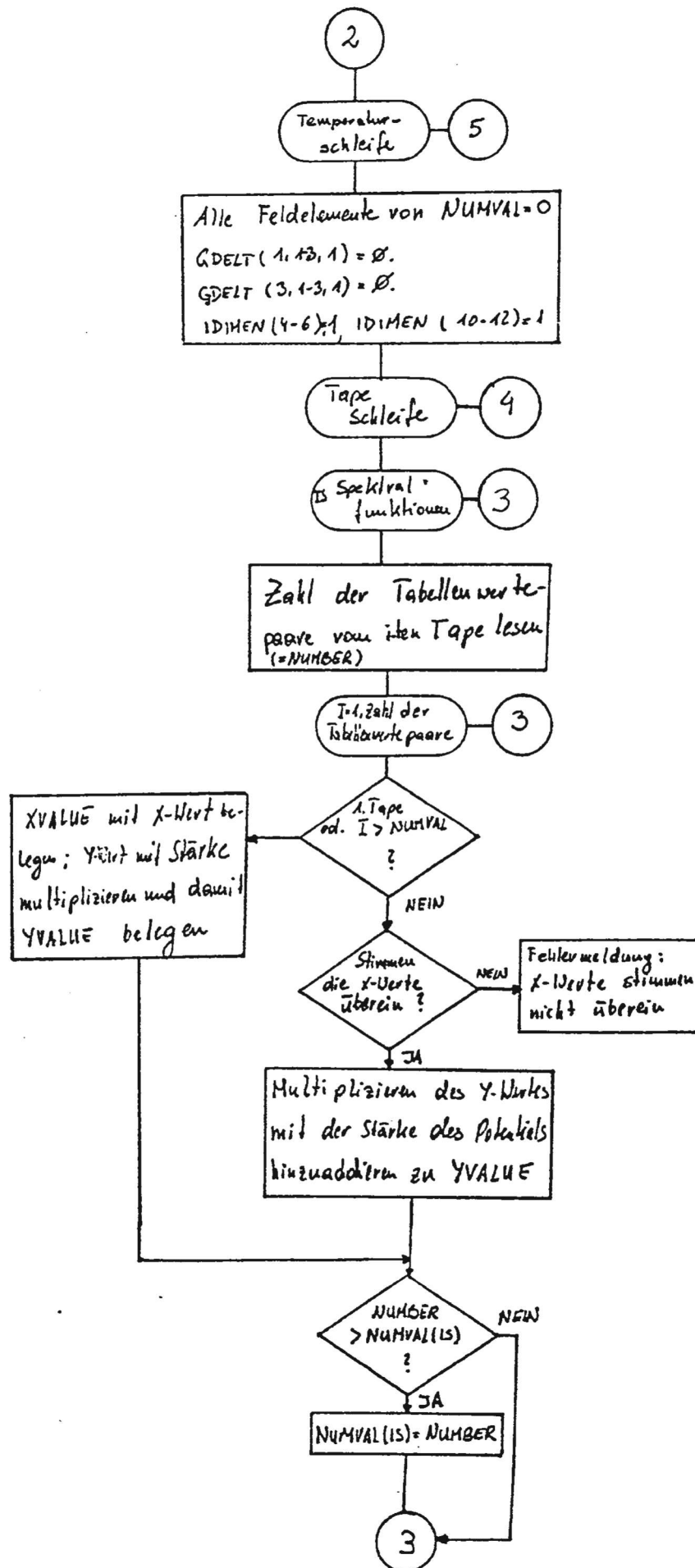
Output Steuerung:

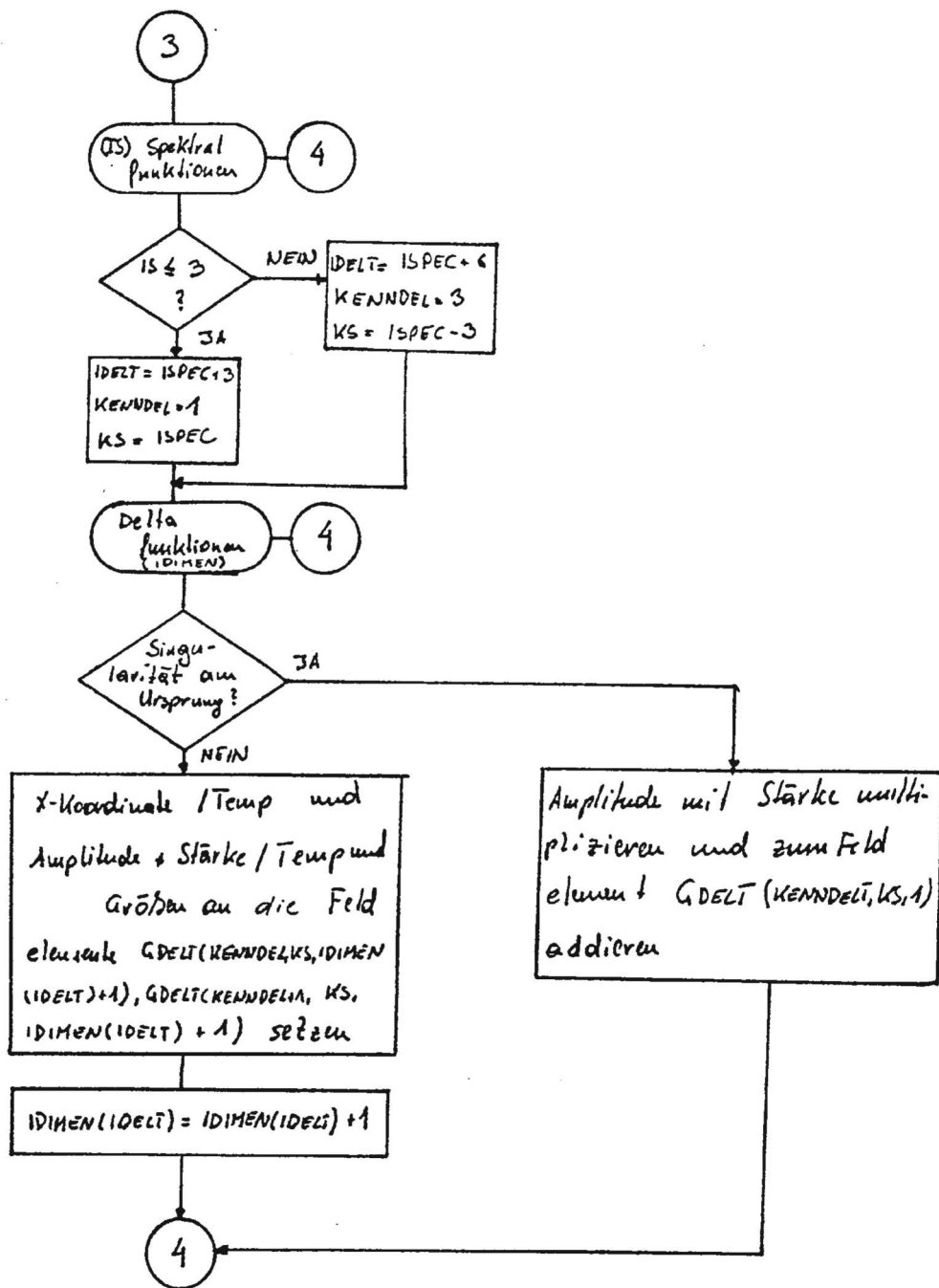
Grad der Polynome, Ende der Polynomentwicklung, Abstand der Stützstellen bei numerischer Integration;

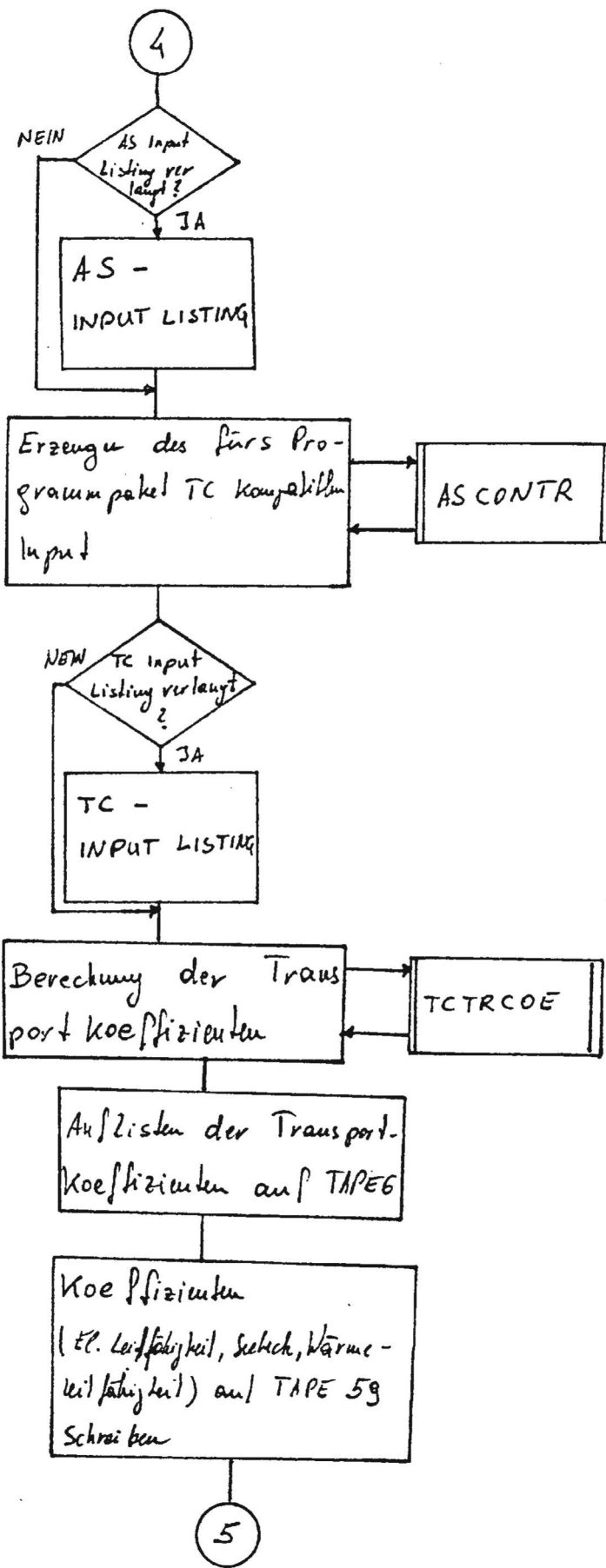
Ausgabe des Inputs (vom Input File) auf TAPE 59

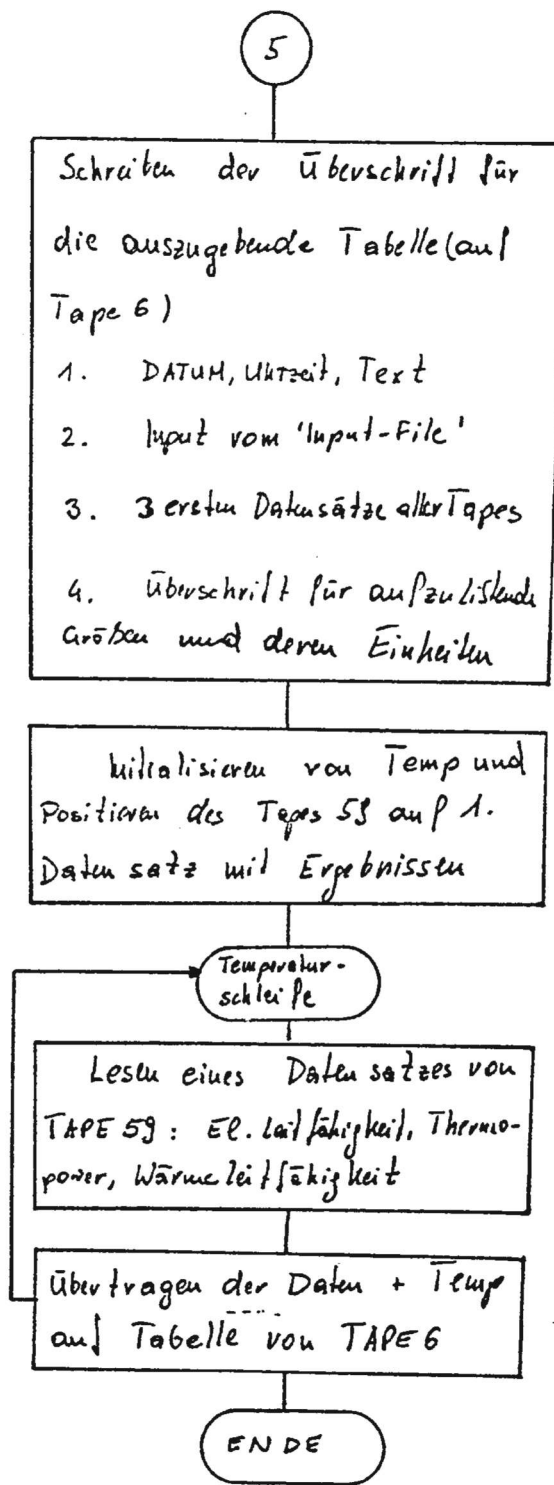
Ausgabe wie auf TAPE 6 nur ohne 'Output - Steuerung'











## PROGRAM COTRACO

C  
C  
C PURPOSE OF ROUTINE: COMPUTE TRANSPORTCOEFFICIENTS  
C INPUT: MODEL-SPECTRALFUNCTIONS ON TAPES 53,...,58  
C INPUT VARIABLES ON INPUT FILE  
C OUTPUT: TRANSPORTCOEFFICIENTS ON TAPE6 AND  
C TAPE 59  
C

C 6-12-1983  
C

C VERSION 1.0  
C

C SOURCE FILE NAME = COTRACO  
C

C-----  
C DECLARATIVE SECTION  
C-----  
C

C PARAMETER (KA=6, MAXPOLY=6, MAXDELT=300, MAXDIM=200,  
C 1MAXTAP=3, INTAPE=52)  
C

C CHARACTER TEXT\*58, DATUM\*10, DATE\*10, ZEIT\*10, TIME\*10, TEXT1\*40  
C

C CHARACTER TEXTAP(MAXTAP,3)\*60  
C

C LOGICAL IPRINAS, IPRINTC  
C

C DIMENSION GPOLY(2,3,0:MAXPOLY), GDELT(4,3,MAXDELT),  
C 1IDIMEN(13), RESEST(0:KA), TERFW(0:KA), HEATCON(0:KA),  
C 1WDEB(6), DELTA(6), NUMVAL(6), XVALUE(6,MAXDIM), YVALUE  
C 1(6,MAXDIM), AMPOTEN(MAXTAP), NUMBER(6), XHELP(MAXDIM),  
C 1YHELP(MAXDIM)  
C

C DATA EPS1, EPS2 /.0001, 1.E-14/  
C

C-----  
C STRUCTURE OF TAPES : TAPE53-TAPE58  
C-----  
C

C AS INPUT DATA TAPES ARE AVAILABLE: TAPE53,...,58  
C

C 1.REC:KIND OF INTERACTION  
C 2.REC:ABSOLUTE STRENGTH  
C 3.REC:MODELLPARAMETER FOR COMPUTATION OF SPECTRALFUNCTIONS  
C 4.REC:INITIAL TEMPERATUR, TEMPERATUR INCREASE P. STEP, NUMBER  
C OF STEPS  
C 5.REC:INTERVAL OF DEFINITION FOR SPECTRALFUNCTIONS (REALV.:WEND)  
C GO:(0,WEND), G1:(-WEND,WEND)  
C

C FOLLOWING RECORDS RESERVED FOR SPECTRALFUNCTIONS (FORMATTED AS):  
C TABLES FOR ALL 6 SPECTRALFUNCTIONS (GO--, ..., G1++)  
C ([NUMBER OF PAIRS [X,Y]]\*6)  
C ([X1,Y1],[X2,Y2],...)\*6  
C DELTAFUNCTIONS  
C (NUMBER OF DELTAFUNCTIONS\*6)  
C ([W1,AMP1],[W2,AMP2],...)\*6  
C ...FOR ALL TEMPERATURES ACCORDING REC.4  
C ...PHYSICAL DIMENSIONS: X=[K], Y=[], AMP=[K], W=[K]  
C '.....' DEFINES ONE RECORD ON THE TAPES

```

C
C-----  

C       EXECUTIVE SECTION  

C-----  

C
67      READ(*,*) VELDEN0,VELDEN1,INTACT,(IDIMEN(I),I=1,3),
68      1(IDIMEN(I),I=7,9),WENDPOL,(DELTA(I),I=1,6),TINIT,TSTEP,
69      INUMSTEP,IDIMEN(13),IPRINT,KENNTAB,TEXT
70
71
72      ANNOTATION OF INPUT PARAMETERS
73
74
75      P. NAME      TYPE      EXPLANATION
76
77      VELDEN0      REAL      MASS*( $\langle v \rangle^2 * N$ )/DENSITY
78
79      VELDEN1      REAL      MASS*( $\langle v \rangle^2 * N$ )'/DENSITY
80
81      INTACT      INT       NUMBER OF INTERACTIONS
82
83      IDIMEN(1-3)  INT       REQUESTED DIMENSION OF POLYNOM
84      FOR G0--,..,G0++
85
86      IDIMEN(7-9)  INT       REQUESTED DIMENSION OF POLYNOM
87      FOR G1--,..,G1++
88
89      WENDPOL      REAL      DEFINES END OF POLYNOMIAL EXPANSION
90      (PHYSIC. DIMENSION: TEMPERATUR)
91
92      DELTA        REAL      STEP LENGTH USED FOR NUMERICAL INTE-
93      GRATION FOR G0--,..,G1++
94      (PHYSIC. DIMENSION: TEMPERATUR)
95
96      TINIT        REAL      STARTING TEMPERATUR
97
98      TSTEP         REAL      TEMPERATUR INCREASE PER STEP
99
100     NUMSTEP      INT       NUMBER OF TEMPERATUR STEPS
101
102     IDIMEN(13)   INT       DIMENSION OF MATRIX OF COLLISION OPERATOR
103
104     IPRINT        INT       =11...AS+TC INPUT LISTING
105                  =10...AS INPUT LISTING
106                  =1 ...TC INPUT LISTING
107                  =0 ...NO INPUT LISTING
108
109     KENNTAB      INT       DIMENSION FOR WHICH FINAL TABLE WILL BE
110      CREATED
111
112     TEXT          CHAR*58  REMARKS FOR CURRENT RUN
113
114     AMPOTEN      REAL      RELATIVE STRENGTHS OF INTERACTIONS
115
116
117      INTACT O.K.?
118
119
120      IF (INTACT.GT.MAXTAP) STOP 'MR COTRACO:INTACT.GT.MAXTAP'
121      IF (KENNTAB.GT.IDIMEN(13)) STOP 'MR COTRACO:KENNTAB TOO LARGE
122
123      READ STRENGTH OF INTERACTIONS

```

- 150 -

```

123
124      C
125          DO 25 IREAD=1,INTACT
126          READ(*,*) AMPOTEN(IREAD)
127          ITAP=IREAD+INTAPE
128          REWIND(ITAP)
129          CONTINUE
130
131      C
132          DATUM=DATE()
133          ZEIT=TIME()
134
135      C           INPUT LISTING
136
137      C           WRITE(6,10) DATUM,ZEIT,TEXT
138      10     FORMAT('1',10X,60('*'),/,11X,'*',,' PROGRAM COTRACO :',
139          1' BERECHNUNG DER TRANSPORTKOEFFIZIENTEN ',,'*',/,11X,'*',
140          158X,'*',/,11X,'*',2X,'AUSGEFUEHRT AM :',A10,'AUSGEFUEH',
141          1'RT UM :',A10,4X,'*',/,11X,'*',58X,'*',/,11X,'*',10X,
142          1'BEMERKUNG ZUM AKTUELLEN PROGRAMMLAUF :',10X,'*',/,11X,
143          1'*',A58,'*',/,11X,'*',58X,'*',/,11X,60('*'),/,11X,
144          110('*'),10X,'I N P U T W E R T E :',10X,10('*'),/)
145
146      C
147          WRITE(6,15)
148      15     FORMAT('0',10X,10('*'),'STAERKEN DER STREUPOTENTIALE',
149          110('*'),/)
150          DO 35 I=1,INTACT
151          WRITE(6,55) I,AMPOTEN(I)
152          FORMAT(11X,'STAERKE DER',I2,'-TEN WECHSELWIRKUNG =',E15.8)
153          CONTINUE
154          WRITE(6,65) VELDEN0,VELDEN1
155          FORMAT('0',/,11X,10('*'),'KUNSTANTEN ABHAENGIG VON ',
156          1'DER BANDSTRUKTUR',10('*'),/,/,
157          111X,'MASS*(<V**2>*N)/DENSITY               =',E15.8,/,,
158          111X,'D(MASS*(<V**2>*N)/DENSITY)/DE        =',E15.8,/)
159          WRITE(6,50) TINIT,TSTEP,NUMSTEP,IDIIMEN(13),KENNTAB,IPRINT
160          FORMAT('0',10X,10('*'),'INPUT FUER DEN TEMPERATURBER',
161          1'EICH',10('*'),/,/,
162          111X,'ANFANGSTEMPERATUR                      =',E10.3,/,,
163          111X,'TEMPERATURDIFFERENZ PRO SCHRITT       =',E10.3,/,,
164          111X,'ZAHL DER TEMPERATURSCHritte            =',I10,/,/
165          1/,11X,10('*'),'DIMENSION DES ',
166          1'FUNKTIONENRAUMES =',I2,10('*'),/,/,11X,10('*'),
167          1'TABELLEN-KENNZAHl =',I3,10('*'),/,/,/
168          111X,10('*'),'OUTPUT STEUERUNG: IPRINT=',I3,10('*'),/)
169          WRITE(6,40) (IDIIMEN(I),I=1,3),(IDIIMEN(I),I=7,9),
170          1WENDPOL
171          FORMAT('0',10X,10('*'),'INPUT FUER DIE POLYNOM',
172          1'ENTWICKLUNG',10('*'),/,/,
173          111X,'GRAD DES POLYNOMS FUER G0--          =',I10,/,,
174          111X,'GRAD DES POLYNOMS FUER G0+-          =',I10,/,,
175          111X,'GRAD DES POLYNOMS FUER G0++          =',I10,/,,
176          111X,'GRAD DES POLYNOMS FUER G1--          =',I10,/,,
177          111X,'GRAD DES POLYNOMS FUER G1+-          =',I10,/,,
178          111X,'GRAD DES POLYNOMS FUER G1++          =',I10,/,,
179          111X,'ENDE DER POLYNOMENTWICKLUNG [KELVIN] =',E15.8,
180          1/)
181          WRITE(6,410) (DELTA(I),I=1,6)
182
183      C           READ MODELLPARAMETERS FROM TAPES 53,54,...,58
184      C           AND WRITE HEADER OF TAPE59

```

```

184
185
186      NUMO=0
187      WEND=0.
188      WRITE(59,60) DATUM,ZEIT,TEXT
189      60  FORMAT(2A10,A58)
190      WRITE(59,*) INTACT,(AMPOTEN(I),I=1,INTACT),VELDEN0,
191      1VELDEN1,(IDIMEN(I),I=1,3),(IDIMEN(I),I=7,9),WENDPOL,
192      1(DELTA(I),I=1,6),TINIT,TSTEP,NUMSTEP,IDIMEN(13),KENNTAB
193      WRITE(6,75)
194      75  FORMAT('0',10X,10('*')), 'MODELLPARAMETER DER SPEKTRAL',
195      1'FUNKTIONEN',10('*'),/
196
197      C
198      DO 85 ICOUNT=1,INTACT
199      ITAPE=ICOUNT+INTAPE
200      DO 95 I=1,3
201      READ(ITAPE,275) TEXTAP(ICOUNT,I)
202      275 FORMAT(A60)
203      WRITE(6,105) TEXTAP(ICOUNT,I)
204      105 FORMAT(11X,A60)
205      WRITE(59,275) TEXTAP(ICOUNT,I)
206      95  CONTINUE
207
208      C
209      C
210      C          READ TEMPERATUR CONTROL VARIABLES
211
212      C
213      READ(ITAPE,*) TINIT1,TSTEP1,NSTEP
214      IF (ABS(TINIT1-TINIT).GT.EPS1.OR.ABS(TSTEP-TSTEP1).GT.
215      1EPS1) STOP 'MR COTRACO: TEMP DATA ERROR'
216      IF (NUSTEP.GT.NUMO) NUMO=NSTEP
217
218      C
219      C          DEFINITIONSBEREICH DER SPEKTRALFUNKTIONEN LESEN
220
221      C
222      READ(ITAPE,*) WENDSF
223      IF (WENDSF.GT.WEND) WEND=WENDSF
224      85  CONTINUE
225      IF (NUMO.LT.NUMSTEP) STOP 'MR COTRACO: TAPES NOT COMPLETE'
226      IF (WENDPOL.GT.WEND) STOP 'MR COTRACO: WENDPOL.GT.WEND'
227
228      C
229      C          INITIALIZE VARIABLES
230
231      C
232      DO 205 I=1,6
233      WDEB(I)=WEND
234      205  CONTINUE
235      IPRINAS=.FALSE.
236      IPRINTC=.FALSE.
237      IF (IPRINT/10.EQ.1) IPRINAS=.TRUE.
238      IPRINT=MOD(IPRINT,10)
239      IF (IPRINT.EQ.1) IPRINTC=.TRUE.
240      Y=TCCOEFF(-IDIMEN(13),KA,0,0)
241      DO 80 I=1,3
242      GDELT(2,I,1)=0.
243      GDELT(4,I,1)=0.
244      80  CONTINUE
245      TEMP=TINIT
246      IDIM=IDIMEN(13)
247
248      C
249      C          START TEMPERATUR LOOP
250
251      C
252      DO 120 ISTEP=1,NUMSTEP
253
254      C          RESET VARIABLES NUMVAL IDIMEN GDELT

```

- 152 -

```

5
6      DC 215 I=1,3
7      NUMVAL(I)=0
8      NUMVAL(I+3)=0
9      IDIMEN(I+3)=1
10     IDIMEN(I+9)=1
11     GDELT(1,I,1)=0.
12     GDELT(3,I,1)=0.
13
14 215   CONTINUE
15
16  C
17  C      READ SPECTRALFUNCTIONS FROM TAPES
18  C
19  DO 225 ICOUNT=1,INTACT
20  ITAPE=ICOUNT+INTAPE
21  READ(ITAPE,*) (NUMBER(I),I=1,6)
22  DO 235 ISPEC=1,6
23  IF (NUMBER(ISPEC).LE.0) GOTO 235
24  NUM=NUMBER(ISPEC)
25  READ(ITAPE,*) (XHELP(I),YHELP(I),I=1,NUM)
26  DO 425 IVAL=1,NUM
27  IF (I.GT.NUMVAL(ISPEC)) THEN
28    XVALUE(ISPEC,IVAL)=XHELP(IVAL)
29    YVALUE(ISPEC,IVAL)=YHELP(IVAL)*AMPCTEN(ICOUNT)
30  ELSE
31    IF (ABS(XVALUE(ISPEC,IVAL)-XHELP(IVAL)).GT.EPS1) THEN
32      STOP 'MR COTRACO:XVALUES NOT CONSISTENT'
33    ELSE
34      YVALUE(ISPEC,IVAL)=YVALUE(ISPEC,IVAL)+YHELP(IVAL)*
35  1AMPOTEN(ICOUNT)
36  ENDIF
37  ENDIF
38 425   CONTINUE
39  IF (NUM.GT.NUMVAL(ISPEC)) NUMVAL(ISPEC)=NUM
40
41 235   CONTINUE
42
43  C
44  C      READ DELTA FUNKTIONS FROM TAPES
45  C
46  READ(ITAPE,*) (NUMBER(I),I=1,6)
47  DO 225 ISPEC=1,6
48  IF (NUMBER(ISPEC).LE.0) GOTO 225
49  IF (ISPEC.LE.3) THEN
50    IDELT=ISPEC+3
51    KENDEL=1
52    KS=ISPEC
53  ELSE
54    IDELT=ISPEC+6
55    KENDEL=3
56    KS=ISPEC-3
57  ENDIF
58  NUM=NUMBER(ISPEC)
59  READ(ITAPE,*) (XHELP(I),YHELP(I),I=1,NUM)
60  DO 435 I=1,NUM
61  IF (ABS(XHELP(I)).LT.EPS2) THEN
62    GDELT(KENDEL,KS,1)=GDELT(KENDEL,KS,1)+YHELP(I)*AMPCTEN
63  1(ICOUNT)/TEMP
64  ELSE
65    GDELT(KENDEL,KS,IDIMEN(IDELT)+1)=YHELP(I)*AMPCTEN(ICOUNT)
66  1/TEMP
67    GDELT(KENDEL+1,KS,IDIMEN(IDELT)+1)=XHELP(I)/TEMP
68    IDIMEN(IDELT)=IDIMEN(IDELT)+1
69  ENDIF

```

- 153 -

```
435    CONTINUE
225    CONTINUE
C
C          A S - INPUT LISTING
C
1      IF (IPRINAS) THEN
2      WRITE(6,180) TEMP
3      FORMAT('1',10X,'A S - I N P U T',10X,'TEMP=',E10.3,/,,/)
4      DO 165 ISPEC=1,6
5      MAX=NUMVAL(ISPEC)
6      WRITE(6,150) ISPEC
150    FORMAT('0',10X,I2,'-TE SPEKTRALFUNKTION - TABELLE',
7      1' X1 Y1 , X2 Y2 . . . ',/)
8      DO 155 IDIS=1,MAX,2
9      WRITE(6,195) XVALUE(ISPEC,IDIS),YVALUE(ISPEC,IDIS),
10     1XVALUE(ISPEC,IDIS+1),YVALUE(ISPEC,IDIS+1)
155    CONTINUE
11     IF (ISPEC.LE.3) THEN
12     IDELT=ISPEC+3
13     KENDEL=1
14     KS=ISPEC
15     ELSE
16     IDELT=ISPEC+6
17     KENDEL=3
18     KS=ISPEC-3
19     ENDIF
20     MAXD=IDIMEN(IDEKT)
21     WRITE(6,175)
22     FORMAT(11X,'DELTAFUNKTIONEN ',' X-KORDINATE1 ',
23     1' AMPLITU1 , X-KORDINATE2 AMPLITU2...',)
24     IF (MOD(MAXD,2).EQ.0) THEN
25     MAXL=MAXD
26     ELSE
27     MAXL=MAXD-1
28     ENDIF
29     DO 185 I=1,MAXL,2
30     WRITE(6,195) GDELT(KENDEL+1,KS,I)*TEMP,GDELT(KENDEL,KS,I)*
31     TEMP,
32     1 GDELT(KENDEL+1,KS,I+1)*TEMP,GDELT(KENDEL,KS,I+1)*TEMP
33     FORMAT(11X,2(E13.6,3X),',',3X,2(E13.6,3X))
34     185  CONTINUE
35     IF (MAXL.NE.MAXD) THEN
36     WRITE(6,195) GDELT(KENDEL+1,KS,MAXD)*TEMP,GDELT
37     1(KENDEL,KS,MAXD)*TEMP
38     ENDIF
39     165  CONTINUE
40     ENDIF
C
C
C          CALL ASCTR(XVALUE,YVALUE,MAXDIM,NUMVAL,IDIMEN,
41     1WENDPOL,DELTA,WDEB,TEMP,GPOLY,GDELT,MAXPOLY,MAXDELT)
C
C
C          T C - INPUT LISTING
C
C
1      IF (IPRINTC) THEN
2      WRITE(6,200) TEMP
```

- 154 -

```

200  FORMAT('1',10X,'T C - I N P U T',10X,'TEMP=',E10.3,/,/
      1,/)
      DO 210 IPRINT=1,3
      MAXP=IDIMEN(IPRINT)
      MAXD=IDIMEN(IPRINT+3)
      WRITE(6,220) IPRINT,(GPOLY(1,IPRINT,I),I=0,MAXP)
220  FORMAT(11X,I2,'-TE SPEKTRALFUNKTION',/,/,11X,'POLYNOM',
      1'KOEFFIZIENTEN (0-6)',/,,(11X,5(E10.3,3X),/))
      WRITE(6,175)
      DO 210 IDELT=1,MAXD,2
      WRITE(6,195) GDELT(2,IPRINT,IDEKT),GDELT(1,IPRINT,IDEKT),
      1GDELT(2,IPRINT,IDEKT+1),GDELT(1,IPRINT,IDEKT+1)
250  FORMAT(11X,2(E10.3,4X))
210  CONTINUE
      DO 260 IPRINT=1,3
      MAXP=IDIMEN(IPRINT+6)
      MAXD=IDIMEN(IPRINT+9)
      WRITE(6,220) IPRINT+3,(GPOLY(2,IPRINT,I),I=0,MAXP)
      WRITE(6,175)
      DO 260 IDELT=1,MAXD,2
      WRITE(6,195) GDELT(4,IPRINT,IDEKT),GDELT(3,IPRINT,IDEKT),
      1GDELT(4,IPRINT,IDEKT+1),GDELT(3,IPRINT,IDEKT+1)
260  CONTINUE
      ENDIF
C
C
C
C
      CALL TCTRCOE(GPOLY,GDELT,IDLIMEN,KA,MAXPOLY,MAXDELT,
      1WENDPOL,VELDEN0,VELDEN1,TEMP,REEST,TERPOW,HEATCON)
C
C
C
      WRITE(6,300) TEMP
300  FORMAT('1',10X,10('*'),'ERGEBNISSE',10('*'),10X,
      1'TEMP=',E10.3,/,/,/
      111X,'ELECTRICAL RESISTIVITY [MIKROOHM*CM]:',/)
      WRITE(6,310) (REEST(I),I=0,KA)
310  FORMAT((11X,4(E15.8,3X),/))
      WRITE(6,320)
320  FORMAT('0',10X,'THERMOPOWER [MIKROVOLT/KELVIN] :',/)
      WRITE(6,310) (TERPOW(I),I=0,KA)
      WRITE(6,330)
330  FORMAT('0',10X,'HEAT CONDUCTIVITY [MILIWATT/(CM*',1
      1'K)] :',/)
      WRITE(6,310) (HEATCON(I),I=0,KA)
      WRITE(59,*) (REEST(I),I=0,IDLIM),(TERPOW(I),I=0,IDLIM),
      1(HEATCON(I),I=0,IDLIM)
      TEMP=TEMP+TSTEP
120  CONTINUE
C
C
      WRITE HEADER OF TABLE OF TRANSPORTKOEFFICIENTS ON TAPE6
C
C
C
      STRUCTUR OF TAPE59
C
C
C
      1.REC:DATE,TIME,TEXT*58(REMARKS TO CURRENT RUN)
      2.REC:NUMBER OF INTERACTIONS,STRENGTHS OF INTERACTIONS,
      MASS*(<V**2>*N)/DENSITY,MASS*(<V**2>*N)/DENSITY,
      DIMENSION OF POLYNOMS(G0--,..,G1++),END OF POLY

```

- 155 -

```

C      NOMIAL EXPANSION([K]),STEP LENGTH FOR NUMERICAL
C      INTEGRATION OF GO---,...,G1++ ([K]),STARTING TEMPERATUR,
C      TEMPERATUR INCREASE PER STEP,NUMBER OF STEPS,DIMENSION
C      OF MATRIX OF COLLISION OPERATOR (G-DIM)
C
C      ...NEXT (3*NUMBER OF INTERACTIONS)-REC :TEXT OF TAPES 53...,58
C
C      ...TRANSPORTCOEFFICIENTS (FORMATTED AS):
C      (EL.RESESTIVITY*[IDIM+1],THERMCPOWER*[IDIM+1],
C      HEATCONDUCTIVITY*[IDIM+1])
C      PHYSIC. DIMENSION:(MIKROOHM*CM,MIKROVOLT/K,MILIWATT/(K*CM))
C
C
C      (.....)    DEFINES CNE REC. ON TAPE59
C
C-----
C      WRITE(6,240) DATUM,ZEIT,TEXT
240      FORMAT('1',10X,10('*'),'PROGRAM COTRAC0',10('*'),/,/
111X,'AUSGEFUEHRT AM:',A10,2X,'AUSGEFLEHRT UM:',A10,/,/
111X,'BEMERKUNGEN ZUM AKTUELLEN PROGRAMMLAUF:',/,/
111X,A58,/)
      WRITE(6,245) (AMPOTEN(I),I=1,INTACT)
245      FORMAT('0',10X,'STAERKEN DER WECHSELWIRKUNGEN: STAER',
1'KE1,STAERKE2...',/,11X,4(E15.8,' ',',',2X),/))
      WRITE(6,255) VELDEN0,VELDEN1
255      FORMAT(11X,'KONSTANTEN ABHAENGIG VON DER BAND',
1'STRUKTUR',/,11X,'MASS*<V**2>*N/DENSITY =',E15.8,2X,/,/
111X,'D(MASS*<V**2>*N/DENSITY)/DE =',E15.8)
      WRITE(6,405)
405      FORMAT(11X,'MODELLPARAMETER DER SPEKTRALFUNKTIONEN')
      DO 315 I=1,INTACT
      DO 315 J=1,3
      WRITE(6,325) TEXTAP(I,J)
325      FORMAT(11X,A60)
315      CONTINUE
      WRITE(6,265) (IDIMEN(I),I=1,3),(IDIMEN(I),I=7,9)
265      FORMAT(11X,'INPUTPARAMETER ZUR POLYNOMENTWICKLUNG',
1' UND INTEGRATION',/,11X,'GRAD DER POLYNOME (GO---,...',
1',G1++) :',/,11X,6(I2,',',3X),/))
      WRITE(6,285) WENDPOL
      WRITE(6,410) (DELTA(I),I=1,6)
410      FORMAT(11X,'STUETZSTELLENABSTAND BEI NUMERISCHER INTE',
1'GRATION',/,11X,'GO---,...,G1++ :',/,/
1(11X,3(E15.8,',',',',3X),/))
      FORMAT(11X,'ENDE DER POLYNOMENTWICKLUNG      =',E15.6)
      WRITE(6,295) TINIT,TSTEP,NUMSTEP
295      FORMAT(11X,'INPUT ZUR TEMPERATURSTEILERUNG',/,
111X,'ANFANGSTEMPERATUR=',E15.8,3X,'TEMP.SCHRITTWEITE=',/
1E15.8,/,11X,'ZAHL DER SCHRITTE=',I5)
      WRITE(6,305) IDIMEN(13),KENNTAB
305      FORMAT(11X,'GROESSE DES FUNKTIONENRAUMES: 0-',I1,/,/
111X,'TABELLE WIRD FUER',I2,'-TE DIMENSION ANGELEGT')
C
C      GET DATA FROM TAPE 59
C
C
REWIND(59)
READ(59,*) DUMMY
READ(59,*) X
TEMP=TINIT
DO 415 ITAP=1,3*INTACT
READ(59,275) DUMMY

```

- 156 -

```
415  CONTINUE
      WRITE(6,335)
335  FORMAT('0',10X,10('*'),'ERGEBNISSE IN TABELLENFORM',
      110('*'),/,11X,'EL. RESESTIVITY',4X,'THERMOPOWER',7X,
      1'HEAT CONDUCT.',4X,'TEMP',/,11X,['MIKROOHM*CM'],5X,
      1' [MIKROVOLT/K]',5X,['MILIWATT/(CM*K)'],1X,['K'],/)
      DO 340 ITAB=1,NUMSTEP
      READ(59,*) (REEST(I),I=0,1DIM),(TERPOW(I),I=0,1DIM),
      1(HEATCON(I),I=0,1DIM)
      WRITE(6,345) REEST(KENNTAB),TERPOW(KENNTAB),HEATCON
      1(KENNTAB),TEMP
345  FORMAT(11X,4(E15.8,2X))
      TEMP=TEMP+TSTEP
340  CONTINUE
      STOP
      END
```

### A.2.1.2 Das Programmpaket AS

Das Programmpaket AS dient dazu, 6 Spektralfunktionen,  $G_{--}^0 \dots G_{++}^1$ , gegeben in der Form

$$G(\Omega) = \begin{array}{|c|c|} \hline \Omega & G(\Omega) \\ \hline : & : \\ : & : \\ : & : \\ \hline \end{array} + \sum_j b_j \delta(\Omega - \Omega_j)$$

in die Form

$$G(\Omega) = \sum_i a_i \omega^i + \sum_k \bar{b}_k \delta(\omega - \omega_k) \quad (\omega = \beta \Omega)$$

überzuführen.

#### Seitenverzeichnis für die Programmeinheiten

SUBROUTINE	ASCONTR	158
SUBROUTINE	ASPOLCO	166
SUBROUTINE	ASDELTA	174
SUBROUTINE	ASINPO1	178
SUBROUTINE	ASLIEQS	179

## SUBROUTINE ASCONTR

Zweck: Überführen der Spektralfunktionen von der Form

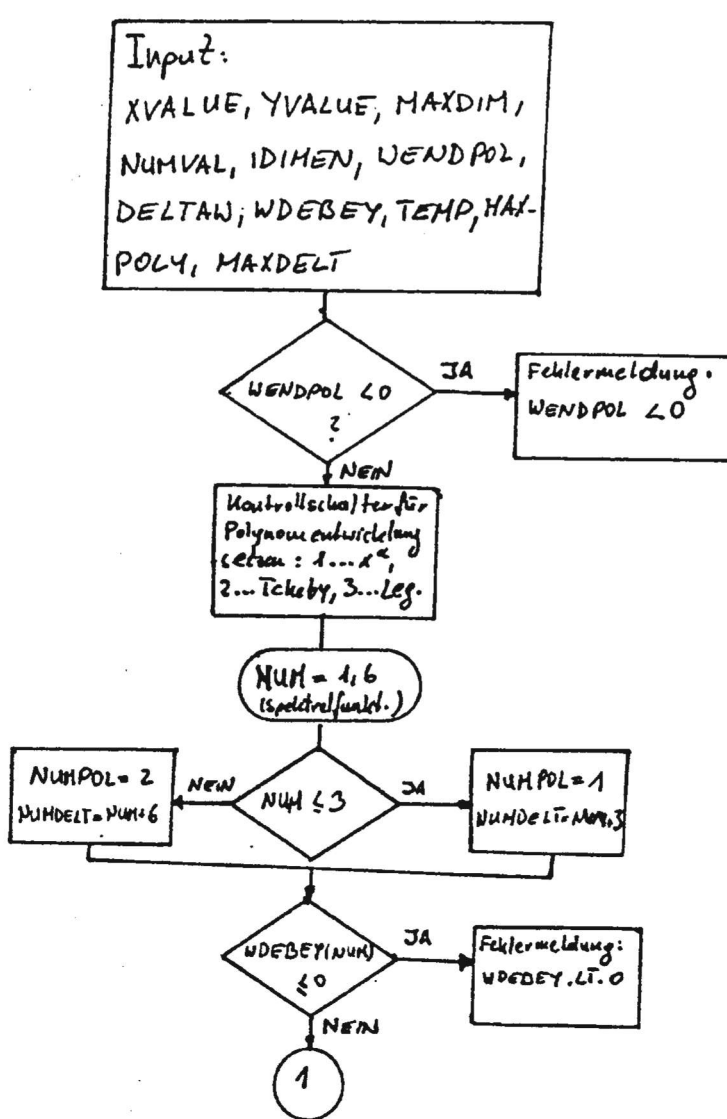
$$G(x) = \boxed{\sum_i g_i(x)} + \sum_j b_j \delta(x-x_j)$$

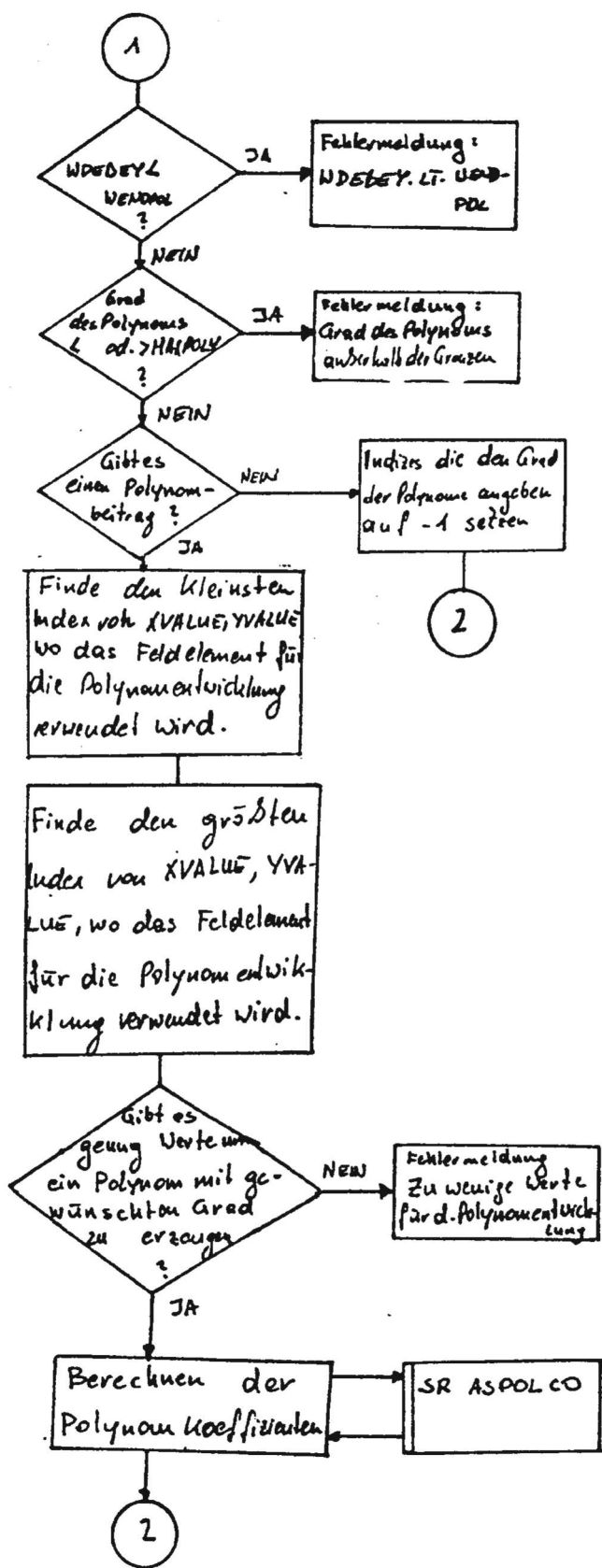
in die Form

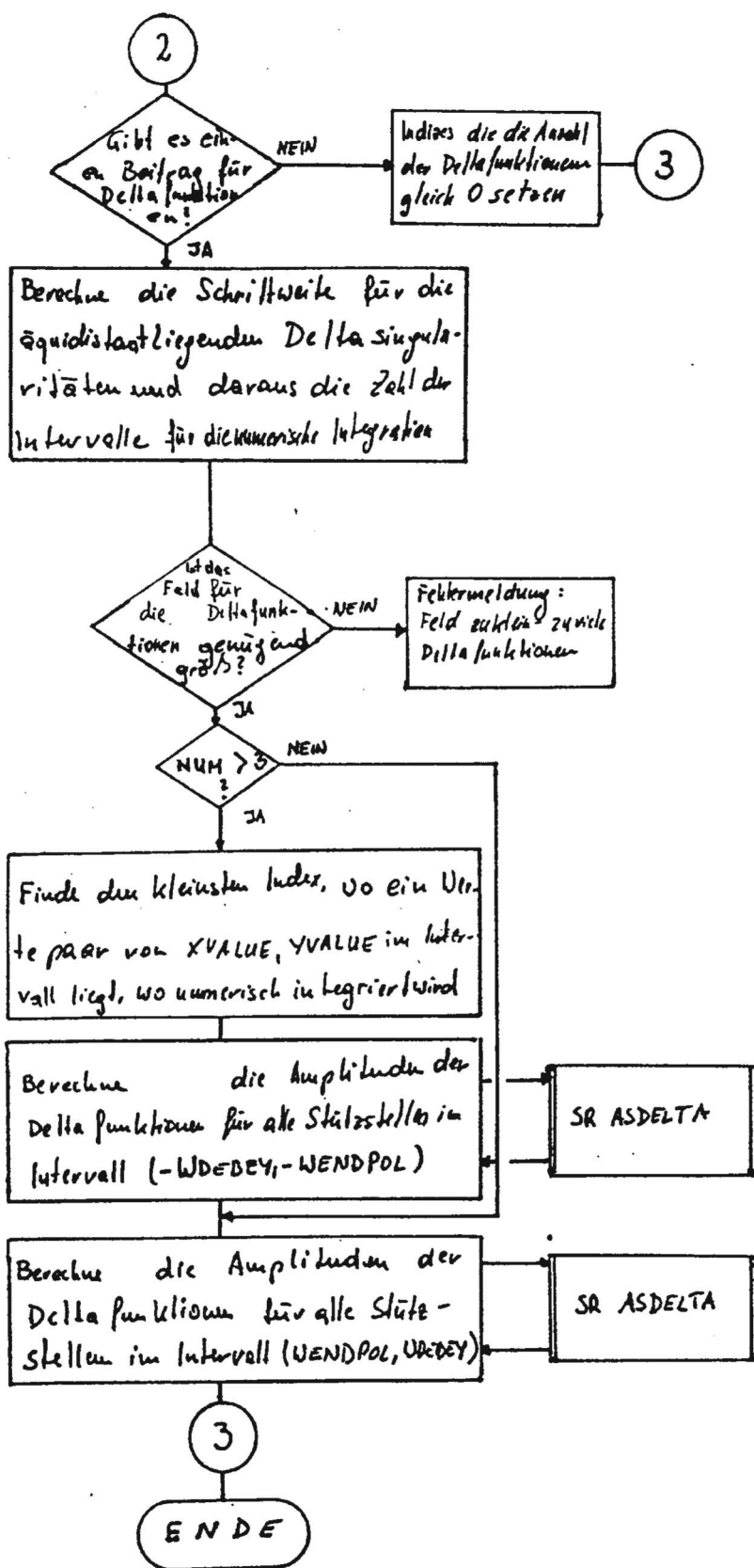
$$G(x) = \sum_i a_i \omega^i + \sum_k \bar{b}_k \delta(\omega-\omega_k)$$

Input: Tabellierte Funktionen (XVALUE, YVALUE), Max. Dimension dieser Felder (MAXDIM), Verwendete Indizes für GPOLY und GDELT (IDIMEN), Ende der Polynomentwicklung (WENDPOL), Schrittweite bei der numerischen Integration (DELTAW), obere Grenze des Definitionsbereiches der Spektralfunktionen (WDEBEY), Temperatur (TEMP), Max. Dimension von GPOLY und GDELT (MAXPOLY, MAXDELT)

Output: Koeffizienten der Polynome (GPOLY), Deltafunktionen X-Koordinaten der Singularitäten, Amplituden (GDELT)







1  
2 SUBROUTINE ASCONTR(XVALUE,YVALUE,MAXDIM,NUMVAL,IDLIMEN,  
3 WENDPOL,DELTAW,WDEBEY,TEMP,GPOLY,GDELT,MAXPULY,  
4 MAXDELT)

5 C GENERAL PURPOSE: ADAPT SPECTRAL-FUNCTIONS TO  
6 TC INPUT CONDITIONS

7 C  
8 C HOST = CYBER 720  
9 C COMPILER = FOR5 RZ-TU VERSION 23-9-83  
0 C PURPOSE OF ROUTINE = COMPUTE POLYNOM COEFFICIENTS AND  
1 C DELTA-AMPLITUDES FOR ALL SPECTRAL  
2 C FUNCTIONS  
3 C VERSION = 1.0  
4 C DATE = 25-10-1983  
5 C SOURCE FILENAME = ASCONTR  
6 C AUTHOR = O. EIBL

7 C ANNOTATION OF DUMMY PARAMETERS  
8 C \*\*\*\*\*  
9 C

P.	NAME	TYPE	I/O	EXPLANATION
	XVALUE	REAL	I	X-DATA OF SPECTRAL FUNCTIONS (PHYSIC. DIMENSION: TEMPERATUR)
	YVALUE	REAL	I	Y-DATA OF SPECTRAL FUNCTIONS (PHYSIC. DIMENSION: 0 FOR G0 [1/K] FOR G1)
	MAXDIM	INT	I	MAX. INDEX AVAILABLE FOR XVALUE AND YVALUE
	NUMVAL	INT	I	NUMBER OF INITIALIZED DATA IN XVALUE AND YVALUE
	IDLIMEN	INT	I/O	IDLIMEN(1-3)... INDICES FOR GPOLY(1,,) IDLIMEN(4-6)... GDELT(1,,) IDLIMEN(7-9)... GPOLY(2,,) IDLIMEN(10-12)... GDELT(3,,)
	WENDPOL	REAL	I	CUT OFF FOR POLYNOMIAL PART OF G0 AND G1 (PHYSIC. DIMENSION: TEMPERATUR)
	DELTAW	REAL	I	STEP WIDTH FOR NUMERICAL INTEGRATION (PHYSIC. DIMENSION: TEMPERATUR)
	WDEBEY	REAL	I	DEBEY TEMPERATUR (PHYSIC. DIMENSION: TEMPERATUR)
	TEMP	REAL	I	TEMPERATUR
	GPOLY	REAL	O	POLYNOM COEFFICIENTS FOR G0 AND G1 (PHYSIC. DIMENSION: 0 FOR G0 [1/K] FOR G1)
	GPOLY(I1,I2,J)			I1=1...G0 I2=1...G0-- I2=2...G0+- I2=3...G0++ I1=2...G1

- 162 -

```

2      GDELT    REAL   I/O   DELTA AMPLITUDES AND X-COORDINATES
3      C           OF DELTA-SINGULARITIES
4      C           GDELT(11,I2,J)   I1=1...GO DELTA-AMPLITUDES
5      C           (PHYSIC. DIMENSION: 0)
6      C           2...GO X-COORDINATES OF DELTA-
7      C           SINGULARITIES
8      C           (PHYSIC. DIMENSION: 0)
9      C           3...G1 DELTA-AMPLITUDES
0      C           (PHYSIC. DIMENSION: [1/K])
1      C           4...G2 X-COORDINATES OF DELTA-
2      C           SINGULARITIES
3      C           (PHYSIC. DIMENSION: 0)
4      C           (FOR I2 SEE GPOLY)

5      MAXPOLY   INT   I   MAX. NUMBER OF POLYNOM COEFFICIENTS
6      C           AVAILABLE

7      MAXDELT   INT   I   MAX. NUMBER OF DELTA FUNCTIONS
8      C           AVAILABLE
9
C-----C
C      DECLARATIVE SECTION
C-----C

C      DIMENSION XVALUE(6,MAXDIM),YVALUE(6,MAXDIM),NUMVAL(6),
1      IDIMEN(13),DELTAW(6),GPOLY(2,3,0:MAXPOLY),GDELT(4,3,
2      1MAXDELT),WDEBEY(6)

C      DATA HALZERO,QOFUNPA,EPS /1.3,10.6,1.E-12/
C-----C
C      EXECUTIVE SECTION
C-----C

C      IF (WENDPOL.LT.0.) STOP 'SR ASCCTR: WENDPOL.LT.0'
C
C      SET ISWITCH
C
C      ISWITCH=2
C      HALBTEM=HALZERO*TEMP
C
C      START LOOP FOR SPECTRAL FUNCTIONS
C
C      DO 50 NUM=1,6
C      IF (NUM.LE.3) THEN
C          NUMPOL=NUM
C          NUMDELT=NUM+3
C      ELSE
C          NUMPOL=NUM+3
C          NUMDELT=NUM+6
C      ENDIF
C
C      ARE INPUT DATA O.K.?
C
C      IF (WDEBEY(NUM).LE.0.) STOP 'SR ASCCTR: WDEBEY.LE.0'
C      IF (WDEBEY(NUM).LT.WENDPOL) STOP
1      'SR ASCCTR: WDEBEY.LT.WENDPOL'
C
C      IS THERE A POLYNOMIAL CONTRIBUTION ?
C
C      IF (WENDPOL.GT.EPS) THEN

```

```

3      C
4      IF (IDIMEN(NUMPOL).GT.MAXPCLY.OR.IDIMEN(NUMPOL).LT.0)
5      1STOP 'SR ASCNTR:IDIMEN(NUMPOL) OUT OF RANGE'
6      C
7      C      COMPUTE LOWER INDEX BOUNDARY
8      C
9      IF (NUM.LE.3) THEN
10     ILOWER=1
11     ELSE
12     DO 100 I=1,NUMVAL(NUM)
13     IF (XVALUE(NUM,I).GE.-WENDPOL) GOTO 150
14     CONTINUE
150    STOP 'SR ASCNTR:REQUESTED NEGATIVE X-VALUE NOT FOUND'
160    ILOWER=I
170    ENDIF
180
190    C      COMPUTE UPPER INDEX BOUNDARY
200
210    DO 200 I=ILOWER,NUMVAL(NUM)
220    IF (XVALUE(NUM,I).GT.WENDPCL) GOTO 250
230    CONTINUE
240    IUPPER=NUMVAL(NUM)
250    GOTO 300
260    IUPPER=I-1
270
280    C      CHECK IF THERE ARE ENOUGH DATA FOR REQUESTED
290    POLYNOM DIMENSION
300
310    IF (IUPPER-ILOWER.LT.IDIMEN(NUMPOL)) STOP
320    1'SR ASCNTR:TOO FEW DATA TO COMPUTE REQUESTED COEFF.S'
330
340    C      COMPUTE POLYNOM-COEFFICIENTS
350
360    EGRENZE=WENDPOL
370    IF (NUM.LE.3) THEN
380      UGRENZE=0.
390    ELSE
400      UGRENZE=-WENDPOL
410    ENDIF
420    CALL ASPOLCO(XVALUE,YVALUE,MAXDIM,ILOWER,IUPPER,NUM,
430    1UGRENZE,UGRENZE,GPOLY,IDIMEN(NUMPOL),MAXPOLY,TEMP,ISWITCH)
440    ELSE
450      DO 210 I=1,3
460      IDIMEN(I)=-1
470      IDIMEN(I+6)=-1
480    CONTINUE
490    ENDIF
500
510    C      COMPUTE DELTA - AMPLITUDES
520
530
540    C      COMPUTE STEP LENGTH
550
560    IF (WDEBEY(NUM)-WENDPOL.GT.0.) THEN
570    IF ((DELTAW(NUM).GT.HALBTEM.AND.WENDPOL.LT.DELTAW(NUM)*
580    1QDFUNPA).OR.DELTAW(NUM).LE.0.) THEN
590      DELTW=MAX(HALBTEM,WENDPOL/QDFUNPA)
600      WRITE(6,80) DELTAW(NUM),DELTW
610    FORMAT('0',10X,5('*'),'WARNING MESSAGE FROM SR ASCNTR:,,,',
620    111X,5('*'),'REQUESTED STEP LENGTH FOR NUMERICAL INTEGRATION',
630    111X,5('*'))

```

- 164 -

```

1' TOO BIG OR.LE.0',/,11X,5(''),'REQUESTED STEP LENGTH=',  

1E15.8,2X,'USED STEP LENGTH=',E15.8,/)'  

ELSE  

  DELTH=DELTAW(NUM)  

ENDIF  

  NUMINT=INT((WDEBEY(NUM)-WENDPOL)/DELTH)+1  

  DELTH=(WDEBEY(NUM)-WENDPOL)/FLOAT(NUMINT)

C  

C          ARE THERE ENOUGH ARRAY ELEMENTS AVAILABLE ?  

C  

IF (NUM.LE.3) THEN  

  IF (IDIMEN(NUMDELT)+NUMINT+1.GT.MAXDELT) STOP  

1  'SR ASCTR: TOO FEW DELTA FUNCTIONS AVAILABLE FOR GO'  

ELSE  

  IF (IDIMEN(NUMDELT)+2*(NUMINT+1).GT.MAXDELT) STOP  

1  'SR ASCTR: TOO FEW DELTA FUNCTIONS AVAILABLE FOR G1'  

ENDIF

C  

C          COMPUTE DELTA AMPLITUDES AND X-COORDINATES OF  

C          SINGULARITIES  

C  

IF (NUM.LE.3.AND.WENDPOL.LE.0.) IHELP=1  

IF (NUM.GT.3) THEN  

  IF (WENDPOL.LE.0.) THEN  

    DO 160 I=1,NUMVAL(NUM)  

    IF (XVALUE(NUM,I).GE.-WDEBEY(NUM).AND.XVALUE(NUM,I).  

1 LE.0.) GOTO 90  

160  CONTINUE  

    STOP 'SR ASCTR: NO DATA IN LOWER INTERVAL'  

  IHELP=I  

  I=I-1  

  ELSE  

    DO 60 I=ILOWER,1,-1  

    IF (XVALUE(NUM,I).LT.-WDEBEY(NUM)) GOTO 70  

60    CONTINUE  

    I=0  

  ENDIF

C  

C          COMPUTE DELTA CONTRIBUTION FOR W<0  

C  

70    CALL ASDELTA(XVALUE,YVALUE,MAXDIM,NUMVAL(NUM),I+1,  

1-WDEBEY(NUM),DELTH,NUMINT,GDELT,MAXDELT,NUM,IDIMEN  

1(NUMDELT),TEMP)  

ENDIF

C  

C          COMPUTE DELTA CONTRIBUTION FOR W>0  

C  

IF (WENDPOL.LE.0.) THEN  

  DO 180 I=IHELP,NUMVAL(NUM)  

  IF (XVALUE(NUM,I).GE.0..AND.XVALUE(NUM,I).LE.  

1 WDEBEY(NUM)) GOTO 110  

180  CONTINUE  

  STOP 'SR ASCTR: NO DATA IN UPPER INTERVAL'  

  IUPPER=I-1  

ENDIF  

  CALL ASDELTA(XVALUE,YVALUE,MAXDIM,NUMVAL(NUM),IUPPER+1,  

1 WENDPOL,DELTH,NUMINT,GDELT,MAXDELT,NUM,IDIMEN  

1(NUMDELT),TEMP)  

ENDIF  

50    CONTINUE

```

C

RETURN  
END

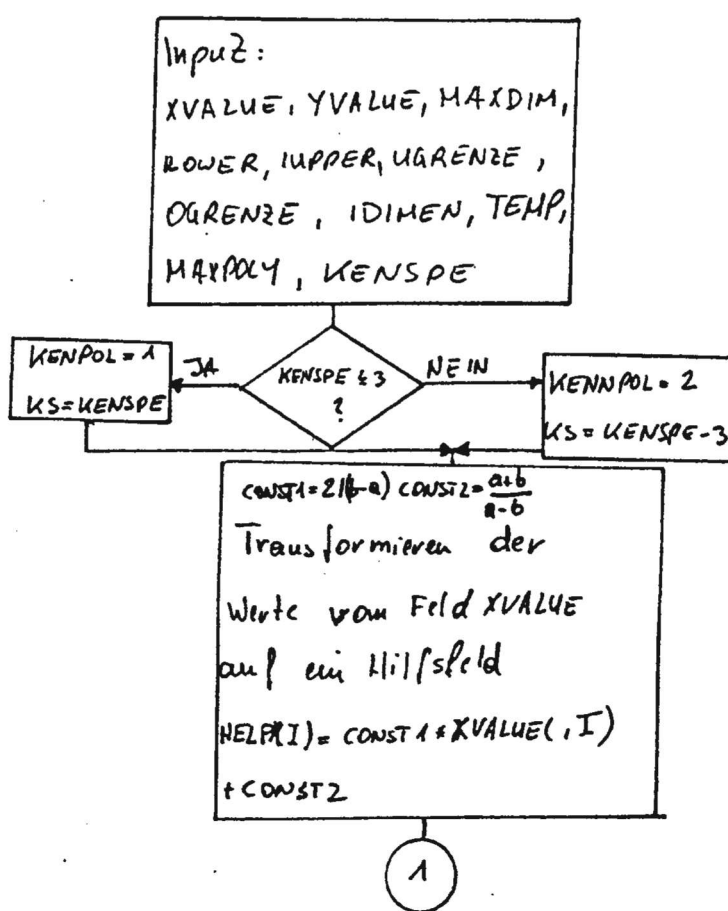
SUBROUTINE ASPOLCO

=====

Zweck: Aproximieren einer Funktion gegeben durch Wertepaare durch das bestpassendste Polynom

Input: Tabellierte Funktionen (XVALUE,YVALUE), Dimension der Felder (MAXDIM), kleinster und größter Index der Felder XVALUE und YVALUE, die in dieser Routine verwendet werden (ILOWER,IUPPER), Kennnummer der Spektralfunktion (KENSPE), untere und obere Intervallgrenze für die Approximation (UGRENZE,OGRENZE), Grad des Polynoms (IDIMEN), Dimension des Koeffizientenfeldes (MAXPOLY), Temperatur (TEMP), Schalter für Tschebyscheff-, Legendrepolynom oder Potenzen von x Aproximation (ISWITCH)

Output: Koeffizienten des approximierten Polynoms



Transformieren der Werte

vom Feld YVALUE auf

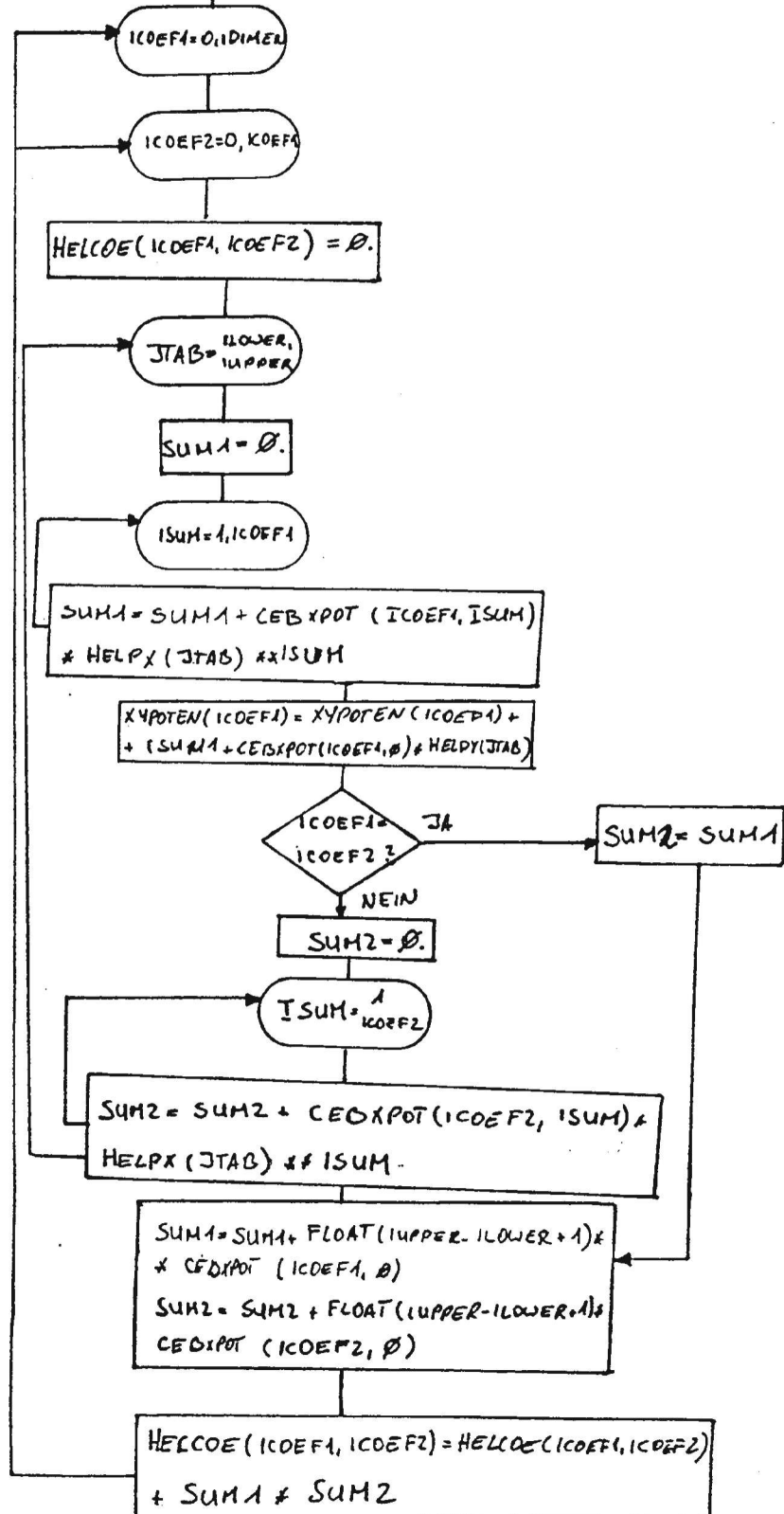
das Feld HELPY(I)=YVALUE(I,I)

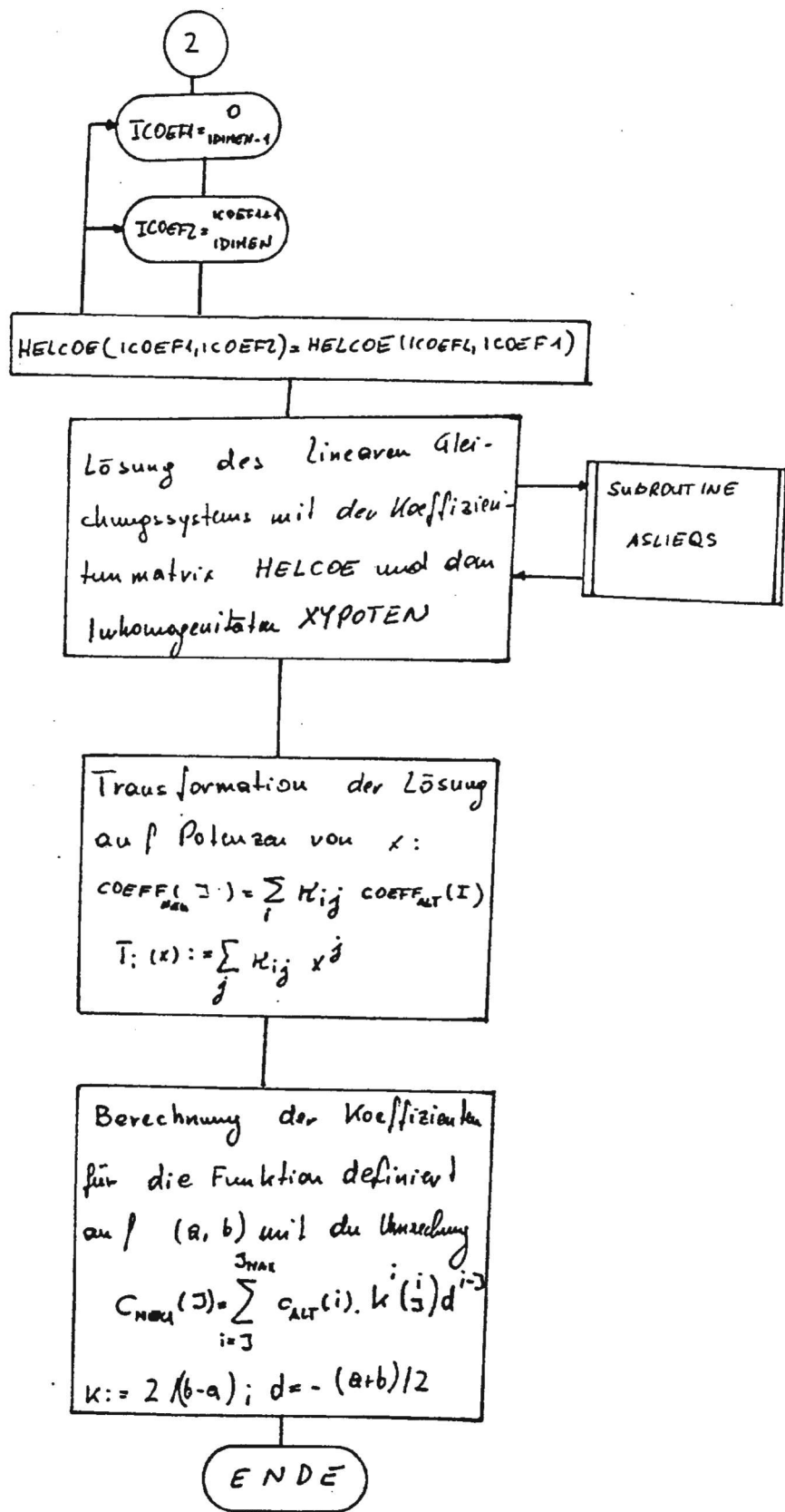
\* (1. - EXP(-XVALUE(,1) ITEXP)) /

XVALUE(,I)

1

2





- 169 -

SUBROUTINE ASPOLCO(XVALUE,YVALUE,MAXDIM,ILOWER,IUPPER,  
IKENSPE,OGRENZE,UGRENZE,GPOLY,IDIMEN,MAXPOLY,TEMP,ISWITCH)

GENERAL PURPOSE: ADAPT SPECTRAL-FUNCTIONS TO  
TC INPUT CONDITIONS

HOST	= CYBER 720
COMPILER	= FOR5 RZ-TU VERSION 23-9-83
PURPOSE OF ROUTINE	= CONTROL COMPUTATION FOR POLYNOMIAL COEFFICIENTS FOR SPECTRAL FUNCTIONS
VERSION	= 2.0
DATE	= 14-11-1983
SOURCE FILENAME	= ASPOLAP
AUTHOR	= O. EIBL

ANNOTATION OF DUMMY PARAMETERS

P.	NAME	TYPE	I/O	EXPLANATION
	XVALUE	REAL	I	X-DATA OF SPECTRAL FUNCTIONS
	YVALUE	REAL	I	Y-DATA OF SPECTRAL FUNCTIONS
	MAXDIM	INT	I	MAX. NUMBER OF DATA AVAILABLE FOR XVALUE AND YVALUE
	ILOWER	INT	I	SMALLEST INDEX OF XVALUE, YVALUE USED IN THIS ROUTINE
	IUPPER	INT	I	LARGEST INDEX OF XVALUE, YVALUE USED IN THIS ROUTINE
	KENSPE	INT	I	INDEX FOR SPECTRAL FUNCTION KENSPE=1...G0-- 2...G0+- 3...G0++ 4...G1-- 5...G1+- 6...G1++
	OGRENZE	REAL	I	UPPER INTERVAL BOUNDARY
	UGRENZE	REAL	I	LOWER INTERVAL BOUNDARY
	GPOLY	REAL	O	POLYNOMIAL COEFFICIENTS FOR G0,G1
	IDIMEN	INT	I	LARGEST POWER OF X IN POLYNOMIAL EXPANSION
	MAXPOLY	INT	I	MAX. NUMBER OF POLYNOMIAL COEFFICIENTS AVAILABLE
	TEMP	REAL	I	TEMPERATUR
	ISWITCH	INT	I	ISWITCH=1...POWERS OF X 2...TCHEBYSHEV POLYNOMS 3...LEGENDRE POLYNOMS

```

C-----  

C       DECLARATIVE SECTION  

C-----  

C  

C       PARAMETER (KA=6,MAXIND=1000)  

C  

C       DIMENSION XVALUE(6,MAXDIM),YVALUE(6,MAXDIM),HELPX(MAXIND),  

C       ICEBXPGT(0:KA,0:KA),FAKT(0:KA),ACTXPOT  

C       1(0:KA,0:KA),HELCOE(0:KA),COEMAT(0:KA,0:KA),XCOEFF(0:KA),  

C       1HELFUN(0:2*KA),GPOLY(2,3,0:MAXPOLY)  

C  

C       REAL LEGXPOT(0:KA,0:KA)  

C       LOGICAL LHELCOE  

C  

C       DATA ((CEBXPGT(I,J),J=0,KA),I=0,KA) /1.,7*0.,1.,5*0.,-1.,  

C       10.,2.,5*0.,-3.,0.,4.,3*0.,1.,0.,-8.,0.,8.,3*0.,5.,0.,-20.,  

C       10.,16.,0.,-1.,0.,18.,0.,-48.,0.,32./  

C  

C       DATA ((LEGXPOT(I,J),J=0,KA),I=0,KA) /1.,7*0.,1.,5*0.,-5  

C       1,0.,1.5,5*0.,-1.5,0.,2.5,3*0.,.375,0.,-3.75,0.,4.375,  

C       13*0.,1.875,0.,-8.75,0.,7.875,0.,-.3125,0.,6.5625,0.,  

C       1-19.6675,0.,14.4375/  

C  

C       DATA (FAKT(I),I=0,KA) /1.,1.,2.,6.,24.,120.,720./  

C  

C-----  

C       EXECUTIVE SECTION  

C-----  

C  

C       IS INPUT CONSISTENT WITH PARAMETER STATEMENT  

C  

C       IF (MAXIND.LT.IUPPER) STOP 'SR ASPOLCO:MAXIND.LT.IUPPER'  

C       IF (KA.LT.IDIMEN) STOP 'SR ASPOLCO:KA.LT.IDIMEN'  

C  

C       INITIALIZE VARIABLES KENNPOL,KS,IDLIMEM1  

C  

C       IF (KENSPE.LE.3) THEN  

C           KENNPOL=1  

C           KS=KENSPE  

C       ELSE  

C           KENNPOL=2  

C           KS=KENSPE-3  

C       ENDIF  

C  

C       IF (ISWITCH.EQ.1) THEN  

C  

C           EXPANSION IN POWERS OF X  

C  

C           DO 30 ICLEAR=0,2*IDIMEN  

C           HELFUN(ICLEAR)=0.  

C           IF (ICLEAR.LE.IDIMEN) HELCOE(ICLEAR)=0.  

C 30      CONTINUE  

C           DO 20 JTAB=ILOWER,IUPPER  

C           XPOTMAX=XVALUE(KENSPE,JTAB)**(2*IDIMEN)  

C           IF (XVALUE(KENSPE,JTAB).NE.0.) THEN  

C               DO 40 IPOT=2*IDIMEN,1,-1  

C               HELFUN(IPOT)=HELFUN(IPOT)+XPOTMAX  

C               IF (IPOT.LE.IDIMEN) HELCOE(IPOT)=  

C               1 HELCOE(IPOT)+XPOTMAX*YVALUE(KENSPE,JTAB)

```

- 171 -

```

        XPOTMAX=XPUTMAX/XVALUE(KENSPE,JTAB)
40      CONTINUE
      ENDIF
      HELCOE(0)=HELCGE(0)+YVALUE(KENSPE,JTAB)
20      CONTINUE
      HELFUN(0)=FLOAT(IUPPER-ILOWER+1)
C
C      INITIALIZE COEMAT
C
      DO 50 IDIS1=0, IDIMEN
      DO 50 IDIS2=0, IDIMEN
      COEMAT(IDIS1, IDIS2)=HELFUN(IDIS1+IDIS2)
50      CONTINUE
C
C      SOLVE LINEAR EQUATION SYSTEM FOR CEFFICIENTS
C      OF POWERS OF X
C
      CALL ASLIEQS(COEMAT, HELCOE, KA, IDIMEN, XCOEFF)
      ELSE
C
C      EXPANSION IN TCHEBYSHEV OR LEGENDRE POLYNOMS
C
      CONSTK=2./(DGRENZE-UGRENZE)
      CONSTD=(UGRENZE+DGRENZE)/(UGRENZE-DGRENZE)
      DO 110 IDIS=ILOWER, IUPPER
      HELPX(IDIS)=CONSTK*XVALUE(KENSPE, IDIS)+CONSTD
110    CONTINUE
C
C      TCHEBYSHEV OR LEGENDRE POLYNOMS ?
C
      IF (ISWITCH.EQ.2) THEN
          DO 120 IDIS1=0, IDIMEN
          DO 120 IDIS2=0, IDIMEN
          ACTXPOT(IDIS1, IDIS2)=CEBXPOT(IDIS1, IDIS2)
120    CONTINUE
      ELSE
          DO 130 IDIS1=0, IDIMEN
          DO 130 IDIS2=0, IDIMEN
          ACTXPOT(IDIS1, IDIS2)=LEGXPOT(IDIS1, IDIS2)
130    CONTINUE
      ENDIF
C
C
      DO 140 ICOEF1=0, IDIMEN
      LHELCOE=.TRUE.
      HELCOE(ICOEF1)=0.
      DO 140 ICOEF2=0, ICOEF1
      COEMAT(ICOEF1, ICOEF2)=0.
C
C      SUM OVER ALL POINTS AVAILABLE
C
      DO 150 JTAB=ILOWER, IUPPER
      SUM1=0.
      XMINPOT=HELPX(JTAB)
C
C      COMPUTE CHEBY. OR LEGEN. POLYNOM FOR X=HELPX(JTAB)
C
      DO 160 ISUM=1, ICOEF1
      SUM1=SUM1+ACTXPOT(ICOEF1, ISUM)*XMINPOT
      XMINPOT=XMINPOT*HELPX(JTAB)

```

- 172 -

```

160    CONTINUE
      IF (LHELCOE) HELCOE(1CDEF1)=HELCOE(1CDEF1)+(SUM1+
1ACTXPOT(1CDEF1,0))*YVALUE(KENSP, JTAB)
C
C
      IF (1CDEF1.EQ.1CDEF2) THEN
        SUM2=SUM1
      ELSE
        SUM2=0.
        XMINPOT=HELPX(JTAB)
        DO 170 ISUM=1,1CDEF2
          SUM2=SUM2+ACTXPOT(1CDEF2,ISUM)*XMINPOT
          XMINPOT=XMINPOT*HELPX(JTAB)
170    CONTINUE
      ENDIF
      SUM1=SUM1+ACTXPOT(1CDEF1,0)
      SUM2=SUM2+ACTXPOT(1CDEF2,0)
      COEMAT(1CDEF1,1CDEF2)=COEMAT(1CDEF1,1CDEF2)+SUM1*SUM2
150    CONTINUE
      LHELCOE=.FALSE.
140    CONTINUE
C
C       INITIALIZE MISSING MATRIX ELEMENTS OF COEMAT
C
      DO 180 1CDEF1=0, IDIMEN-1
      DO 180 1CDEF2=1CDEF1, IDIMEN
        COEMAT(1CDEF1,1CDEF2)=COEMAT(1CDEF2,1CDEF1)
180    CONTINUE
C
C       COMPUTE COEFFICIENTS IN CHEBY. OR LEGEN. EXPANSION
C
      CALL ASLIEQS(COEMAT,HELCOE,KA, IDIMEN,XCOEFF)
C
C       COMPUTE COEFFICIENTS IN POWERS OF X EXPANSION
C
      DO 190 IDIS=0, IDIMEN
      HELCOE(IDIS)=0.
      DO 190 ISUM=0, IDIMEN
      HELCOE(IDIS)=HELCOE(IDIS)+ACTXPOT(ISUM, IDIS)*XCOEFF(ISUM)
190    CONTINUE
C
C       COMPUTE COEFFICIENTS IN POWERS OF X EXPANSION
C       FOR FUNCTION DEFINED ON INTERVAL (UGRENZE, OGRENZE)
C
      CONST1=2./(OGRENZE-UGRENZE)
      CONST2=-(OGRENZE+UGRENZE)*.5
      DO 200 IDIS=0, IDIMEN
      XCOEFF(IDIS)=CONST1**IDIS*HELCOE(IDIS)
      DO 200 ISUM=IDIS+1, IDIMEN
      XCOEFF(IDIS)=XCOEFF(IDIS)+CONST1**ISUM*CONST2**((ISUM-
1IDIS)*HELCOE(ISUM)*FAKT(ISUM)/FAKT(IDIS)/
1FAKT(ISUM-IDIS))
200    CONTINUE
      ENDIF
C
C       INITIALIZE GPOLY
C
      DO 210 IDIS=0, IDIMEN
      GPOLY(KENNPOL,KS, IDIS)=XCOEFF(IDIS)*TEMP**IDIS
210    CONTINUE
C

```

- 173 -

C

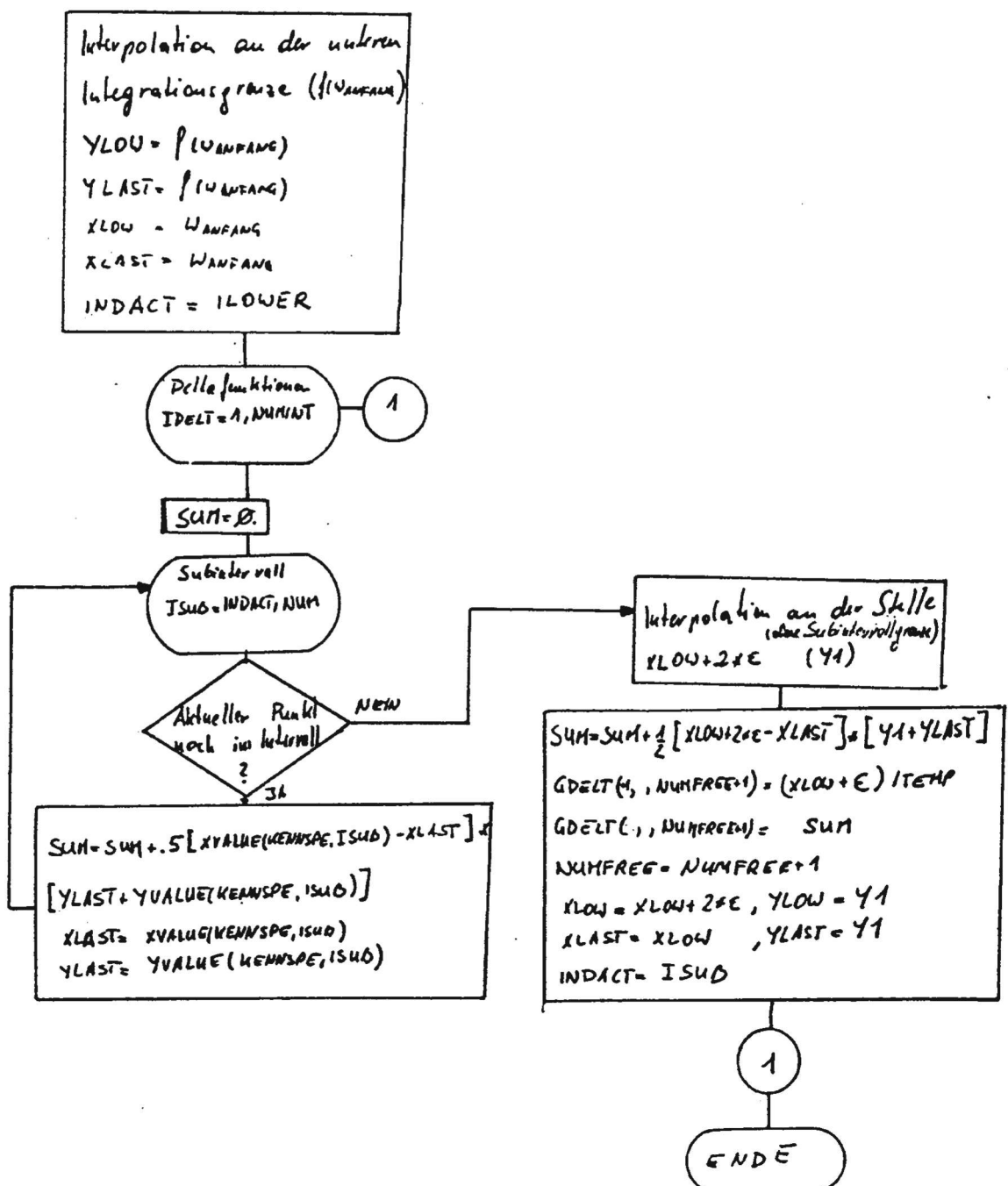
RETURN  
END

SUBROUTINE ASDELTA  
=====

Zweck: Numerische Integration der Spektralfunktionen

Input: Tabelle der Spektralfunktionen (XVALUE, YVALUE), Stützstellenabstand für die numerische Integration der Spektralfunktionen (DELTAW), Zahl der Stützstellen (NUMINT), untere Integrationsgrenze (WSTART), kleinster Index von XVALUE, YVALUE, der in dieser Routine verwendet wird (ILOWER), Kennnummer der Spektralfunktion (KENSPE), erstes freies Feldelement von GDELT (NUMFREE + 1), Temperatur (TEMP)

Output: X-Koordinaten und Amplituden der Deltasingularitäten (GDELT), sowie deren Anzahl (IDIMEN)



1  
2 SUBROUTINE ASDELTA(XVALUE,YVALUE,MAXDIM,NUM,ILOWER,  
3 ISTART,DELTAW,NUMINT,GDELT,MAXDELT,KENSPE,NUMFREE,TEMP)  
4  
5

C GENERAL PURPOSE: ADAPT SPECTRAL-FUNCTIONS TO  
C TC INPUT CONDITIONS  
C

HOST	= CYBER 720
COMPILER	= FOR5 RZ-RTL VERSION 23-9-63
PURPOSE OF ROUTINE	= INTEGRATION OF TABULATED FUNCTION ACCORDING TO THE TRAPEZOIDAL RULE
VERSION	= 1.0
DATE	= 25-10-1983
SOURCE FILENAME	= ASDELTA
AUTHOR	= O. EIBL

C ANNOTATION OF DUMMY PARAMETERS  
C \*\*\*\*\*  
C

P.	NAME	TYPE	I/O	EXPLANATION
	XVALUE	REAL	I	X-DATA OF SPECTRAL FUNCTIONS
	YVALUE	REAL	I	Y-DATA OF SPECTRAL FUNCTIONS
	MAXDIM	INT	I	MAX. INDEX AVAILABLE FOR XAVLUE AND YVALUE
	NUM	INT	I	NUMBER OF DATA USED IN XVALUE AND YVALUE
	ILOWER	INT	I	SMALLEST INDEX OF XVALUE, YVALUE USED IN THIS ROUTINE
	WSTART	REAL	I	LOWER INTEGRATION BOUNDARY (PHYSIC. DIMENSION: TEMPERATUR)
	DELTAW	REAL	I	STEP WIDTH FOR NUMERICAL INTEGRATION (PHYSIC. DIMENSION: TEMPERATUR)
	NUMINT	INT	I	NUMBER OF STEPS FOR NUMERICAL INTEGRATION
	GDELT	REAL	I/O	DELTA-AMPLITUDES AND X-CORDINATES FOR SPECTRAL FUNCTIONS G0 AND G1
	MAXDELT	INT	I	MAX. NUMBER OF DELTA-AMPLITUDES AND X-CORDINATES AVAILABLE
	KENSPE	INT	I	INDEX FOR SPECTRAL FUNCTION KENSPE=1...G0-- 2...G0+- 3...G0++ 4...G1-- 5...G1+- 6...G1--
	NUMFREE	INT	I/O	NUMFREE+1:= FIRST FREE ARRAY ELEMENT OF GDELT(KENSPE)
	TEMP	REAL	I	TEMPERATUR

- 176 -

```
2      C
3      C-----  
4      C      DECLARATIVE SECTION  
5      C-----  
6      C
7      DIMENSION XVALUE(6,MAXDIM),YVALUE(6,MAXDIM),
8      1GDELT(4,3,MAXDELT)
9      C
10     DATA EPS /.0001/
11     C
12     C-----  
13     C      EXECUTIVE SECTION  
14     C-----  
15     C
16     C      INITIALIZE VARAIBLES WITH STARTING VALUES  
17     C
18     DELTAW2=DELTAW*.5
19     IF (KENSPE.LE.3) THEN
20       KENN=1
21       KS=KENSPE
22     ELSE
23       KENN=3
24       KS=KENSPE-3
25     ENDIF
26     IF (ILOWER.NE.1) THEN
27       CALL ASINPO1(XVALUE(KENSPE,ILOWER-1),XVALUE(KENSPE,ILOWER),
28       YVALUE(KENSPE,ILOWER-1),YVALUE(KENSPE,ILOWER),
29       WSTART,Y1)
30     ELSE
31       IF (ABS(XVALUE(KENSPE,1)-WSTART).GT.EPS.AND.XVALUE
32       (KENSPE,1).GT.WSTART) STOP
33       'SR ASDELTA: NO DATA ON OR BELOW LOWER INTEG. BOUND.'
34       CALL ASINPO1(XVALUE(KENSPE,1),XVALUE(KENSPE,2),
35       YVALUE(KENSPE,1),YVALUE(KENSPE,2),
36       WSTART,Y1)
37     ENDIF
38     YLOW=Y1
39     YLAST=Y1
40     XLOW=WSTART
41     XLAST=XLOW
42     IF (XVALUE(KENSPE,ILOWER).LE.XLOW) THEN
43       INACT=ILOWER+1
44     ELSE
45       INACT=ILOWER
46     ENDIF
47
48     C      LOOP TO COMPUTE DELTA AMPLITUDES AND
49     C      X-CORDINATES OF SINGULARITIES
50
51     DO 10 IDELT=1,NUMINT
52       SUM=0.
53       XUPP=XLOW+DELTAW
54
55     C      LOOP FOR NUMERICAL INTEGRATION
56
57     DO 20 ISUB=INACT,NUM
58       IF (XVALUE(KENSPE,ISUB).LT.XUPP.AND.ISUB.NE.NUM) THEN
59         SUM=SUM+.5*(XVALUE(KENSPE,ISUB)-XLAST)*(YLAST+YVALUE
60         (KENSPE,ISUB))
61         XLAST=XVALUE(KENSPE,ISUB)
```

- 177 -

```
6      YLAST=YVALUE(KENSPE,ISLB)
7      ELSE
8          IF (ISUB.EQ.NUM) THEN
9              IF (IDEKT.NE.NUMINT.OR.ABS(XVALUE(KENSPE,NUM)-XUPP).GT.
10                 EPS) STOP
11          'SR ASDELTA: NO DATA ON OR BEYOND UPPER INTEG. BOUND.'
12      ENDIF
13          CALL ASINPO1(XVALUE(KENSPE,ISUB-1),XVALUE(KENSPE,ISUB),
14                 YVALUE(KENSPE,ISUB-1),YVALUE(KENSPE,ISUB),XUPP,Y1)
15          SUM=SUM+.5*(XUPP-XLAST)*(Y1+YLAST)
16          GDELT(KENN+1,KS,NUMFREE+1)=(XLLOW+DELTAW2)/TEMP
17          GDELT(KENN,KS,NUMFREE+1)=SUM/TEMP
18          NUMFREE=NUMFREE+1
19          XLLOW=XLLOW+DELTAW
20          XLAST=XLLOW
21          YLOW=Y1
22          YLAST=Y1
23          INDACT=ISUB
24          GOTO 10
25      ENDIF
26 20  CONTINUE
27      STOP 'SR ASDELTA: ILLEGAL POINT OF PROGRAM REACHED'
28 10  CONTINUE
29      C
30      C
31      RETURN
32      END
```

SUBROUTINE ASINPO1(XTAB1,XTAB2,YTAB1,YTAB2,X1,Y1)

C  
C GENERAL PURPOSE: ADAPT SPECTRAL-FUNCTIONS TO  
C TC INPUT CONDITIONS

C  
C HOST = CYBER 720  
C COMPILER = FOR5 RZ-TL VERSION 23-9-83  
C PURPOSE OF ROUTINE = LINEAR INTERPOLATION OF FUNCTION  
C DETERMINED BY XTAB1,XTAB2,YTAB1 AND  
C YTAB2  
C VERSION = 1.0  
C DATE = 25-10-1983  
C SOURCE FILENAME = ASINPO1  
C AUTHOR = D. EIBL

C  
C ANNOTATION OF DUMMY PARAMETERS  
=====

P.	NAME	TYPE	I/C	EXPLANATION
	XTAB1	REAL	I	FIRST X-VALUE TO SPECIFY FUNCTION
	XTAB2	REAL	I	SECOND X-VALUE TO SPECIFY FUNCTION
	YTAB1	REAL	I	VALUE OF FUNCTION FOR X=XTAB1
	YTAB2	REAL	I	VALUE OF FUNCTION FOR X=XTAB2
	X1	REAL	I	X-VALUE FOR REQUESTED Y1
	Y1	REAL	O	INTERPOLATED VALUE OF F(X1)

C  
C EXECUTIVE SECTION

C  
C  
ANSTIEG=(YTAB2-YTAB1)/(XTAB2-XTAB1)  
Y1=ANSTIEG\*(X1-XTAB1)+YTAB1

C  
C  
RETURN  
END

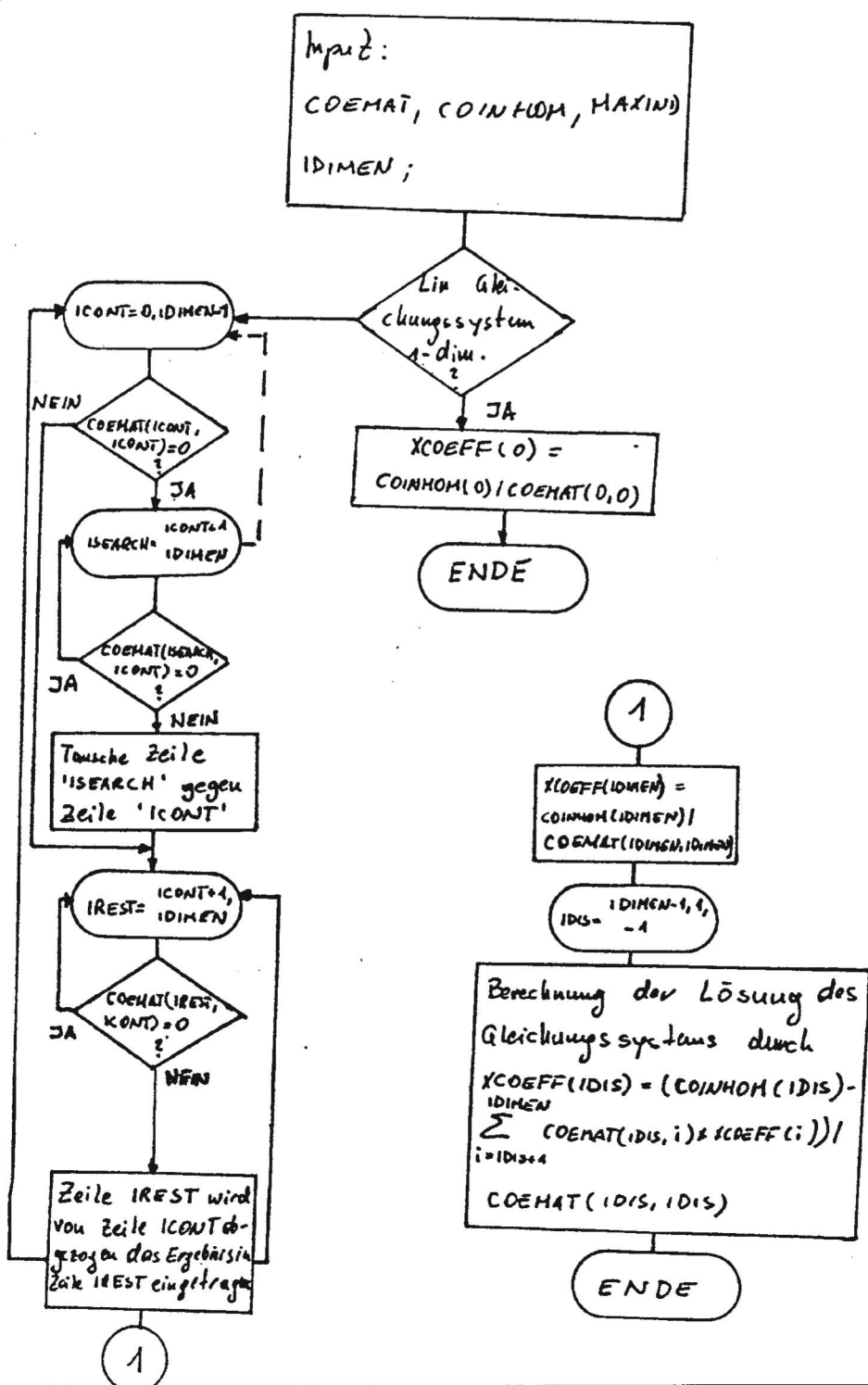
SUBROUTINE ASLIEQS

=====

Zweck: Auflösen eines inhomogenen  $n \times n$  Gleichungssystems

Input: Koeffizientenmatrix (COEMAT), Inhomogenitätsvektor des linearen Gleichungssystems (COINHOM), Dimensionierung von COEMAT und COINHOM (MAXIND), angeforderte Dimension von COEMAT und COIHOM (IDIMEN)

Output: Lösungsvektor des linearen inhomogenen Gleichungssystems (XCOEFF)



## 1 SUBROUTINE ASLIEQS(COEFFMAT,COIHOMO,MAXIND,IDLIMEN,XCOEFF)

2 C

3 C GENERAL PURPOSE: ADAPT SPECTRAL-FUNCTIONS TO  
4 C INPUT CONDITIONS

5 C

6 C HOST = CYBER 720  
7 C COMPILER = FOR5 R2-TL VERSION 23-9-83  
8 C PURPOSE OF ROUTINE = SOLVE SYSTEM OF LINEAR EQUATIONS  
9 C VERSION = 1.0  
0 C DATE = 11-11-1983  
1 C SOURCE FILENAME = ASLIEQS  
2 C AUTHOR = O. EIBL

3 C

4 C

5 C ANNOTATION OF DUMMY PARAMETERS  
6 C \*\*\*\*\*  
7 C

8 C

9 C P. NAME TYPE I/O EXPLANATION  
0 C COEFMAT REAL I MATRIX OF COEFFICIENTS OF LINEAR  
1 C EQUATION SYSTEM  
2 C COIHOMO REAL I INHOMOGENE PART SYSTEM OF LINEAR  
3 C EQUATION  
4 C MAXIND INT I MAX. DIMENSION AVAILABLE FOR COEMAT  
5 C IDIMEN INT I REQUESTED DIMENSION FOR COEMAT  
6 C XCOEFF REAL O SOLUTION OF LINEAR EQUATION SYSTEM

7 C-----

8 C

9 C DECLARATIVE SECTION  
0 C-----

1 C

2 C PARAMETER (KA=6)  
3 C4 C DIMENSION COEFMAT(0:MAXIND,0:MAXIND),COIHOMO(0:MAXIND),  
5 C 1XCOEFF(0:MAXIND),COEMAT(0:KA,0:KA),COINHOM(0:KA)

6 C-----

7 C

8 C EXECUTIVE SECTION  
9 C-----

0 C

1 C IF (KA.LT.IDIMEN) STOP 'SR ASLIEQS:KA.LT.IDIMEN'  
2 C IF (IDIMEN.GT.MAXIND) STOP 'SR ASLIEQS:IDIMEN.GT.MAXDIM'

3 C

4 C

5 C INITIALIZE VARIABLES  
6 C

7 C

8 C

9 C DO 110 IDIS1=0,IDLIMEN

0 C

1 C COINHOM(IDIS1)=COIHOMO(IDIS1)

2 C

3 C DO 110 IDIS2=0,IDLIMEN

4 C

5 C COEMAT(IDIS1,IDIS2)=COEFMAT(IDIS1,IDIS2)

6 C

7 C 110 CONTINUE

8 C

9 C IF (IDLIMEN.EQ.0) THEN

0 C

1 C XCOEFF(0)=COINHOM(0)/COEMAT(0,0)

2 C

3 C GOTO 999

4 C

5 C ENDIF

6 C

7 C

8 C START THE GAUSSIAN ELIMINATION PROCESS  
9 C

- 181 -

```

      DO 10 ICONT=0, IDIMEN-1
      IF (COEMAT(ICONT, ICNT).EQ.0.) THEN
          DO 20 ISEARCH=ICONT+1, IDIMEN
          IF (COEMAT(ISEARCH, ICNT).NE.0.) GOTO 30
20      CONTINUE
67      GOTO 10
C
C      REARRANGE COEMAT:COEMAT(ICONT, ICNT).NE.0
C
30      DO 40 IDIS=ICONT, IDIMEN
72      HELP=COEMAT(ICONT, IDIS)
73      COEMAT(ICONT, IDIS)=COEMAT(ISEARCH, IDIS)
74      COEMAT(ISEARCH, IDIS)=HELP
75      CONTINUE
C
C      REARRANGE COINHOM
C
79      HELP=COINHOM(ICONT)
80      COINHOM(ICONT)=COINHOM(ISEARCH)
81      COINHOM(ISEARCH)=HELP
82      ENDIF
83      CONST1=COEMAT(ICONT, ICNT)
C
C      ELIMINATE FIRST COEFFICIENT
C
87      DO 50 IREST=ICONT+1, IDIMEN
88      IF (COEMAT(IREST, ICNT).EQ.0.) GOTO 50
89      CONST=COEMAT(IREST, ICNT)
90      DO 60 JREST=ICONT+1, IDIMEN
91      COEMAT(IREST, JREST)=COEMAT(ICONT, JREST)/CONST-COEMAT
92      1(IREST, JREST)/CONST
60      CONTINUE
93      COINHOM(IREST)=COINHOM(ICONT)/CONST-COINHOM(IREST)/
94      CONST
95      COEMAT(IREST, ICNT)=0.
96      CONTINUE
10      CONTINUE
C
C      COMPUTE XCOEFF-SOLUTION OF LIN.EQ.SYSTEM
C
XCOEFF(IDIMEN)=COINHOM(IDIMEN)/COEMAT(IDIMEN, IDIMEN)
DO 70 IDIS=IDIMEN-1, 0, -1
IF (COEMAT(IDIS, IDIS).EQ.0.) STOP
1'SR ASLIEQS:FAILED SOLVING LIN.EQ.SYSTEM'
SUM=0.
DO 80 ISUM=IDIS+1, IDIMEN
SUM=SUM+COEMAT(IDIS, ISUM)*XCOEFF(ISUM)
80      CONTINUE
XCOEFF(IDIS)=(COINHOM(IDIS)-SUM)/COEMAT(IDIS, IDIS)
70      CONTINUE
C
C
999      RETURN
END

```

### A.2.1.3 Das Programmpaket TC

Das Programmpaket TC dient dazu, ausgehend von den Spektralfunktionen  $G_{-+}^0, \dots, G_{++}^1$ , gegeben in der Form

$$G_{ss'}^0(\omega) = \sum_{i=0}^{j_{ss'}} ss'_a a_i \omega^i + \sum_{i=1}^{l_{ss'}} ss'_a a_i \delta(\omega - \frac{ss'}{\omega_i})$$
$$G_{ss'}^1(\omega) = \sum_{i=0}^{k_{ss'}} ss'_b b_i \omega^i + \sum_{i=1}^{q_{ss'}} ss'_b b_i \delta(\omega - \frac{ss'}{\omega_i}), \quad (\omega = \sqrt{\omega})$$

die Transportkoeffizienzen elektrischer Widerstand, Seebeckkoeffizient und Wärmeleitfähigkeit zu berechnen.

#### Seitenverzeichnis für die Programmeinheiten

SUBROUTINE	TCTRCOE	183
SUBROUTINE	TCCOLIS	187
SUBROUTINE	TCFESUR	192
FUNCTION	TCSPEC0	195
FUNCTION	TCDELTO	198
FUNCTION	TCPOLY0	201
FUNCTION	TCSPEC1	204
FUNCTION	TCDELT1	207
FUNCTION	TCPOLY1	210
FUNCTION	TCCOEFF	213
SUBROUTINE	TCCOCOE	216
FUNCTION	TCINTEG	221
SUBROUTINE	TCMAINV	226

SUBROUTINE TCTRCOE

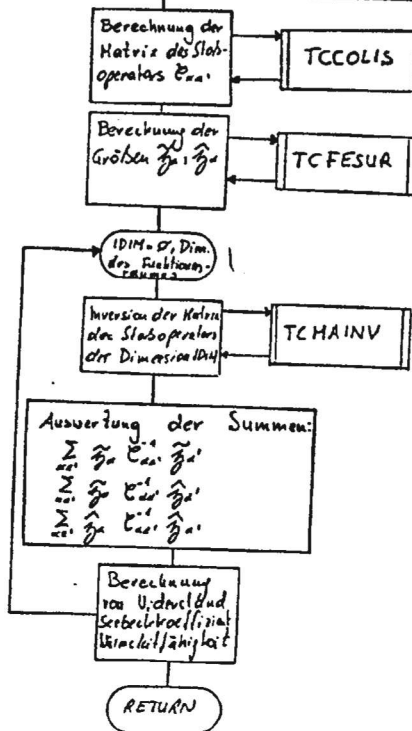
=====

Zweck: Berechnen der Transportkoeffizienten Elektrischer Widerstand, Seebeckkoeffizient, Wärmeleitfähigkeit

Input: Polynomkoeffizienten für die Spektralfunktionen  $G_{ss}^0$  und  $G_{ss}^1$  (GPOLY), Delta-Amplituden und X-Koordinaten der Delta-Singularitäten für  $G_{ss}^0$  und  $G_{ss}^1$  (GDELT), Anzahl der Polynomkoeffizienten und Deltafunktionen für jede Spektralfunktion (IDIMEN), Max. Anzahl der Polynomkoeffizienten (MAXPOLY), Max. Anzahl der Deltafunktionen (MAXDELT), Ende der Polynomentwicklung (DEBTEMP),  $\bar{v}(0)$  (VELDEN0),  $\bar{v}'(0)$  (VELDEN1), Temperatur (TEMP), Max. Dimension der Matrix des Stoßoperators (MAXDIM)

Output: El. Widerstand (RESEST), Seebeckkoeffizient (TERPOW), Wärmeleitfähigkeit (HEATCON)

Start: Input → Polynomkoeffizienten für 3 S.F.  $G_{ss}^0$  und 3 S.F.  $G_{ss}^1$  (GPOLY);  
Delta-Amplituden und X-Koordinaten der Delta-Singularitäten für  $G_{ss}^0$  und  $G_{ss}^1$  (GDELT)  
Relevante Indizes für GPOLY, GDELT und Dimension des Funktionenraumes (IDIMEN); Max. Anzahl an Polynomkoeffizienten (MAXPOLY); Max. Dimension der Matrix des Stoßoperators (MAXDIM); Max. Anzahl an Deltafunktionen (MAXDELT); Debug-Temperatur (DEBTEMP); (VELDEN0); (VELDEN1); Temperatur (TEMP)



SUBROUTINE TCTRCOE(GFOLY,GDELT,IDLIMEN,MAXDIM,MAXPOLY,  
 MAXDELT,DEBTEMP,VELDEN,VELDEN1,TEMP,RESET,TERPOW,  
 IHEATCON)

GENERAL PURPOSE: COMPUTE TRANSPRT-COEFFICIENTS

HOST	= CYBER 720
COMPILER	= FOR5 RZ-TL VERSION 23-9-63
PURPOSE OF ROUTINE	= COMPUTE TRANSPORT COEFFICIENTS
VERSION	= 1.0
DATE	= 12-10-1983
SOURCE FILENAME	= TCTRCOE
AUTHOR	= D. EIBL

ANNOTATION OF DUMMY PARAMETERS

\*\*\*\*\*

P.	NAME	TYPE	I/O	EXPLANATION
C	GPOLY	REAL	I	POLYNOM COEFFICIENTS OF G0 AND G1
C	GPOLY(I1,I2,J)			I1=1...G0 POLYNOM COEFFICIENTS (PHYSIC. DIMENSION: 0)
C				I2=1...G0--
C				I2=2...G0+- = G0-+
C				I2=3...G0++
C				I1=2...G1 POLYNOM COEFFICIENTS (PHYSIC. DIMENSION: [1/K])
C				FOR I2 SEE I1=1
C	GDELT	REAL	I	DELTA-AMPLITUDES AND X-COORDINATES OF DELTA SINGULARITIES OF G0 AND G1
C	GDELT(I1,I2,J)			I1=1...G0 DELTA AMPLITUDES (PHYSIC. DIMENSION: C)
C				I1=2...G0 X-COORDINATES OF DELTA SINGULARITIES
C				(PHYSIC. DIMENSION: 0)
C				I1=3...G1 DELTA AMPLITUDES
C				(PHYSIC. DIMENSION: [1/K])
C				I1=4...G1 X-COORDINATES OF DELTA SINGULARITIES
C				(PHYSIC. DIMENSION: 0)
C				FOR I2 SEE GPOLY
C	IDIMEN	INT	I	IDIMEN(1-3)...REQ. INDICES FOR SPEPOLO
C				IDIMEN(4-6)... FOR SPEDELO
C				IDIMEN(7-9)... FOR SPEPOL1
C				IDIMEN(10-12)... FOR SPEDEL1
C				IDIMEN(13)... REQUESTED DIMENSION OF MATRIX OF COLLISION OPERATOR
C	MAXDIM	INT	I	MAX. DIMENSION OF MATRIX OF COLLISION OPERATOR
C	MAXPOLY	INT	I	MAX. NUMBER OF POLYNOM COEFFICIENTS
C	MAXDELT	INT	I	MAX. NUMBER OF DELTA FUNCTIONS
C	DEBTEMP	REAL	I	DEBEY TEMPERATUR

- 185 -

```

C      VELDENO  REAL   I      (<V**2>*N)(E=0): AVERAGED SQUARE LF
C      VELDEN1  REAL   I      (<V**2>*N)*(E=0)
C      TEMP     REAL   I      TEMPERATUR
C      RESEST   REAL   O      ELECTRICAL RESESTIVITY
C      TERPOW   REAL   O      THERMOPOWER
C      HEATCON  REAL   O      HEAT CONDUCTIVITY
C -----
C      DECLARATIVE SECTION
C -----
C      PARAMETER (CONRES=3.22956E54,CONTERP=-86.17080,
C      1CONHEAT=2.29920E-54,VOLMASS=9.10956E-61,MADIM=6)
C
C      DIMENSION GPOLY(2,3,0:MAXPOLY),GDELT(4,3,MAXDELT),
C      1QELEKTR(0:MADIM),QELTEMP(0:MADIM),COLIMAT(0:MADIM,
C      10:MADIM),IDIMEN(13),
C      1COLIINV(0:MADIM,0:MADIM),RESEST(0:MAXDIM),
C      1TERPOW(0:MAXDIM),HEATCON(0:MAXDIM)
C -----
C      EXECUTIVE SECTION
C -----
C      IS INPUT O.K.?
C
C      IF (MAXDIM.NE.MADIM) STOP 'SR TCTRCC:MAXDIM.NE.MADIM'
C
C      COMPUTE MATRIX OF COLLISION OPERATOR
C
C      WRITE(6,12)
12     FORMAT('1',10X,'C O L I M A T :',/,/,/)
C      CALL TCCCOLIS(GPOLY,GDELT,IDIMEN,MADIM,MAXPOLY,
1          MAXDELT,DEBTEMP,TEMP,COLIMAT)
C      WRITE(6,13) ((COLIMAT(I,J),J=0,MADIM),I=0,MADIM)
13     FORMAT((11X,7(E10.3,3X),/))
C
C      COMPUTE QELEKTR AND QELTEMP
C
C      CALL TCFESUR(VELDENO,VELDEN1,TEMP,MAXDIM,QELEKTR,
1          QELTEMP)
C
C      START LOOP FOR VARYING DIMENSION OF MATRIX OF
C      COLLISION OPERATOR
C
C      DO 50 IDIM=0, IDIMEN(13)
C      CALL TCMAINV(COLIMAT,COLIINV,MAXDIM, IDIM)
C
C      SUM1=0.
C      SUM2=0.
C      SUM3=0.
C      DO 100 KA1=0, IDIM

```

- 186 -

```
3 DO 100 KA2=0, IDIM
4 SLM1=SUM1+QELEKTR(KA1)*COLIINV(KA1,KA2)*QELEKTR(KA2)
5 SUM2=SUM2+QELEKTR(KA1)*COLIINV(KA1,KA2)*QELTEMP(KA2)
6 SUM3=SUM3+QELTEMP(KA1)*COLIINV(KA1,KA2)*QELTEMP(KA2)
7 100 CONTINUE
8 C
9 C
10 RESEST(IDIM)=CONRES*TEMP*VCLMASS/SUM1
11 TERPOW(IDIM)=CONTERP*SUM2/SUM1
12 HEATCON(IDIM)=CONHEAT/VGLMASS*SUM3
13 50 CONTINUE
14 C
15 C
16 RETURN
17 END
```

SUBROUTINE TCCOLIS

=====

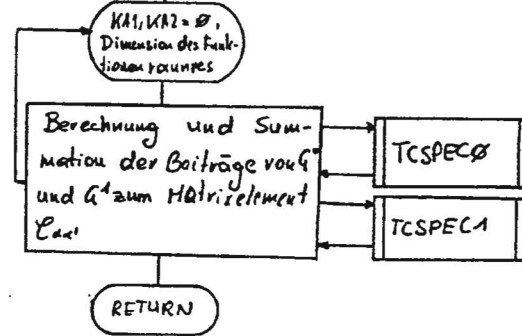
Zweck: Berechnen der Matrix des Stoßoperators

Input: Polynomkoeffizienten für  $G_{ss}^0$  und  $G_{ss}^1$  (GPOLY), Delta-Amplituden und X-Koordinaten der Deltasingularitäten für  $G_{ss}^0$  und  $G_{ss}^1$  (GDELT), Indexfelder für Polynomkoeffizienten und Deltafunktionen von  $G_{ss}^0$  und  $G_{ss}^1$  (IDIMEN), Max. Anzahl der Polynomkoeffizienten (MAXPOLY), Max. Anzahl der Deltafunktionen (MAXDELT), Ende der Polynomentwicklung (DEBTEMP), Temperatur (TEMP), Dimension der Matrix des Stoßoperators (IDIMEN), Max. Dimension der Matrix des Stoßoperators (MAXDIM)

Output: Matrix des Stoßoperators  
(COLIMAT)

Start-Input: Polynomkoeffizienten für 3 S.F.  
 $G_{ss}^0$  und 3 S.F.  $G_{ss}^1$  (GPOLY); Delta-Amp-  
lituden und X-Koordinaten der Delta-Singularität  
für  $G_{ss}^0$  und  $G_{ss}^1$  (GDELT); Relevante Indizes  
für GPOLY, GDELT und Dimension des Funktions-  
raumes (IDIMEN); Max. Dimension der Matrix  
des Stoßoperators (MAXDIM); Max. Anzahl an Poly-  
nom Koeffizienten (MAXPOLY); Max. Anzahl an Delta-  
funktionen (MAXDELT); Debey-Temperatur (DEBTEMP);  
Temperatur (TEMP);

Übertragung der Input Daten von  
GPOLY auf SPEPOL0, SPEPOL1, von  
GDELT auf SPEDEL0, VALDEL0, SPE-  
DEL1 und VALDEL1; von IDIMEN  
auf IDIMEN0, IDIMEN1, IDIMEN2, IDIMEN3  
und von DEBTEMP/TEMP auf IDREME



- 188 -

SUBROUTINE TCCDLIS(GPOLY,GDELT,IDLIMEN,MAXDIM,MAXPOLY,  
1 MAXDELT,DEBTEMP,TEMP,CCLIMAT)

GENERAL PURPOSE: COMPUTE TRANSPORT-COEFFICIENTS

HOST	= CYBER 720
COMPILER	= FOR5 RZ-TU VERSION 23-9-83
PURPOSE OF ROUTINE	= COMPUTE MATRIXELEMENT OF COLLISION OPERATOR
VERSION	= 1.0
DATE	= 11-10-1983
SOURCE FILENAME	= TCCDLIS
AUTHOR	= O. EIBL

ANNOTATION OF DUMMY PARAMETERS

---

P.	NAME	TYPE	I/O	EXPLANATION
	GPOLY	REAL	I	POLYNOM COEFFICIENTS FOR G0 AND G1
	GPOLY(I1,I2,J)			I1=1...G0 POLYNOM COEFFICIENTS I2=1...G0-- I2=2...G0+- = G0-+ I2=3...G0++
				I1=2...G1 POLYNOM COEFFICIENTS FOR I2 SEE I1=1
	GDELT	REAL	I	DELTA-AMPLITUDES AND X-COORDINATES OF DELTA-SINGULARITIES OF G0 AND G1
	GDELT(I1,I2,J)			I1=1...G0 DELTA AMPLITUDES I1=2...G0 X-COORDINATES OF DELTA SINGULARITIES I1=3...G1 DELTA AMPLITUDES I1=4...G1 X-COORDINATES OF DELTA SINGULARITIES
				FOR I2 SEE GPOLY
	IDLMEN	INT	I	IDLMEN(1-3)...REQ. INDICES FOR SPEPOL0 IDLMEN(4-6)... FOR SPEDEL0 IDLMEN(7-9)... FOR SPEPOL1 IDLMEN(10-12)... FOR SPEDEL1 IDLMEN(13)... REQUESTED DIMENSION OF MATRIX OF COLLISION OPERATOR
	MAXDIM	INT	I	MAX. DIMENSION OF MATRIX OF COLLISION OPERATOR
	MAXPOLY	INT	I	MAX. INDEX AVAILABLE FOR SPEPOL0 AND SPEPOL1
	MAXDELT	INT	I	MAX. INDEX ALLOWED FOR SPEDEL0, VALDEL0, SPEDEL1 AND VALDEL1
	DEBTEMP	REAL	I	DEBEY TEMPERATUR (PHYSIC. DIMENSION: TEMPERATUR)
	TEMP	REAL	I	TEMPERATUR

- 189 -

C COLIMAT REAL D MATRIX OF COLLISION OPERATOR

C

C-----

C DECLARATIVE SECTION

C-----

C

PARAMETER (MAPOL=6,MADELT=300)

C

```
DIMENSION GPOLY(2,3,0:MAXPOLY),GDELT(4,3,MAXDELT),
1SPEPOLO(4,0:MAPOL),SPEDELO(4,MADELT),
1VALDELO(4,MADELT),
1SPEPDOL1(4,0:MAPOL),SPEDEL1(4,MADELT),
1VALDEL1(4,MADELT),
1IDIMENO(4),IDIMEN1(4),IDIMEN2(4),IDIMEN3(4),IDIMEN(13),
1COLIMAT(0:MAXDIM,0:MAXDIM),FAKT(0:20)
```

C

```
DATA (FAKT(I),I=0,20) / .100000000000E+01,
1.100000000000E+01,
1.200000000000E+01,
1.600000000000E+01,
1.240000000000E+02,
1.120000000000E+03,
1.720000000000E+03,
1.504000000000E+04,
1.403200000000E+05,
1.362880000000E+06,
1.362880000000E+07,
1.399168000000E+08,
1.479001600000E+09,
1.622702080000E+10,
1.8717829120000E+11,
1.1307674368000E+13,
1.2092278988800E+14,
1.3556874280960E+15,
1.6402373705728E+16,
1.1216451004088E+18,.2432902008177E+19/
```

C

C-----

C

EXECUTIVE SECTION

C-----

C

C

C

IS INPUT CONSISTENT WITH PARAMETER VALUES?

C

```
IF (MAPOL.NE.MAXPOLY) STOP 'SR TCCCLIS:MAPOL.NE.MAXPOLY'
IF (MADELT.NE.MAXDELT) STOP 'SR TCCCLIS:MADELT.NE.MAXDELT'
```

C

C

INITIALIZE IDIMENX( ) X=0,3

C

```
IDIMENO(1)=IDIMEN(1)
IDIMENO(2)=IDIMEN(2)
IDIMENO(3)=IDIMEN(2)
IDIMENO(4)=IDIMEN(3)
```

C

C

```
IDIMEN1(1)=IDIMEN(4)
IDIMEN1(2)=IDIMEN(5)
IDIMEN1(3)=IDIMEN(5)
IDIMEN1(4)=IDIMEN(6)
```

C

- 190 -

```
IDIMEN2(1)=IDIMEN(7)
IDIMEN2(2)=IDIMEN(8)
IDIMEN2(3)=IDIMEN(8)
IDIMEN2(4)=IDIMEN(9)

C
C
IDIMEN3(1)=IDIMEN(10)
IDIMEN3(2)=IDIMEN(11)
IDIMEN3(3)=IDIMEN(11)
IDIMEN3(4)=IDIMEN(12)

C
C
      INITIALIZE SPEPOL, SPEDEL AND VALDEL
C
C
DO 50 I=0, IDIMENO(1)
SPEPOLO(1,I)=GPOLY(1,1,I)
50 CONTINUE
DO 100 I=0, IDIMENO(2)
SPEPOLO(2,I)=GPOLY(1,2,I)
SPEPOLO(3,I)=SPEPOLO(2,I)
100 CONTINUE
DO 150 I=0, IDIMENO(4)
SPEPOLO(4,I)=GPOLY(1,3,I)
150 CONTINUE
C
C
DO 200 I=1, IDIMEN1(1)
SPEDELO(1,I)=GDELT(1,1,I)
VALDELO(1,I)=GDELT(2,1,I)
200 CONTINUE
DO 250 I=1, IDIMEN1(2)
SPEDELO(2,I)=GDELT(1,2,I)
SPEDELO(3,I)=SPEDELO(2,I)
VALDELO(2,I)=GDELT(2,2,I)
VALDELO(3,I)=VALDELO(2,I)
250 CONTINUE
DO 300 I=1, IDIMEN1(4)
SPEDELO(4,I)=GDELT(1,3,I)
VALDELO(4,I)=GDELT(2,3,I)
300 CONTINUE
C
C
DO 350 I=0, IDIMEN2(1)
SPEPOL1(1,I)=GPOLY(2,1,I)
350 CONTINUE
DO 400 I=0, IDIMEN2(2)
SPEPOL1(2,I)=GPOLY(2,2,I)
SPEPOL1(3,I)=SPEPOL1(2,I)
400 CONTINUE
DO 450 I=0, IDIMEN2(4)
SPEPOL1(4,I)=GPOLY(2,3,I)
450 CONTINUE
C
C
DO 500 I=1, IDIMEN3(1)
SPEDEL1(1,I)=GDELT(3,1,I)
VALDEL1(1,I)=GDELT(4,1,I)
500 CONTINUE
DO 550 I=1, IDIMEN3(2)
SPEDEL1(2,I)=GDELT(3,2,I)
```

- 191 -

```
SPEDEL1(3,I)=SPEDEL1(2,1)
VALDEL1(2,I)=GDELT(4,2,I)
VALDEL1(3,I)=VALDEL1(2,I)
550  CONTINUE
DO 600 I=1, IDIMEN3(4)
SPEDEL1(4,I)=GDELT(3,3,I)
VALDEL1(4,I)=GDELT(4,3,I)
600  CCNTINUE
C
C
C          START COMPUTATION OF MATRIX OF COLLISION OPERATOR
C
C
C
OGRENZE=DEBTEMP/TEMP
DO 650 KA1=0, IDIMEN(13)
DO 650 KA2=0, IDIMEN(13)
COLIMAT(KA1,KA2)=(TCSPEC0(KA1,KA2,SPEPOLO, IDIMENO,
1MAXPOLY,OGRENZE,SPEDELO,VALDELO, IDIMEN1,MAXDELT)+
1TCSPEC1(KA1,KA2,SPEPGL1, IDIMEN2,MAXPOLY,OGRENZE,
1SPEDEL1,VALDEL1, IDIMEN3,MAXDELT)*TEMP)/FAKT(KA1)/FAKT(KA2)
650  CONTINUE
C
C
RETURN
END
```

SUBROUTINE TCFESUR

=====

Zweck: Berechnen der Größen  $\tilde{g}_a$ ,  $\hat{g}_a$

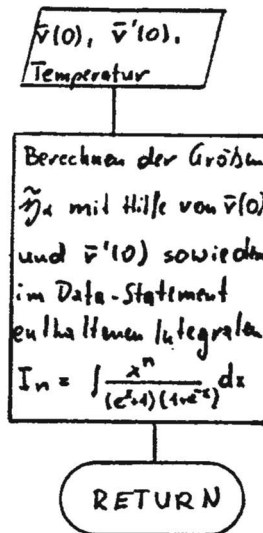
Input:  $\bar{v}(0)$  (VELDEN0),  $\bar{v}'(0)$  (VELDEN1), Temperatur (TEMP),  
Max. Anzahl der  $\tilde{g}$  (MAXDIM)

Output:  $\tilde{g}$  (QELEKTR),  $\hat{g}$  (QELTEMP)

Gleichungen:

$$\hat{g}_a = \tilde{g}_{a+1}$$

$$\tilde{g}_a = -[\bar{v}(0) \int dE \frac{\partial f^o}{\partial E} (\beta E)^\alpha + \frac{\bar{v}'(0)}{\beta} \int dE \frac{\partial f^o}{\partial E} (\beta E)^{\alpha+1}]$$



- 193 -

1 SUBROUTINE TCFESUR(VELDENO, VELDEN1, TEMP, MAXDIM, QELEKTR,  
 2                    QELTEMP)

C

C GENERAL PURPOSE: COMPUTE TRANSPORT-COEFFICIENTS

C

HOST	= CYBER 720
COMPILER	= FOR5 R2-TU VERSION 23-9-83
PURPOSE OF ROUTINE	= COMPUTE QELEKTR, QELTEMP DEFINITION SEE HANDBOOK
VERSION	= 1.0
DATE	= 12-10-1983
SOURCE FILENAME	= TCFESUR
AUTHOR	= D. EIBL

C

C

C ANNOTATION OF DUMMY PARAMETERS

C \*\*\*\*\*

C

P.	NAME	TYPE	I/O	EXPLANATION
	VELDENO	REAL	I	MASS*(<V**2>*N)/DENSITY (<V**2>*N)(E=0): AVERAGED SQUARE OF VELOCITY TIMES DENSITY OF STATES ON THE FERMI SURFACE
	VELDEN1	REAL	I	MASS*((<V**2>*N)*(E=0))/DENSITY
	TEMP	REAL	I	TEMPERATUR
	MAXDIM	INT	I	MAX. DIMENSION OF MATRIX OF COLLISION OPERATOR
	QELEKTR	REAL	O	SEE HANDBOOK
	QELTEMP	REAL	O	SEE HANDBOOK

C

C DECLARATIVE SECTION

C

1 PARAMETER (CONST1=3.289668135, CONST2=45.45757584,  
 1 CONST3=1419.193572, CONST4=80336.22125)

C

C DIMENSION QELEKTR(0:MAXDIM), QELTEMP(0:MAXDIM), FAKT(0:20)

C

DATA (FAKT(I), I=0, 20) / .100000000000E+01,  
 1.100000000000E+01,  
 1.200000000000E+01,  
 1.600000000000E+01,  
 1.240000000000E+02,  
 1.120000000000E+03,  
 1.720000000000E+03,  
 1.504000000000E+04,  
 1.403200000000E+05,  
 1.362880000000E+06,  
 1.362680000000E+07,  
 1.399168000000E+08,  
 1.479001600000E+09,  
 1.622702080000E+10,  
 1.871782912000E+11,  
 1.1307674368000E+13,

- 194 -

1.2092278986800E+14,  
1.3556874280960E+15,  
1.6402373705726E+16,  
1.1216451004088E+18, .2432902008177E+19/

C

C-----

## C EXECUTIVE SECTION

C-----

C

## C COMPUTE QELEKTR

C

VEDETEM=VELDEN1\*TEMP  
QELEKTR(0)=VELDENO/FAKT(0)  
QELEKTR(1)=CONST1\*VEDETEM/FAKT(1)  
QELEKTR(2)=CONST1\*VELDENO/FAKT(2)  
QELEKTR(3)=CONST2\*VEDETEM/FAKT(3)  
QELEKTR(4)=CONST2\*VELDENO/FAKT(4)  
QELEKTR(5)=CONST3\*VEDETEM/FAKT(5)  
QELEKTR(6)=CONST3\*VELDENO/FAKT(6)

C

C

## C COMPUTE QELTEMP

C

DO 50 I=0,5  
QELTEMP(I)=QELEKTR(I+1)\*FAKT(I+1)/FAKT(I)  
CONTINUE  
QELTEMP(6)=CONST4\*VEDETEM/FAKT(6)

C

RETURN

END

FUNCTION TCSPEC0

=====

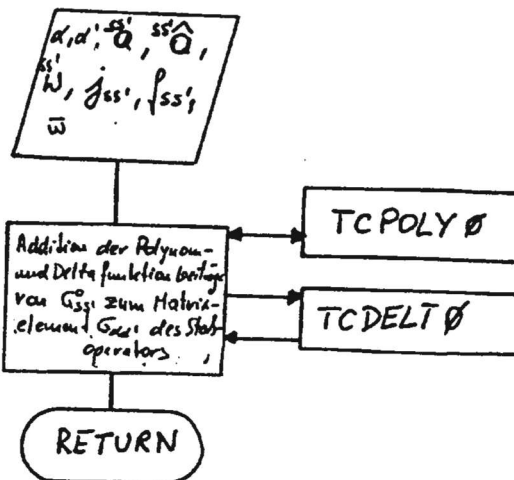
Zweck: Berechnen des Beitrages von  $G_{ss}^0$  zum Matrixelement  $C_{aa}$  des Stoßoperators

Input: Indizes des Matrixelementes (KA1,KA2), Polynomkoef-  
fizienten von  $G_{ss}^0$  (SPEPOLO), Anzahl der Polynomkoef-  
fizienten für jede Spektralfunktion (IDIMENO), Max.  
Anzahl der Polynomkoeffizienten (MAXDIM0), Ende der  
Polynomentwicklung (OGRENZE, dimensionslos), Ampli-  
tuden der Deltafunktionen (SPEDEL0), X-Koordinaten  
der Delta-Singularitäten (VALDEL0), Anzahl der Delta-  
funktionen für jede Spektralfunktion (IDIMEN1), Max.  
Anzahl der Deltafunktionen (MAXDIM1)

Output: Beitrag von  $G_{ss}^0$  zum Matrixelement  $C_{aa}$  des Stoßopera-  
tors

$$TCSPEC0 = (-1)^{ss'} \left\{ \sum_{ss'} \sum_{i=2}^{j_{ss'}} \left( \sum_{\ell=0}^{\min\left(\left[\frac{ss'}{2}\right], \left[\frac{1}{2}(j_{ss'}-i)\right]\right)} K_{2\ell}^{aa'} s' \hat{q}_{i+2\ell} \right) \int_0^\infty dw \frac{w^{a+a'+2+i}}{(e^w-1)(1-e^{-w})} + \right.$$

$$\left. \sum_{ss'} \sum_{\ell=0}^{\left[\frac{ss'}{2}\right]} s' K_{2\ell}^{aa'} \sum_{i=1}^{j_{ss'}} s' \hat{q}_i \frac{s' w_i^{a+a'+2-2\ell}}{(e^{-w_i}-1)(1-e^{-w_i})} \right\}$$



- 196 -

```

1      FUNCTION TCSPECO(KA1,KA2,SPEPOLO,IDLIMENO,MAXDIMC,OGRENZE,
2                          1           SPEDELO,VALDELO,IDLIMENI,MAXDIM1)
3
4      GENERAL PURPOSE: COMPUTE TRANSPORT-COEFFICIENTS
5
6      HOST          = CYBER 720
7      COMPILER      = FOR5 RZ-TU VERSION 23-9-83
8      PURPOSE OF ROUTINE = COMPUTE CONTRIBUTION OF GO TO
9                           MATRIXELEMENT OF COLLISION OPERATOR
10     VERSION       = 1.0
11     DATE          = 11-10-1983
12     SOURCE FILENAME = TCSPECO
13     AUTHOR         = O. EIBL
14
15
16     ANNOTATION OF DUMMY PARAMETERS
17     ****
18
19     P. NAME   TYPE   I/C      EXPLANATION
20
21     KA1       INT    I      INDEX OF MATRIX OF COLLISION
22                           OPERATOR
23
24     KA2       INT    I      INDEX OF MATRIX OF COLLISION
25                           OPERATOR
26
27     SPEPOLO  REAL   I      POLYNOM COEFFICIENTS FOR GO
28     SPEPOLO(I1,J)          I1=1...GO--
29                           I1=2...GO+-
30                           I1=3...GO-+
31                           I1=4...GO++
32
33     IDLIMENO INT    I      REQUESTED INDICES FOR SPEPOLO
34
35     MAXDIMC  INT    I      MAX. INDEX AVAILABLE FOR SPEPOLO
36
37     OGRENZE   REAL   I      POLYNOMIAL CUT OFF
38
39     SPEDELO   REAL   I      DELTA-AMPLITUDES FOR GO
40     SPEDELO(I1,J)          FOR I1 SEE SPEPOLO
41
42     VALDELO   REAL   I      X-COORDINATES OF DELTA-SINGULARITIES
43                           FOR GO
44     VALDELO(I1,J)          FOR I1 SEE SPEPOLO
45
46     IDLIMENI INT    I      REQUESTED INDICES OF SPEDELO AND
47                           VALDELO
48
49     MAXDIM1  INT    I      MAX. INDEX AVAILABLE FOR SPEDELO AND
50                           VALDELO
51
52     -----
53     DECLARATIVE SECTION
54
55
56     DIMENSION SPEPOLO(4,0:MAXDIMC),IDLIMENO(4),
57     1SPEDELO(4,MAXDIM1),VALDELO(4,MAXDIM1),IDLIMENI(4)
58
59     -----
60     EXECUTIVE SECTION
61
62

```

- 197 -

C

```
TCSPECO=TCPOLY0(KA1,KA2,SPEPOL0,1DIMEN0,MAXDIMC,DGRENZE)
1+TCDELTO(KA1,KA2,SPEDEL0,VALDEL0,1DIMEN1,MAXDIM1)
```

C

C

```
RETURN
END
```

FUNCTION TCDELTO

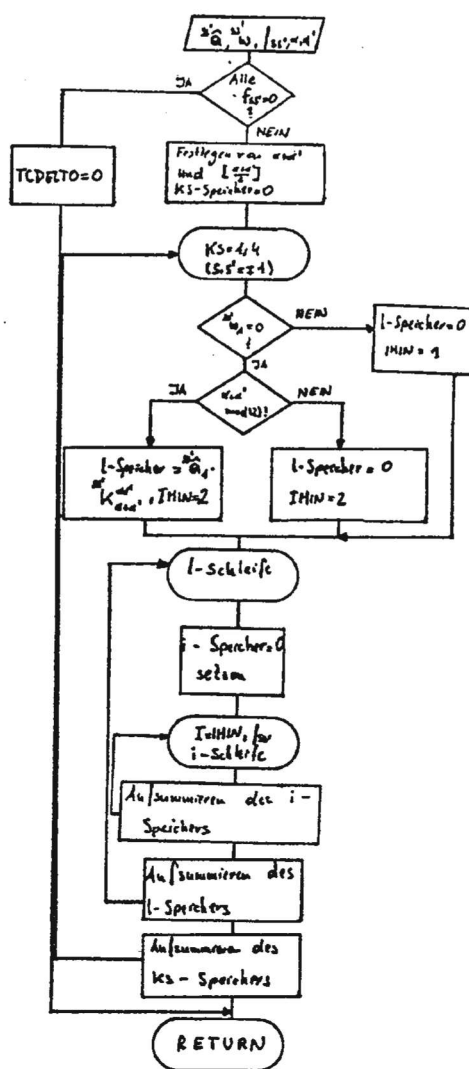
=====

Zweck: Berechnung des Beitrages der Deltafunktionen von  $G_{ss'}$  zum Matrixelement  $C_{aa'}$  des Stoßoperators

Input: Indizes des Matrixelements (KA1, KA2), Amplituden der Deltafunktionen (SPEDEL0), X-Koordinaten der Delta-Singularitäten (VALDELO), Anzahl der Deltafunktionen für jede Spektralfunktion (IDIMEN), Max. Anzahl der Deltafunktionen (MAXDIM)

Output: Beitrag der Deltafunktionen von  $G_{ss'}$  zum Matrixelement  $C_{aa'}$  des Stoßoperators

$$TCDELTO = (-1)^{aa'} \sum_{ss'} \sum_{\ell=0}^{\lfloor \frac{ss'}{2} \rfloor} ss' K_{ss'}^{\ell} \sum_{i=1}^{\{ss'\}} s_i^{\ell} \hat{Q}_i \frac{s_i^{\ell} w_i^{a+a'+2-2\ell}}{(e^{w_i} - 1) (1 - e^{-w_i})}$$



- 199 -

FUNCTION TCDELTO(KA1,KA2,SPEDEL0,VALDELO,IDLIMEN,MAXDIM)

GENERAL PURPOSE: COMPUTE TRANSFER-COEFFICIENTS

HOST	= CYBER 720
COMPILER	= FORT RZ-7L VERSION 23-4-03
PURPOSE OF ROUTINE	= COMPUTE MATRIXELEMENT OF COLLISION OPERATOR, CONTRIBUTION OF G6 DELTA FUNCTION PART
VERSION	= 1.0
DATE	= 6-10-1983
SOURCE FILENAME	= TCOELTO
AUTHOR	= D. EIBL

ANNOTATION OF DUMMY PARAMETERS

\*\*\*\*\*

P.	NAME	TYPE	I/O	EXPLANATION
KA1	INT	I		INDEX OF MATRIXELEMENT OF COLLISION OPERATOR
KA2	INT	I		INDEX OF MATRIXELEMENT OF COLLISION OPERATOR
SPEDEL0	REAL	I		AMPLITUDE OF DELTA FUNCTIONS
SPEDEL0(I1,J)				I1=1...60-- I1=2...60+- I1=3...60-+ I1=4...60++
VALDELO	REAL	I		X-COORDINATE OF DELTA-SINGULARITIES
IDLIMEN	INT	I		UPPER INDEX BOUNDARY FOR SPEDEL0 AND VALDELO
MAXDIM	INT	I		MAX. INDEX AVAILABLE FOR SPEDEL0 AND VALDELO

-----  
DECLARATIVE SECTION  
-----

DIMENSION SPEDEL0(4,MAXDIM), VALDELO(4,MAXDIM), IDLIMEN(4)

-----  
EXECUTIVE SECTION  
-----

```

IF (IDLIMEN(1).EQ.0.AND.IDLIMEN(2).EQ.0.AND.IDLIMEN(3).EQ.
10.AND.IDLIMEN(4).EQ.0) THEN
  TCDELTO=0.
  GOTO 999
ENDIF
KSUM=KA1+KA2

```

COMPUTE S-SUM

```

SUMS=0.
DO 50 I1=-1,1,2

```

- 200 -

```
DC 50 I2=-1,1,2
KS=(I1+1+(I2+1)*(I2+1))/2+1
IF (IDIMEN(KS).EQ.0) GOTC 50
SIGN=FLOAT(I1*I2)
IF (ABS(VALDELO(KS,1)).LT.1.E-12) THEN
  IF (MOD(KSUM,2).EQ.0) THEN
    SUML=SIGN*TCCOEFF(KA1,KA2,-KS,KSUM/2)*SPEDELO(KS,1)
    MINI=2
  ELSE
    SUML=0.
    MINI=2
  ENDIF
ELSE
  SUML=0.
  MINI=1
ENDIF

C
C           COMPUTE L-SUM
C

DC 100 INDEXL=0,KSUM/2
LKSUM=KSUM+2-2*INDEXL

C
C           COMPUTE I-SUM
C

SUMI=0.
DO 150 INDEXI=MINI, IDIMEN(KS)
  SUMI=SUMI+SPEDELO(KS,INDEXI)*VALDELO(KS,INDEXI)**LKSUM/
  1(EXP(VALDELO(KS,INDEXI))-1.)/(1.-EXP(-VALDELO(KS,INDEXI)))
150  CONTINUE

C
C           SUML=SUML+TCCOEFF(KA1,KA2,-KS,INDEXL)*SUMI
100  CONTINUE

C
C           SUMS=SUMS+SIGN*SUML
50   CONTINUE

C
C           TCDELTO=FLOAT((-1)**KSUM)*SUMS
C

C
999  RETURN
END
```

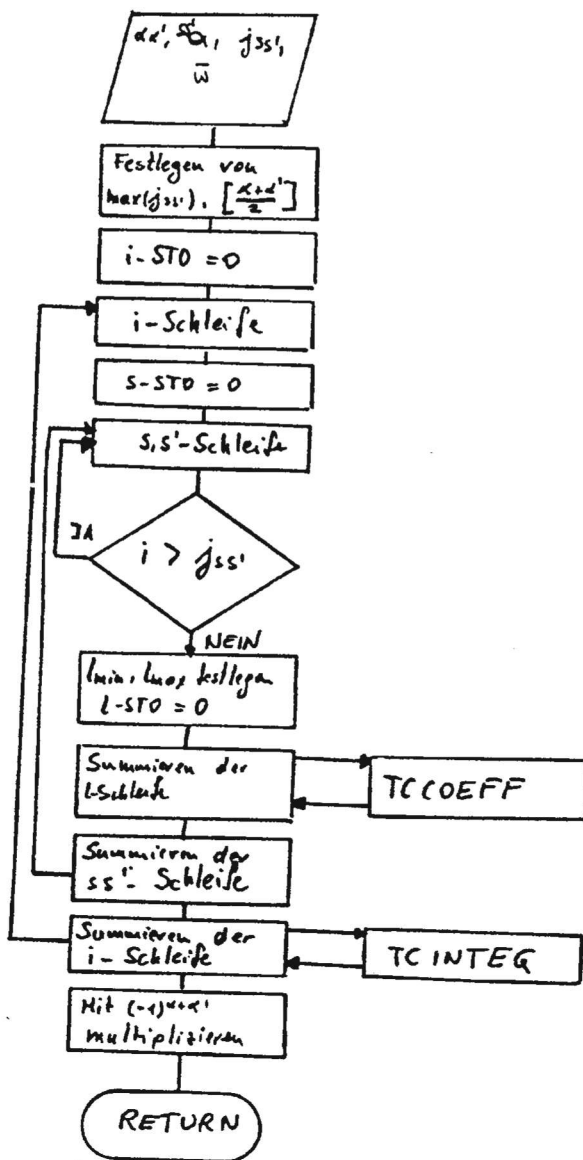
FUNCTION TCPOLY0  
=====

Zweck: Berechnen des Beitrages der Polynome von  $G_{ss'}$  zum Matrixelement  $C_{\alpha\alpha'}$  des Stoßoperators

Input: Indizes des Matrixelementes (KA1, KA2), Polynomkoeffizienten der Spektralfunktionen  $G_{ss'}$  (SPEPOL0), Anzahl der Polynomkoeffizienten für jede Spektralfunktion (IDIMEN), Max. Anzahl der Polynomkoeffizienten (MAXDIM), Ende der Polynomentwicklung (OGRENZE, dimensionslos)

Output: Beitrag der Polynome von  $G_{ss'}$  zum Matrixelement  $C_{\alpha\alpha'}$  des Stoßoperators

$$\text{TCPOLY0} = (-1)^{\alpha\alpha'} \sum_{ss'} \sum_{i=2}^{j_{ss'}} \left( \sum_{e=\max(0, -i)}^{\min\left(\left[\frac{\alpha\alpha'}{2}\right], \left[\frac{1}{2}(j_{ss'}-i)\right]\right)} K_{ie}^{\alpha\alpha'} \alpha_{i+2e} \right) \int_0^{\bar{\omega}} dw \frac{w^{\alpha\alpha'+2e}}{(e^w-1)(1-e^{-w})}$$



- 202 -

## FUNCTION TCPOLYO(KA1,KA2,SPEPOLO,IDLIFEN,MAXDIM,OGRENZE)

GENERAL PURPOSE: COMPUTE TRANSPERT-COEFFICIENTS

HOST = CYBER 720  
 COMPILER = FG5 RZ-TU VERSION 23-9-83  
 PURPOSE OF ROUTINE = COMPUTE MATRIXELEMENT OF COLLISION OPERATOR, CONTRIBUTION OF GO POLYNOMIAL PART  
 VERSION = 1.0  
 DATE = 1-10-1983  
 SOURCE FILENAME = TCPOLYO  
 AUTHOR = D. EIBL

## ANNOTATION OF DUMMY PARAMETERS

=====

P.	NAME	TYPE	I/O	EXPLANATION
	KA1	INT	I	INDEX OF MATRIXELEMENT OF COLLISION OPERATOR
	KA2	INT	I	INDEX OF MATRIXELEMENT OF COLLISION OPERATOR
	SPEPOLO	REAL	I	POLYNOM-COEFFICIENTS OF SPECTRAL FUNCTION GO
	SPEPOLO(I1,J)			I1=1...GO-- I1=2...GO+- I1=3...GO-+ I1=4...GO++
	IDIMEN	INT	I	UPPER INDEX BOUNDARY FOR POLYNOMIAL COEFFICIENTS
	MAXDIM	INT	I	MAX. INDEX AVAILABLE FOR SPEPOLO
	OGRENZE	REAL	I	CUTOFF FOR POLYNOMIAL CONTRIBUTION TO GO

## DECLARATIVE SECTION

DIMENSION SPEPOLO(4,0:MAXDIM),IDIMEN(4)

## EXECUTIVE SECTION

```

IF (IDIMEN(1).EQ.-1.AND.IDIMEN(2).EQ.-1.AND.IDIMEN(3).
1EQ.-1.AND.IDIMEN(4).EQ.-1) THEN
  TCPOLYO=0.
  GOTO 999
ENDIF
KSUM=KA1+KA2
KSUMP1=KSUM+1
KSUMP2=KSUMP1+1
MAXI=IDIMEN(1)
DO 50 I=2,4

```

- 203 -

```

DO 50 J=1,I-1
IF (IDIMEN(I).GT.IDIMEN(J)) MAXI=IDIMEN(I)
CONTINUE
KSUMD2=KSUM/2
MINI=-KSUMD2*2
C
C      COMPUTE I-SUM
C
SUMI=0.
DO 100 INDEXI=MINI,MAXI
C
C      COMPUTE S-SUM
C
SUMS=0.
DO 150 I1=-1,1,2
DO 150 I2=-1,1,2
SIGN=FLOAT(I1*I2)
KS=(I1+1+(I2+1)*(I2+1))/2+1
IF (INDEXI.GT.IDIMEN(KS)) GOTO 150
IF (INDEXI.LT.0) THEN
  NDEXI=-INDEXI
  IF (MOD(NDEXI,2).EQ.1) THEN
    MINL=NDEXI/2+1
  ELSE
    MINL=NDEXI/2
  ENDIF
ELSE
  MINL=0
ENDIF
MAXL=MINO(KSUM/2,(IDIMEN(KS)-INDEXI)/2)
C
C      COMPUTE L-SUM
C
SUML=0.
DO 200 INDEXL=MINL,MAXL
SUML=SUML+TCCOEFF(KA1,KA2,-KS,INDEXL)*SPEPOLO(KS,INDEXI+
12*INDEXL)
CONTINUE
C
C
SUMS=SUMS+SIGN*SUML
CONTINUE
C
C
SUMI=SUMI+SUMS*TCINTEG(KSUMP2+INDEXI,OGRENZE)
CONTINUE
C
C
TCPOLYO=SUMI*FLOAT((-1)**KSUM)
C
C
999 RETURN
END

```

FUNCTION TCSPEC1

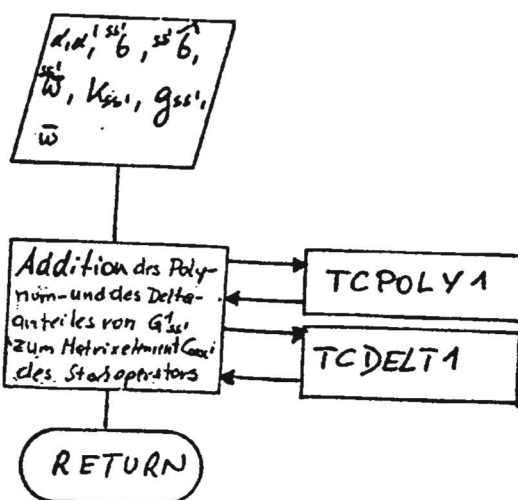
=====

Zweck: Berechnen des Beitrages von  $G_{ss'}$  zum Matrixelement  $C_{aa'}$  des Stoßoperators

Input: Indizes des Matrixelementes (KA1, KA2), Polynomkoef-  
fizienten von  $G_{ss'}$  (SPEPOL1), Zahl der Polynomkoef-  
fizienten für jede Spektralfunktion (IDIMEN0), Max.  
Anzahl der Polynomkoeffizienten (MAXDIM0), Ende der  
Polynomentwicklung (OGRENZE, dimensionslos), Ampli-  
tuden der Deltafunktionen (SPEDEL1), X-Koordinaten  
der Deltasingularitäten (VALDEL1), Zahl der Delta-  
funktionen für jede Spektralfunktion (IDIMEN1),  
Max. Anzahl der Deltafunktionen (MAXDIM1)

Output: Beitrag von  $G_{ss'}$  zum Matrixelement  $C_{aa'}$  des Stoßopera-  
tors

$$\begin{aligned} \text{TCSPEC1} = & \sum_{ss'} \sum_{i=-2}^{K_{ss'}} \left(1 + (-1)^{\alpha_{ss'} + i}\right) \left(\sum_{\ell=\max\{0, \lfloor \frac{i}{2} \rfloor\}}^{\min\{\lfloor \frac{\alpha_{ss'}+1}{2} \rfloor, \lfloor \frac{1}{2}(K_{ss'}-i) \rfloor\}} K_{2\ell}^{ss'} b_{i+2\ell}\right) \int_0^{\infty} du \frac{w^{\alpha_{ss'} + 3 + i}}{(e^u - 1)(1 - e^{-u})} + \\ & + \sum_{ss'} \sum_{\ell=0}^{\lfloor \frac{\alpha_{ss'}+1}{2} \rfloor} K_{2\ell}^{ss'} \sum_{i=1}^{ss'} b_i^{ss'} \frac{s_i^{\omega} \bar{w}^{\alpha_{ss'} + 3 - 2\ell}}{(e^{\bar{w}} - 1)(1 - e^{-\bar{w}})} \end{aligned}$$



- 205 -

FUNCTION TCSPEC1(KA1,KA2,SPEPOL1,1D1MENO,MAXDIMC,GGRENZE,  
1 SPEPOL1,VALDEL1,1D1MEN1,MAXDIM1)

C

C

GENERAL PURPOSE: COMPLETE TRANSFCRT-COEFFICIENTS

C

C

HOST	= CYBER 720
COMPILER	= FORTRAN R2-TU VERSION 23-9-83
PURPOSE OF ROUTINE	= COMPUTE CONTRIBUTION OF G1 TO MATRIXELEMENT OF COLLISION OPERATOR
VERSION	= 1.0
DATE	= 11-10-1983
SOURCE FILENAME	= TCSPEC0
AUTHOR	= O. EIBL

C

C

ANNOTATION OF DUMMY PARAMETERS

\*\*\*\*\*

C

C

P.	NAME	TYPE	I/O	EXPLANATION
	KA1	INT	I	INDEX OF MATRIXELEMENT OF COLLISION OPERATOR

C

C

	KA2	INT	I	INDEX OF MATRIXELEMENT OF COLLISION OPERATOR
--	-----	-----	---	---

C

C

	SPEPOL1	REAL	I	POLYNOM COEFFICIENTS OF G1
	SPEPOL1(I1,J)			I1=1...G1-- I1=2...G1+- I1=3...G1-+ I1=4...G1++

C

C

	IDIMENO	INT	I	REQUESTED INDICES FOR SPEPOL1
--	---------	-----	---	-------------------------------

C

C

	MAXDIMO	INT	I	MAX. INDEX AVAILABLE FOR SPEPOL1
--	---------	-----	---	----------------------------------

C

C

	GGRENZE	REAL	I	CUT OFF OF POLYNOMIAL CONTRIBUTION
--	---------	------	---	------------------------------------

C

C

	SPEDEL1	REAL	I	DELTA-AMPLITUDES OF G1 FOR I1 SEE SPEPOL1
	SPEDEL1(I1,J)			

C

C

	VALDEL1	REAL	I	X-COORDINATES OF DELTA-SINGULARITIES OF G1
	VALDEL1(I1,J)			FOR I1 SEE SPEPOL1

C

C

	IDIMEN1	INT	I	REQUESTED INDICES FOR SPEDEL1 AND VALDEL1
--	---------	-----	---	--

C

C

	MAXDIM1	INT	I	MAX. INDEX AVAILABLE FOR SPEDEL1 AND VALDEL1
--	---------	-----	---	---

C

C

## DECLARATIVE SECTION

C

C

---

DIMENSION SPEPOL1(4,0:MAXDIMO),IDIMENO(4),  
1SPEDEL1(4,MAXDIM1),VALDEL1(4,MAXDIM1),IDIMEN1(4)

---

C

C

## EXECUTIVE SECTION

C

C

- 206 -

```
TCSPEC1=TCPOLY1(KA1,KA2,SPEPOL1,1DIMEN0,MAXDIM0,UGRENZE)
1+TCDELT1(KA1,KA2,SPEDEL1,VALDEL1,1DIMEN1,MAXDIM1)
```

C  
C

```
RETURN
END
```

FUNCTION TCDELT1

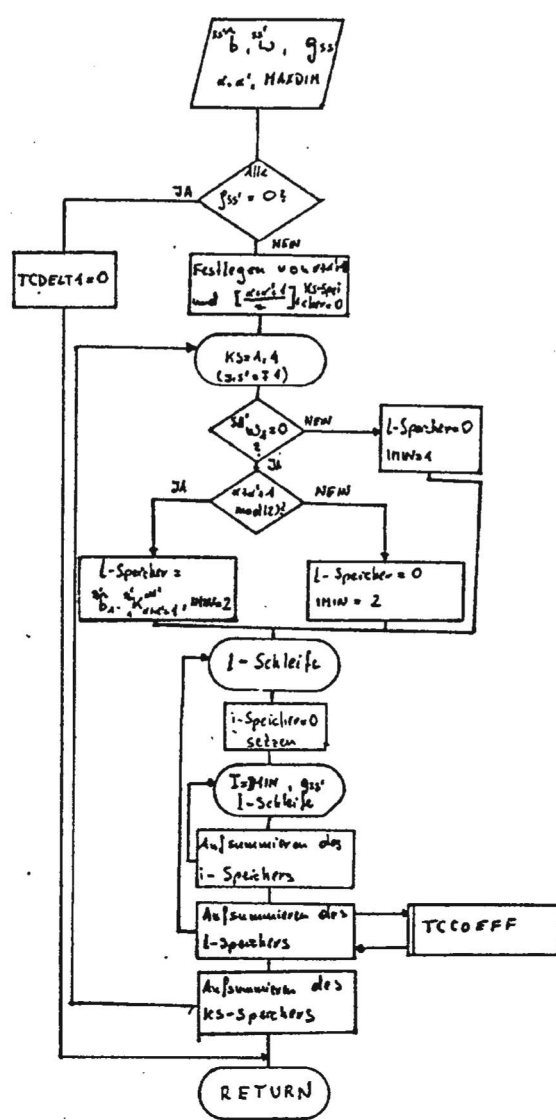
=====

Zweck: Berechnung des Anteiles der Deltafunktionen von  $G_{ss'}$  zum Matrixelement  $C_{aa'}$  des Stoßoperators

Input: Indizes des Matrixelementes (KA1, KA2), Amplituden der Deltafunktionen (SPEDEL1), X-Koordinaten der Delta-Singularitäten (VALDEL1), Anzahl der Deltafunktionen für jede Spektralfunktion (IDIMEN), Max. Anzahl an Deltafunktionen (MAXDIM)

Output: Beitrag der Deltafunktionen von  $G_{ss'}$  zum Matrixelement  $C_{aa'}$  des Stoßoperators

$$TCDELT1 = \sum_{ss'} \sum_{\ell=0}^{\left[ \frac{MAXDIM}{2} \right]} {}^{ss'} K_{ss'}^{\ell} \sum_{i=1}^{g_{ss'}} {}^{ss'} b_i^{\ell} \frac{{}^{ss'} w_i^{\ell+3-2\ell}}{(e_i-1)(1-e_i^{\ell})}$$



- 208 -

FUNCTION TCDELT1(KA1,KA2,SPEDEL1,VALDEL1,IDLIMEN,MAXDIM)

C GENERAL PURPOSE: COMPLETE TRANSPORT-COEFFICIENTS

HOST	= CYBER 720
COMPILER	= FOR5 RZ-TU VERSION 23-9-83
PURPOSE OF ROUTINE	= COMPUTE MATRIX ELEMENT OF COLLISION OPERATOR, CONTRIBUTION OF G1 DELTA PART
VERSION	= 1.0
DATE	= 6-10-1983
SOURCE FILENAME	= TCDELTO
AUTHOR	= O. EIBL

C ANNOTATION OF DUMMY PARAMETERS

=====

P.	NAME	TYPE	I/O	EXPLANATION
	KA1	INT	I	INDEX OF MATRIX ELEMENT OF COLLISION OPERATOR
	KA2	INT	I	INDEX OF MATRIX ELEMENT OF COLLISION OPERATOR
	SPEDEL1	REAL	I	AMPLITUDE OF DELTA FUNCTIONS SPEDEL1(I1,J)
				I1=1...G1-- I1=2...G1+- I1=3...G1-+ I1=4...G1++
	VALDEL1	REAL	I	X-COORDINATE OF DELTA-SINGULARITIES
	IDLIMEN	INT	I	UPPER INDEX BOUNDARY FOR SPEDEL1 AND VALDEL1
	MAXDIM	INT	I	MAX. INDEX AVAILABLE FOR SPEDEL1 AND VALDEL1

C-----  
C DECLARATIVE SECTION  
C-----C-----  
C DIMENSION SPEDEL1(4,MAXDIM),VALDEL1(4,MAXDIM),IDLIMEN(4)  
C-----C-----  
C EXECUTIVE SECTION  
C-----

```
IF (IDLIMEN(1).EQ.0.AND.IDLIMEN(2).EQ.0.AND.IDLIMEN(3).EQ.
10.AND.IDLIMEN(4).EQ.0) THEN
TCDELT1=0.
GOTO 999
ENDIF.
KSUM=KA1+KA2+1
```

```
C-----  
C COMPUTE S-SUM
```

```
SUMS=0.
DO 50 I1=-1,1,2
```

- 209 -

```
DO 50 I2=-1,1,2
  KS=(I1+1+(I2+1)*(I2+1))/2+1
  IF (IDIMEN(KS).EQ.0) GOTO 50
  IF (ABS(VALDEL1(KS,1)).LT.1.E-12) THEN
    IF (MOD(KSUM,2).EQ.0) THEN
      SUML=TCCOEFF(KA1,KA2,KS,KSLM/2)*SPEDEL1(KS,1)
      MINI=2
    ELSE
      SUML=0.
      MINI=2
    ENDIF
  ELSE
    SUML=0.
    MINI=1
  ENDIF
C
C           COMPUTE L-SUM
C
  DO 100 INDEXL=0,KSUM/2
  LKSUM=KSUM+2-2*INDEXL
C
C           COMPUTE 1-SUM
C
  SUMI=0.
  DO 150 INDEXI=MINI,IDIMEN(KS)
  SUMI=SUMI+SPEDEL1(KS,INDEXI)*VALDEL1(KS,INDEXI)**LKSUM/
  1(EXP(VALDEL1(KS,INDEXI))-1.)/(1.-EXP(-VALDEL1(KS,INDEXI)))
150  CONTINUE
C
C           SUML=SUML+TCCOEFF(KA1,KA2,KS,INDEXL)*SUMI
100  CONTINUE
C
C           SUMS=SUMS+SUML
50   CONTINUE
C
C           TCDELT1=SUMS
C
C           RETURN
999  END
```

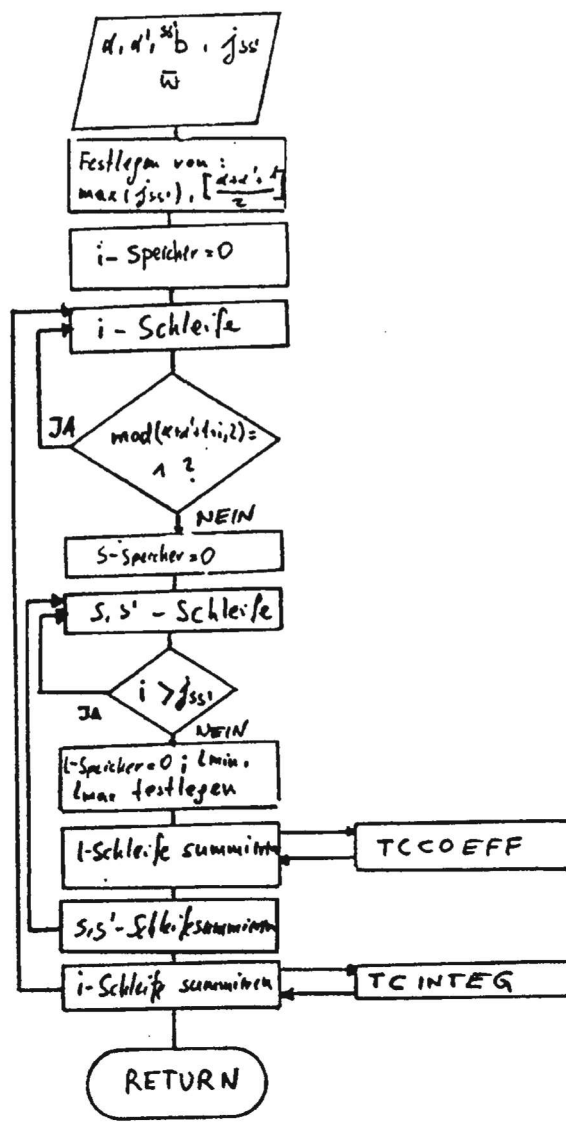
FUNCTION TCPOLY1  
=====

Zweck: Berechnung des Beitrages der Polynome von  $G_{ss}^1$  zum Matrixelement  $C_{aa}$  des Stoßoperators

Input: Indizes des Matrixelementes ( $KA1, KA2$ ), Polynomkoef- fizienten von  $G_{ss}^1$  (SPEPOL1), Anzahl der Polynomkoef- fizienten für jede Spektralfunktion (IDIMEN), Max. Zahl der Polynomkoeffizienten (MAXDIM), Ende der Polynomentwicklung (dimensionslos) (OGRENZE)

Output: Beitrag der Polynome von  $G_{ss}^1$  zum Matrixelement  $C_{aa}$  des Stoßoperators

$$TCPOLY1 = \sum_{ss'} \sum_{i=2}^{\min\left(\frac{ss+1}{2}, \frac{1}{2}(j_{ss}-i)\right)} \left( \sum_{\text{comer}(0, -\frac{i}{2})}^{ss'} K_{2c}^{ss'} b_{i,ss'} \right) \int_0^{\infty} dw \frac{w^{ss'+3+i}}{(e^w-1)(1-e^{-w})}$$



- 211 -

## FUNCTION TCPOLY1(KA1,KA2,SPEPOL1,1DIMEN,MAXDIM,EGRENZE)

C  
 C GENERAL PURPOSE: COMPUTE TRANSPERT-COEFFICIENTS  
 C  
 C HOST = CYBER 720  
 C COMPILER = FORTRAN RZ-TL VERSION 23-9-83  
 C PURPOSE OF ROUTINE = COMPUTE POLYNOMIAL CONTRIBUTION  
 C OF G1 TO THE MATRIXELEMENT OF  
 C THE COLLISION OPERATOR  
 C VERSION = 1.0  
 C DATE = 4-10-1983  
 C SOURCE FILENAME = TCPOLY0  
 C AUTHOR = D. EIBL  
 C

C ANNOTATION OF DUMMY PARAMETERS  
 \*\*\*\*=  
 C

C P.	C NAME	C TYPE	C I/O	C EXPLANATION
	KA1	INT	I	INDEX OF MATRIXELEMENT OF THE COLLISION OPERATOR
	KA2	INT	I	INDEX OF MATRIXELEMENT OF THE COLLISION OPERATOR
	SPEPOL1	REAL	I	POLYNOM COEFFICIENTS OF G1 I1=1...G1-- I1=2...G1+- I1=3...G1-+ I1=4...G1++
	SPEPOL1(I1,J)			
	IDIMEN	INT	I	UPPER INDEX BOUNDARY OF POLYNOM COEFFICIENTS OF G1
	MAXDIM	INT	I	MAXIMUM NUMBER OF POLYNOMIAL COEFFICIENTS OF G1
	EGRENZE	REAL	I	CUT OFF FOR POLYNOMIAL PART OF G1

C-----  
 C DECLARATIVE SECTION  
 C-----C-----  
 C DIMENSION SPEPOL1(4,0:MAXDIM),IDIMEN(4)  
 C-----C-----  
 C EXECUTIVE SECTION  
 C-----

```
IF (IDIMEN(1).EQ.-1.AND.IDIMEN(2).EQ.-1.AND.IDIMEN(3).  

1.EQ.-1.AND.IDIMEN(4).EQ.-1) THEN  

  TCPOLY1=0.  

  GOTO 999  

ENDIF  

KSUM=KA1+KA2+1  

KSUMP1=KSUM+1  

KSUMP2=KSUMP1+1  

MINI=-KSUM/2*2  

MAXI=IDIMEN(1)  

DO 50 I=2,4
```

- 212 -

```

      DO 50 J=1,I-1
      IF (IDIMEN(I).GT.IDIMEN(J)) MAXI=IDIMEN(I)
      CONTINUE
C
C           COMPUTE I-SUM
C
      SUMI=0.
      DO 100 INDEXI=MINI,MAXI
      IF (MOD(KSUM+INDEXI,2).EQ.1) GOTO 100
C
C           COMPUTE S-SUM
C
      SUMS=0.
      DO 150 I1=-1,1,2
      DO 150 I2=-1,1,2
      KS=(I1+1+(I2+1)*(I2+1))/2+1
      IF (INDEXI.GT.IDIMEN(KS)) GOTO 150
      IF (INDEXI.LT.0) THEN
          NDEXI=-INDEXI
          IF(MOD(NDEXI,2).EQ.1) THEN
              MINL=NDEXI/2+1
          ELSE
              MINL=NDEXI/2
          ENDIF
      ELSE
          MINL=0
      ENDIF
      MAXL=MIN0(KSUM/2,(IDIMEN(KS)-INDEXI)/2)
C
C           COMPUTE L-SUM
C
      SUML=0.
      DO 200 INDEXL=MINL,MAXL
      SUML=SUML+TCCDEFF(KA1,KA2,KS,INDEXL)*SPEPOL1(KS,INDEXI+
      12*INDEXL)
200   CONTINUE
C
C           SUMS=SUMS+SUML
150   CONTINUE
C
C           SUMI=SUMI+SUMS*TCINTEG(KSUMP2+INDEXI,OGRENZE)
100   CONTINUE
C
C           TCPOLY1=2.*SUMI
C
999   RETURN
END

```

FUNCTION TCCOEFF

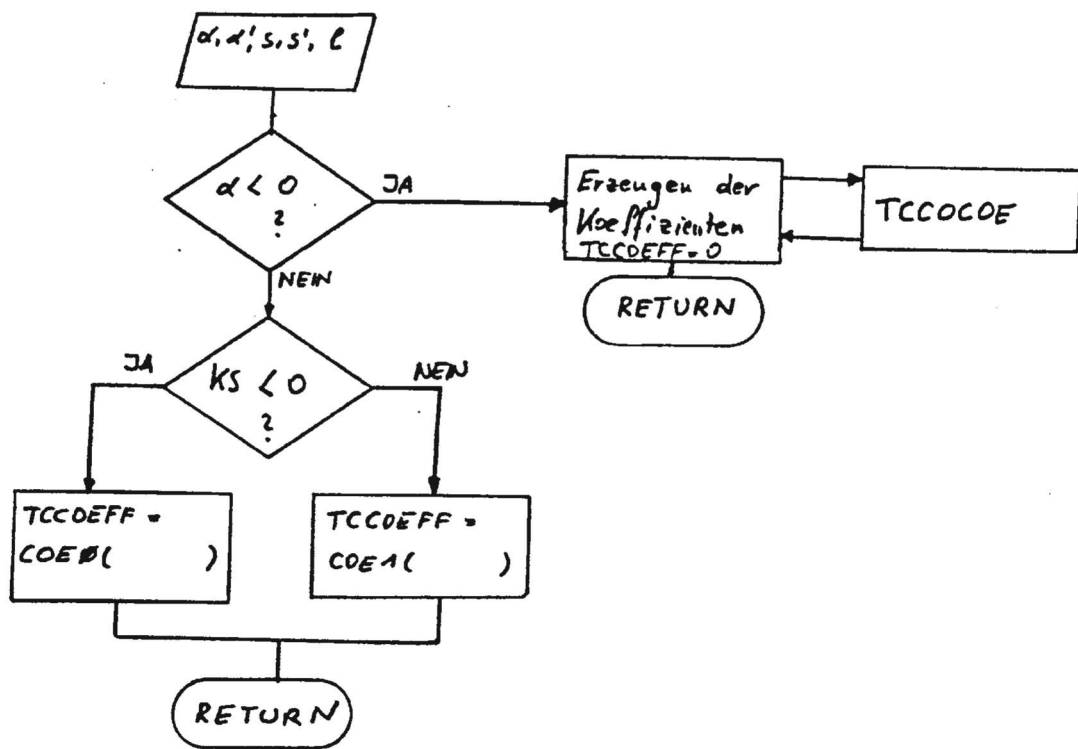
=====

Zweck: Bereitstellung der Koeffizienten  $\alpha_{K_{\alpha}^{\alpha}}$  und  $\alpha_{K_{\alpha}^{\alpha'}}$

Input: Indizes  $s, s'$  (KS),  $\alpha, \alpha'$  (KA1, KA2), l (INDEXL) für  $\alpha_{K_{\alpha}^{\alpha'}}$   
od.  $\alpha_{K_{\alpha}^{\alpha}}$

Output: a) Koeffizienten  $\alpha_{K_{\alpha}^{\alpha'}}$  od.  $\alpha_{K_{\alpha}^{\alpha}}$   
b) TCCOEFF=0 und Aufruf der SR TCCOCOE (für  $\alpha < 0$ )

$$KS = \frac{1}{2} (s+1 + (s'+1)^2), \quad s, s' \neq 1$$



- 214 -

## FUNCTION TCCOEFF(KA1,KA2,KS,INDEXL)

C

C

C

GENERAL PURPOSE: COMPUTE TRANSPORT-COEFFICIENTS

C

C

C

C

C

C

C

HOST = CYBER 720  
 COMPILER = FUR5 RZ-TU VERSION 23-9-83  
 PURPOSE OF ROUTINE = CONTROL ROUTINE FOR SR TCCOEFF  
 VERSION = 1.0  
 DATE = 1-10-83  
 SOURCE FILENAME = TCCOEFF  
 AUTHOR = D. EIBL

C

C

C

ANNOTATION OF DUMMY PARAMETERS

\*\*\*\*\*

C

C

C

C

C

C

C

C

C

C

C

C

C

C

C

C

C

C

C

C

C

C

C

C

C

C

C

C

C

C

C

C

C

C

C

C

C

C

C

C

C

C

C

C

C

C

C

C

C

C

C

C

C

C

C

C

C

C

C

C

C

C

C

C

C

C

C

C

C

C

C

C

C

C

C

C

C

C

C

C

C

C

C

C

C

C

C

C

C

C

C

C

C

C

C

C

C

C

C

C

C

C

C

C

C

C

C

C

C

C

C

C

C

C

C

C

C

C

C

C

C

C

C

C

C

C

C

C

C

C

C

C

C

C

C

C

C

C

C

C

C

C

C

C

C

C

C

C

C

C

C

C

C

C

C

C

C

C

C

C

C

C

C

C

C

C

C

C

C

C

C

C

C

C

C

C

C

C

C

C

C

C

C

C

C

C

C

C

C

C

C

C

C

C

C

C

C

C

C

C

C

C

C

C

C

C

C

C

C

C

C

C

C

C

C

C

C

C

C

C

C

C

C

C

C

C

C

C

C

C

C

C

C

C

C

C

C

C

C

C

C

C

C

C

C

C

C

C

C

C

C

C

C

C

C

C

C

C

C

C

C

C

C

C

C

C

C

C

C

C

C

C

C

C

C

C

C

C

C

C

C

C

C

C

C

C

C

C

C

C

C

C

C

C

C

C

C

C

C

C

C

C

C

C

C

C

C

C

C

C

C

C

C

C

C

C

C

C

C

C

C

C

C

C

C

C

C

C

C

C

C

C

C

C

C

C

C

C

C

C

C

C

C

C

C

C

- 215 -

```
C      KA1 >= 0, KS < 0: OUTPUT COEC(KA1,KA2,-KS,INDEXL)
C
C      ELSE IF (KS.LT.0) THEN
C          TCCOEFF=COEO(KA1,KA2,-KS,INDEXL)
C
C      KA1 >=0, KS > 0: OUTPUT COE1(KA1,KA2,KS,INDEXL)
C
C      ELSE
C          TCCOEFF=COE1(KA1,KA2,KS,INDEXL)
C      ENDIF
C
C      RETURN
END
```

SUBROUTINE TCCOCOE

=====

Zweck: Berechnen der Koeffizienten  ${}^{\alpha}K_{\epsilon}^{\alpha'}$  und  ${}^{\alpha'}K_{\epsilon}^{\alpha'}$

Input: Dimension des Funktionenraumes (IDIMEN), Max. Dimension des Funktionenraumes (MAXDIM)

Output: Koeffizienten  ${}^{\alpha}K_{\epsilon}^{\alpha'}$  (COE0) und  ${}^{\alpha'}K_{\epsilon}^{\alpha'}$  (COE1)

Gleichungen:

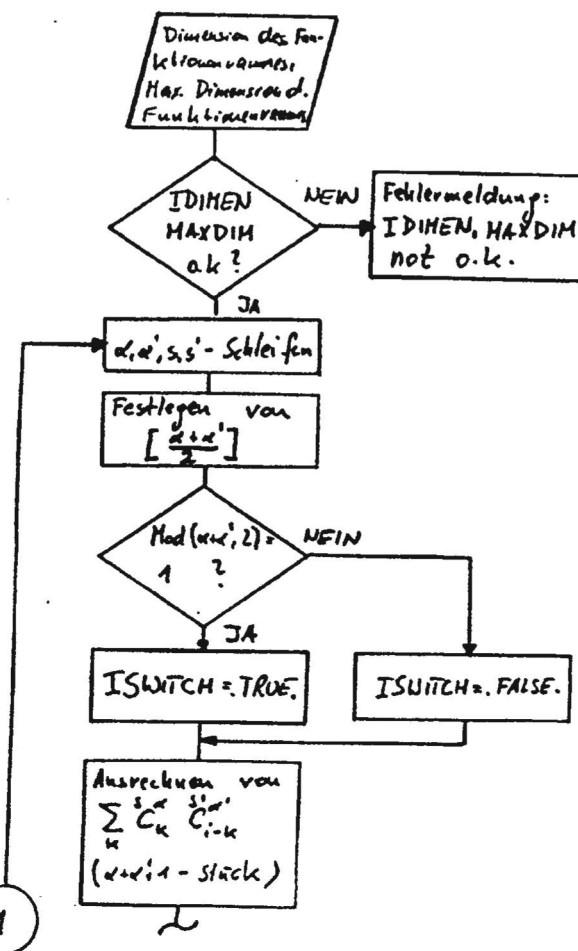
$${}^{\alpha}K_{2\epsilon}^{\alpha'} = 2 \pi(2\epsilon) \sum_{i=0}^{\alpha+\alpha'-2\epsilon} \frac{(\alpha+\alpha'-i)!}{(\alpha+\alpha'+1-i-2\epsilon)!} \left\{ \sum_{k=\max(0, i-\alpha')}^{\min(\alpha, i)} {}^{\alpha}C_k {}^{\alpha'}C_{i-k} \right\} \quad \epsilon > 1$$

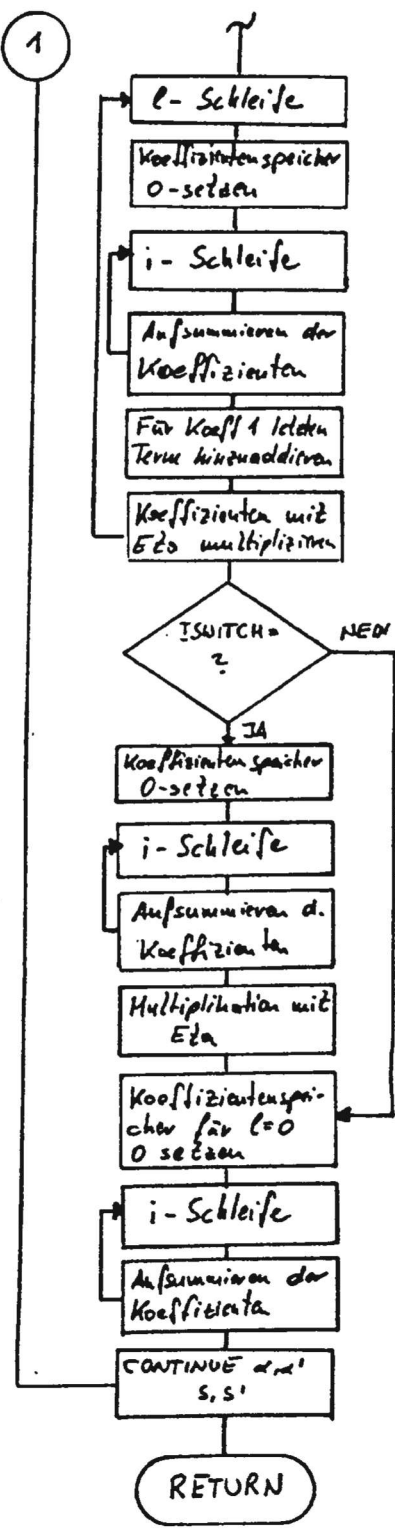
$${}^{\alpha}K_{0}^{\alpha'} = \sum_{i=0}^{\alpha+\alpha'} \frac{1}{\alpha+\alpha'+1-i} \left\{ \sum_{k=\max(0, i-\alpha')}^{\min(\alpha, i)} {}^{\alpha}C_k {}^{\alpha'}C_{i-k} \right\} \quad \epsilon = 0$$

$${}^{\alpha'}K_{2\epsilon}^{\alpha'} = 2 \pi(2\epsilon) \sum_{i=0}^{\alpha+\alpha'-2\epsilon} \frac{(\alpha+\alpha'+1-i)!}{(\alpha+\alpha'+2-i-2\epsilon)!} \left\{ \sum_{k=\max(0, i-\alpha')}^{\min(\alpha, i)} {}^{\alpha'}C_k {}^{\alpha}C_{i-k} \right\} \quad \epsilon > 1$$

$${}^{\alpha'}K_{0}^{\alpha'} = \sum_{i=0}^{\alpha+\alpha'} \frac{1}{\alpha+\alpha'+2-i} \left\{ \sum_{k=\max(0, i-\alpha')}^{\min(\alpha, i)} {}^{\alpha'}C_k {}^{\alpha}C_{i-k} \right\}$$

Definition der  ${}^{\alpha}C_k$  siehe 3.2.1.29





- 218 -

## SUBROUTINE TCCOCOE(IDIMEN, MAXDIM, COEO, COE1)

C GENERAL PURPOSE: COMPUTE TRANSFER COEFFICIENTS

HOST	= CYBER 720
COMPILER	= FCR5 RZ-TU VERSION 23-9-83
PURPOSE OF ROUTINE	= COMPUTE COEFFICIENTS COEO, COE1
VERSION	= 1.0
DATE	= 23-9-83
SOURCE FILENAME	= TCCOCOE
AUTHOR	= O. EIBL

## C ANNOTATION OF DUMMY PARAMETERS

\*\*\*\*\*

P.	NAME	TYPE	I/O	EXPLANATION
C	IDIMEN	INT	I	REQUESTED DIMENSION OF MATRIX OF COLLISION OPERATOR
C	MAXDIM	INT	I	MAX. DIMENSION OF MATRIX OF COLLISION OPERATOR
C	COEO	REAL	O	COEFFICIENTS DEFINED IN HANDBOOK
C	COE1	REAL	O	COEFFICIENTS DEFINED IN HANDBOOK

## C DECLARATIVE SECTION

```
PARAMETER(KA=6)
DIMENSION IA(0:KA,0:KA),IA1(0:KA),IA2(0:KA),COEFHEL(0:2*KA),
IETA(20),FAKT(0:19),
1COEO(0:KA,0:KA,4,0:KA),COE1(0:KA,0:KA,4,0:KA+1)
```

## C LOGICAL ISWITCH

```
DATA (FAKT(I),I=0,19) / .100000000000E+01,
1.100000000000E+01,
1.200000000000E+01,
1.600000000000E+01,
1.240000000000E+02,
1.120000000000E+03,
1.720000000000E+03,
1.504000000000E+04,
1.403200000000E+05,
1.362880000000E+06,
1.362880000000E+07,
1.399168000000E+08,
1.4790016000000E+09,
1.6227020800000E+10,
1.8717829120000E+11,
1.1307674368000E+13,
1.2092278988800E+14,
1.3556874280960E+15,
1.6402373705728E+16,
1.1216451004088E+18/
```

- 219 -

```
DATA (ETA(J),J=2,20,2) / .62246703342411,
1.94703282949725,
1.9855109129744, .99623301185265, .99903450759e27,
1.9997576651439, .99993917034598, .99998476421491,
1.9999961878696, .99999904661158/
```

C

```
DATA(IA(0,K),K=0,6)/1,6*0/
DATA(IA(1,K),K=0,6)/1,-1,5*0/
DATA(IA(2,K),K=0,6)/1,-2,1,4*0/
DATA(IA(3,K),K=0,6)/1,-3,3,-1,3*0/
DATA(IA(4,K),K=0,6)/1,-4,6,-4,1,2*0/
DATA(IA(5,K),K=0,6)/1,-5,10,-10,5,-1,0/
DATA(IA(6,K),K=0,6)/1,-6,15,-20,15,-6,1/
```

C

C-----

## C EXECUTIVE SECTION

C-----

C

```
IF (MAXDIM.NE.KA) THEN
STOP 'SR TCCOCOE: MAXDIM.NE.KA'
ELSE IF (IDIMEN.GT.MAXDIM) THEN
STOP 'SR TCCOCOE: IDIMEN.GT.MAXDIM'
ENDIF
```

C

C-----

## C BEGINN DES RECHENTEILS FUER COE0,COE1

C

```
DO 50 KA1=0, IDIMEN
DO 50 KA2=0, IDIMEN
DO 50 I1=0,2,2
DO 50 I2=0,2,2
KS=(I1+I2*I2)/2+1
KSUM=KA1+KA2
LGRENZ=KSUM/2
```

C

C-----

## C BEREICH DES INDEXL FUER COE1 FESTLEGEN

C

```
IF (MOD(KSUM,2).EQ.1) THEN
ISWITCH=.TRUE.
ELSE
ISWITCH=.FALSE.
ENDIF
```

C

C-----

## C KONSTANTEN COEFHEL BERECHNEN

C

```
DO 100 IPOLCOE=0,MAX0(KA1,KA2)
IA1(IPOLCOE)=IA(KA1,IPOLCOE)*(I1-1)
IA2(IPOLCOE)=IA(KA2,IPOLCOE)*(I2-1)
100 CONTINUE
IA1(0)=IA1(0)+1
IA2(0)=IA2(0)+1
DO 150 IHHELP=0, KSUM
COEFHEL(IHELP)=0.
DO 150 J=MAX0(0,IHELP-KA2),MIN0(KA1,IHELP)
COEFHEL(IHELP)=COEFHEL(IHELP)+FLOAT(IA1(J)*IA2(IHELP-J))
150 CONTINUE
```

C

C-----

## C MIT COEFHEL COE0,COE1 BERECHNEN (INDEXL&gt;=1)

C

```
DO 250 INDEXL=1,LGRENZ
LKONST=KSUM-2*INDEXL
COE0(KA1,KA2,KS,INDEXL)=0.
```

- 220 -

```

COE1(KA1,KA2,KS,INDEXL)=0.
QUOTO=FAKT(KSUM)/FAKT(LKONST+1)
QUOT1=QUOTO*FLOAT(KSUM+1)/FLOAT(LKONST+2)

```

C  
C  
C

AUFSUMMIEREN DER I-SUMMME

```

DO 300 INDEXI=0,LKONST
COEO(KA1,KA2,KS,INDEXL)=COEO(KA1,KA2,KS,INDEXL)+COEFHEL(INDEX
1*QUOTO
COE1(KA1,KA2,KS,INDEXL)=COE1(KA1,KA2,KS,INDEXL)+COEFHEL(INDEX
1*QUOT1
IF (INDEXI.NE.LKONST) THEN
QUOTO=QUOTO*FLOAT(LKONST-INDEXI+1)/FLOAT(KSUM-INDEXI)
QUOT1=QUOT1*FLOAT(LKONST-INDEXI+2)/FLOAT(KSUM+1-INDEXI)
ENDIF
300  CONTINUE
COE1(KA1,KA2,KS,INDEXL)=COE1(KA1,KA2,KS,INDEXL)+1*COEFHEL(LKONST+1)*FAKT(2*INDEXL)
COEO(KA1,KA2,KS,INDEXL)=COEO(KA1,KA2,KS,INDEXL)+1*ETA(2*INDEXL)*2.
COE1(KA1,KA2,KS,INDEXL)=COE1(KA1,KA2,KS,INDEXL)+1*ETA(2*INDEXL)*2.
250  CONTINUE
C
C
C      ABFRAGE OB NOCH EIN COE1 ZU RECHNEN IST
C
IF (ISWITCH) THEN
COE1(KA1,KA2,KS,LGRENZ+1)=FAKT(KSUM+1)*COEFHEL(0)*
1 ETA(2*LGRENZ+2)*2.
ENDIF
C
C
C      COEO,COE1 FUER INDEXL=0
C
COEO(KA1,KA2,KS,0)=0.
COE1(KA1,KA2,KS,0)=0.
DO 400 INDEXI=0,KSUM
COEO(KA1,KA2,KS,0)=COEO(KA1,KA2,KS,0)+COEFHEL(INDEXI)/
1FLOAT(KSUM+1-INDEXI)
COE1(KA1,KA2,KS,0)=COE1(KA1,KA2,KS,0)+COEFHEL(INDEXI)/
1FLOAT(KSUM+2-INDEXI)
400  CONTINUE
50   CONTINUE
C
C
C
RETURN
END

```

FUNCTION TCINTEG

Zweck: Brechnung der Integrale  $\int_0^{\bar{w}} dw \frac{w^n}{(e^w-1)(1-e^{-w})}$   $n > 2, n \leq 22$   
auf 8 Stellen genau

Input: Integralparameter n ( $N, 1 < N < 22$ ), obere Integrationsgrenze  $\bar{w}$  (Y)

Output: Wert des Integrales  $\int_0^{\bar{w}} dw \frac{w^n}{(e^w-1)(1-e^{-w})}$  (auf 8 Stellen genau)

Gleichungen:

$$\int_0^{\bar{w}} dw \frac{w^k}{(e^w-1)(1-e^{-w})} = k \int_0^{\bar{w}} dw \frac{w^{k-1}}{e^w-1} - \frac{E^k}{e^{\bar{w}}-1}$$

Auswertung des Integrales  $\int_0^{\bar{w}} dw \frac{w^k}{e^w-1}$  in 3 Bereichen:  
(1)  $\bar{w} < 3$

$$\frac{w}{e^w-1} = \sum_{n=0}^{\infty} B_n \frac{w^n}{n!} \quad |w| < 2\pi$$

$$\int_0^{\bar{w}} dw \frac{w^k}{e^w-1} = \sum_{n=0}^{\infty} \frac{B_n}{n!} \int_0^{\bar{w}} dw w^{k+n-1} = \sum_{n=0}^{\infty} \frac{B_n}{n!} \frac{\bar{w}^{k+n}}{k+n}$$

$B_n \dots$  Bernoulli-Koeffizienten  
(/14/, Seite 810)

(2)  $3 < \bar{w} < \bar{w}_m$  (für  $\bar{w} > \bar{w}_m$  wird nach Punkt 3 ausgewertet)

$$\int_0^{\bar{w}} dw \frac{w^k}{e^w-1} = \int_0^{\bar{w}} dw \frac{w^k}{e^w-1} - \int_{\bar{w}}^{\infty} dw \frac{w^k}{e^w-1}$$

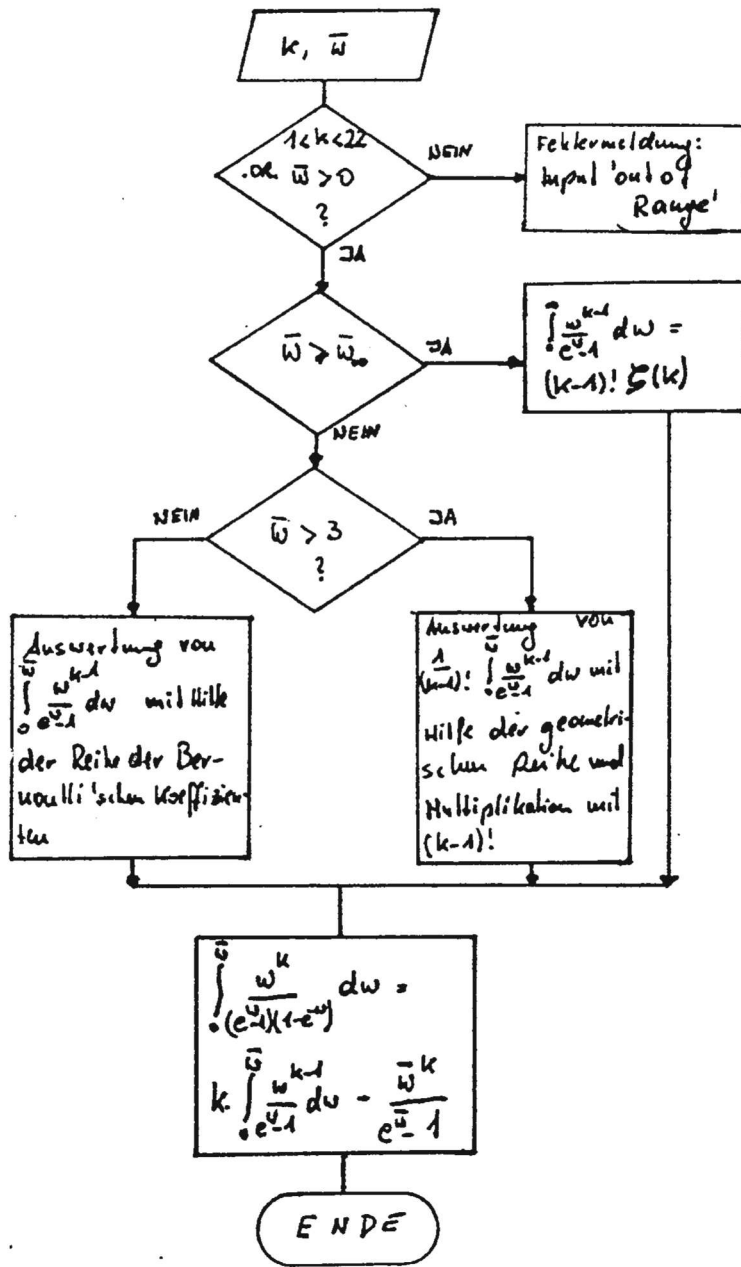
$$\int_0^{\bar{w}} dw \frac{w^k}{e^w-1} = k! \zeta(k+1) \quad k \geq 1 \quad \zeta(n) \dots \text{Riemann'sche Zeta-Funktion}$$

$$\int_{\bar{w}}^{\infty} dw \frac{w^k}{e^w-1} = \sum_{n=1}^{\infty} \sum_{m=0}^k \left(\frac{1}{n}\right)^{k-m+1} \frac{k!}{m!} y^m e^{-y\bar{w}}$$

$$\int_0^{\bar{w}} dw \frac{w^k}{e^w-1} = k! \zeta(k+1) - \sum_{n=1}^{\infty} \sum_{m=0}^k \left(\frac{1}{n}\right)^{k-m+1} \frac{k!}{m!} y^m e^{-y\bar{w}}$$

$$(3) \text{ assymptotische Auswertung: } \int_0^{\infty} dw \frac{w^k}{e^w - 1} - \int_0^{\bar{w}} dw \frac{w^k}{e^w - 1} \leq 10^{-8} \int_0^{\infty} dw \frac{w^k}{e^w - 1}$$

$$\int_0^{\infty} dw \frac{w^k}{e^w - 1} = k! \zeta(k+1)$$



- 223 -

## FUNCTION TCINTEG(N,Y)

C

C GENERAL PURPOSE: COMPLETE TRANSPORT-COEFFICIENTS

C

HOST	= CYBER 720
COMPILER	= FOR5 RZ-TL VERSION 23-9-83
PURPOSE OF ROUTINE	= INTEGRATION OF FUNCTION
	$X^{**N}/((\exp(X)-1)(1-\exp(-X)))$ IN THE
	BOUNDARIES (0,Y)
VERSION	= 1.0
DATE	= 26-9-83
SOURCE FILENAME	= TCINTEG
AUTHOR	= O. EIBL

C

C

## C ANNOTATION OF DUMMY PARAMETERS

\*\*\*\*\*

C

P.	NAME	TYPE	I/O	EXPLANATION
C	N	INT	I	PARAMETER OF INTEGRAL $N > 1, N < 22$
C	Y	REAL	I	UPPER INTEGRATION BOUNDARY $Y > 0$

C-----

C

## C DECLARATIVE SECTION

C-----

C

C PARAMETER(PI=3.141592654)

C

C DIMENSION B(0:20),BE(21),YGRENZ(20),FAKT(0:20)

C

```
DATA (B(I),I=0,15) / .100000000000E+01,
1.833333350000E-01,
1 -.1388888887500E-02,
1.3306678306944E-04,
1 -.8267195758929E-06,
1.2087675698854E-07,
1 -.5264190138405E-09,
1.1338253656892E-10,
1 -.3389680297740E-12,
1.8586062057836E-14,
1 -.2174868698616E-15,
1.5509002826909E-17,
1 -.1395446467924E-18,
1.3534707036307E-20,
1-.8953517427038E-22,
1.2267952452338E-23/
```

C

```
DATA (BE(I),I=1,21) / .1E44934066848E+01,
1.120205690316E+01,
1.1082323233711E+01,
1.1036927755143E+01,
1.1017343061984E+01,
1.1008349277382E+01,
1.1004077356198E+01,
1.1002008392826E+01,
1.1000994575128E+01,
1.1000494188604E+01,
```

- 224 -

```

1.1000246066553E+01,
1.1000122713348E+01,
1.1000061248135E+1,
1.1000030568236E+1,
1.1000015282259E+1,
1.1000007637198E+1,
1.1000003617293E+1,
1.1000001908213E+1,
1.1000000953962E+1,
1.1000000476933E+1,.1000000238451E+1/

```

C

```

DATA (YGRENZ(I),I=1,20) /22.,25.,29.,34.,39.,
143.,46.,50.,55.,60.,65.,70.,75.,80.,86.,
191.,97.,102.,108.,113./

```

C

```

DATA (FAKT(I),I=0,20) /.10000000000CE+01,
1.10C000000000E+01,
1.200000000000E+01,
1.600000000000E+01,
1.240000000000E+02,
1.120000000000E+03,
1.720000000000E+03,
1.504000000000E+04,
1.403200000000E+05,
1.362880000000E+06,
1.362880000000E+07,
1.399168000000E+08,
1.479001600000E+09,
1.622702080000E+10,
1.8717829120000E+11,
1.1307674368000E+13,
1.2092278988800E+14,
1.3556874280960E+15,
1.6402373705728E+16,
1.1216451004088E+18,.2432902008177E+19/

```

C

C-----

C EXECUTIVE SECTION

C-----

C

## ABFRAGEN DES GUELTIGKEITSBEREICHES

C

```

IF ((N.LE.1).OR.(N.GT.21)) STOP 'FUNCTION TCINTEG:
1 N OUT OF RANGE'
IF (Y.LE.0.) STOP 'FUNCTION TCINTEG: Y <= 0'
M=N-1

```

C

C PROGRAMMZWEIG - ABFRAGE

C

```

IF (Y.GE.YGRENZ(M)) GOTO 1
GOTO 2
1 F1=BE(M)*FAKT(M)
GOTO 200
2 IF (Y.GT.3.) GOTO 3
J1=INT(ALOG(7./16.*1.E-8*FLGAT(M+2)/FLOT(M+1)
1*Y*EXP(-Y))/ALOG(Y/2./PI)/2.+1.)
IF (J1.GT.15) STOP 'FUNCTION TCINTEG: J1>15'
GOTO 30
3 N1=INT((19.473+FLOT(M))/Y+1.)
GOTO 300

```

C

- 225 -

```

23
24
25      C          AUSWERTUNG FUER Y <= 3
26      C
27      30      F1=0.
28      POLY=Y**(M-2)
29      REALNEN=FLOAT(M-2)
30      YPOT2=Y*Y
31      DO 50 J=0,J1
32      POLY=POLY*YPOT2
33      REALNEN=REALNEN+2.
34      F1=F1+B(J)*POLY/REALNEN
35      CONTINUE
36      F1=F1-(.5*Y**(M+1))/FLOAT(M+1))
37      GOTO 200
38
39      C
40      C          AUSWERTUNG DER REIHE FUER Y > 3
41      C
42      300     F1=0.
43      DO 150 I1=1,N1
44      XM2=1.
45      QUOT1=1./Y
46      REALI1=FLOAT(I1)
47      QUOT2=(1./REALI1)**(M+2)
48      DO 150 I2=0,M
49      QUOT1=QUOT1*Y
50      QUOT2=QUOT2*REALI1
51      IF (I2.EQ.0) GOTO 350
52      XM2=XM2*FLOAT(I2)
53      350     F1=F1+QUOT2/XM2*QUOT1*EXP(-Y*REALI1)
54      150     CONTINUE
55      F1=(BE(M)-F1)*FAKT(M)
56
57      C
58      C
59      200     TCINTEG=FLOAT(N)*F1-Y**N/(EXP(Y)-1.)
60      RETURN
61      END

```

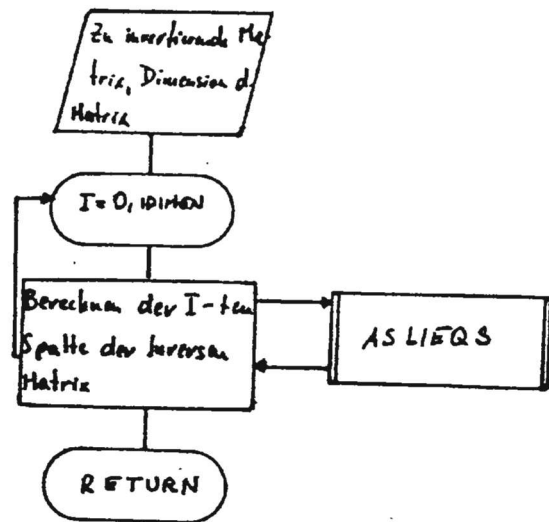
SUBROUTINE TCMAINV

=====

Zweck: Inversion einer  $n \times n$  - Matrix

Input: Zu invertierende Matrix (COEMAT), Max. Dimension der Matrix (MAXDIM), Dimension der Matrix (IDIMEN)

Output: Zu COEMAT inverse Matrix (COEINV)



- 227 -

## SUBROUTINE TCMAINV(COEMAT, COEINV, MAXDIM, IDIMEN)

C  
 C GENERAL PURPOSE: COMPLETE TRANSPRT-COEFFICIENTS  
 C TO INPUT CONDITIONS  
 C

C HOST = CYBER 720  
 C COMPILER = FOR5 R2-TU VERSION 23-9-83  
 C PURPOSE OF ROUTINE = INVERT INPUT MATRIX  
 C VERSION = 2.0  
 C DATE = 14-11-1983  
 C SOURCE FILENAME = TCMAINV  
 C AUTHOR = O. EIBL

C ANNOTATION OF DUMMY PARAMETERS  
 C =====

P.	NAME	TYPE	I/O	EXPLANATION
	COEMAT	REAL	I	INPUT MATRIX THAT SHOULD BE INVERTED
	COEINV	REAL	O	INVERSE MATRIX OF COEMAT
	MAXDIM	INT	I	MAX. DIMENSION OF COEMAT AVAILABLE
	IDIMEN	INT	I	REQUESTED DIMENSION OF COEMAT

C DECLARATIVE SECTION

C PARAMETER (KA=6)

C DIMENSION COEMAT(0:MAXDIM,0:MAXDIM), COEINV(0:MAXDIM,  
 10:MAXDIM), COINHOM(0:KA), XCoeff(0:KA)

C EXECUTIVE SECTION

C IF (KA.NE.MAXDIM) STOP 'SR TCMAINV:KA.NE.MAXDIM'  
 C IF (IDIMEN.GT.KA) STOP 'SR TCMAINV:IDIMEN.GT.KA'

C COMPUTE THE ROWS OF THE INVERSE MATRIX

C DO 10 IROW=0, IDIMEN  
 C DO 20 IUNIT=0, IDIMEN  
 C IF (IUNIT.EQ.IROW) THEN  
 C COINHOM(IUNIT)=1.

C ELSE  
 C COINHOM(IUNIT)=0.

C ENDIF

20 CONTINUE

C CALL ASLIEQS(COEMAT, COINHOM, MAXDIM, IDIMEN, XCoeff)

C DO 10 IDIS=0, IDIMEN  
 C COEINV(IDIS, IROW)=XCoeff(IDIS)  
 C CONTINUE

10

C

C

SUBROUTINE TCMAINV

73/172 OPT=0

FIN 5.1+536

- 228 -

RETURN

END

## A.2.2 Programme zur Berechnung der Spektralfunktionen

### A.2.2.1 Das Programmpaket CMS

Das Programmpaket CMS dient zur Berechnung der Spektralfunktionen  $G_{--}^0, \dots, G_{++}^1$  der Potential-, der Magnetischen- und der Phononen-Streuung für zueinander äquidistant liegende Temperaturen.

Es legt die berechneten Daten auf die Dateien  
TAPE 53 - 55 ab.

#### Seitenverzeichnis für die Programmeinheiten

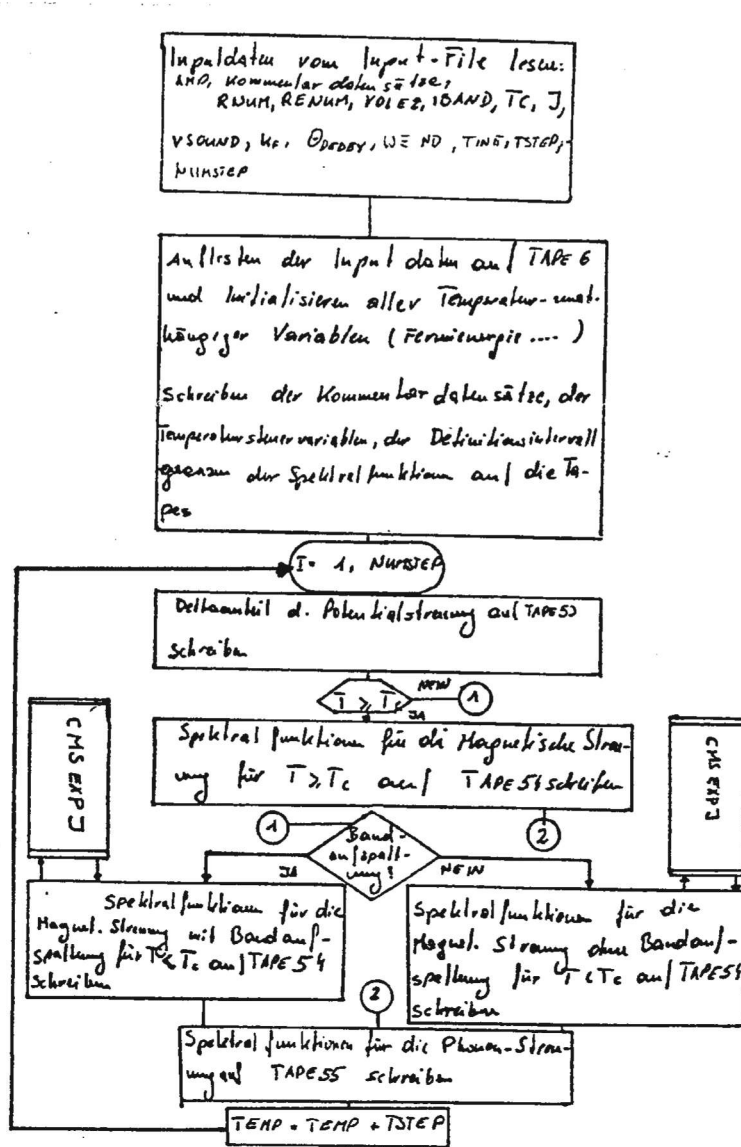
PROGRAM	CMSFILE	230
SUBROUTINE	CMSREFA	238
SUBROUTINE	CMSEXPJ	242
FUNCTION	CMSMAGN	246

PROGRAM CMSFILE

=====

**Input:** Absolute Stärke der Wechselwirkungen (AMP), Kommentardatensätze (START, ABSAMP, MODEL), Zahl der Leitungselektronen in der Einheitszelle (RNUM), Zahl der Seltenen Erd Ionen in der Einheitszelle (RENUM), Volumen der Einheitszelle (VOLEZ), Bandaufspaltung JA/NEIN (IBAND), Ordnungstemperatur magnetisch (TC), Gesamtdrehimpulsquantenzahl (RJ), Schallgeschwindigkeit (VSOUND), Fermiwellenvektor (QFERMI), Debeytemperatur (WDEBEY), oberes Definitionsintervallende für die Spektralfunktionen (WEND), Anfangstemperatur (TINIT), Temperaturschrittweite (TSTEP), Zahl der Temperaturschritte (NUMSTEP)

**Zweck:** Berechnen der Spektralfunktionen für die Potential-Streuung, die Magnetische-Streuung und die Phonon-Streuung und Ablegen der Daten auf die Tapes 53-55



## Berechnen der Modellspektralfunktionen im PROGRAM CMSFILE

Potential-Streuung:

$G^0$       Gleichungen 4.2.1.1.6, 4.2.1.1.7

$G^1$       Gleichungen 4.2.1.1.12, 4.2.1.1.13

Magnetische-Streuung:

Bestimmung der Bandaufspaltung  $\Delta b$  für  $T < T_c$

$$\Delta b = -\frac{1}{2} \langle J_z \rangle \left\langle k \uparrow \sum_{nr} G(\vec{r}) \right| k \uparrow \rangle = -\frac{1}{2} \langle J_z \rangle N \cdot N_{RE} \frac{G_0}{\Delta^3 r}$$

$$G_0 = \int d^3r G(\vec{r})$$

$$\text{Matrixelement } |G|^2 = (\Delta^3 R)^3 \sum_r |\langle k \uparrow |G(r)|k \uparrow \rangle|^2 = N_{RE} |G_0|^2$$

$$k_b a_m = \frac{(2\pi)^3}{16} \frac{1}{V_{\text{Vol}_{EZ}}} |G|^2 \bar{v}(0) N(0)$$

$$\Delta b = - \text{sign}(G_0) \frac{1}{2} \langle J_z \rangle \left[ \frac{k_b a_m}{\bar{v}(0) N(0)} \quad \frac{16}{(2\pi)^3} \frac{N_{RE}}{V_{\text{Vol}_{EZ}}} \right]^{1/2} \quad (\text{sign}(G_0) = -1)$$

Spektralfunktionen  $T < T_c$  mit Bandaufspaltung

$G_{\pm\pm}^0$       Gleichung 4.2.1.2.5

$G_{+-}^0(\Omega) = a_{+-}(\Delta b, -\Delta b) \frac{\langle J_z \rangle}{\pi} \delta(\Omega - \Delta E)$

$G_{\pm\pm}^1$       Gleichung 4.2.1.2.7

$$G_{\pm\pm}^1(\Omega) = \delta(\Omega) [a'_{+-}(-\Delta b, -\Delta b) + a'_{+-}(\Delta b, \Delta b)] + a'_{+-}(\Delta b, -\Delta b) \frac{\langle J_z \rangle}{\pi} \delta(\Omega - \Delta E) \\ + a'_{+-}(-\Delta b, \Delta b) \frac{\langle J_z \rangle}{\pi} \delta(\Omega + \Delta E) \quad (a'_{ss}(E, E') = \frac{\partial}{\partial E} a_{ss}(E, E'))$$

$$\mu = E_f$$

$T < T_c$  ohne Bandaufspaltung

$G^0$       Gleichungen 4.2.1.2.24, 4.2.1.2.25

$G^1$       Gleichungen 4.2.1.2.28, 4.2.1.2.29

$$\mu = E_f$$

$T > T_c$

$G^0$       Gleichungen 4.2.1.2.30, 4.2.1.2.31

$G^1$       Gleichungen 4.2.1.2.34, 4.2.1.2.35

$$\mu = E_f$$

Phononen-Streuung

$G^0$       Gleichungen 4.2.1.3.4 – 4.2.1.3.6

$G^1$       Gleichungen 4.2.1.3.8, 4.2.1.3.11 – 4.2.1.3.13       $\mu = E_f$

- 233 -

## PROGRAM CMSFILE

C

C

C

PROGRAMM ZUR ERZEUGUNG DER TAPES 53,...,55  
FUER POTENTIALSTREUNNG, MAGNETISCHE STREUNNG,  
ELEKTRON PHONON STEUUNG

C

C

C

HOST = CYBER 720  
COMPILER = FOR5 RZ-TU VERSION 23-9-83  
PURPOSE OF ROUTINE = CREATE MODEL-SPECTRALFUNCTIONS  
TO CALCULATE TRANSPORTCOEFF.S  
VERSION = 1.0  
DATE = 6-12-1983  
SOURCE FILENAME = CMSFILE  
AUTHOR = D. EIBL

C

C

C

## DECLARATIVE SECTION

C

C PARAMETER (MAXPOLY=6,NUMINT=8,MAXM1=2,MAXM2=4,MAXM3=5,  
1MAXDIM=300)

C DIMENSION GPOLY(2,3,0:MAXPOLY),VAR1(MAXM1),VAR2(MAXM2),  
1VAR3(MAXM3),XHELP(MAXDIM),YHELP(MAXDIM),AMP(3)

C CHARACTER\*60 STRART(3),ABSAMP(3),MODEL(3)

C DATA CONV,CONN,CONST / .36843E-8,.552639E-8,.6450306885E-1/

C DATA CONFIRM / 4.1921166E5/

C V(E)=CONV\*E\*SQRT(E)  
DVDE(E)=1.5\*CONV\*SQRT(E)  
RN(E)=CONN\*SQRT(E)  
DNDE(E)=.5\*CONN/SQRT(E)

C

C

C

C

## EXECUTIVE SECTION

C

M2=MAXM2-2

M3=MAXM3-2

C READ(\*,\*) (AMP(I),I=1,3),RNUM,RENUM,VGLEZ,IBAND,  
1(VAR2(I),I=1,M2),(VAR3(I),I=1,M3),WEND,TINIT,TSTEP,NUMSTEP

C

C

C

## ANNOTATION OF INPUT PARAMETERS

\*\*\*\*\*

C

P. NAME TYPE

EXPLANATION

AMP REAL ABSOLUTE STRENGTHS OF INTERACTIONS

RNUM REAL NUMBER OF CONDUCTION ELECTRONS IN  
THE UNIT CELL

```

C
C      RENUM      REAL      NUMBER OF RARE EARTH IONS IN THE
C                               UNIT CELL
C
C      VOLEZ      REAL      VOLUME OF THE UNIT CELL
C
C      IBAND     INT       I=1...CALCULATION WITH BAND GAP
C                               0.....WITHOUT BAND GAP
C
C      VAR2(1)    REAL      TC FOR MAGNETICAL ORDERING
C
C      VAR2(2)    REAL      QUANTUM NUMBER OF TOTAL ANGULAR
C                               MOMENTUM
C
C      VAR3(1)    REAL      VELOCITY OF SOUND
C
C      VAR3(2)    REAL      VECTOR ON THE FERMI SURFACE
C
C      VAR3(3)    REAL      DEBEY TEMPERATUR
C
C      WEND      REAL      UPPER INTERVAL BOUNDARY FOR
C                               SPECTRAL FUNCTIONS
C
C      TINIT     REAL      LOWEST TEMPERATUR WHERE SPECTRAL
C                               FUNCTIONS WILL BE COMPUTED
C
C      TSTEP      REAL      TEMPERATUR INCREASE FOR EVERY STEP
C
C      NUMSTEP   INT       NUMBER OF STEPS FOR COMPUTATION
C-----
```

```

C      EFERMI=CONFORM*(RNUM/VOLEZ)**.66666666666667
C
C      WRITE(6,120) (AMP(I),I=1,3),EFERMI,RNUM,RENUM,VOLEZ,IBAND,
C      1(VAR2(I),I=1,M2),(VAR3(I),I=1,M3),WEND,TINIT,TSTEP,NUMSTEP
120    FORMAT('1',10X,10('*'),'MR CMSFILE:ERZEUGEN DER MODELL',
C      1'SPEKTRALFUNKTIONEN',10('*'),/,/,/
C      111X,'ABSOLUTE STAERKE DER POTENTIALSTREUUNG      =',E12.5,/,
C      111X,'                           DER MAGNET. STREUUNG      =',E12.5,/,
C      111X,'                           DER PHONON STREUUNG      =',E12.5,/
C      111X,'FERMIENERGIE [K]          =',E12.5,/
C      111X,'ZAHL DER ELEKTRONEN IN VOLEZ      =',E12.5,/
C      111X,'ZAHL DER SELTENEN ERD IONEN IN VOLEZ      =',E12.5,/
C      111X,'VOLUMEN DER ELEMENTARZELLE [A**3]      =',E12.5,/
C      111X,'BANDAUFPALTUNG (I=1-JA; I=0-NEIN)      I =',I2,/
C      111X,'KRITISCHE TEMPERATUR (MAGNETISCH)      =',E12.5,/
C      111X,'QUANTENZAHL DES GESAMTDREHIMPULSES      =',E12.5,/
C      111X,'SCHALLGESCHWINDIGKEIT [A/SEC]      =',E12.5,/
C      111X,'FERMIWELLENVEKTOR      [1/A]      =',E12.5,/
C      111X,'DEBEY TEMPERATUR      [K]      =',E12.5,/
C      111X,'DEFINITIONSBEREICH DES POLYNOMANTEILS      =',E12.5,/
C      1,,
C      111X,'ANFANGSTEMPERATUR      [K]      =',E12.5,/
C      111X,'TEMPERATURSCHRITTWEITE [K]      =',E12.5,/
C      111X,'ZAHL DER TEMPERATURSCHRITTE      =',I4)
C      READ(*,*) (START(I),ABSAMP(I),MODEL(I),I=1,3)
C                               INITIALIZE VARIABLES
C
C      VO=V(EFERMI)
C      RNO=RN(EFERMI)
C      VNO=VO*RNO

```

- 235 -

```

CONSTB=.5*SGKT(AMP(2)*CONST*RENUM/VCLLZ/VNO)
AMPG1M=(DVDE(EFERMI)*RNU-DNDE(EFERMI)*V0)/VNO
AMPG1P=(DVDE(EFERMI)*RNU+DNDE(EFERMI)*V0)/VNO
VAR1(1)=AMPG1P
VAR1(2)=AMPG1M
VAR2(MAXM2-1)=VAR1(1)
VAR2(MAXM2)=VAR1(2)
VAR3(MAXM3-1)=VAR1(1)
VAR3(MAXM3)=VAR1(2)
TC=VAR2(1)
RJ=VAR2(2)
VSOUND=VAR3(1)
QFERMI=VAR3(2)
WDEBEY=VAR3(3)

C
DO 10 IDIS=1,3
ITAP=IDIS+52
WRITE(ITAP,20) STRART(IDIS)
20 FORMAT(A60)
WRITE(ITAP,20) ABSAMP(IDIS)
WRITE(ITAP,20) MODEL(IDIS)
10 CONTINUE
C
DO 50 ITAPE=1,3
ITAP=ITAPE+52
WRITE(ITAP,*) TINIT,TSTEP,NUMSTEP
WRITE(ITAP,*) WEND
50 CONTINUE
C
TEMP=TINIT
QDEBEY=WDEBEY/VSOUND
QUOTQ=QDEBEY*QDEBEY/QFERMI/QFERMI/4.
WINT=WEND/FLOAT(NUMINT)

C          START TEMPERATUR LOOP
C
DO 60 ISTEP=1,NUMSTEP
C          BERECHNUNG VON KONSTANTEN ABHAENGIG VON DER
C          BANDSTRUKTUR
C
C          WERTETEABELLE FUER DIE SPEKTRALFUNKTIONEN
C          DER POTENTIAL UND DER MAGNETISCHEN STREUUNG
C
WRITE(53,*) 0,0,0,0,0,0
WRITE(54,*) 0,0,0,0,0,0

C          DELTA ANTEIL DER POTENTIAL STREUUNG
C
WRITE(53,*) 1,0,1,1,1,1
WRITE(53,*) 0.,AMP(1)
WRITE(53,*) 0.,AMP(1)
WRITE(53,*) 0.,AMPG1P*AMP(1)
WRITE(53,*) 0.,AMPG1M*AMP(1)
WRITE(53,*) 0.,AMPG1P*AMP(1)

C          DELTA ANTEIL DER MAGNETISCHEN STREUUNG
C
IF (TEMP.LT.TC) THEN
CALL CMSEXPJ(TEMP,TC,RJ,EXPJZ,EXPJZZ,ETA)

```

- 236 -

```

IF (IBAND.EQ.1) THEN
  DELTAB=CONSTB*EXPJZ
  EFPDB=EFERMI+DELTAB
  EFMDB=EFERMI-DELTAB
  DSM=(DVDE(EFPDB)*RN(EFPDB)-V(EFPDB)*DNDE(EFPDB)+DVDE(EFMDB)
  *RN(EFMDB)-V(EFMDB)*DNDE(EFMDB))/VNO
  EQUOT=DELTAB/EFERMI
  FMPM=2.*SQRT(1.-EQUOT*EQUOT)*EQUOT
  DMPM=(DVDE(EFPDB)*RN(EFMDB)-V(EFMDB)*DNDE(EFPDB))/VNO
  DMMP=(DVDE(EFMDB)*RN(EFPDB)-V(EFPDB)*DNDE(EFMDB))/VNO
ENDIF
DIFJ2Z=(EXPJ2Z-EXPJZ*EXPJZ)
ETA2=ETA*2.*TEMP
QUOT=EXPJZ/ETA
AMPM=AMPG1M*QUOT
AMPP=AMPG1P*QUOT
IF (IBAND.EQ.1) THEN
  WRITE(54,*) 2,1,2,3,3,3
ELSE IF (IBAND.EQ.0) THEN
  WRITE(54,*) 2,0,2,3,3,3
ELSE
  STOP 'MR CMSFILE:IBAND OUT OF RANGE'
ENDIF
WRITE(54,*) 0.,2.*DIFJ2Z*AMP(2)
WRITE(54,*) ETA2,2.*QUOT*AMP(2)
IF (IBAND.EQ.1) THEN
  WRITE(54,*) ETA2,FMPM*QUOT*AMP(2)
ENDIF
WRITE(54,*) 0.,2.*DIFJ2Z*AMP(2)
WRITE(54,*) ETA2,2.*QUOT*AMP(2)
WRITE(54,*) 0.,AMPG1P*2.*DIFJ2Z*AMP(2)
WRITE(54,*) ETA2,AMPP*AMP(2)
WRITE(54,*) -ETA2,AMPP*AMP(2)
IF (IBAND.EQ.1) THEN
  WRITE(54,*) 0.,DSM*DIFJ2Z*AMP(2)
  WRITE(54,*) ETA2,DMPM*QUOT*AMP(2)
  WRITE(54,*) -ETA2,DMMP*QUOT*AMP(2)
ELSE
  WRITE(54,*) 0.,AMPG1M*2.*DIFJ2Z*AMP(2)
  WRITE(54,*) ETA2,AMPM*AMP(2)
  WRITE(54,*) -ETA2,AMPM*AMP(2)
ENDIF
WRITE(54,*) 0.,AMPG1P*2.*DIFJ2Z*AMP(2)
WRITE(54,*) ETA2,AMPP*AMP(2)
WRITE(54,*) -ETA2,AMPP*AMP(2)
ELSE
  CONST=2.*RJ*(RJ+1)
  CONST1=CONST/2.
  WRITE(54,*) 1,0,1,1,1,1
  WRITE(54,*) 0.,CONST1*2.*AMP(2)
  WRITE(54,*) 0.,CONST1*2.*AMP(2)
  WRITE(54,*) 0.,AMPG1P*CONST*AMP(2)
  WRITE(54,*) 0.,AMPG1M*CONST*AMP(2)
  WRITE(54,*) 0.,AMPG1P*CONST*AMP(2)
ENDIF

```

### ELEKTRON PHONON STREUUNG

```

DO 80 I1=1,3
DO 80 I2=0,3
GPOLY(1,I1,I2)=0.

```

- 237 -

```

      GPOLY(2,I1,I2)=0.
60    CONTINUE
C
C      ERZEUGUNG DER WERTETABELLE DER SPEKTRALFUNKTION
C      FUER DIE ELEKTRON PHONON STREULUNG
C
1 CONST1=QUOTQ/WDEBEY/WDEBEY
2 CONST2=CONST1*CONST1
3 XCONST=WDEBEY
4 GPOLY(1,1,1)=4.*TEMP*CONST1*AMP(3)
5 GPOLY(1,1,3)=-4.*TEMP*CONST2*AMP(3)
6 GPOLY(1,3,3)=-GPOLY(1,1,3)
7 POLYP=TEMP*AMPG1M*CONST1*AMP(3)
8 POLYM=-POLYP
C
9 NUM1=NUMINT+1
0 NUM2=2*NUMINT+1
1 WRITE(55,*) NUM1,NUM1,NUM1,NUM2,NUM2,NUM2
2 DO 100 ISPEC=1,6
3 IF (ISPEC.LE.3) THEN
4   KENNPOL=1
5   KS=ISPEC
6   NUM=NUM1
7   X=0.
8 ELSE
9   KENNPOL=2
0   KS=ISPEC-3
1   NUM=NUM2
2   X=-WEND
3 ENDIF
4 DO 90 ICOUNT=1,NUM
5 IF (X.LT.0.) THEN
6   GPOLY(2,2,1)=POLYM
7 ELSE
8   GPOLY(2,2,1)=POLYP
9 ENDIF
0 YHELP(ICOUNT)=0.
1 DO 110 ISUM=1,3
2 YHELP(ICOUNT)=YHELP(ICOUNT)+GPOLY(KENNPOL,KS,ISUM)*
3 1X**ISUM
4 110  CONTINUE
5 XHELP(ICOUNT)=X
6 X=X+WINT
7 90  CONTINUE
8 WRITE(55,*) (XHELP(I),YHELP(I),I=1,NUM)
9 100  CONTINUE
C
C      DELTAANTEIL DER SPEKTRALFUNKTION FUER DIE ELEKTRON
C      PHONON WECHSELWIRKUNG
C
1 WRITE(55,*) 1,0,1,0,2,2
2 WRITE(55,*) XCONST,TEMP*(1.-QUOTQ)*(1.-QUOTQ)*AMP(3)
3 WRITE(55,*) XCONST,TEMP*(1.-QUOTQ*QUOTQ)*AMP(3)
4 WRITE(55,*) XCONST,.5*AMPG1M*TEMP*(1.-QUOTQ)*AMP(3)
5 WRITE(55,*) -XCONST,.5*AMPG1M*TEMP*(1.-QUOTQ)*AMP(3)
6 WRITE(55,*) XCONST,.5*AMPG1P*TEMP*AMP(3)
7 WRITE(55,*) -XCONST,.5*AMPG1P*TEMP*AMP(3)
8 TEMP=TEMP+TSTEP
9 60  CONTINUE
1 STOP
2 END

```

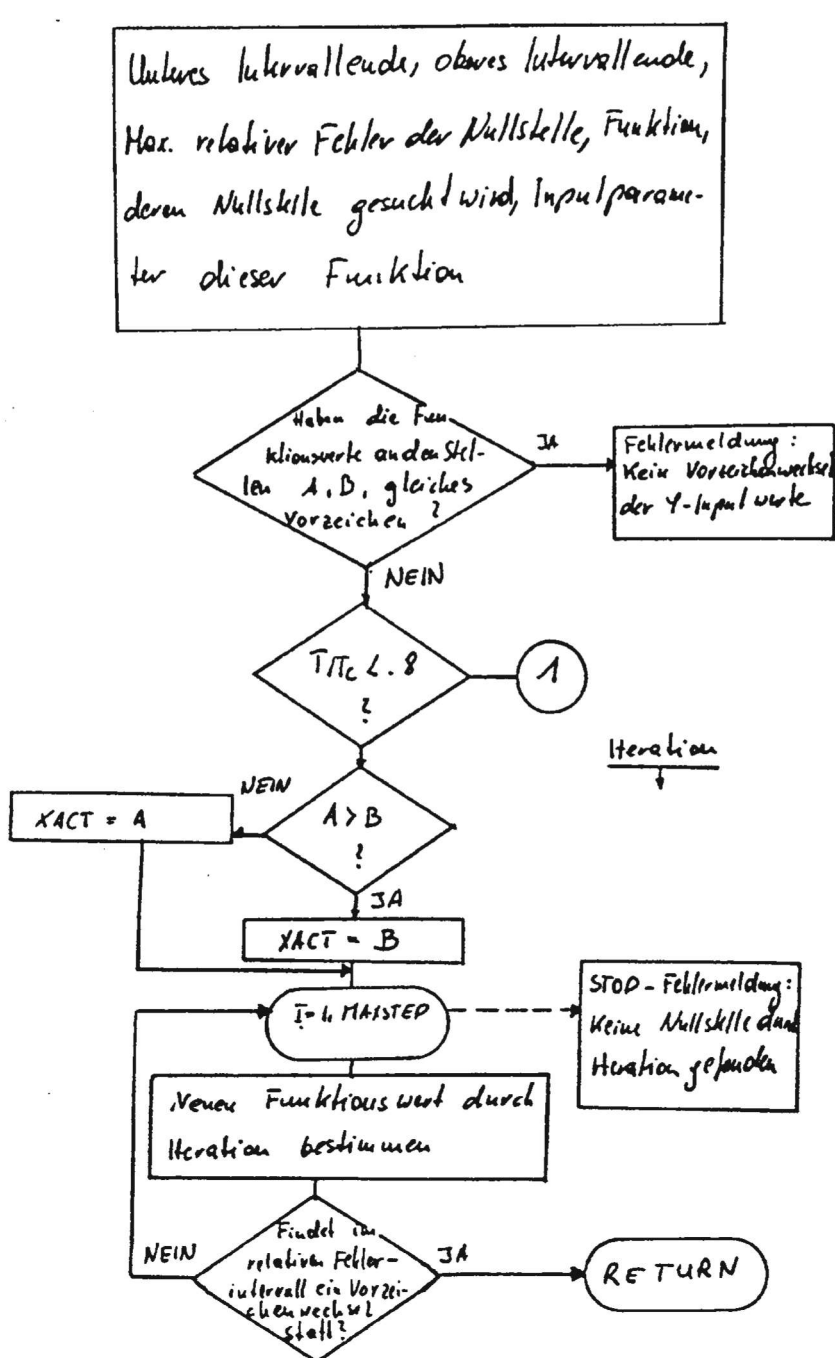
SUBROUTINE CMSREFA

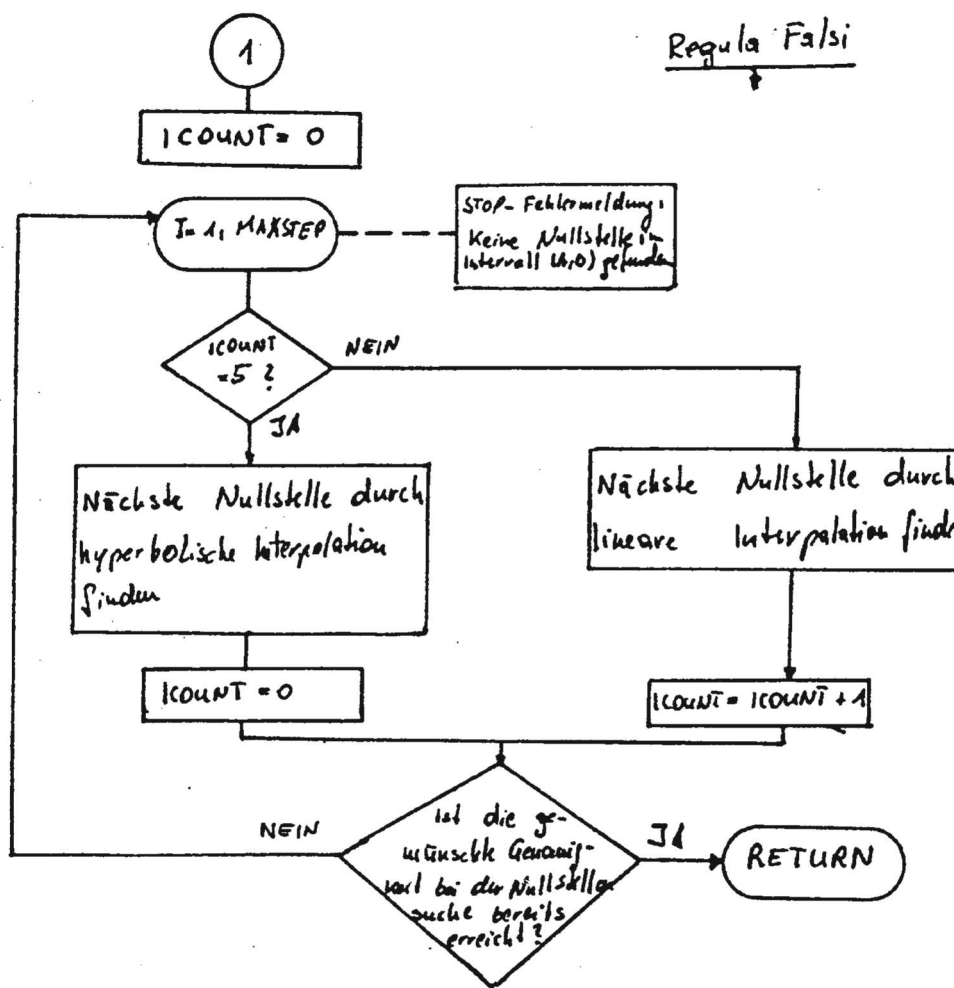
=====

Zweck: Finden der Nullstelle einer gegebenen Funktion in einem gegebenen Intervall mit Hilfe der Regula Falsi

Input: Unteres Intervallende (A), oberes Intervallende (B), Max. relativer Fehler der Nullstelle (EPS), Funktion deren Nullstelle im Intervall (A,B) gesucht wird (FUNCTION), Parameter dieser Funktion (PARA1, PARA2, PARA3)

Output: Nullstelle der Funktion FUNCTION im Intervall (A,B)





- 240 -

## SUBROUTINE CMSREFA(A,B,EPS,FUNCTON,PARA1,PARA2,PARA3,X)

GENERAL PURPOSE: COMPLETE MODEL SPECTRAL FUNCTIONS  
FOR INPUT OF AS

HOST = CYBER 720  
COMPILER = FOR5 RZ-TU VERSION 23-9-83  
PURPOSE OF ROUTINE = FIND ROOT OF FUNCTON  
VERSION = 1.0  
DATE = 22-11-1983  
SOURCE FILENAME = CMSREFA  
AUTHOR = O. EIBL

## ANNOTATION OF DUMMY PARAMETERS

P.	NAME	TYPE	I/O	EXPLANATION
C	A	REAL	I	LOWER STARTING VALUE FOR ROOT OF FUNCTON
C	B	REAL	I	SECOND STARTING VALUE FOR ROOT OF FUNCTON
C	EPS	REAL	I	MAX. RELATIVE ERROR OF X (X=COMPUTED ROOT OF FUNCTON)
C	FUNCTON	REAL	I	USED FUNCTION FOR FINDING THE ROOT BETWEEN (A,B)
C	PARA1	INT	I	FIRST ACTUAL PARAMETER FOR FUNCTON
C	PARA2	REAL	I	SECOND ACTUAL PARAMETER FOR FUNCTON
C	PARA3	REAL	I	THIRD ACTUAL PARAMETER FOR FUNCTON
C	X	REAL	O	ROOT OF FUNCTON BETWEEN (A,B)

## DECLARATIVE SECTION

## PARAMETER (MAXSTEP=1000)

```

X1=A
X2=B
Y1=FUNCTON(X1,PARA1,PARA2,PARA3)
Y2=FUNCTON(X2,PARA1,PARA2,PARA3)
IF (Y1*Y2.GT.0.) STOP
1'SR CMSREFA: NO SIGN CHANGE IN INPUT Y-VALUES'
IF (PARA3/PARA2.LT..8) THEN

```

## FIND ROOT BY ITERATION

```

IF (A.GT.B) THEN
  XACT=B
ELSE
  XACT=A

```

- 241 -

```

2      ENDIF
3      DO 20 ISTEP=1,MAXSTEP
4      XNEW=XACT-CMSMAGN(XACT,PARA1,PARA2,PARA3)
5      Y1=CMSMAGN(XNEW,PARA1,PARA2,PARA3)
6      Y2=CMSMAGN(XNEW*(1.+EPS),PARA1,PARA2,PARA3)
7      X=XNEW
8      IF (Y1*Y2.LE.0.) GOTO 999
9      XACT=XNEW
0      CONTINUE
1      STOP 'SR CMSREFA: FAILED FINDING ROOT BY IT.'
2      ELSE
3
4      C
5      C      FIND ROOT BY REGULA FALSI
6
7      C
8      ICOUNT=0
9      DO 10 ISTEP=1,MAXSTEP
0      IF (ICOUNT.EQ.5) THEN
1      ICOUNT=0
2
3      C      HYPERBOLIC APROXIMATION
4
5      C
6      CONST=(Y1-Y2)/(X2-X1)*X2
7      XNEW=-CONST*X1/(Y1-CONST)
8      YNEW=FUNCTION(XNEW,PARA1,PARA2,PARA3)
9      X=XNEW
X      IF (YNEW.EQ.0.) GOTO 999
P      IF (YNEW*Y1.LT.0.) THEN
E      X2=XNEW
Y      Y2=YNEW
F      IF (ABS((X1-X2)/X2).LE.EPS) GOTO 999
D      ELSE
H      X1=XNEW
I      Y1=YNEW
J      IF (ABS((X1-X2)/X1).LE.EPS) GOTO 999
K      ENDIF
L      ELSE
C
M      LINEAR APROXIMATION
N
O      C
P      ICOUNT=ICOUNT+1
Q      XNEW=X1-Y1*(X2-X1)/(Y2-Y1)
R      YNEW=FUNCTION(XNEW,PARA1,PARA2,PARA3)
S      X=XNEW
T      IF (YNEW.EQ.0.) GOTO 999
U      IF (YNEW*Y1.LT.0.) THEN
V      X2=XNEW
W      Y2=YNEW
X      IF (ABS((X1-X2)/X2).LE.EPS) GOTO 999
Y      ELSE
Z      X1=XNEW
A      Y1=YNEW
B      IF (ABS((X1-X2)/X1).LE.EPS) GOTO 999
C      ENDIF
D      ENDIF
10     CONTINUE
STOP 'SR CMSREFA: FAILED FINDING ROOT'
ENDIF
999    RETURN
END

```

SUBROUTINE CMSEXPJ

=====

Zweck: Berechnen der Thermodynamischen Erwartungswerte  $\langle J_z^2 \rangle$  und  $\langle J_z \rangle$  sowie der Energiedifferenz im Molekärfeld im Rahmen der Molekärfeldnäherung

Input: Temperatur (TEMP), Kritische Temperatur für Magnetische Ordnung (TC), Quantenzahl des Gesamtdrehimpulses (RJ)

Output: Erwartungswerte  $\langle J_z^2 \rangle$ ,  $\langle J_z \rangle$  sowie Eta =  $0.5 \beta \Delta E$

Gleichungen:

$$\langle J_z \rangle = \frac{1}{2} \left\{ 2J+1 \operatorname{ctgh} \left( \frac{T_c}{T} \frac{3(2J+1)}{2J(J+1)} \langle J_z \rangle \right) - \operatorname{ctgh} \left( \frac{T_c}{T} \frac{3(2J)}{2J(J+1)} \right) \right\} \quad T < T_c$$

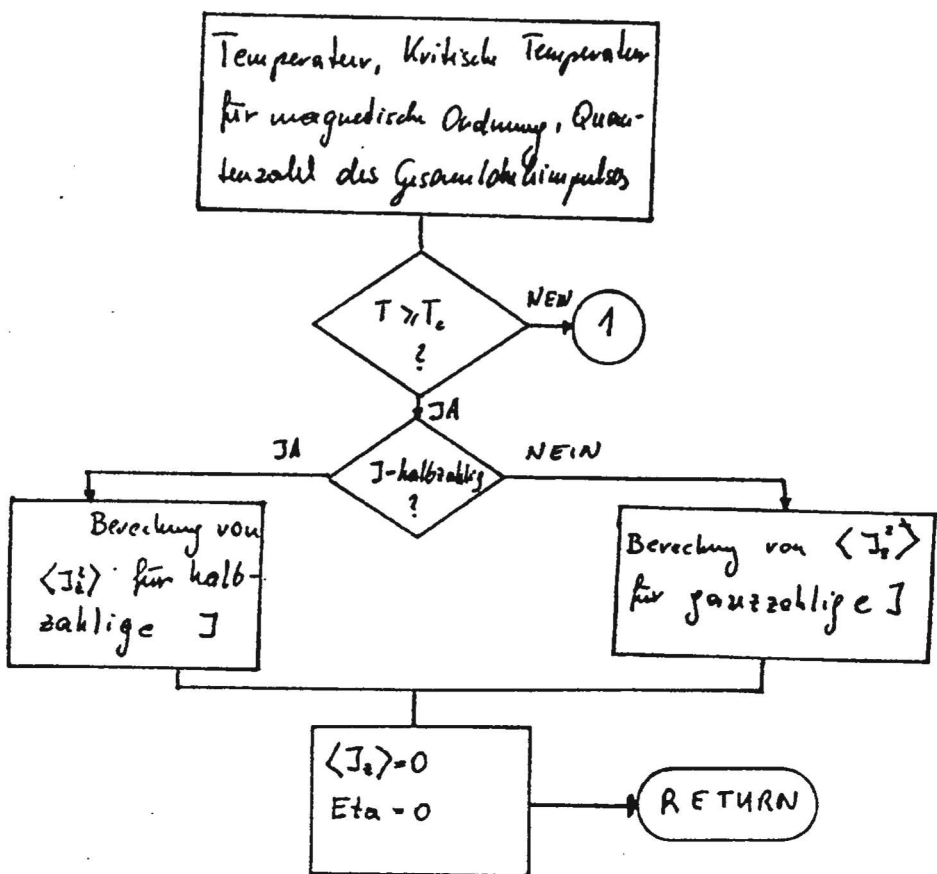
$$\langle J_z^2 \rangle = \left\{ J(J+1) - \frac{1}{2} (2J+1) \operatorname{ctgh} \eta (2J+1) \operatorname{ctgh} \eta + \frac{1}{2} \operatorname{ctgh}^2 \eta \right\}$$

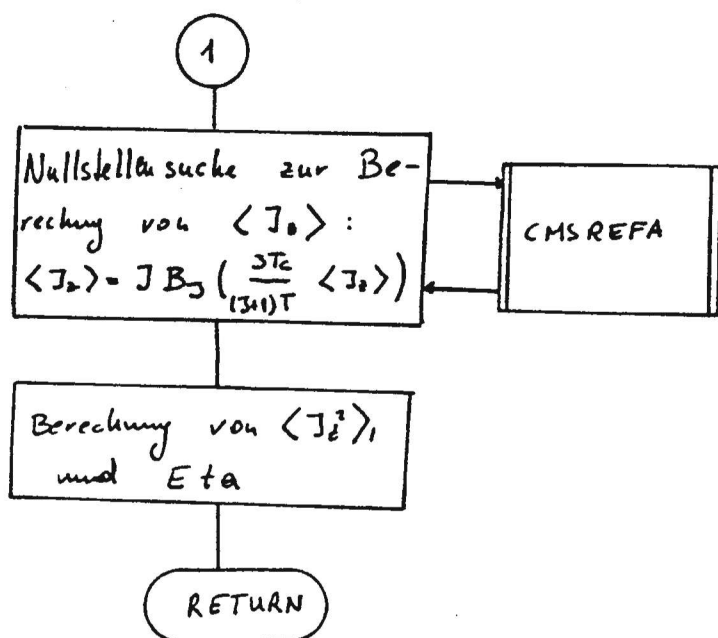
$$\eta = \operatorname{Eta} = \frac{3}{2} \frac{T_c}{T} \frac{\langle J_z \rangle}{J(J+1)}$$

Gleichungen:

$$\langle J_z \rangle = 0 ; \quad \eta = 0 \quad T > T_c$$

$$\langle J_z^2 \rangle = \frac{1}{2J+1} \sum_{M=-J}^J M^2 \quad \begin{cases} J = \text{mod } 2: & \frac{2}{2J+1} \sum_{M=1}^J M^2 \\ J + \text{mod } 2: & \frac{2}{2J+1} \left\{ (1/2)^2, \dots, (J)^2 \right\} \end{cases}$$





- 244 -

## SUBROUTINE CMSEXPJ(TEMP,TC,RJ,EXPJZ,EXPJZZ,ETA)

C  
 C GENERAL PURPOSE: COMPLETE MODEL SPECTRAL FUNCTIONS  
 C FOR INPUT OF AS  
 C  
 C HOST = CYBER 720  
 C COMPILER = FOR5 RZ-TU VERSION 23-9-63  
 C PURPOSE OF ROUTINE = COMPUTE EXPECTATION VALUES OF  
 C JZ, JZ\*\*2 AND ENERGY SPLIT BY  
 C APPLIED MEAN FIELD  
 C  
 C VERSION = 1.0  
 C DATE = 22-11-1983  
 C SOURCE FILENAME = CMSEXPJ  
 C AUTHOR = O. EIBL

## C ANNOTATION OF DUMMY PARAMETERS

\*\*\*\*\*

P.	NAME	TYPE	I/O	EXPLANATION
C	TEMP	REAL	I	TEMPERATUR
C	TC	REAL	I	CRITICAL TEMPERATUR FOR MAGNETICAL ORDER
C	RJ	INT	I	QUANTUM NUMBER FOR ANGULAR MOMENTUM
C	EXPJZ	REAL	O	EXPECTATION VALUE OF JZ
C	EXPJZZ	REAL	O	EXPECTATION VALUE OF JZ**2
C	ETA	REAL	O	ETA=.5*DELTAE/(K*TEMP) DELTAE=ENERGY SPLITTING BY APPLYING A MEAN FIELD, K=BOLTZMANN-CONST.

## C DECLARATIVE SECTION

## C EXTERNAL CMSMAGN

C DATA EPS1,EPS2 /1.E-3,1.E-6/

## C EXECUTIVE SECTION

```

IF (TEMP.GE.TC) THEN
  EXPJZ=0.
  EXPJZZ=0.
  ETA=0.
  IF (MOD(INT(2.*RJ+.1),2).EQ.1) THEN
    ACTJ=RJ
    DO 10 I=1,INT(RJ)+1
      EXPJZZ=EXPJZZ+ACTJ*ACTJ
      ACTJ=ACTJ-1.
    CONTINUE
  ELSE
    DO 15 I=1,INT(RJ+.1)
      EXPJZZ=EXPJZZ+FLOAT(I*I)
  ENDIF
END
  
```

- 245 -

```
15      CONTINUE
1      ENDIF
2      EXPJZZ=EXPJZZ*2./(2.*RJ+1.)
3      ELSE
4          CONST=RJ/2.
5          Y1=CMSMAGN(CONST,RJ,TC,TEMP)
6          Y2=CMSMAGN(CONST*.9999,RJ,TC,TEMP)
7          XRELO=CONST*(1.+Y1*.0001/(Y2-Y1))
8          A=XRELO*.1
9          B=XRELO*10.
0          IF (B.GT.RJ) B=RJ
1          IF (TEMP.LT.TC*.5) THEN
2              EPS=EPS2
3          ELSE
4              EPS=EPS1
5          ENDIF
6
7          COMPUTE EXPJZ
8
9          CALL CMSREFA(A,B,EPS,CMSMAGN,RJ,TC,TEMP,EXPJZ)
0
1          COMPUTE ETA
2
3          ETA=1.5*TC/TEMP*EXPJZ/RJ/(RJ+1)
4
5          COMPUTE EXPJZZ
6
7          RJ2=2.*RJ
8          EXPJZZ=RJ*(RJ+1.)-.5*((RJ2+1.)/TANH(ETA*
9          1 (RJ2+1.))/TANH(ETA)-1./(TANH(ETA)**2))
1
2          ENDIF
3          RETURN
4          END
```

- 246 -

## FUNCTION CMSMAGN(X,RJ,TC,TEMP)

C  
C GENERAL PURPOSE: COMPLETE MODEL SPECTRAL FUNCTIONS  
C FOR INPUT OF AS  
C

C HOST = CYBER 720  
C COMPILER = FOR5 RZ-TU VERSION 23-9-83  
C PURPOSE OF ROUTINE = COMPUTE MAGNETIZATION ERROR  
C FUNCTION  
C VERSION = 1.0  
C DATE = 22-11-1983  
C SOURCE FILENAME = CMSEXPJ  
C AUTHOR = D. EIBL  
C

C ANNOTATION OF DUMMY PARAMETERS  
C \*\*\*\*\*  
C

P.	NAME	TYPE	I/O	EXPLANATION
C	RJ	INT	I	QUANTUM NUMBER OF ANGULAR MOMENTUM
C	X	REAL	I	REDUCED MAGNETIZATION
C	TC	REAL	I	TC=CRITICAL MAGNETIC ORDERING TEMPERATUR
C	TEMP	REAL	I	TEMPERATUR

C-----  
C EXECUTIVE SECTION  
C-----  
C

RJ2=RJ\*2.  
TCDT=TC/TEMP\*3./(RJ+1.)  
QUOTJ=(RJ2+1.)/RJ2  
CMSMAGN=X-RJ2/2.\* (QUOTJ/TANH(QUOTJ\*X\*TCDT)-1./RJ2/  
1TANH(X\*TCDT/RJ2))  
RETURN  
END

### A.3 Tabellen der Ergebnisse für $\text{GdAl}_2$

Anhang A.3 enthält die Ergebnisse, die für  $\text{GdAl}_2$  mit Hilfe der Rechenprogramme erhalten wurden. Dabei wurden die Transportkoeffizienten beim Vorhandensein einzelner Streumechanismen (Potential-, Magnetische- und Phononen-Streuung), und bei der Überlagerung der Streumechanismen bestimmt.

#### Seitenverzeichnis für die Ergebnis - Tabellen

##### Einzelne Streumechanismen:

Potential-Streuung	24 8
Magnetische-Streuung (ohne Bandaufspaltung)	24 9
Magnetische-Streuung (mit Bandaufspaltung)	25 0
Phononen-Streuung	25 1

##### Überlagerung von Streumechanismen:

Potential + Magnetische-Streuung	25 2
Potential + Phononen-Streuung	25 3
Magnetische + Phononen-Streuung	25 4
Potential + Magnetische + Phononen-Streuung	25 5

AUSGEGEHRT AM: 04/01/21. AUSGEGEHRT UM: 10.37.24.

REMARKEN ZUM AKTUELLEN PROGRAMMLAUF:

TEMPERATURVERHALTEN DER TRANSPORTKOEFF.-POTENTIAL STREUUNG

STAERKEN DER WECHSELWIRKUNGEN: STAERKE1, STAERKE2...

.10000000E+01, 0., 0.

KONSTANTEN ABHAENGIG VON DER BANDSTRUKTUR:

MASS\* $\langle v \rangle^2 * N / DENSITY = .14603476E+00$

D(MASS\* $\langle v \rangle^2 * N / DENSITY) / DE = .18842853E-05$

MODELLPARAMETER DER SPEKTRALFUNKTIONEN

POTENTIALSTREUUNG:

ABSOLUTE STAERKE: RHO=15. [MKROOHM\*CM]

[FERMITENRGTE=1.E5 [K]]

MAGNETISCHE STREUUNG

ABSOLUTE STAERKE: PHC(T=TC)=60.0 [MKROOHM\*CM]

TC=150, J=7/2, FERMITENRGTE=1.E5 [K], V0IEZ=.493FA\*#3J, MBA

PHOTONEN STREUUNG

ABSOLUTE STAERKE: RHO(T=TDEBEY)=90. [MKROOHM\*CM]

VSPUND=1, VOFERMT=125, VDEBEY=250, FERMIENERGIE=1.E5 [K]

INPUTPARAMETER ZUR POLYNOMENTWICKLUNG UND INTEGRATION

GRAD DER POLYNOME (GO++, GI++) :

6, 6, 6, 6, 6, 6,

ENDE DER POLYNOMENTWICKLUNG: = .25000000E+03

STUETZSTELLENABSTAND BEI NUMERISCHER INTEGRATION:

GO=1, GI++=1:

0., 0., 0., 0., 0., 0.,

0., 0., 0., 0., 0., 0.,

0., 0., 0., 0., 0., 0.,

TNPHT ZUR TEMPERATURSTEUERUNG:

ANGANGSTEMPERATUR=.10000000E+02 TEMP. SCHRITTWEITE=.20000000E+02

ZAHL DER SCHRITTE= 15

PROFESSE DES FUNKTIONENRAUMES: 0-6

TABELLE WIRD FUER 6-TE DIMENSION ANGELEGT

\*\*\*\*\*ERGEBNTSSE IN TABELLENFORM\*\*\*\*\*

EL. RESESTITVITY, THERMOPOWER, HEAT CONDUCT., TEMP

[MKROOHM\*CM], [MKROVOLT/K] [MILIWATT/(CM\*K)] [K]

.15009187E+02	-.48777957E-01	.32551535E+02	.20000000E+02
.15009186E+02	-.97555868E-01	.65103089E+02	.40000000E+02
.15009184E+02	-.14633363E+00	.97654584E+02	.60000000E+02
.15009181E+02	-.19511120E+00	.13020634E+03	.80000000E+02
.15009178E+02	-.24388850E+00	.15275807E+03	.10000000E+03
.15009174E+02	-.29266546E+00	.19530991E+03	.12000000E+03
.15009169E+02	-.34144202E+00	.22786186E+03	.14000000E+03
.15009164E+02	-.39021812E+00	.26041395E+03	.16000000E+03
.15009157E+02	-.43399367E+00	.29296621E+03	.18000000E+03
.15009151E+02	-.48776853E+00	.32551864E+03	.20000000E+03
.15009143E+02	-.53554291E+00	.35807127E+03	.22000000E+03
.15009134E+02	-.5831646E+00	.39062413E+03	.24000000E+03
.15009125E+02	-.63408920E+00	.42317722E+03	.26000000E+03
.15009115E+02	-.68286107E+00	.45573057E+03	.28000000E+03
.15009105E+02	-.73163200E+00	.48828421E+03	.30000000E+03

\*\*\*\*\*ERGEBNTSSE IN TABELLENFORM\*\*\*\*\*

EL. RESESTITVITY, THERMOPOWER, HEAT CONDUCT., TEMP

[MKROOHM\*CM], [MKROVOLT/K] [MILIWATT/(CM\*K)] [K]

.15009187E+02	-.12194494E-01	.81378829E+01	.50000000E+01
.15009187E+02	-.24389888E-01	.16275766E+02	.10000000E+02
.15009187E+02	-.36583479E-01	.24413650E+02	.15000000E+02
.15009187E+02	-.48777967E-01	.32551535E+02	.20000000E+02
.15009187E+02	-.60972451E-01	.40689421E+02	.25000000E+02
.15009186E+02	-.73164930E-01	.48827308E+02	.30000000E+02
.15009186E+02	-.85361402E-01	.56965198E+02	.35000000E+02
.15009186E+02	-.97555868E-01	.65103089E+02	.40000000E+02

AUSGEFUEHRT AHS: 84/01/21. AUSGEFUEHRT UM: 10:43.08.

BEMERKUNGEN ZUM AKTUELLEN PROGRAMMLAUF:

TEMPERATURVERHALTEN DER TRANSPORTKOEFF.-MAGN.(DBA)STREUUNG

STAERKEN DER WECHSELWIRKUNGEN: STAERKE1, STAERKE2...  
0. . . . . 10000000E+01, 0.

KONSTANTENABHAENGIGKEIT VON DER BANDSTRUKTUR:

MASSE<VA>\*2>\*N/DENSITY = .14603475E+00

DI(MASS\*<V>\*>\*N/DENSITY)/DE = -.38842953E-05

XODELLPARAMETER DER SPEKTRALFUNKTIONEN:

POTENTIALSTREUUNG

ABSOLUTE STAERKE: RH0=15. [MIKROOHM\*CM]

FERMITENERGIE=1.E5 [K]

MAGNETISCHE STREUUNG

ABSOLUTE STAERKE: RH0(T=TC)=60. [MTKROOHM\*CM]

TC=150, J=7/2, FERMITENERGIE=1.E5 [K], VOLEZ= 493[4\*\*3], DBA

PHONONENSTREUUNG

ABSOLUTE STAERKE: RH0(T=JDEBEY)=90. [MTKROOHM\*CM]

VSPUND=1, OFFERTMT=125, WDEBEY=250, FERMITENERGIE=1.E5 [K]

INPUTPARAMETER ZUR POLYNOMENTWICKLUNG UND INTEGRATION

GRAD DER POLYNOME(60-->...>01++) :

5, 6, 6, 6, 6, 6,

ENDE DER POLYNOMENTWICKLUNG = .25000000E+03

STUFTZUSTELLENARSTAND BEI NUMERISCHER INTEGRATION

G0-->...>G1++

0. . . . . 0. . . . . 0.

0. . . . . 0. . . . . 0.

INPUT ZUR TEMPERATURSTEUERUNG

ANFANGSTEMPERATUR=.20000000E+02 TEMP.SCHRITTWEITE=.20000000E+02

ZAHL DER SCHRITTE= 15

GRÖSSE DES FUNKTIONENRAUMES: 0-6

TABELLE WIRD FUER 6-TE DIMENSION ANGELEGT

\*\*\*\*\*ERGEMNISSE IN TABELLENFORM\*\*\*\*\*

EL. RESESTIVITÄT THERMOPOWER HEAT CONDUCT. TEMP

[MTKROOHM\*CM] [MTKROVOLT/K] [MILLIWATT/(CM\*K)] [K]

.61910188E+00	-.48236179E-01	.25543946E+03	.20000000E+02
.65445225E+01	-.87590999E-01	.934353695E+02	.40000000E+02
.14317759E+02	-.13870521E+00	.83529760E+02	.60000000E+02
.22448106E+02	-.19027173E+00	.79092025E+02	.80000000E+02
.31386307E+02	-.24104633E+00	.74351762E+02	.10000000E+03
.43617988E+02	-.29123320E+00	.69085814E+02	.12000000E+03
.53495872E+02	-.34103306E+00	.63625798E+02	.14000000E+03
.60141498E+02	-.39021312E+00	.64989995E+02	.16000000E+03
.60141473E+02	-.43899367E+00	.73113871E+02	.18000000E+03
.60141444E+02	-.48775863E+00	.81237793E+02	.20000000E+03
.60141415E+02	-.53654291E+00	.89361764E+02	.22000000E+03
.60141381E+02	-.58531546E+00	.97485790E+02	.24000000E+03
.60141345E+02	-.63408920E+00	.10560988E+03	.26000000E+03
.60141305E+02	-.58336107E+00	.11373403E+03	.28000000E+03
.60141263E+02	-.73163200E+00	.12185825E+03	.30000000E+03

AUSGEFUEHRT AM: 04/01/23. AUSGEFUEHRT UM: 16.21.01.

BEMERKUNGEN ZUM AKTUELLEN PROGRAMMLAUF:

TEMPERATURVERHALTEN DER TRANSPORTKOEFF.-MAGNETIS. STREUUNG

STAERKEN DER WECHSELWIRKUNGEN: STAERKE1, STAERKE2...

0. . . . . 10000000E+01, 0.

KONSTANTEN ABHAENGIG VON DER BANDSTRUKTUR

MASS\* $\langle V \rangle^2 * N / DENSITY = .14603476E+00$

(IMASS\* $\langle V \rangle^2 * N / DENSITY \rangle / DE = .18842853E-05$

MODELLEPARAMETER DER SPEKTRALFUNKTIONEN

POTENTIALSTREUUNG

ABSOLUTE STAERKE: PH00=15. [MIKR0OHM\*CM]

FERMIENERGIE=1.55 [K]

MAGNETISCHE STREUUNG

ABSOLUTE STAERKE: PH7(T=TC)=60. [MIKR0OHM\*CM]

TC=150. J=7/2. FERMIENERGIE=1.55 [K], VC1E7= 493FA#30, MRA

PH0000N STREUUNG

ABSOLUTE STAERKE: PH0(T=TDFBFY)=90. [MIKR0OHM\*CM]

MSDNU0=1., OFFRM1=125, WDEBEY=250, FERMIENERGIE=1.55 [K]

EINGABEPARAMETER ZUR POLYNOMENTWICKLUNG UND INTEGRATION

GRAD DER POLYNOME (G0---, ..., G14+):

6, 6, 6, 6, 6, 6,

ENDE DER POLYNOMENTWICKLUNG = 14 = .25000000E+03

STUFTESTELLENABSTAND BEI NUMERISCHER INTEGRATION

G0---, G14+:

0. . . . . 0. . . . . 0.

0. . . . . 0. . . . . 0.

INPUT ZUR TEMPERATURSTEUERUNG

ANFANGSTEMPERATUR= .20000000E+02 TEMP. SCHITTWETTE= .20000000E+02

ZAHL DER SCHRITTE= 15

ADRESSE DES FUNKTIONENRAUMES: 0-6

TABELLE WIRD FUER 6-TE DIMENSION ANGELEGT

\*\*\*\*\*ERGERTSSE T4 TABELLENFORM\*\*\*\*\*

EL. RESESTITIVITY [THERMOPOWER] [HEAT CONDUCT.] [TEMP]

[MIKR0OHM\*CM] [MIKROVOLT/K] [MILLIWATT/(CM\*K)] [K]

.61877161E+00	.19383311E+01	.25596728E+03	.20000000E+02
.65434647E+01	.24495039E+01	.93557899E+02	.40000000E+02
.14313850E+02	.20484129E+01	.83584975E+02	.60000000E+02
.22445135E+02	.18784766E+01	.79115300E+02	.80000000E+02
.31384557E+02	.75412875E+00	.74370274E+02	.10000000E+03
.41617209E+02	.23408286E+00	.69088175E+02	.12000000E+03
.53495700E+02	-.18577011E+00	.63626084E+02	.14000000E+03
.60141408E+02	-.39021812E+00	.64989995E+02	.16000000E+03
.60141473E+02	-.43899367E+00	.73113871E+02	.18000000E+03
.60141466E+02	-.48776963E+00	.81237793E+02	.20000000E+03
.60141415E+02	-.53654291E+00	.89361764E+02	.22000000E+03
.60141381E+02	-.58531646E+00	.97485790E+02	.24000000E+03
.60141345E+02	-.63408920E+00	.10560988E+03	.26000000E+03
.60141305E+02	-.68286107E+00	.11373403E+03	.28000000E+03
.60141263E+02	-.73163200E+00	.12185825E+03	.30000000E+03

\*\*\*\*\*ERGERTSSE IN TABELLENFORM\*\*\*\*\*

EL. RESESTITIVITY [THERMOPOWER] [HEAT CONDUCT.] [TEMP]

[MIKR0OHM\*CM] [MIKROVOLT/K] [MILLIWATT/(CM\*K)] [K]

.38695820E-06	.83092765E+00	.29379432E+08	.50000000E+01
.49204140E-02	.13743997E+01	.88285946E+04	.10000000E+02
.12376659E+00	.16912236E+01	.75122129E+03	.15000000E+02
.61877161E+00	.19383311E+01	.25596728E+03	.20000000E+02
.16117328E+01	.21543474E+01	.15173377E+03	.25000000E+02
.20236697E+01	.23227859E+01	.11636323E+03	.30000000E+02
.47085354E+01	.24229141E+01	.10113624E+03	.35000000E+02
.65434647E+01	.24495039E+01	.93557899E+02	.40000000E+02

AUSGEFUEHRT AM: 24/01/21. AUSGEFUEHRT UM: 10.46.05.  
BEMERKUNGEN ZUM AKTUELLEN PROGRAMMLAUF:  
TEMPERATURVERHALTEN DER TRANSPORTKOEFF.-PHONONEN STREUUNG

STAERKEN DER WECHSELWIRKUNGEN: STAERKE1,STAERKE2...  
0. 0. 10000000E+01,

KONSTANTEN ABHANGIG VON DER BANDSTRUKTUR

MASS\* $\langle V \rangle^2/N/DENSITY = .14603476E+00$

D(MASS\* $\langle V \rangle^2/N/DENSITY)/DE = .18842853E-05$

MODELLPARAMETER DER SPEKTRALFUNKTIONEN

POTENTIALSTREUUNG

ABSOLUTE STAERKE: PH00=15. [MIKROOHM\*CM]

FERMTENERGIE=1.55 [K]

MAGNETISCHE STREUUNG

ABSOLUTE STAERKE: RHDIT=TC)=60. [EMTKROOHM\*CM]

TC=150, J=7/2, FERMETENERGIE=1.55 [K], VOLEZ= 493[A\*\*3], M8A

PHONONEN STREUUNG

ABSOLUTE STAERKE: PH0(T=TDEBFY)=90. [EMTKROOHM\*CM]

VSCUN=1., DFERMT=125, WDEBEY=250, FERMETENERGIE=1.55 [K]

INPUTPARAMETER ZUR POLYNOMENTWICKLUNG UND INTEGRATION

GRAD. DER POLYNOME (10,-11,-12,21+)

6, 6, 6, 6, 6, 6,

ENDE DER POLYNOMENTWICKLUNG = .25000000E+03

SONSTIGE STELLENABSTAND RET NUMFRISCHER INTEGRATION

0.000000E+00, 61+, 0.

0. 0. 0. 0. 0. 0.

0. 0. 0. 0. 0. 0.

0. 0. 0. 0. 0. 0.

0. 0. 0. 0. 0. 0.

0. 0. 0. 0. 0. 0.

0. 0. 0. 0. 0. 0.

0. 0. 0. 0. 0. 0.

0. 0. 0. 0. 0. 0.

0. 0. 0. 0. 0. 0.

0. 0. 0. 0. 0. 0.

0. 0. 0. 0. 0. 0.

0. 0. 0. 0. 0. 0.

0. 0. 0. 0. 0. 0.

0. 0. 0. 0. 0. 0.

0. 0. 0. 0. 0. 0.

0. 0. 0. 0. 0. 0.

0. 0. 0. 0. 0. 0.

0. 0. 0. 0. 0. 0.

0. 0. 0. 0. 0. 0.

0. 0. 0. 0. 0. 0.

0. 0. 0. 0. 0. 0.

0. 0. 0. 0. 0. 0.

0. 0. 0. 0. 0. 0.

0. 0. 0. 0. 0. 0.

0. 0. 0. 0. 0. 0.

0. 0. 0. 0. 0. 0.

0. 0. 0. 0. 0. 0.

0. 0. 0. 0. 0. 0.

0. 0. 0. 0. 0. 0.

0. 0. 0. 0. 0. 0.

0. 0. 0. 0. 0. 0.

0. 0. 0. 0. 0. 0.

0. 0. 0. 0. 0. 0.

0. 0. 0. 0. 0. 0.

0. 0. 0. 0. 0. 0.

0. 0. 0. 0. 0. 0.

0. 0. 0. 0. 0. 0.

0. 0. 0. 0. 0. 0.

0. 0. 0. 0. 0. 0.

0. 0. 0. 0. 0. 0.

0. 0. 0. 0. 0. 0.

0. 0. 0. 0. 0. 0.

0. 0. 0. 0. 0. 0.

0. 0. 0. 0. 0. 0.

0. 0. 0. 0. 0. 0.

0. 0. 0. 0. 0. 0.

0. 0. 0. 0. 0. 0.

0. 0. 0. 0. 0. 0.

0. 0. 0. 0. 0. 0.

0. 0. 0. 0. 0. 0.

0. 0. 0. 0. 0. 0.

0. 0. 0. 0. 0. 0.

0. 0. 0. 0. 0. 0.

0. 0. 0. 0. 0. 0.

0. 0. 0. 0. 0. 0.

0. 0. 0. 0. 0. 0.

0. 0. 0. 0. 0. 0.

0. 0. 0. 0. 0. 0.

0. 0. 0. 0. 0. 0.

0. 0. 0. 0. 0. 0.

0. 0. 0. 0. 0. 0.

0. 0. 0. 0. 0. 0.

0. 0. 0. 0. 0. 0.

0. 0. 0. 0. 0. 0.

0. 0. 0. 0. 0. 0.

0. 0. 0. 0. 0. 0.

0. 0. 0. 0. 0. 0.

0. 0. 0. 0. 0. 0.

0. 0. 0. 0. 0. 0.

0. 0. 0. 0. 0. 0.

0. 0. 0. 0. 0. 0.

0. 0. 0. 0. 0. 0.

0. 0. 0. 0. 0. 0.

0. 0. 0. 0. 0. 0.

0. 0. 0. 0. 0. 0.

0. 0. 0. 0. 0. 0.

0. 0. 0. 0. 0. 0.

0. 0. 0. 0. 0. 0.

0. 0. 0. 0. 0. 0.

0. 0. 0. 0. 0. 0.

0. 0. 0. 0. 0. 0.

0. 0. 0. 0. 0. 0.

0. 0. 0. 0. 0. 0.

0. 0. 0. 0. 0. 0.

0. 0. 0. 0. 0. 0.

0. 0. 0. 0. 0. 0.

0. 0. 0. 0. 0. 0.

0. 0. 0. 0. 0. 0.

0. 0. 0. 0. 0. 0.

0. 0. 0. 0. 0. 0.

0. 0. 0. 0. 0. 0.

0. 0. 0. 0. 0. 0.

0. 0. 0. 0. 0. 0.

0. 0. 0. 0. 0. 0.

0. 0. 0. 0. 0. 0.

0. 0. 0. 0. 0. 0.

0. 0. 0. 0. 0. 0.

0. 0. 0. 0. 0. 0.

0. 0. 0. 0. 0. 0.

0. 0. 0. 0. 0. 0.

0. 0. 0. 0. 0. 0.

0. 0. 0. 0. 0. 0.

0. 0. 0. 0. 0. 0.

0. 0. 0. 0. 0. 0.

0. 0. 0. 0. 0. 0.

0. 0. 0. 0. 0. 0.

0. 0. 0. 0. 0. 0.

0. 0. 0. 0. 0. 0.

0. 0. 0. 0. 0. 0.

0. 0. 0. 0. 0. 0.

0. 0. 0. 0. 0. 0.

0. 0. 0. 0. 0. 0.

0. 0. 0. 0. 0. 0.

0. 0. 0. 0. 0. 0.

0. 0. 0. 0. 0. 0.

0. 0. 0. 0. 0. 0.

0. 0. 0. 0. 0. 0.

0. 0. 0. 0. 0. 0.

0. 0. 0. 0. 0. 0.

0. 0. 0. 0. 0. 0.

0. 0. 0. 0. 0. 0.

0. 0. 0. 0. 0. 0.

0. 0. 0. 0. 0. 0.

0. 0. 0. 0. 0. 0.

0. 0. 0. 0. 0. 0.

0. 0. 0. 0. 0. 0.

0. 0. 0. 0. 0. 0.

0. 0. 0. 0. 0. 0.

0. 0. 0. 0. 0. 0.

0. 0. 0. 0. 0. 0.

0. 0. 0. 0. 0. 0.

0. 0. 0. 0. 0. 0.

0. 0. 0. 0. 0. 0.

0. 0. 0. 0. 0. 0.

0. 0. 0. 0. 0. 0.

0. 0. 0. 0. 0. 0.

0. 0. 0. 0. 0. 0.

0. 0. 0. 0. 0. 0.

0. 0. 0. 0. 0. 0.

0. 0. 0. 0. 0. 0.

0. 0. 0. 0. 0. 0.

0. 0. 0. 0. 0. 0.

0. 0. 0. 0. 0. 0.

0. 0. 0. 0. 0. 0.

0. 0. 0. 0. 0. 0.

0. 0. 0. 0. 0. 0.

0. 0. 0. 0. 0. 0.

0. 0. 0. 0. 0. 0.

0. 0. 0. 0. 0. 0.

0. 0. 0. 0. 0. 0.

0. 0. 0. 0. 0. 0.

0. 0. 0. 0. 0. 0.

0. 0. 0. 0. 0. 0.

0. 0. 0. 0. 0. 0.

0. 0. 0. 0. 0. 0.

0. 0. 0. 0. 0. 0.

0. 0. 0. 0. 0. 0.

0. 0. 0. 0. 0. 0.

0. 0. 0. 0. 0. 0.

0. 0. 0. 0. 0. 0.

0. 0. 0. 0. 0. 0.

0. 0. 0. 0. 0. 0.

0. 0. 0. 0. 0. 0.

0. 0. 0. 0. 0. 0.

0. 0. 0. 0. 0. 0.

0. 0. 0. 0. 0. 0.

0. 0. 0. 0. 0. 0.

0. 0. 0. 0. 0. 0.

0. 0. 0. 0. 0. 0.

0. 0. 0. 0. 0. 0.

0. 0. 0. 0. 0. 0.

0. 0. 0. 0. 0. 0.

0. 0. 0. 0. 0. 0.

0. 0. 0. 0. 0. 0.

0. 0. 0. 0. 0. 0.

0. 0. 0. 0. 0. 0.

0. 0. 0. 0. 0. 0.

0. 0. 0. 0. 0. 0.

0. 0. 0. 0. 0. 0.

0. 0. 0. 0. 0. 0.

0. 0. 0. 0. 0. 0.

0. 0. 0. 0. 0. 0.

0. 0. 0. 0. 0. 0.

0. 0. 0. 0. 0. 0.

0. 0. 0. 0. 0. 0.

0. 0. 0. 0. 0. 0.

0. 0. 0. 0. 0. 0.

0. 0. 0. 0. 0. 0.

0. 0. 0. 0. 0. 0.

0. 0. 0. 0. 0. 0.

0. 0. 0. 0. 0. 0.

0. 0. 0. 0. 0. 0.

0. 0. 0. 0. 0. 0.

0. 0. 0. 0. 0. 0.

0. 0. 0. 0. 0. 0.

\*\*\*ERGEBNISSE TN TABELLENFORM\*\*\*\*\*

FL. PESESTIVITY THERMOPOWER HEAT CONDUCT. TEMP  
[MIKROOHM\*CM] [MIKROVOLT/K] [MILLIWATT/(CM\*K)] [K]

.14984831E-03 -.10734458E-01 .56785749E+04 .50000000E+01  
.46282233E-02 -.24925053E-01 .14521396E+04 .10000000E+02

.33070128E-01 -.37224319E-01 .67441659E+03 .15000000E+02  
.12727911E+00 -.48645336E-01 .40540008E+03 .20000000E+02

.34340997E+00 -.60244456E-01 .28297957E+03 .25000000E+02  
.73545161E+00 -.72118989E-01 .21702423E+03 .30000000E+02

.13457779E+01 -.83997290E-01 .17693716E+03 .35000000E+02  
.22005112E+01 -.95801279E-01 .14991699E+03 .40000000E+02

0. 0. 0. 0. 0. 0.

0. 0. 0. 0. 0. 0.

0. 0. 0. 0. 0. 0.

0. 0. 0. 0. 0. 0.

0. 0. 0. 0. 0. 0.

0. 0. 0. 0. 0. 0.

0. 0. 0. 0. 0. 0.

0. 0. 0. 0. 0. 0.

PROGRAM CUTRACO\*\*\*  
ALSGEFLUHRT AM: 04/01/23. AUSGEFLUHRT UM: 16.44.45.

BEMERKUNGEN ZUM AKTUELLEN PROGRAMMLAUF:

TEMP.VERHALTEN DER TRANSPORTKO.-POTENTIAL+MAGNET. STREUUNG

STAERKEN DER WECHSELWIRKUNGEN: STAERKE1,STAERKE2...

.10000000E+01, .10000000E+01, 0.

KONSTANTEN ABHAENGIG VON DER BANDSTRUKTUR

MASS\*<V\*\*2>\*N/DENSITY = .14603476E+00

DIMASS\*<V\*\*2>\*N/DENSITY)/DE = .18842853E-05

MODELLPARAMETER DER SPEKTRALFUNKTIONEN

POTENTIALSTREUUNG

ABSOLUTE STAERKE: RHO=15. [MIKKROOHM\*CM]

FERMIENERGIE=1.E5 [K]

MAGNETISCHE STREUUNG

ABSOLUTE STAERKE: RHO(T=TC)=60. [MIKKROOHM\*CM]

TC=150, J=7/2, FERMIENERGIE=1.E5 [K], VOLEZ= 493LA\*\*3, MBA

PHONENEN STREUUNG

ABSOLUTE STAERKE: RHO(T=TDEBEY)=90. [MIKKROOHM\*CM]

V SOUND=1., GFERMI=125, WDEBEY=250, FERMIENERGIE=1.E5 [K]

INPUTPARAMETER ZUR POLYNOMENTWICKLUNG UND INTEGRATION

GRAD DER POLYNOME (G0--, ..., G1++) :

6, 6, 6, 6, 6,

ENDE DER POLYNOMENTWICKLUNG = .25000000E+03

STUETZSTELLENABSTAND BEI NUMERISCHER INTEGRATION

G0--, ..., G1++ :

0. , 0. , 0. , 0. , 0. ,

0. , 0. , 0. , 0. , 0. ,

INPUT ZUR TEMPERATURSTEUERUNG

ANFANGSTEMPERATUR= .20000000E+02 TEMP.SCHRITTWEITE= .20000000E+02

ZAHL DER SCHRITTE= 15

GROESSE DES FUNKTIONENRAUMES: 0-6

TABELLE WIRD FUER 6-TE DIMENSION ANGELEGT

\*\*\*\*\*ERGEBNISSE IN TABELLENFORM\*\*\*\*\*

EL.RESESTITIVITY THERMOPOWER HEAT CONDUCT. TEMP  
[MIKKROOHM\*CM] [MIKKROVOLT/K] [MILLIWATT/(CM\*K)] [K]

.15874309E+02	.41268193E+00	.27443628E+02	.20000000E+02
.21856765E+02	.11509132E+01	.37679906E+02	.40000000E+02
.29434188E+02	.11099272E+01	.44924445E+02	.60000000E+02
.37488587E+02	.80674956E+00	.49165965E+02	.80000000E+02
.46403181E+02	.44739568E+00	.51039463E+02	.10000000E+03
.56628341E+02	.97696963E-01	.51034109E+02	.12000000E+03
.68505002E+02	-.22045241E+00	.49737700E+02	.14000000E+03
.75150662E+02	-.39021812E+00	.52010130E+02	.16000000E+03
.75150631E+02	-.43899367E+00	.58511498E+02	.18000000E+03
.75150596E+02	-.48776863E+00	.65012901E+02	.20000000E+03
.75150558E+02	-.53654291E+00	.71514345E+02	.22000000E+03
.75150516E+02	-.58531646E+00	.78015833E+02	.24000000E+03
.75150470E+02	-.63406920E+00	.84517368E+02	.26000000E+03
.75150421E+02	-.68286107E+00	.91018956E+02	.28000000E+03
.75150367E+02	-.73163200E+00	.97520599E+02	.30000000E+03

\*\*\*\*\*ERGEBNISSE IN TABELLENFORM\*\*\*\*\*

FL.RESESTITIVITY THERMOPOWER HEAT CONDUCT. TEMP  
[MTKROOHM\*CM] [MIKKROVOLT/K] [MILLIWATT/(CM\*K)] [K]

.15009188E+02	-.12191176E-01	.81378584E+01	.50000000E+01
.15020785E+02	-.89601496E-02	.16150184E+02	.10000000E+02
.15223557E+02	.13237816E+00	.22826282E+02	.15000000E+02
.15874209E+02	.41288193E+00	.27443628E+02	.20000000E+02
.16978133E+02	.69641200E+00	.30692046E+02	.25000000E+02
.18410477E+02	.91644321E+00	.33328207E+02	.30000000E+02
.20076090E+02	.10649010E+01	.35692673E+02	.35000000E+02
.21856785E+02	.11509132E+01	.37979306E+02	.40000000E+02

\*\*\*\*\*PROGRAMM C01RAC0\*\*\*\*\*

AUSGEFUEHRT AM: 84/01/21. AUSGEFUEHRT UM: 14.15.53.

BEMERKUNGEN ZUM AKTUELLEN PROGRAMMLAUF:

TEMP.VERHALTEN DER TRANSPORTKG. POTENTIAL+PHONON STREUUNG

STAERKEN DER WECHSELWIRKUNGEN: STAERKE1, STAERKE2...

.10000000E+01, .0. , .10000000E+01, .

KONSTANTEN ABHAENGIG VON DER BANDSTRUKTUR

MASS\*<V\*\*2>\*N/DENSITY = .14603476E+00

D\*(MASS\*<V\*\*2>\*N/DENSITY)/DE = .18842853E-05

MODELLPARAMETER DER SPEKTRALFUNKTIONEN

POTENTIALSTREUUNG

ABSOLUTE STAERKE: RH0=15. [MIKROOHM\*CM]

FERMIENERGIE=1.E5 [K]

MAGNETISCHE STREUUNG

ABSOLUTE STAERKE : RH0(T=TC)=60. [MIKROOHM\*CM]

TC=150, J=7/2, FERMIENERGIE=1.E5 [K], VOLEZ= 493LA\*\*3, MBA

PHONONEN-STREUUNG

ABSOLUTE STAERKE: RH0(T=TDEBEY)=50. [MIKROOHM\*CM]

V SOUND=1., Q FERMI=125, W DEBEY=250, FERMIENERGIE=1.E5 [K]

INPUTPARAMETER ZUR POLYNOMENTWICKLUNG UND INTEGRATION

GRAD DER POLYNOME (G0--,...,G1++) :

6, 6, 6, 6, 6,

ENDE DER POLYNOMENTWICKLUNG = .25000000E+03

STUETZSTELLENABSTAND BEI NUMERISCHER INTEGRATION

G0--, ..., G1++

C. , 0. , 0. , 0. , 0. ,

C. , 0. , 0. , 0. , 0. ,

INPUT ZUR TEMPERATURSTEUERUNG

ANFANGSTEMPERATUR= .20000000E+02 TEMP.SCHRITTWEITE= .20000000E+02

ZAHL DER SCHRITTE= 15

GRÖSSE DES FLNKTIONENRAUMES: 0-6

TABELLE WIRD FUER 6-TE DIMENSION ANGELEGT

\*\*\*\*\*ERGEBNISSE IN TABellenform\*\*\*\*\*

EL.RESESTITIVITY THERMOPOWER HEAT CONDUCT. TEMP

[MIKROOHM\*CM] [MIKROVOLT/K] [MILIWATT/(CM\*K)] [K]

.15155646E+02	-.49433442E-01	.29552548E+02	.20000000E+02
.17644128E+02	-.10102379E+00	.43288152E+02	.40000000E+02
.23896335E+02	-.15130882E+00	.47178634E+02	.60000000E+02
.32334571E+02	-.20189252E+00	.48733490E+02	.80000000E+02
.41416096E+02	-.25245312E+00	.49976448E+02	.10000000E+03
.50461498E+02	-.30243499E+00	.51135460E+02	.12000000E+03
.59296001E+02	-.35182892E+00	.52190644E+02	.14000000E+03
.67914810E+02	-.40080047E+00	.53128344E+02	.16000000E+03
.76353204E+02	-.44950575E+00	.53952739E+02	.18000000E+03
.84646623E+02	-.49805499E+00	.54675804E+02	.20000000E+03
.92832023E+02	-.54651887E+00	.55311226E+02	.22000000E+03
.10C92731E+03	-.59494092E+00	.55871867E+02	.24000000E+03
.10895263E+03	-.64334737E+00	.5636E946E+02	.26000000E+03
.11692173E+03	-.69175368E+00	.56811947E+02	.28000000E+03
.12484514E+03	-.74016869E+00	.57208777E+02	.30000000E+03

\*\*\*\*\*ERGEBNISSE IN TABellenform\*\*\*\*\*

EL.RESESTITIVITY THERMOPOWER HEAT CONDUCT. TEMP

[MIKROOHM\*CM] [MIKROVOLT/K] [MILIWATT/(CM\*K)] [K]

.15009339E+02	-.12192971E-01	.81224189E+01	.50000000E+01
.15014026E+02	-.24420695E-01	.16039108E+02	.10000000E+02
.15045424E+02	-.36795769E-01	.23321761E+02	.15000000E+02
.15155646E+02	-.49433442E-01	.29552548E+02	.20000000E+02
.15410237E+02	-.62317917E-01	.34552323E+02	.25000000E+02
.15320266E+02	-.75306996E-01	.32383045E+02	.30000000E+02
.15542844E+02	-.88239972E-01	.41225645E+02	.35000000E+02
.17544128E+02	-.10102379E+00	.42288152E+02	.40000000E+02

DATEI BEZOGEN AUF DAS PROGRAMM: 19.01.1984.  
AUSGEGEHRT AM: 04.01.1984. AUSGEGEHRT UM: 19.46.55.  
BEMERKUNGEN ZUM AKTUELLEN PROZESSLAUF:  
TEMP.VERHALTEN DER TRANSPORTKO.-MAGNET.+PHONONEN STREUUNG

STAERKEN DER WECHSELWIRKUNGEN: STAERKE1, STAERKE2...  
0. .10000000E+01, .10000000E+01,

KONSTANTEN ABHAENGIG VON DER BANDSTRUKTUR

MASS&KV\*\*22\*N/DENSITY = .14603476E+00

D(MASS&KV\*\*22\*N/DENSITY)/DE = .18842853E-05

MODELLPARAMETER DER SPEKTRALFUNKTIONEN

POTENTIALSTREUUNG

ABSOLUTE STAERKE: PH0=15. [MIKROOHM\*CM]

FERMIENERGIE=2.E5 [K]

MAGNETISCHE STREUUNG

ABSOLUTE STAERKE: TPH0(T=TC)=60. [MIKROOHM\*CM]

TC=150, J=7/2, FERMIENERGIE=1.E5 [K], VOLF7= 493FA\*\*33,48A

PHONONEN STREUUNG

ABSOLUTE STAERKE: PH0(T=TDFBFY)=90. [MIKROOHM\*CM]

VSBUND=1., OFFERMI=125, WOESEY=250, FERMIENERGIE=1.E5 [K]

THRUUTPARAMETER ZUR POLYNOMENTWICKLUNG UND INTEGRATION

GRADE DER POLYNOME (G0---, ..., G1++) :

6, 6, 6, 6, 6, 6,

ENDE DER POLYNOMENTWICKLUNG : = .25000000E+03

STUETZSTELLENABSTAND BEI NUMERTSCHER INTEGRATION

G0---, ..., G1++ :

0. 0. 0. 0. 0. 0.

10. 0. 0. 0. 0. 0.

INPUT ZUR TEMPERATURSTEUERUNG

ANFANGSTEMPERATUR = .20000000E+02 TEMP.SCHRITTWEITE = .20000000E+02

ZAHL DER SCHritte = 15

GESCHE DES FUNKTIONENRAUMES: 0-6

TABELLE WIRD FUER 6-TE DIMENSION ANGELEGT

\*\*\*\*\*ERGEBNISSE IN TABellenform\*\*\*\*\*

FL. RESISTIVITY THERMOPOWER HEAT CONDUCT. TEMP.

[MIKROOHM\*CM] [MIKROVOLT/K] [MILLIWATT/(CM\*K)] [K]

.79909224E+00 .14978377E+01 .15283837E+03 .20000000E+02

.87771018E+01 .14539549E+01 .57053578E+02 .40000000E+02

.22749351E+02 .90844851E+00 .44210746E+02 .60000000E+02

.395400155E+02 .50725666E+00 .39270046E+02 .60000000E+02

.57876936E+02 .20052409E+00 .36541295E+02 .10000000E+02

.77247750E+02 .-54027374E-01 .34517909E+02 .12000000E+03

.97988952E+02 .-27367900E+00 .32743426E+02 .14000000E+03

.11322252E+03 .-39786141E+00 .32888858E+02 .16000000E+03

.12161111E+03 .-44658227E+00 .34696829E+02 .18000000E+03

.12987257E+03 .-49523460E+00 .36308725E+02 .20000000E+03

.13903246E+03 .-54384532E+00 .37754552E+02 .22000000E+03

.14611116E+03 .-59243213E+00 .39058516E+02 .24000000E+03

.15412456E+03 .-64100656E+00 .40240374E+02 .26000000E+03

.16208495E+03 .-63957610E+00 .41316408E+02 .28000000E+03

.17000187E+03 .-73814551E+00 .42300150E+02 .30000000E+03

\*\*\*\*\*ERGEBNISSE IN TABellenform\*\*\*\*\*

FL. RESISTIVITY THERMOPOWER HEAT CONDUCT. TEMP.

[MIKROOHM\*CM] [MIKROVOLT/K] [MILLIWATT/(CM\*K)] [K]

.15081359E-03 .-10672235E-01 .55901736E+04 .50000000E+01

.12471829E-01 .38329305E+00 .12465553E+04 .10000000E+02

.17991319E+00 .11449734E+01 .34582617E+03 .15000000E+02

.79909224E+00 .14978377E+01 .15283837E+03 .20000000E+02

.20199191E+01 .16486570E+01 .97642015E+02 .25000000E+02

.36959890E+01 .16511200E+01 .75483943E+02 .30000000E+02

.60796337E+01 .15814629E+01 .64047568E+02 .35000000E+02

.87771018E+01 .14539549E+01 .57053578E+02 .40000000E+02

AUSGEFÜHRT AM: 04/01/23. AUSGEFÜHRT UM: 18.48.54.  
BEMERKUNGEN ZUM AKTUELLEN PROGRAMMLAUF:  
TEMP.VERHALTEN DER TRANSPORTKO.-ALLE STREUIMECHANISMEN

STAERKEN DER WECHSELWIRKUNGEN: STAERKE1, STAERKE2...

.10000000E+01, .10000000E+01, .10000000E+01,

KONSTANTEN ABHÄNGIG VON DER BANDSTRUKTUR

MASS\* $\langle v \rangle^2 * N / DENSITY = .14603476E+00$

$D(MASS* $\langle v \rangle^2 * N / DENSITY) / DE = .18842853E-05$$

MODELLPARAMETER DER SPECTRALFUNKTIONEN

POTENTIALSTREUUNG

ABSOLUTE STAERKE: RH0=15. [MIKROOHM\*CM]

FERMIENERGIE=1.E5 [K]

MAGNETISCHE STREUUNG

ABSOLUTE STAERKE: RH0(T=TC)=60. [MIKROOHM\*CM]

TC=150, J=7/2, FERMIENERGIE=1.E5 [K], VOL=7= 493[A\*\*3].MBA

PLATZEN STREUUNG

ABSOLUTE STAERKE: RH0(T=TDEBEY)=90. [MIKROOHM\*CM]

VSCUND=1., DFERMT=125, MDERBEY=250, FERMIENERGIE=1.E5 [K]

INPUTPARAMETER ZUR POLYNOMENTWICKLUNG UND INTEGRATION

GRAD DER POLYNOME (G0=..., ..., G1++) :

6, 6, 6, 6, 6, 6,

ENDE DER POLYNOMENTWICKLUNG = .25000000E+03

STUETZSTELLENABSTAND BEI NUMERTSCHER INTEGRATION.

G0=..., ..., G1++

0. 0. 0. 0. 0. 0.

0. 0. 0. 0. 0. 0.

INPUT ZUR TEMPERATURSTEUERUNG

AUFGANGSTEMPERATUR= .20000000E+02 TEMP. SCHRITTWEITE= .20000000E+02

ZAHL DER SCHritte= 15

SPRESE DES FUNKTIONENRAUMES: 0-6

TABELLE WIRD FUER 6-TE DIMENSION ANGELEGT

\*\*\*\*\*ERGEBNISSE IN TABELLENFORM\*\*\*\*\*

EL. RESESTITVITY [THERMOPOWER] [HEAT CONDUCT.] [TEMP]

[MIKROOHM\*CM] [MIKROVOLT/K] [MILIWATT/(CM\*K)] [K]

.16001776E+02	.37260315E+00	.25592987E+02	.20000000E+02
.24291879E+02	.81521115E+00	.29566554E+02	.40000000E+02
.38258622E+02	.61655195E+00	.30039425E+02	.60000000E+02
.54974057E+02	.36024063E+00	.30015986E+02	.80000000E+02
.73065921E+02	.12501184E+00	.29781498E+02	.10000000E+03
.92352220E+02	-.88066934E-01	.29209521E+02	.12000000E+03
.11304845E+03	-.28203177E+00	.28619301E+02	.14000000E+03
.12826334E+03	-.39718612E+00	.29195292E+02	.16000000E+03
.13664402E+03	-.44592278E+00	.31018593E+02	.18000000E+03
.14482976E+03	-.49460032E+00	.32662149E+02	.20000000E+03
.15205548E+03	-.54324120E+00	.34151151E+02	.22000000E+03
.15113113E+03	-.59186025E+00	.35506302E+02	.24000000E+03
.16214225E+03	-.64046721E+00	.36744780E+02	.26000000E+03
.17710091E+03	-.68906851E+00	.37893964E+02	.28000000E+03
.18501451E+03	-.73766831E+00	.38926978E+02	.30000000E+03

\*\*\*\*\*ERGEBNISSE IN TABELLENFORM\*\*\*\*\*

EL. RESESTITVITY [THERMOPOWER] [HEAT CONDUCT.] [TEMP]

[MIKROOHM\*CM] [MIKROVOLT/K] [MILIWATT/(CM\*K)] [K]

.15009340E+02	-.12189828E-01	.81223974E+01	.50000000E+01
.15025535E+02	-.96341746E-02	.15927750E+02	.10000000E+02
.15257349E+02	.12268947E+00	.21995673E+02	.15000000E+02
.16003776E+02	.37260315E+00	.25582987E+02	.20000000E+02
.17335727E+02	.59948966E+00	.27483776E+02	.25000000E+02
.17220526E+02	.74327650E+00	.28544552E+02	.30000000E+02
.21545442E+02	.80772907E+00	.22181571E+02	.35000000E+02
.24281075E+02	.81521115E+00	.22566554E+02	.40000000E+02

#### A.4 Dokumentation eines Programmlaufes

Zur Illustration und zur Reproduktion ist in Anhang A.4 ein Programmlauf, der mit den in Anhang A.2 vorhandenen Programmen durchgeführt wurde, vollständig dokumentiert (Inputfile - Inputlisting - Ergebnislisting), der bei 20 K für die Phononen-Streuung die Transportkoeffizienten berechnet.

2.72E4, 2.46E3, 6.9E2, 72., 8., 4.93E2, 1, 1E0., 2.E1., 125., 250., 250.,  
20., 20., 1  
POTENTIALSTREUUNG  
ABSOLUTE STAERKE: RHO=15. [MIKROOHM\*CM]  
FERMIENERGIE=1.E5 [K]  
MAGNETISCHE STREUUNG  
ABSOLUTE STAERKE : RHO(T=TC)=60. [MIKROOHM\*CM]  
TC=150,J=7/2,FERMIENERGIE=1.E5 [K],VOLEZ= 493[A\*\*3],MBA  
PHONONEN STREUUNG  
ABSOLUTE STAERKE: RHO(T=TDEBEY)=90. [MIKROOHM\*CM]  
VSOUND=1., DFERMI=125, WDEBEY=250, FERMIENERGIE=1.E5 [K]

Inputfile für das PROGRAM CMSFILE

\*\*\*\*\*MR CMSFILE:ERZEUGEN DER MODELLSPERTRALFUNKTIONEN\*\*\*\*\*

ABSOLUTE STAERKE DER POTENTIALSTREUUNG	=	.27200E+05
DER MAGNET. STREUUNG	=	.34600E+04
DER PHONON STREUUNG	=	.69000E+03
FERMIENERGIE [K]	=	.11626E+06
ZAHL DER ELEKTRONEN IN VOLEZ	=	.72000E+02
ZAHL DER SELTENEN ERD IONEN IN VOLEZ	=	.80000E+01
VOLUMEN DER ELEMENTARZELLE [A**3]	=	.49300E+03
BANDAUFPALTUNG (I=1-JA; I=0-NEIN)	I =	1
KRITISCHE TEMPERATUR (MAGNETISCH)	=	.15000E+03
QUANTENZAHL DES GESAMTDREHIMPULSES	=	.35000E+01
SCHALLGESCHWINDIGKEIT [A/SEC]	=	.10000E+01
FERMIWELLENVEKTOR [1/A]	=	.12500E+03
DEBEY TEMPERATUR [K]	=	.25000E+03
DEFINITIONSBEREICH DES POLYNOMANTEILS	=	.25000E+03
ANFANGSTEMPERATUR [K]	=	.20000E+02
TEMPERATURSCHRITTWEITE [K]	=	.20000E+02
ZAHL DER TEMPERATURSCHRITTE	=	1

Listing vom PROGRAM CMSFILE

PHCNENEN STRELUNG

ABSOLUTE STAERKE: RHO(T=TDEBEY)=90. [MIKROOHM\*CM]

V SOUND=1., QFERMI=125, WDEBEY=250, FERMIENERGIE=1.E5 [K]

.200E+02 .200E+02 1

.250E+03

16 16 16 31 31 31

0.	0.		.166667E+02	.146546E+02
.333333E+02	.289166E+02		.500000E+02	.423936E+02
.666667E+02	.546930E+02		.833333E+02	.654222E+02
.100000E+03	.741886E+02		.116667E+03	.806002E+02
.133333E+03	.842638E+02		.150000E+03	.847672E+02
.166667E+03	.817778E+02		.183333E+03	.748430E+02
.200000E+03	.635904E+02		.216667E+03	.476274E+02
.233333E+03	.265614E+02		.250000E+03	-.181899E-11
0.	0.		.166667E+02	0.
.333333E+02	0.		.500000E+02	0.
.666667E+02	0.		.833333E+02	0.
.100000E+03	0.		.116667E+03	0.
.133333E+03	0.		.150000E+03	0.
.166667E+03	0.		.183333E+03	0.
.200000E+03	0.		.216667E+03	0.
.233333E+03	0.		.250000E+03	0.
0.	0.		.166667E+02	.654222E-01
.333333E+02	.523376E+00		.500000E+02	.176640E+01
.666667E+02	.418702E+01		.833333E+02	.817776E+01
.100000E+03	.141312E+02		.116667E+03	.224396E+02
.133333E+03	.334962E+02		.150000E+03	.476926E+02
.166667E+03	.654222E+02		.183333E+03	.870770E+02
.200000E+03	.113050E+03		.216667E+03	.143733E+03
.233333E+03	.179519E+03		.250000E+03	.220800E+03
-.250000E+03	0.		-.233333E+03	0.
-.216667E+03	0.		-.200000E+03	0.
-.183333E+03	0.		-.166667E+03	0.
-.150000E+03	0.		-.133333E+03	0.
-.116667E+03	0.		-.100000E+03	0.
-.833333E+02	0.		-.666667E+02	0.
-.500000E+02	0.		-.333333E+02	0.
-.166667E+02	0.		.193268E-11	0.
.166667E+02	0.		.333333E+02	0.
.500000E+02	0.		.666667E+02	0.
.833333E+02	0.		.100000E+03	0.
.116667E+03	0.		.133333E+03	0.
.150000E+03	0.		.166667E+03	0.
.183333E+03	0.		.200000E+03	0.
.216667E+03	0.		.233333E+03	0.
.250000E+03	0.			

-.250000E+03	.474805E-03	-.233333E+03	.443151E-03
-.216667E+03	.411498E-03	-.200000E+03	.379844E-03
-.183333E+03	.348190E-03	-.166667E+03	.316537E-03
-.150000E+03	.284883E-03	-.133333E+03	.253229E-03
-.116667E+03	.221576E-03	-.100000E+03	.189922E-03
-.833333E+02	.158268E-03	-.666667E+02	.126615E-03
-.500000E+02	.949610E-04	-.333333E+02	.633073E-04
-.166667E+02	.316537E-04	.193268E-11	.367058E-17
.166667E+02	.316537E-04	.333333E+02	.633073E-04
.500000E+02	.949610E-04	.666667E+02	.126615E-03
.833333E+02	.158268E-03	.100000E+03	.189922E-03
.116667E+03	.221576E-03	.133333E+03	.253229E-03
.150000E+03	.284883E-03	.166667E+03	.316537E-03
.183333E+03	.348190E-03	.200000E+03	.379844E-03
.216667E+03	.411498E-03	.233333E+03	.443151E-03
.250000E+03	.474805E-03		
-.250000E+03	0.	-.233333E+03	0.
-.216667E+03	0.	-.200000E+03	0.
-.183333E+03	0.	-.166667E+03	0.
-.150000E+03	0.	-.133333E+03	0.
-.116667E+03	0.	-.100000E+03	0.
-.833333E+02	0.	-.666667E+02	0.
-.500000E+02	0.	-.333333E+02	0.
-.166667E+02	0.	.193268E-11	0.
.166667E+02	0.	.333333E+02	0.
.500000E+02	0.	.666667E+02	0.
.833333E+02	0.	.100000E+03	0.
.116667E+03	0.	.133333E+03	0.
.150000E+03	0.	.166667E+03	0.
.183333E+03	0.	.200000E+03	0.
.216667E+03	0.	.233333E+03	0.
.250000E+03	0.		

1 0 1 0 2 2

.250000E+03	0.		
.250000E+03	0.		
.250000E+03	0.	-.250000E+03	0.
.250000E+03	.118701E+00	-.250000E+03	.118701E+00

TAPE 55 enthält die Spektralfunktionen für die Phononen-Streuung, und wurde von PROGRAM CMSFILE erzeugt

Inputfile für das PROGRAM COTRACO

.14603476,.18842853E-5,3,6,6,6,6,6,250.,0.,0.,0.,0.,0.,0.,  
20.,20.,1,6,11,6,  
'TEMPERATURVERHALTEN DER TRANSPORTKoeff.-PHONONEN STREUUNG!  
0.  
0.  
1.

Outputlisting vom PROGRAM COTRACO (Fortsetzung auf der nächsten Seite)

```
*****  
* PROGRAM COTRACO : BEKLEINUNG DER TRANSPORTKoeffIZIENTEN *  
*  
* AUSGEFUEHRT AM : E4/02/18. AUSGEFLEHRT LM : 09.47.32. *  
*  
* BEMERKUNG ZUM AKTUELLEN PROGRAMMLAUF : *  
* TEMPERATURVERHALTEN DER TRANSPORTKoeff.-PHONONEN STREUUNG*  
*  
*****  
***** INPUT WERTE : *****
```

\*\*\*\*\*STAERKEN DER STREPOTENTIALE\*\*\*\*\*

STAERKE DER 1-TEN WECHSELWIRKUNG = 0.  
STAERKE DER 2-TEN WECHSELWIRKUNG = 0.  
STAERKE DER 3-TEN WECHSELWIRKUNG = .1000000E+01

\*\*\*\*\*KONSTANTEN ABHAENGIG VON DER BANDSTRUKTUR\*\*\*\*\*

MASS\*( $\langle V^2 \rangle * N$ )/DENSITY = .1460347E+00  
D(MASS\*( $\langle V^2 \rangle * N$ )/DENSITY)/DE = .1884285E-05

\*\*\*\*\*INPUT FUER DEN TEMPERATURBEKREICH\*\*\*\*\*

ANFANGSTEMPERATUR = .200E+02  
TEMPERATURDIFFERENZ PRO SCHRITT = .200E+02  
ZAHL DER TEMPERATURSCHRITTE = 1

\*\*\*\*\*DIMENSION DES FUNKTIONENRAUMES = 6\*\*\*\*\*

\*\*\*\*\*TABELLEN-KENNZAHLD = 6\*\*\*\*\*

\*\*\*\*\*OUTPUT STEUERUNG: IPRINT= 11\*\*\*\*\*

\*\*\*\*\*INPUT FUER DIE POLYNOMENTWICKLUNG\*\*\*\*\*

GRAD DES POLYNOMS FUER G0--	=	6
GRAD DES POLYNOMS FUER G0+-	=	6
GRAD DES POLYNOMS FUER G0++	=	6
GRAD DES POLYNOMS FUER G1--	=	6
GRAD DES POLYNOMS FUER G1+-	=	6
GRAD DES POLYNOMS FUER G1++	=	6
ENDE DER POLYNOMENTWICKLUNG [KELVIN]	=	.2500000E+03

STUETZSTELLENABSTAND BEI NUMERISCHER INTEGRATION

G0--, ..., G1++ :  
0. , 0. , 0. , 0. ,  
0. , 0. , 0. ,

\*\*\*\*\*MODELLPARAMETER DER SPEKTRALFUNKTIONEN\*\*\*\*\*

POTENTIALSTREUUNG  
ABSOLUTE STAERKE: RH0=15. [MIKROOHM\*CM]  
FERMIENERGIE=1.E5 [K]  
MAGNETISCHE STREUUNG  
ABSOLUTE STAERKE : RH0(T=TC)=60. [MIKROOHM\*CM]  
TC=150, J=7/2, FERMIENERGIE=1.E5 [K], VOLEZ= 493LA\*\*3], MBA  
PHONONEN STREUUNG  
ABSOLUTE STAERKE: RH0(T=1DEBEY)=90. [MIKROOHM\*CP]  
VSLUND=1., CFERMI=125, WDEBEY=250, FERMIENERGIE=1.E5 [K]

## ELECTRICAL RESISTIVITY [MIKROOHM\*CM]:

.15302556E+00	.15302553E+00	.12683067E+00	.12683067E+00
.12750716E+00	.12750716E+00	.12727911E+00	

## THERMOPOWER [MIKROVOLT/KELVIN]:

-.73157529E-01	-.52943195E-01	-.51901053E-01	-.46939452E-01
-.49549064E-01	-.48309702E-01	-.48795145E-01	

## HEAT CONDUCTIVITY [MILLIWATT/(CM\*K)]:

.69949390E-03	.29238114E+03	.29238120E+03	.37616808E+03
.37618810E+03	.40540005E+03	.40540008E+03	

## \*\*\*\*\*PROGRAM COTRACD\*\*\*\*\*

AUSGEFUEHRT AM: 04/02/18. AUSGEFUEHRT UM: 09.47.32.

BEMERKUNGEN ZUM AKTUELLEN PROGRAMMLAUF:

TEMPERATURVERHALTEN DER TRANSPORTKoeff.-PHONONEN STREUUNG

STAERKEN DER WECHSELWIRKUNGEN: STAERKE1,STAERKE2...

0. , 0. , .10000000E+01,

KLNSTANTEN ABHAENGIG VON DER BANDSTRUKTUR

MASS\*&lt;V\*\*2&gt;\*N/DENSITY = .14603476E+00

D(MASS\*&lt;V\*\*2&gt;\*N/DENSITY)/DE = .18842853E-05

MODELLPARAMETER DER SPEKTRALFUNKTIONEN

POTENTIALSTREUUNG

ABSOLUTE STAERKE: RHO0=15. [MIKROOHM\*CM]

FERMIENERGIE=1.E5 [K]

MAGNETISCHE STREUUNG

ABSOLUTE STAERKE : RHO(T=TC)=60. [MIKROOHM\*CM]

TC=150,J=7/2,FERMIENERGIE=1.E5 [K],VOLZ= 493[A\*\*3],MBA

PHONONEN STREUUNG

ABSOLUTE STAERKE: RHO(T=TDEBEY)=90. [MIKROOHM\*CM]

VSOUND=1.,QFERMI=125,WDEBEY=250,FERMIENERGIE=1.E5 [K]

INPUTPARAMETER ZUR POLYNOMENTWICKLUNG UND INTEGRATION

GRAD DER POLYNOME (G0--,...,G1++) :

6, 6, 6, 6, 6,

ENDE DER POLYNOMENTWICKLUNG = .25000000E+03

STUETZSTELLENABSTAND BEI NUMERISCHER INTEGRATION

G0--,...,G1++ :

0. , 0. , 0. , 0. ,

0. , 0. , 0. , 0. ,

INPUT ZUR TEMPERATURSTEUERUNG

ANFANGSTEMPERATUR= .20000000E+02 TEMP.SCHRITTWEITE= .20000000E+02

ZAHL DER SCHRITTE= 1

GROESSE DES FUNKTIONENRAUMES: 0-6

TABELLE WIRD FUER 6-TE DIMENSION ANGELEGT

## \*\*\*\*\*ERGEBNISSE IN TABELLENFORM\*\*\*\*\*

EL.RESESTITIVITY [MIKROOHM*CM]	THERMOPOWER [MIKROVOLT/K]	HEAT CONDUCT. [MILLIWATT/(CM*K)] [K]	TEMP .20000000E+02
--------------------------------	---------------------------	--------------------------------------	--------------------

.12727911E+00	-.48795145E-01	.40540008E+03	.20000000E+02
---------------	----------------	---------------	---------------